



cobas® eplex
blood culture identification
gram-negative (BCID-GN) panel
(panel for identifikasjon av gramnegative
organismer i blodkultur)

Pakningsvedlegg



Rx Only

Designed for the Patient, Optimized for the Lab®

P/N: 09556494001



GenMark Diagnostics, Inc.
5964 La Place Court
Carlsbad, CA 92008
USA
+1 760 448 4300



EMERGO EUROPE
Westervoortsedijk 60
6827 AT Arnhem
The Netherlands

UK Responsible Person
Emergo Consulting (UK) Limited
c/o Cr360 –UL International
Compass House, Vision Park Histon
Cambridge CB24 9BZ, UK

INNHOLD

| | |
|--|----|
| Innhold..... | 2 |
| Tiltenkt bruk..... | 4 |
| Oppsummering og forklaring av testen | 5 |
| Oppsummering av detekterte organismer..... | 6 |
| Bakterier..... | 6 |
| Markører for antimikrobiell resistens..... | 10 |
| Pan-mål..... | 10 |
| Prinsippene bak teknologien..... | 12 |
| Materiell som medfølger..... | 13 |
| Sammensetning av reagenser | 13 |
| Reagenser – oppbevaring, stabilitet og håndtering | 13 |
| Materiell som ikke medfølger | 14 |
| Utstyr..... | 14 |
| Forbruksartikler | 14 |
| Advarsler og forholdsregler | 14 |
| Generelt | 14 |
| Sikkerhet | 14 |
| Laboratoriet..... | 15 |
| Innsamling, håndtering og oppbevaring av prøvematerialer..... | 15 |
| Prosedyre | 15 |
| Prosedyremerknader | 15 |
| Prosedyren i detalj | 16 |
| Kvalitetskontroll | 17 |
| Interne kontroller | 17 |
| Eksterne kontroller | 18 |
| Resultater | 18 |
| Tolkning av analyseresultater for slekter og grupper..... | 18 |
| Tolkning av analyseresultater for resistensmarkører..... | 19 |
| Resultater av pan-analyse | 20 |
| Testrapporter..... | 21 |
| Deteksjonsrapport..... | 21 |
| Rapport for ekstern kontroll | 21 |
| Oppsummeringsrapport | 21 |
| Prosedyrens begrensninger | 22 |
| Forventede verdier | 23 |
| Ytelsesegenskaper..... | 26 |
| Klinisk ytelse | 26 |
| Komparatormetode | 26 |
| Demografi i kliniske prøver | 27 |
| Klinisk ytelse | 28 |
| Stratifikasjon av arter etter slekts- og gruppeanalyse..... | 42 |
| Stratifikasjon av arter etter analyse for resistensgener | 46 |
| Resistensmarkører og følsomhet for antimikrobielle midler | 54 |
| Samtidig deteksjon i kliniske prøver | 56 |
| cobas eplex -instrumentets ytelse i kliniske studier | 63 |
| Analytiske ytelsesegenskaper..... | 63 |
| Deteksjonsgrense (LOD) | 63 |
| Analytisk reaktivitet (inklusivitet) | 65 |
| Predikert (<i>in silico</i>) reaktivitet for slekts- og gruppeanalyser | 68 |
| Predikert (<i>in silico</i>) reaktivitet for resistensmarkører | 73 |

cobas eplex BCID gram-negative panel (panel for identifikasjon av gramnegative organismer)

| | |
|---|-----|
| Analytisk spesifisitet (kryssreakтивitet og eksklusivitet)..... | 81 |
| Eksklusivitet for organismer utenfor panelet..... | 81 |
| Positiv flaske | 84 |
| Reproduserbarhet..... | 85 |
| Påvirkningsstoffer og ekvivalens med prøvematriks (flaskeevaluering)..... | 93 |
| Overdrag og krysskontaminasjon | 95 |
| Studie av kompetitiv hemming | 96 |
| Feilsøking | 97 |
| Teknisk støtte (USA)..... | 99 |
| Teknisk støtte (internasjonalt)..... | 99 |
| Symbolliste | 100 |
| Referanseinformasjon..... | 101 |
| Dokumentrevisjon | 105 |
| Varemerker..... | 105 |
| Patentinformasjon | 105 |

TILTENKT BRUK

cobas eplex blood culture identification gram-negative (BCID-GN) panel (panel for identifikasjon av gramnegative organismer i blodkultur) er en kvalitativ, flerspektret *in vitro*-diagnostisk nukleinsyretest, som skal brukes til samtidig kvalitativ deteksjon og identifikasjon av flere potensielt patogene gramnegative bakterielle organismer og utvalgte determinanter tilknyttet antimikrobiell resistens i positiv blodkultur. **cobas eplex** BCID-GN-panelet kan også detektere flere grampositive bakterier (analyse for pan-grampositive organismer) og flere *Candida*-arter (analyse for pan-*Candida*). **cobas eplex** BCID-GN-panelet brukes direkte på blodkulturprøver som er identifisert som positive ved hjelp av et blodkultursystem med kontinuerlig overvåking, og som inneholder gramnegative organismer.

Følgende bakterielle organismer og gener tilknyttet antibiotikaresistens identifiseres med **cobas eplex** BCID-GN-panelet: *Acinetobacter baumannii*, *Bacteroides fragilis*, *Citrobacter*, *Cronobacter sakazakii*, *Enterobacter cloacae*-komplekset, *Enterobacter* (ikke *cloacae*-komplekset), *Escherichia coli*, *Fusobacterium necrophorum*, *Fusobacterium nucleatum*, *Haemophilus influenzae*, *Klebsiella oxytoca*, *Klebsiella pneumoniae*-gruppen, *Morganella morganii*, *Neisseria meningitidis*, *Proteus*, *Proteus mirabilis*, *Pseudomonas aeruginosa*, *Salmonella*, *Serratia*, *Serratia marcescens*, *Stenotrophomonas maltophilia*, CTX-M (*bla*_{CTX-M}), IMP (*bla*_{IMP}), KPC (*bla*_{KPC}), NDM (*bla*_{NDM}), OXA (*bla*_{OXA}) (bare OXA-23- og OXA-48-gruppene) og VIM (*bla*_{VIM}).

cobas eplex BCID-GN-panelet inneholder analyser for deteksjon av genetiske determinanter som er knyttet til resistens mot antimikrobielle agenser, herunder CTX-M(*bla*_{CTX-M}), som er knyttet til resistens mediert av betalaktamaser med utvidet spektrum (ESBL) mot penicilliner, kefalosporiner og monobaktamer samt OXA (*bla*_{OXA}) (bare OXA-23- og OXA-48-gruppene), KPC (*bla*_{KPC}), og metallobetalaktamasene IMP (*bla*_{IMP}), VIM (*bla*_{VIM}) og NDM (*bla*_{NDM}), som er knyttet til karbapenemasemediert resistens. Genet for antimikrobiell resistens som detekteres, kan være – men er ikke nødvendigvis – tilknyttet agensen som forårsaker sykdommen. Negative resultater for disse utvalgte analysene for antimikrobiell resistens viser ikke følsomhet, da flere mekanismer ligger til grunn for resistens hos gramnegative bakterier.

cobas eplex BCID-GN-panelet inneholder også mål som skal detektere mange ulike organismer med potensielt villedende resultater av gramfarging, eller organismer som ikke detekteres ved gramfarging i det hele tatt, for eksempel ved samtidige infeksjoner. Disse omfatter en bred analyse for grampositive organismer (som skal detektere *Bacillus cereus*-gruppen, *Bacillus subtilis*-gruppen, *Enterococcus*, *Staphylococcus* og *Streptococcus*) samt en analyse for pan-*Candida*, som skal detektere fire *Candida*-arter: *Candida albicans*, *Candida glabrata*, *Candida krusei* og *Candida parapsilosis*.

Deteksjon og identifikasjon av spesifikke nukleinsyrer fra bakterier og sopp hos personer som viser tegn og/eller symptomer på infeksjon i blodstrømmen, gjør det enklere å diagnostisere infeksjon i blodstrømmen ved bruk i kombinasjon med annen klinisk informasjon. Resultatene av **cobas eplex** BCID-GN-panelet skal tolkes i kombinasjon med resultatene ved gramfarging og skal ikke brukes som eneste grunnlag for diagnostikk, sykdomsbehandling eller andre beslutninger om pasientbehandling.

Negative resultater ved mistanke om infeksjon i blodstrømmen kan oppstå som følge av infeksjon med patogener som ikke detekteres med denne testen. Positive resultater utelukker ikke samtidig infeksjon med andre organismer – organismen(e) som detekteres av **cobas eplex** BCID-GN-panelet, er ikke nødvendigvis den entydige årsaken til sykdom. Tilleggstester i laboratorium (f.eks. utstryk av positive blodkulturer for identifikasjon av organismer som ikke detekteres av **cobas eplex** BCID-GN-panelet, og for følsomhetstesting, differensiering av blandet vekst og tilknytning av markørgener for antimikrobiell

cobas eplex BCID gram-negative panel (panel for identifikasjon av gramnegative organismer)

resistens til en spesifikk organisme) samt klinisk presentasjon skal vurderes før endelig diagnostikk av infeksjon i blodstrømmen.

OPPSUMMERING OG FORKLARING AV TESTEN

cobas eplex BCID-GN-panelet er en automatisert kvalitativ, flerspektret *in vitro*-diagnostisk nukleinsyretest for samtidig deteksjon og identifikasjon av flere potensielt patogene gramnegative bakterielle organismer, samt utvalgte determinanter tilknyttet antimikrobiell resistens, i positiv blodkultur. Testen detekterer også mange ulike grampositive bakterier og flere patogene *Candida*-arter. Testen klarer å detektere 21 gramnegative bakterielle mål og 6 resistensgener. Flere *Candida*-arter detekteres samt de mest relevante grampositive organismene, som oppsummert i **tabell 1**. Testen gjennomføres i **cobas eplex**-instrumentet – *The True Sample-to-Answer Solution®*.

Gramnegative bakterier er en viktig årsak til bakteriemi og isoleres fra mer enn 60 % av positive blodkulturer over hele verden.¹ Antimikrobiell resistens er vanlig blandt gramnegative organismer, og multiresistens mot medikamenter blir mer og mer vanlig hos mange arter.² Når artene i denne gruppen er involvert i bakteriemi, er dødeligheten fra 20 til 90 % i enkelte populasjoner.³

Tabell 1: Mål som detekteres av cobas eplex BCID-GN-panelet

| Bakterielle mål | |
|--|---------------------------------------|
| <i>Acinetobacter baumannii</i> | <i>Klebsiella pneumoniae</i> -gruppen |
| <i>Bacteroides fragilis</i> | <i>Morganella morganii</i> |
| <i>Citrobacter</i> | <i>Neisseria meningitidis</i> |
| <i>Cronobacter sakazakii</i> | <i>Proteus</i> |
| <i>Enterobacter cloacae</i> -komplekset | <i>Proteus mirabilis</i> |
| <i>Enterobacter</i> (ikke <i>cloacae</i> -komplekset) | <i>Pseudomonas aeruginosa</i> |
| <i>Escherichia coli</i> | <i>Salmonella</i> |
| <i>Fusobacterium necrophorum</i> | <i>Serratia</i> |
| <i>Fusobacterium nucleatum</i> | <i>Serratia marcescens</i> |
| <i>Haemophilus influenzae</i> | <i>Stenotrophomonas maltophilia</i> |
| <i>Klebsiella oxytoca</i> | |
| Markører for antimikrobiell resistens (se nærmere informasjon i tabell 7) | |
| CTX-M (<i>bla</i> _{CTX-M}) | NDM (<i>bla</i> _{NDM}) |
| IMP (<i>bla</i> _{IMP}) | OXA (<i>bla</i> _{OXA}) |
| KPC (<i>bla</i> _{KPC}) | VIM (<i>bla</i> _{VIM}) |
| Pan-mål | |
| Pan-grampositive organismer | Pan- <i>Candida</i> |

Lokale, statlige og føderale regler og forskrifter for varsling av meldepliktige sykdommer oppdateres kontinuerlig og omfatter mange organismer som er viktige for overvåking og undersøkelser av utbrudd. Laboratorier har plikt til å følge statlige og/eller lokale regler som gjelder meldepliktige patogener, og skal skaffe retningslinjer for isolasjon og/eller innsending av kliniske prøver fra lokale og/eller statlige folkehelselaboratorier.

OPPSUMMERING AV DETEKTERTE ORGANISMER

Bakterier

Acinetobacter baumannii

Acinetobacter baumannii er en kort, stavformet, opportunistisk bakterie, som er årsak til cirka 80 % av rapporterte *Acinetobacter*-infeksjoner hos mennesker. Infeksjonsrisikoen er høyere for personer med åpne sår, kardiovaskulær sykdom eller implanteerde enheter, og personer som tidligere har vært behandlet med antimikrobielle midler, mekanisk ventilering eller hemodialyse.^{4,5,6} *Acinetobacter baumannii* har naturlig resistens mot flere typer antibiotika, blant annet amoksicillin-klavulanat, ertapenem, trimetoprim og kloramfenikol.⁷ Det har vært rapport om isolater som bærer resistensmarkørene CTX-M, IMP, KPC, NDM, OXA og VIM.^{8,9,10}

Bacteroides fragilis

Bacteroides fragilis er en stavformet, obligat anaerob bakterie og kan være en del av normalfloraen i magetarmkanalen. Den er blant de viktigste anaerobe patogenene som forårsaker infeksjon hos mennesker.¹¹ *Bacteroides fragilis* er en kresen organisme som er vanskelig å isolere, og som derfor ofte overses.¹² *Bacteroides fragilis* er en vanlig årsak til intraabdominal infeksjon, men kan også infisere blodstrømmen. Dødeligheten ved bakteriemi som følge av *Bacteroides fragilis* har vært rapportert som 24–31 %. Studier har også vist resistens mot betalaktamer på helt opp til 90–98 %.¹³

Citrobacter

Citrobacter-artene er fakultativt anaerobe kokkobasiller i *Enterobacteriaceae*-familien, som er et vanlig funn i miljøprøver og i tarmen hos mennesker. *Citrobacter*-artene regnes som opportunistiske patogener som forårsaker sykdom, blant annet diaré, urinveisinfeksjoner, hjernehinnebetennelse, hjerneabscesser og sepsis.¹⁴ **cobas eplex** BCID-GN-panelet detekterer *Citrobacter braakii*, *Citrobacter freundii*, *Citrobacter koseri*, *Citrobacter werkmanii* og *Citrobacter youngae*. Markørene CTX-M, IMP, KPC, NDM, OXA og VIM for antibiotikaresistens er rapportert i *Citrobacter*.^{15,16,17,18,19,20}

***Cronobacter sakazakii* (tidligere *Enterobacter sakazakii*)**

Cronobacter er robuste bakterier som kan overleve i lange perioder i mange ulike miljøer, fra tørrmat, for eksempel morsmelkerstatning og tørrmelk, til kloakkvann. *Cronobacter sakazakii* er sjeldent, men kan forårsake diaré, urinveisinfeksjoner, alvorlig bakteriemi og hjernehinnebetennelse og isoleres vanligvis fra nyfødte og eldre.²¹

***Enterobacter cloacae*-komplekset**

Enterobacter cloacae-komplekset består av flere fakultativt anaerobe arter, herunder *Enterobacter cloacae*, *Enterobacter asburiae* og *Enterobacter hormaechei*, der *Enterobacter cloacae* og *Enterobacter hormaechei* er de organismene som oftest isoleres fra klinisk prøvemateriale.²² I en studie gjennomført over fire år ved ni sykehusavdelinger var *Enterobacter cloacae* alene årsak til nesten 8 % av alle gramnegative infeksjoner i blodstrømmen.²³ **cobas eplex** BCID-GN-panelets analyse for *Enterobacter cloacae*-komplekset detekterer *Enterobacter asburiae*, *Enterobacter cloacae*, *Enterobacter cloacae* underart *cloacae*, *Enterobacter cloacae* underart *dissolvens*, *Enterobacter hormaechei*, *Enterobacter hormaechei* underart *hormaechei*, *Enterobacter hormaechei* underart *oharae*, *Enterobacter hormaechei* underart *steigerwaltii* og *Enterobacter ludwigii*.

Enterobacter (ikke cloacae-komplekset)

Enterobacter (ikke cloacae-komplekset) består av flere arter, herunder *Enterobacter aerogenes*, *Enterobacter amnigenus* og *Enterobacter gergoviae*. Disse artene er stavformede, ikke sporedannende og fakultativt anaerobe og er viktige organismer ved sykehuservervede infeksjoner. Organismene i dette komplekset regnes som opportunistiske patogener, men har vist evne til å infisere selv immunkompetente personer.²⁴ Enkelte har vist naturlig resistens mot ampicillin, amoksicillin og flere kefalosporiner.⁷ Multiresistente stammer har også begynt å sirkulere, med stammer fra en epidemisk klon som har vært detektert ved mange sykehus i Europa.²⁵ Artene har vært isolert fra drikkevann, jord og klinisk prøvemateriale. Infeksjon er funnet i luftveier, sår, blod og avføring. **cobas eplex** BCID-GN-panelets analyse for *Enterobacter* (ikke cloacae-komplekset) detekterer *Enterobacter aerogenes*, *Enterobacter amnigenus* og *Enterobacter gergoviae*.

Escherichia coli

Escherichia coli er en fakultativt anaerob, stavformet organisme i *Enterobacteriaceae*-familien, som er et vanlig funn i tarmen hos mennesker. *Escherichia coli* har vist seg å ha evnen til å kolonisere eller infisere både magetarmkanal og urinveier samt næringsmidler som kjøtt, melk og grønnsaker. *Escherichia coli*-infeksjoner har også vært sporet til kontaminerte vannkilder.²⁶ *Escherichia coli* er klassifisert i mer enn 150 serotyper basert på overflateantigener, og er den gramnegative arten som oftest isoleres fra blodkultur.²³ *Escherichia coli*-stammer i magetarmkanalen er vanligvis kommensale, men enkelte stammer kan forårsake alvorlig sykdom, og mange bærer gener for antibiotikaresistens.²⁷ Resistensmarkørene CTX-M, IMP, KPC, NDM, OXA og VIM er funnet i kliniske isolater av *Escherichia coli*.^{28,29,30,31,32,33}

Fusobacterium necrophorum, Fusobacterium nucleatum

Fusobacterium-artene er ikke sporedannende, anaerobe organismer som er vanlige funn i orofarynks, magetarmkanalen og urogenitalsystemet.³⁴ *Fusobacterium necrophorum* og *Fusobacterium nucleatum* er de to patogenene i slekten som oftest isoleres, og er årsak til 86 % av kliniske tilfeller av *Fusobacterium*-infeksjon. *Fusobacterium*-artene har vært en faktor ved faryngotonsillitt, septisk tromboflebbitt i halsvener, generell sepsis og metastatiske abscesser i lunger, lever, ledd og pleurahule. Resistens mot erytromycin og andre makrolider er vanlig.³⁵

Haemophilus influenzae

Haemophilus influenzae er en kokkobasill som kan forårsake infeksjoner, herunder lungebetennelse, bakteriemi og hjernehinnebetennelse, der bakteriemi forårsaker opptil 80 % av invasive infeksjoner.^{36,37} Personer med sigdcellesykdom, aspleni eller HIV, personer som har gjennomgått stamcelletransplantasjon eller cellegift/stråling samt personer over 65 år har forhøyet risiko for infeksjon med *Haemophilus influenzae*.^{36,37} Dødeligheten for personer med invasiv sykdom har vært litt over 20 % generelt og nærmere 30 % hos personer over 65 år.

Klebsiella oxytoca, Klebsiella pneumoniae-gruppen

Klebsiella-artene er ubevegelige, stavformede organismer i *Enterobacteriaceae*-familien og blant de vanligste årsakene til samfunns- og sykehuservervede infeksjoner.³⁸ *Klebsiella*-slekten består av minst 11 arter,³⁹ og blant disse er *Klebsiella pneumoniae*-gruppen (*K. pneumoniae*, *K. quasipneumoniae*, *K. variicola*) og *Klebsiella oxytoca*-artene vanligst. Det anslås at *Klebsiella pneumoniae* og *Klebsiella oxytoca* er årsak til henholdsvis >95 % og 3,5 % av *Klebsiella*-infeksjoner.⁴⁰ Både *Klebsiella pneumoniae* og *Klebsiella oxytoca* har generell resistens mot flere typer antibiotika,⁴¹ og følsomheten for antibiotika og retningslinjene for behandling av infeksjon er så å si identisk(e).⁴¹ Resistensmarkørene CTX-M, IMP, KPC, NDM, OXA og VIM er observert i kliniske isolater av både *Klebsiella oxytoca* og *Klebsiella pneumoniae*.^{42,43,44,45,46,47,48,49,50,51,52,53}

Morganella morganii

Morganella morganii er en stavformet organisme i *Enterobacteriaceae*-familien og et vanlig funn i magetarmkanalen hos mennesker og i miljøet. Den har vist seg å forårsake infeksjon i urinveier og blodstrøm og er som oftest en faktor ved nosokomiale og postoperative infeksjoner og sårinfeksjoner. *Morganella morganii* har naturlig resistens mot mange betalaktamer,⁵⁴ og enkelte isolater har vist evne til å produsere betalaktamaser med utvidet spektrum (ESBL).⁵⁵ Resistensmarkørene CTX-M, IMP, KPC, NDM, OXA og VIM er funnet i kliniske isolater av *Morganella morganii*.^{56,57,58,59,60,61}

Neisseria meningitidis

Neisseria meningitidis finnes i de øvre luftveiene hos omtrent 10 % av populasjonen, med de høyeste forekomstene i Afrika sør for Sahara. *Neisseria meningitidis* er et opportunistisk patogen, som spres ved nærbanekontakt og kan forårsake infeksjon i blodstrømmen samt hjernehinnebetennelse. Dødsfall som følge av meningokokksepsis kan inntreffe i løpet av få timer.^{62,63} Nesten alle isolater som hentes fra pasienter med invasiv sykdom, har kapsel. Meningokokker som hentes fra sunne/asymptomatiske bærere, kan ofte ikke inndeles i serogrupper, enten på grunn av fasevariasjon i kapseluttrykket, inaktivering eller fravær av gener som er involvert i kapselsyntese/produksjon/transport. Kapseltransporten til genet på celleoverflaten, *ctrA*, bevares godt blant isolater som forårsaker invasive meningokokkinfeksjoner.⁶⁴ cobas eplex BCID-GN-panelet detekterer bare *N. meningitidis* med kapsel.

Proteus

Proteus-artene tilhører *Enterobacteriaceae*-familien, som består av flere arter, herunder *Proteus mirabilis*, *Proteus cibarius*, *Proteus penneri* og *Proteus vulgaris*.⁶⁵ *Proteus*-artene er vanlige funn i tarmfloraen hos mennesker og koloniserer også hud og slimhinner i munnen.⁶⁶ De finnes i jord, vann og ofte i sjømat og er de bakteriene som oftest isoleres fra nyresteiner.⁶⁵ *Proteus*-artene er en vanlig årsak til bakteriemi, særlig etter kateterrelaterte urinveisinfeksjoner.⁶⁷ Resistensmarkørene CTX-M, IMP, KPC, NDM, OXA og VIM er funnet i kliniske isolater av *Proteus*-artene.^{68,69,70,71,72,73}

Proteus mirabilis

Proteus mirabilis er den absolutt vanligste *Proteus*-arten som er en faktor ved sykdom, og er årsak til 90 % av alle *Proteus*-infeksjoner.⁶⁶ Multiresistente stammer isoleres ofte fra pasienter med bakteriemi, som øker dødeligheten fra ~20 % til nesten 40 % sammenlignet med medikamentfølsomme stammer.³ Resistensmarkørene CTX-M, IMP, KPC, NDM, OXA og VIM er funnet i kliniske isolater av *Proteus mirabilis*.^{68,69,70,71,72,73}

Pseudomonas aeruginosa

Pseudomonas aeruginosa er et viktig patogen med evne til å forårsake infeksjoner i en rekke organer og organsystemer, herunder hud, øyne, ører, luftveier, urinveier, magetarmkanal, skjelett, hjerte, blodstrøm og cerebrospinalvæske.⁷⁴ Det har vært en faktor i 7–9 % av alle helsevesenrelaterte infeksjoner i land over hele verden, og er ofte knyttet til multiresistens. Det har vært rapportert en dødelighet på helt opptil 42 % ved infeksjon med *Pseudomonas aeruginosa* i blodstrømmen.⁷⁵ Resistensmarkørene CTX-M, IMP, KPC, NDM, OXA og VIM er funnet i kliniske isolater av *Pseudomonas aeruginosa*.^{76,77,78}

Salmonella

Både tyfoide og ikke-tyfoide *Salmonella*-arter er organismer som tilhører *Enterobacteriaceae*-familien, og er viktige årsaker til invasive infeksjoner over hele verden. Ikke-tyfoide *Salmonella*-arter manifesterer seg oftest som alvorlig sykdom hos underernærte barn og HIV- og malariasmittede personer, og opptrer hyppigst i Afrika.^{79,80} En dødelighet på helt opptil 28 % har vært rapportert ved invasiv, ikke-tyfoid *Salmonella* (iNTS),⁸¹ mens dødeligheten ved tyfoid *Salmonella* (også kalt tyfoid- eller paratyfoidfeber, avhengig av den smittende serovarianten) har vært rapportert som 10–30 % uten behandling og 1–4 % med riktig behandling.⁸² Resistensmarkørene CTX-M, IMP, KPC, NDM, OXA og VIM er funnet i kliniske isolater av *Salmonella*-artene.^{83,84,85,86,87}

Serratia

Bakteriene i *Serratia*-slekten tilhører *Enterobacteriaceae*-familien, har oppstått som viktige patogener de siste 30 årene og er årsak til 6,5 % av gramnegative infeksjoner på intensivavdelinger.⁸⁸ *Serratia*-infeksjon kan i enkelte tilfeller utvikle seg til hjernehinnebetennelse eller bakteriemi, med en dødelighet på opptil 37 % i enkelte populasjoner.^{89,90} Infeksjonskilder har vært babysjampo, dispensere med flytende såpe, saltløsninger, ferdigfylte heparinsprøyter, inhalasjonsmedikamenter, parenteral ernæring, urinprøvebeholdere, kranvann, diverse medisinsk utstyr og antiseptiske midler, men smitteoverføring skjer oftest via hendene til helsepersonell.^{91,92,88} *Serratia*-artene har naturlig resistens mot flere betalaktamer,⁹³ og resistensmarkørene CTX-M, IMP, KPC, NDM, OXA og VIM har vært observert i kliniske isolater av *Serratia*-artene.^{94,95,96,97,98,99} **cobas eplex BCID-GN-panelets *Serratia*-analyse** detekterer *Serratia ficaria*, *Serratia fonticola*, *Serratia grimesii*, *Serratia liquefaciens*, *Serratia marcescens*, *Serratia plymuthica* og *Serratia rubidaea*.

Serratia marcescens

Serratia marcescens er den vanligste *Serratia*-arten som er en faktor ved sykdom, og er kjent for sin karakteristiske rosarøde farge i mange isolater. Den tilhører *Enterobacteriaceae*-familien og isoleres ofte i baderom, der den ofte blir værende på steder med vann. Hos mennesker har *Serratia marcescens* forårsaket infeksjon i øyne, luftveier, magetarmkanal, urinveier og sår. Den har også vært en faktor ved endokarditt, osteomyelitt, lungebetennelse, hjernehinnebetennelse og bakteriemi.¹⁰⁰ Det har vært rapportert en dødelighet på 20–58 % ved bakteriemi forårsaket av *Serratia marcescens*, og epidemiologiske data tyder på at den antimikrobielle resistensen er økende. Resistensmarkørene CTX-M, IMP, KPC, NDM, OXA og VIM er funnet i kliniske isolater av *Serratia*-artene.^{94,95,96,97,98,99}

Stenotrophomonas maltophilia

Stenotrophomonas maltophilia er en aerob, nonfermentativ basill, som ofte finnes i vann, jord, plantemateriale og dyr og på sykehussutstyr. Den har vært en faktor ved bakteriemi, endokarditt og hjernehinnebetennelse samt ved infeksjon i øyne, urinveier, luftveier, hud og bløtvev.¹⁰¹ Det er utfordrende å behandle *Stenotrophomonas maltophilia* på grunn av den naturlige multiresistensen mot legemidler, herunder bruk av efflukssystemer, tilstedevarelsen av en varmeavhengig ytre membran som beskytter mot aminoglykosider, og to betalaktamaser iboende i kromosomet, som gir resistens mot karbapenemer, kefalosporiner og imipenem.^{7,102} Det har vært rapportert varierende dødelighet på 10–60 % for bakteriemi forårsaket av *Stenotrophomonas maltophilia*, og underliggende sykdom spiller en stor rolle.¹⁰³ Resistensmarkøren CTX-M har vært observert i kliniske isolater av *Stenotrophomonas maltophilia*.⁷⁶

Markører for antimikrobiell resistens

ctx-M (bla_{CTX-M}) (cefotaksim-hydrolyserende betalaktamase, CTX-M)

CTX-M-enzymer er plasmidmedierte betalaktamaser med utvidet spektrum (ESBL) i klasse A. Disse enzymene er vanlige funn i *Escherichia coli* og *Klebsiella*-artene og består av minst fem typer og mer enn 80 ulike individuelle enzymer.¹⁰⁴

imp (bla_{IMP}) (imipenem-resistant metallobetalaktamase, IMP)

Imipenem-resistente metallobetalaktamaser er betalaktamaser (MBL) i klasse D, som vanligvis er kodet på plasmider. Det finnes mer enn 50 IMP-enzymer i mange ulike gramnegative organismer i hele verden.¹⁰⁵

kpc (bla_{KPC}) (Klebsiella pneumoniae-karbapenemase, KPC)

KPC, eller *Klebsiella pneumoniae*-karbapenemase, finnes i flere gramnegative organismer, men oftest på plasmider i *Klebsiella pneumoniae*.¹⁰⁵

ndm (bla_{NDM}) (New Delhi-metallobetalaktamase, NDM)

NDM, eller New Delhi-metallobetalaktamase, er en karbapenemase med evne til å hydrolysere de fleste penicilliner og kefalosporiner samt karbapenemer.¹⁰⁶ Den ble først isolert fra en pasient i India i 2008, men er nå isolert i hele verden.¹⁰⁷

oxa (bla_{OXA}) (oksacillin-hydrolyserende betalaktamase, OXA)

OXA-enzymer er betalaktamaser i klasse D og gir resistens mot cefpirom, cefalotin og oksacillin.⁷⁸ Det finnes mer enn 500 OXA-enzymer per i dag,¹⁰⁸ og noen av dem, men ikke alle, regnes som ESBL. cobas eplex BCID-GN-panelet skal detektere, men ikke differensiere mellom, OXA-23- og OXA-48-gruppene, som gir resistens mot karbapenemer.

vim (bla_{VIM}) (Verona integronkodet metallobetalaktamase, VIM)

VIM, eller Verona integronkodede metallobetalaktamaser (MBL), er blant de mest spredte MBL-ene og består av mer enn 40 individuelle enzymer. VIM tilhører den mest klinisk relevante B1-undergruppen av MBL-er sammen med IMP og NDM.¹⁰⁹

Pan-mål

Gramfarging er svært presist, men enkelte organismer er kjent for å være gramvariable, som betyr at gramfarging kan gi villedende resultater. Gramfarringsfeil har dessuten inntruffet ved polymikrobielle infeksjoner.¹¹⁰ BCID-GN-panelet omfatter to pan-mål som skal detektere, men ikke differensiere, organismer som kanskje ikke oppdages ved gramfarging.

Pan-grampositive organismer

Analysen for pan-grampositive organismer skal detektere mange ulike grampositive organismer, også de som kan gi et potensielt villedende resultat ved gramfarging. Analysen for pan-grampositive organismer kan gi data som bidrar til å fastslå korrekt testalgoritme. Hvis et pan-grampositivt mål detekteres, anbefales tilleggstesting for å fastslå identiteten til den grampositive organismen.

cobas eplex BCID gram-negative panel (panel for identifikasjon av gramnegative organismer)

cobas eplex BCID-GN-panelets analyse for pan-grampositive organismer detekterer følgende grampositive organismer: *Bacillus cereus*-gruppen (herunder *B. cereus* og *B. thuringiensis*), *Bacillus subtilis*-gruppen (herunder *B. amyloliquefaciens*, *B. atrophaeus*, *B. licheniformis* og *B. subtilis*), *Enterococcus* (herunder *E. avium*, *E. casseliflavus*, *E. cecorum*, *E. dispar*, *E. durans*, *E. faecalis*, *E. faecium*, *E. gallinarum*, *E. hirae*, *E. italicus*, *E. malodoratus*, *E. pseudoavium*, *E. raffinosus*, *E. saccharolyticus* og *E. sanguinicola*), *Staphylococcus* (herunder *S. arlettae*, *S. aureus*, *S. auricularis*, *S. capitis*, *S. caprae*, *S. carnosus*, *S. chromogenes*, *S. cohnii*, *S. epidermidis*, *S. gallinarum*, *S. haemolyticus*, *S. hominis*, *S. hyicus*, *S. intermedius*, *S. lentus*, *S. lugdunensis*, *S. muscae*, *S. pasteurii*, *S. pettenkoferi*, *S. pseudointermedius*, *S. saccharolyticus*, *S. saprophyticus*, *S. schleiferi*, *S. sciuri*, *S. simulans*, *S. vitulinus*, *S. warneri* og *S. xylosus*) og/eller *Streptococcus* (herunder *S. agalactiae*, *S. anginosus*, *S. bovis*, *S. constellatus*, *S. cricetid*, *S. dysgalactiae*, *S. equi*, *S. equinus*, *S. gallolyticus*, *S. gordonii*, *S. infantarius*, *S. infantis*, *S. intermedius*, *S. mitis*, *S. oralis*, *S. parasanguinis*, *S. peroris*, *S. pneumoniae*, *S. pyogenes*, *S. salivarius*, *S. sanguinis* og *S. thoraltensis*).

Pan-*Candida*

Analysen for pan-*Candida*-skal detektere fire av de hyppigst forekommende *Candida*-artene: *Candida albicans*, *Candida glabrata*, *Candida krusei* og *Candida parapsilosis*. Ettersom enkelte sopporganismer, for eksempel *Candida*, er kjent for å vokse langsomt, er det ikke sikkert at de blir oppdaget ved gramfarging, særlig ved blandet infeksjon. Pan-*Candida*-målet kan gi data som bidrar til å fastslå korrekt testalgoritme. Hvis analysen for pan-*Candida* er positiv, anbefales tilleggstesting for å fastslå identiteten til *Candida*-arten.

PRINSIPPENE BAK TEKNOLOGIEN

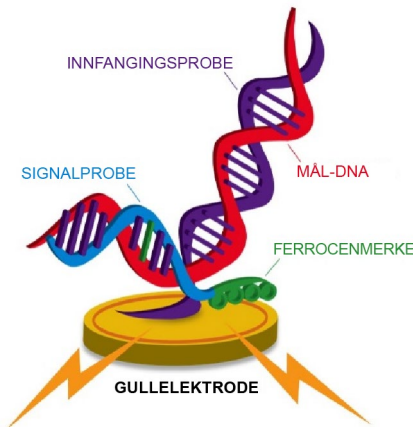
cobas eplex-instrumentet – *The True Sample-to-Answer Solution*® – automatiserer alle aspekter ved nukleinsyretesting, herunder ekstraksjon, amplifikasjon og deteksjon og slår sammen electrowetting-teknologien og eSensor®-teknologi i en engangskassett. eSensor-teknologien er basert på prinsippene for kompetitiv DNA-hybridisering og elektrokjemisk deteksjon, som er høyst spesifikk og ikke basert på fluorescens eller optisk deteksjon.

Ved electrowetting, eller digital mikrofluidikk, manipuleres små dråper på overflaten av et kretskort med hydrofobt belegg direkte ved hjelp av elektriske felt. Prøven og reagensene beveges i **cobas eplex**-kassetten på en programmerbar måte, slik at alle ledd i prøvebehandlinga utføres, fra nukleinsyreekstraksjon til deteksjon.

En prøve avleveres på **cobas eplex**-kassetten, og kassetten settes inn i **cobas eplex**-instrumentet. Nukleinsyren ekstraheres og renses fra prøvematerialet via magnetisk ekstraksjon i fast stoff-fasen. PCR brukes til å lage dobbeltrådet DNA, som behandles med ekszonuklease for å lage enkeltrådet DNA før eSensor-deteksjon.

Mål-DNA-er blandes med ferrocenmerkede signalprober, som er komplementære til de spesifikke målene i panelet. Mål-DNA hybridiserer til den komplementære signalproben og innfangingsprobene, som bindes til gullbelagte elektroder, som vist nedenfor i **figur 1**. Tilstedeværelsen av hvert mål fastslås ved voltametri, som genererer spesifikke elektriske signaler fra den ferrocenmerkede signalproben.

Figur 1: Hybridiseringskompleks. Målpesifikke innfangingsprober bindes til gullektrodene i eSensor-mikromatrisen i **cobas eplex**-kassetten. Det amplifiserte mål-DNA-er hybridiseres til innfangingsproben og til en komplementær ferrocenmerket signalprobe. Tilstedeværelse eller fravær av mål fastslås ved elektrokjemisk analyse via voltametri.



MATERIELL SOM MEDFØLGER

Tabell 2: *The True Sample-to-Answer Solution®*

Innhold i cobas eplex-panelsettet for identifikasjon av gramnegative organismer i blodkultur

| Produkt | Artikkelnummer | Komponenter (antall) | Oppbevaring |
|--|--|--|-------------|
| cobas eplex-panel for identifikasjon av gramnegative organismer i blodkultur (BCID-GN) | GenMark: EA002012 Roche: 9556494001 | Kassett til cobas eplex BCID-GN-panel (12) | 2–8 °C |

SAMMENSETNING AV REAGENSER

| Komponent | Konsentrasjon (vekt/volum) |
|--|----------------------------|
| Saltbuffer | |
| Guanidinhydroklorid | ≤ 45 % |
| Natriumperklorat | ≤ 14 % |
| Bindingsbuffer | |
| PEG 8000 | ≤ 20 % |
| NaH ₂ PO ₄ | ≤ 1,0 % |
| EDTA | ≤ 0,1 % |
| NaCl | ≤ 5,0 % |
| NaN ₃ | ≤ 0,2 % |
| Cysteamin-HCl | ≤ 1,0 % |
| MTG | ≤ 1,0 % |
| Lyseringsbuffer | |
| Tris-HCl | ≤ 5,0 % |
| Urea | 25–50 % |
| Guanidinhydroklorid | ≤ 2,0 % |
| Kalsiumklorid | ≤ 1,0 % |
| SDS | ≤ 5,0 % |
| Tween-20 | 10–20 % (volum/volum) |
| Oljekomponent | |
| Polydimetylsilosan, trimetylsilosyterminert, 5 cSt | ≥ 95 % |

| Komponent | Konsentrasjon (vekt/volum) |
|----------------------------------|----------------------------|
| Rekonstruksjons-/elueringsbuffer | |
| Natriumazid | ≤ 0,2 % |
| Tween-20 | ≤ 2,0 % (volum/volum) |
| Wash Buffer | |
| PEG 8000 | ≤ 20 % |
| NaH ₂ PO ₄ | ≤ 1,0 % |
| EDTA | ≤ 0,1 % |
| NaCl | ≤ 5,0 % |
| NaN ₃ | ≤ 0,2 % |
| Cysteamin-HCl | ≤ 1,0 % |
| MTG | ≤ 1,0 % |
| Tween-20 | ≤ 2,0 % (volum/volum) |
| PCR-reaksjon | |
| Tris-HCl | ≤ 5,0 % |
| KCl | ≤ 5,0 % |
| Trehalose | 10–50 % |
| Bovint serumalbumin | ≤ 0,05 % |
| dNTPs | Sporstoff |
| MgCl ₂ | ≤ 0,1 % |
| Oligonukleotider | Sporstoff |

Ved mottak skal reagensene oppbevares ved 2–8 °C. Sikkerhetsdatabladene er tilgjengelige på forespørsel fra den lokale Roche-representanten eller via eLabDoc.

REAGENSER – OPPBEVARING, STABILITET OG HÅNDTERING

- Oppbevar cobas eplex BCID-GN-panelsettet ved 2–8 °C.
- Bruk ikke cobas eplex BCID-GN-panelsettet etter utløpsdatoen.
- Åpne ikke en kassettpose før du er klar til å utføre testingen.

MATERIELL SOM IKKE MEDFØLGER

Utstyr

- **cobas eplex**-instrument og programvare
- Pipetter som kan avlevere 50 µl
- Skriver (ekstrautstyr) – se retningslinjer for kompatibilitet i brukerhåndboken for **cobas eplex**

Forbruksartikler

- Pipettespisser, aerosolresistente, RNase/DNase-frie
- Pudderfrie engangshansker
- 10 % blekemiddel til aktuelle flater
- 70 % etanol eller isopropylalkohol (eller tilsvarende) til aktuelle flater
- 1,5 ml RNase/DNase-fritt mikrosentrifugerør eller tilsvarende (ekstrautstyr)

ADVARSLER OG FORHOLDSREGLER

Generelt

- Kun for bruk til *in vitro*-diagnostikk av profesjonelle på et laboratorium.
- Opplært helsepersonell skal tolke resultatene av **cobas eplex** BCID-GN-panelet nøyne i kombinasjon med pasientens tegn og symptomer og resultatene av andre diagnostiske tester.
- Positive resultater utelukker ikke samtidig infeksjon med andre typer virus, bakterier eller sopp. Agensen(e) som detekteres, er ikke nødvendigvis den definitive sykdomsårsaken. Ytterligere laboratorietesting (f.eks. bakterie-, sopp- og viruskultur, immunofluorescens og røntgen) og klinisk presentasjon skal vurderes før endelig diagnostisering av infeksjon i blodet.
- Gjenbruk ikke komponentene i **cobas eplex** BCID-GN-panelsettet.
- Bruk ikke reagenser etter utløpsdatoen som er trykt på merkingen.
- Følg prosedyren som er beskrevet i dette pakningsvedlegget. Les alle anvisninger før du starter testen.
- Informer lokale kompetente myndigheter og produsenten om eventuelle alvorlige hendelser som kan oppstå når du bruker denne analysen.

Sikkerhet

- Håndter alle prøve- og avfallsmaterialer som om de er smittefarlige, i samsvar med generelle forholdsregler. Følg retningslinjer for sikkerhet, blant annet de som er beskrevet i CDCs/NIHs *Biosafety in Microbiological and Biomedical Laboratories* (biosikkerhet ved mikrobiologiske og biomedisinske laboratorier), CLSIs dokument M29 *Protection of Laboratory Workers from Occupationally Acquired Infections* (beskyttelse av laboratoriepersonell mot yrkeservede infeksjoner) eller andre gjeldende retningslinjer.
- Følg rutinemessige sikkerhetsprosedyrer for laboratorier ved håndtering av reagenser (f.eks. unngå munnpipettering, bruk egnet beskyttelsestøy og øyebeskyttelse).
- Følg institusjonens sikkerhetsprosedyrer for håndtering av biologiske prøver.
- Kast materialene som er brukt i testen, herunder reagenser, prøvematerialer og brukte flasker, i samsvar med alle føderale, statlige og lokale forskrifter.
- Stikk ikke fingre eller andre gjenstander inn i stasjonene på **cobas eplex**-instrumentet.
- Vask hendene grundig med såpe og vann etter reagenshåndtering. Vask kontaminerte klær før gjenbruk.

cobas eplex BCID gram-negative panel (panel for identifikasjon av gramnegative organismer)

- Stikk ikke hull på blistertakningene med reagens på **cobas eplex**-kassetten. Reagenser kan irritere hud, øyne og luftveier. Skadelig ved svelging eller inhalasjon. Inneholder oksiderende væsker.
- Kassetten i **cobas eplex** BCID-GN-panelet inneholder kjemikalier som er klassifisert som farlige. Les sikkerhetsdatabladet (SDS) før bruk, og slå opp i sikkerhetsdatabladet for å finne mer informasjon vedrørende eksponering. Sikkerhetsdatablad (SDS) er tilgjengelige på forespørsel fra den lokale Roche-representanten eller via eLabDoc.
- Prøven kan kontamineres hvis laboratoriepersonell som behandler prøven, er kolonisert med kommensale organismer. Unngå dette ved å behandle prøvematerialer i biosikkerhetsskap og bruke egnet personlig verneutstyr. Hvis biosikkerhetsskap ikke brukes, skal personell bruke visir eller munnbind ved behandling av prøver.
- Skift hanske ofte under testing for å redusere risikoen for kontaminasjon.
- Dekontaminer laboratoriet og alt utstyr grundig med 10 % blekemiddel etterfulgt av 70 % etanol eller isopropylalkohol (eller tilsvarende).

Laboratoriet

- Prøven kan kontamineres hvis laboratoriepersonell som behandler prøven, er bærere av vanlige patogener og kontaminanter. Unngå dette ved å behandle prøvematerialer i biosikkerhetsskap. Hvis biosikkerhetsskap ikke brukes, skal det brukes visir eller munnbind ved behandling av prøver.
- Et biosikkerhetsskap som er brukt til bakterie- eller soppkultur, skal ikke brukes til klargjøring av prøver.
- Prøver og kassetter skal håndteres og/eller testes én om gangen. Reduser risikoen for kontaminasjon fra prøve til prøve ved å skifte hanske etter at du har avlevert prøven på kassetten.
- Dekontaminer laboratoriet og alt utstyr grundig med 10 % blekemiddel etterfulgt av 70 % etanol eller isopropylalkohol (eller tilsvarende) før prøvemateriale behandles.
- Prøven kan kontamineres hvis den avleveres i et område der PCR-produkter er generert. Unngå å avlevere prøven i områder som kan være kontaminert med PCR-produkt.

INNSAMLING, HÅNDTERING OG OPPBEVARING AV PRØVEMATERIALER

- Blodkulturflasker skal håndteres i samsvar med produsentens anbefalte prosedyre.
- Kliniske prøvematerialer kan ligge i inkubatoren i opptil 12 timer etter at flasken er registrert positiv.
- Kliniske prøvematerialer kan oppbevares ved romtemperatur i opptil 7 dager.
- Kliniske prøvematerialer kan oppbevares ved 2 til 8 °C i opptil 1 måned.
- Kliniske prøvematerialer kan oppbevares ved -80 til -20 °C i opptil 18 måneder.
- Kliniske prøvematerialer kan eksponeres for to fryse-/tinesykluser.

PROSEODYRE

Prosedyremerknader

- Deteksjon av nukleinsyrer fra bakterier eller sopp avhenger av korrekt innsamling, håndtering, transport, oppbevaring og klargjøring av prøvematerialer. Unnlatelse av å følge de riktige prosedyrene på noen av disse trinnene, kan gi feil resultater. Det foreligger risiko for både falske positive og falske negative resultater hvis prøvematerialer innsamles, transportereres eller håndteres på feil måte.
- Mangelfull deteksjon kan skje på grunn av inhibitorer, teknisk feil, prøveforveksling eller infeksjon forårsaket av en organisme som ikke detekteres av panelet.

cobas eplex BCID gram-negative panel (panel for identifikasjon av gramnegative organismer)

- Prøvene skal være positiv blodkultur som inneholder gramnegative organismer, som bekreftet ved gramfarging.
- Prøver, forbruksartikler og laboratorieområder skal beskyttes mot aerosol eller direkte kontaminasjon med PCR-produkt. Dekontaminer laboratoriområder og eksponert utstyr med 10 % blekemiddel etterfulgt av 70 % etanol eller isopropylalkohol (eller tilsvarende).
- Prøver skal overføres til kassetten i **cobas eplex** BCID-GN-panelet i et rent miljø som er fritt for PCR-produkt.
- Prøver skal behandles i biosikkerhetsskap. Hvis biosikkerhetsskap ikke brukes, skal personell bruke visir eller munnbind ved behandling av prøver.
- Skift hanske ofte under testing for å redusere risikoen for kontaminasjon.
- Når en kassett er tatt ut av folieposen, skal den brukes innen 2 timer. Åpne ikke posen med testkassetten før prøven er klar til testing.
- Når prøven er avlevert på kassetten til **cobas eplex** BCID-GN-panelet, skal prøven behandles så snart som mulig, men kan om nødvendig kjøres innen 2 timer.
- Alle frosne prøver skal tines helt og blandes godt før testing.
- Blodkulturflasken skal vendes flere ganger, slik at innholdet blandes.
- Gi harpiksen cirka 10 sekunder til å synke.
- Membranen på den positive blodkulturflasken skal tørkes med 70 % etanol eller isopropylalkohol (eller tilsvarende) før prøven trekkes.
- Bruk sterile materialer ved overføring og avlevering av hver prøve. Påse at ingen del av overføringsenheten berører innsiden av overføringsbeholdere som brukes. En grunn beholder, f.eks. et 1,5 ml mikrosentrifugerør, anbefales til overføring.
- Sett ikke en våt kassett inn i **cobas eplex**-instrumentet. Hvis testkassetten er våt på utsiden, skal du fjerne væsken med en lofri tørkeserviett for laboratorier (f.eks. Kimwipes™) før kassetten settes inn i en **cobas eplex**-stasjon.
- Kast materialene som er brukt i testen, herunder reagenser, prøvematerialer og brukte flasker, i samsvar med alle forskrifter.
- Gjenbruk ikke kasserter.

Prosedyren i detalj

1. Dekontaminer området som skal brukes til å klargjøre **cobas eplex** BCID-GN-panelet, med 10 % blekemiddel etterfulgt av 70 % etanol eller isopropylalkohol (eller tilsvarende).
2. Ta én kassettpose fra **cobas eplex** BCID-GN-panelet ut av pakningen med settet.
3. Åpne kassettposen fra **cobas eplex** BCID-GN-panelet.
4. Skriv tilgangs-ID-en eller sett et strekkodememerke med tilgangs-ID på kassetten til **cobas eplex** BCID-GN-panelet.
5. Vend blodkulturflasken flere ganger, slik at innholdet blandes.
6. Gi harpiksen cirka 10 sekunder til å synke.
7. Tørk membranen på den positive blodkulturflasken med 70 % etanol eller isopropylalkohol (eller tilsvarende) før prøven trekkes.
8. Bruk en avleveringsenhet som kan avlevere nøyaktig 50 µl, til å aspirere 50 µl av blodkultur-prøven, og avlever den i porten for prøveavlevering på kassetten til **cobas eplex** BCID-GN-panelet.
MERK: Det anbefales å bruke et 1,5 ml mikrosentrifugerør til å overføre prøven fra blodkulturflasken før avlevering på **cobas eplex**-kassetten.
9. Lukk porten for prøveavlevering umiddelbart ved å skyve lokket over porten og trykke godt på lokket for å forsegle porten godt.
MERK: Du kan se bobler når du lukker lokket.
10. Skann kassetten til **cobas eplex** BCID-GN-panelet ved hjelp av strekkodeleseren som fulgte med **cobas eplex**-instrumentet.
MERK: Hvis strekkodemerket med tilgangs-ID ikke er brukt, skal du angi tilgangs-ID manuelt ved hjelp av skjermtastaturet.

cobas eplex BCID gram-negative panel (panel for identifikasjon av gramnegative organismer)

MERK: Strekkodeskanneren avleser både strekkoden med tilgangs-ID (hvis operatøren har satt den på kassetten) og 2D-strekkoden som er trykt på kassettmerkingen, men avgir bare ett pipesignal for å angi at begge strekkoder er avlest.

11. Sett kassetten til **cobas eplex** BCID-GN-panelet inn i en ledig stasjon, som vist ved en blinkende, hvit LED-indikator. Testen starter automatisk når kassetten er satt inn i stasjonen og initialiseringen fullført, som vist ved en blå LED-indikator.

KVALITETSKONTROLL

Interne kontroller

Hver kassett inneholder interne kontroller som overvåker ytelsen på hvert trinn i testprosessen, herunder ekstraksjon, amplifikasjon og deteksjon av mål.

Hver amplifikasjonsreaksjon på kassetten er tilknyttet en intern kontroll, og ved reaksjon må enten den interne kontrollen eller et mål generere et signal som overstiger den definerte grenseverdien, for at et gyldig testresultat skal oppnås. Resultatene av interne kontroller tolkes av **cobas eplex**-programvaren og vises i rapportene for **cobas eplex** BCID-GN-panelet som Internal Control (intern kontroll) med resultatet PASS (bestått), FAIL (ikke bestått), N/A (ikke aktuelt) eller INVALID (ugyldig). **Tabell 3** inneholder nærmere informasjon om tolkning av resultater av interne kontroller.

Tabell 3: Resultater av interne kontroller

| Resultat av intern kontroll | Forklaring | Gjør følgende |
|--------------------------------|---|---|
| PASS (bestått) | Det er detektert signal over grenseverdien fra hver amplifikasjonsreaksjon. Testen er fullført og de interne kontrollene lyktes, som viser at det ble generert gyldige resultater. | Alle resultater vises i deteksjonsrapporten for cobas eplex BCID-GN-panelet. Testen er gyldig, rapporter resultater. |
| FAIL (ikke bestått) | Det er ikke detektert signal over grenseverdien fra minst én amplifikasjonsreaksjon. Testen er fullført, men interne kontroller ble ikke detektert, noe som kan tyde på at resultatene kanskje ikke er gyldige. | Ingen resultater vises i deteksjonsrapporten for cobas eplex BCID-GN-panelet. Testen er ikke gyldig, gjenta testen med en ny kassett. |
| N/A (ikke aktuelt) | Den interne kontrollen i hver amplifikasjonsreaksjon genererer ikke signal over grenseverdien, men et mål i hver amplifikasjonsreaksjon genererer signal over grenseverdien. Testen er fullført og interne kontroller mislyktes, men deteksjon av signal over grenseverdien for et mål i hver amplifikasjonsreaksjon viser at gyldige resultater ble generert. | Alle resultater vises i deteksjonsrapporten for cobas eplex BCID-GN-panelet. Testen er gyldig, rapporter resultater. |
| INVALID (ugyldig) | Det har oppstått en feil under behandling, som hindrer analyse av signaldata. Testen er ikke fullført, og resultatene av testen er ikke gyldige. Årsaken kan være instrument- eller programvarefeil. | Ingen resultater vises i deteksjonsrapporten for cobas eplex BCID-GN-panelet. Testen er ikke gyldig, gjenta testen med en ny kassett. |

Eksterne kontroller

Positive og negative eksterne kontroller skal testes som et ledd i god laboratoriepraksis, i samsvar med den aktuelle akkrediteringsorganisasjonen og ved å følge brukerlaboratoriets standard prosedyrer for kvalitetskontroll. Blodkulturmedium kan brukes som den negative kontrollen. Tidligere karakteriserte positive prøver eller blodkulturmedium tilsatt velkarakteriserte organismer, kan brukes som den eksterne positive kontrollen. Eksterne kontroller skal kjøres i samsvar med laboratoriets protokoller og eventuelt akkrediteringsorganisasjoner.

RESULTATER

Tabell 4: Tolkning av resultatene i deteksjonsrapporten for cobas eplex BCID-GN-panelet

| Målresultat | Forklaring | Gjør følgende |
|----------------------------------|--|---|
| Detected (detektert) | Testen er fullført, målet har generert signal over den definerte grenseverdien, og den interne kontrollen ble rapportert som PASS (bestått). | Alle resultater vises i deteksjonsrapporten for cobas eplex BCID-GN-panelet . Testen er gyldig, rapporter resultater. |
| Not Detected (ikke detektert) | Testen er fullført, målet genererte ikke signal over den definerte grenseverdien, og den interne kontrollen ble rapportert som PASS (bestått). | Alle resultater vises i deteksjonsrapporten for cobas eplex BCID-GN-panelet . Testen er gyldig, rapporter resultater. |
| N/A (ikke aktuelt) | Testen er fullført, og en tilknyttet organisme for målgenet med antibiotikaresistens ble ikke detektert (se organismers tilknytning til resistensmarkører i tabell 7). | Alle resultater vises i deteksjonsrapporten for cobas eplex BCID-GN-panelet . Testen er gyldig, rapporter resultater. |
| Invalid (ugyldig) | Testen er ikke fullført, og resultatene av testen er ikke gyldige. Årsaken kan være instrument- eller programvarefeil. | Ingen resultater vises i deteksjonsrapporten for cobas eplex BCID-GN-panelet . Testen er ikke gyldig, gjenta testen. |

Tolkning av analyseresultater for slekter og grupper

Mange resultater i **cobas eplex BCID-GN-panelet** er basert på én enkelt analyse, men **cobas eplex BCID-GN-panelet** bruker to analyser for hvert av resultatene for *Proteus* og *Serratia*.

Proteus-resultatet i **cobas eplex BCID-GN-panelet** er basert på to analyser: den artsspesifikke *Proteus mirabilis*-analysen og den brede *Proteus*-analysen. Den brede *Proteus*-analysen detekterer *Proteus mirabilis*, men det primære formålet er å detektere andre *Proteus*-arter enn *mirabilis*. **Tabell 5** viser en detaljert oversikt over logikken for *Proteus*-mål.

Tabell 5: Resultater for *Proteus*-mål fra deteksjonsrapporten for cobas eplex BCID-GN-panelet

| Resultat for <i>Proteus</i> | <i>Proteus</i> - analyse | <i>Proteus mirabilis</i> - analyse | Beskrivelse |
|--------------------------------|-----------------------------|---------------------------------------|---|
| Ikke detektert | Negativ | Negativ | Ingen <i>Proteus</i> -arter detektert |
| Detektert | Positiv | Positiv | <i>Proteus mirabilis</i> detektert |
| Detektert | Positiv | Negativ | Ikke-artsbestemt <i>Proteus</i> detektert |

Serratia-resultatet i **cobas eplex** BCID-GN-panelet er basert på to analyser: den artsspesifikke *Serratia marcescens*-analysen og den brede *Serratia*-analysen. Den brede *Serratia*-analysen detekterer *Serratia marcescens*, men det primære formålet er å detektere andre *Serratia*-arter enn *marcescens*.

Tabell 6 viser en detaljert oversikt over logikken for *Serratia*-mål.

Tabell 6: Resultater for *Serratia*-mål fra deteksjonsrapporten for cobas eplex BCID-GN-panelet

| Resultat for <i>Serratia</i> | <i>Serratia</i> - analyse | <i>Serratia marcescens</i> - analyse | Beskrivelse |
|---------------------------------|------------------------------|---|--|
| Ikke detektert | Negativ | Negativ | Ingen <i>Serratia</i> -arter detektert |
| Detektert | Positiv | Positiv | <i>Serratia marcescens</i> detektert |
| Detektert | Positiv | Negativ | Ikke-artsbestemt <i>Serratia</i> detektert |

Tolkning av analyseresultater for resistensmarkører

Testresultater for resistensmarkører rapporteres bare når en tilknyttet organismeanalyse er positiv i samme prøve. **Tabell 7** viser organismer som er spesifikt tilknyttet de seks resistensmarkørene i **cobas eplex** BCID-GN-panelet (vist med X i tabellen). Hvis ingen tilknyttet organisme fra **tabell 7** detekteres, rapporteres resistensmarkøren som «N/A» (ikke aktuelt) (se mer informasjon i **tabell 4**).

Tabell 7: Organismers tilknytning til resistensmarkører

| Organisme | Resistensmarkør | | | | | |
|---|-----------------|-----|-----|-----|-----|-----|
| | CTX-M | IMP | KPC | NDM | OXA | VIM |
| <i>Acinetobacter baumannii</i> | X | X | X | X | X | X |
| <i>Bacteroides fragilis</i> | | | | | | |
| <i>Citrobacter</i> | X | X | X | X | X | X |
| <i>Cronobacter sakazakii</i> | | | X | | | |
| <i>Enterobacter cloacae</i> -komplekset | X | X | X | X | X | X |
| <i>Enterobacter</i> (ikke <i>cloacae</i> -komplekset) | X | X | X | X | X | X |
| <i>Escherichia coli</i> | X | X | X | X | X | X |
| <i>Fusobacterium necrophorum</i> | | | | | | |
| <i>Fusobacterium nucleatum</i> | | | | | | |
| <i>Haemophilus influenzae</i> | | | | | | |
| <i>Klebsiella oxytoca</i> | X | X | X | X | X | X |
| <i>Klebsiella pneumoniae</i> -gruppen | X | X | X | X | X | X |
| <i>Morganella morganii</i> | X | X | X | X | X | X |
| <i>Neisseria meningitidis</i> | | | | | | |
| <i>Proteus</i> | X | X | X | X | X | X |
| <i>Proteus mirabilis</i> | X | X | X | X | X | X |
| <i>Pseudomonas aeruginosa</i> | X | X | X | X | X | X |
| <i>Salmonella</i> | X | X | X | X | X | X |
| <i>Serratia</i> | X | X | X | X | X | X |
| <i>Serratia marcescens</i> | X | X | X | X | X | X |
| <i>Stenotrophomonas maltophilia</i> | X | | | | | |

Resultater av pan-analyse

Resultatet for pan-grampositive organismer i **cobas eplex** BCID-GN-panelet påviser én eller flere av følgende grampositive organismer: *Enterococcus*, *Bacillus cereus*-gruppen, *Bacillus subtilis*-gruppen, *Staphylococcus* og/eller *Streptococcus*, som vist i **tabell 8**.

Tabell 8: Resultater for pan-grampositive organismer fra deteksjonsrapporten for cobas eplex BCID-GN-panelet

| Resultat for pan-grampositive organismer | Beskrivelse |
|--|---|
| Ikke detektert | Ingen spesifiserte grampositive organismer detektert. |
| Detektert | Én eller flere av følgende grampositive organismer er detektert: <i>Enterococcus</i> , <i>Bacillus cereus</i> -gruppen, <i>Bacillus subtilis</i> -gruppen, <i>Staphylococcus</i> og/eller <i>Streptococcus</i> . Ytterligere testing for artsbestemmelse anbefales. |

Pan-*Candida*-resultatet i **cobas eplex** BCID-GN-panelet påviser én eller flere av følgende *Candida*-arter: *Candida albicans*, *Candida glabrata*, *Candida krusei* og/eller *Candida parapsilosis*, som vist i **tabell 9**.

**Tabell 9: Resultater for pan-Candida-mål fra deteksjonsrapporten
for cobas eplex BCID-GN-panelet**

| Resultat for pan-Candida | Beskrivelse |
|--------------------------|--|
| Ikke detektert | Ingen spesifiserte <i>Candida</i> -arter detektert. |
| Detektert | Én eller flere av følgende <i>Candida</i> -organismer er detektert: <i>Candida albicans</i> , <i>Candida glabrata</i> , <i>Candida krusei</i> og/eller <i>Candida parapsilosis</i> . Ytterligere testing for identifikasjon anbefales. |

TESTRAPPORTER

Flere ulike rapporter er tilgjengelige i **cobas eplex**-systemet. Resultatene gis i et format som kan skrives ut, vises elektronisk eller eksporteres for videre analyse. Rapportene kan tilpasses med kundespesifikk informasjon, for eksempel adresse, logo og institusjonsspesifikk bunntekst i hver rapport. Les mer om **cobas eplex**-rapporter i brukerhåndboken for **cobas eplex**-systemet.

Deteksjonsrapport

Deteksjonsrapporten for **cobas eplex** BCID-GN-panelet omfatter resultatene for hver individuelle prøve som kjøres i **cobas eplex**-systemet. Oppsummeringsdelen viser det totale testresultatet med alle detekterte mål i prøven. Resultatdelen viser en liste over alle mål i panelet med et individuelt resultat for hvert mål. Resultatene rapporteres som Detected (detektert), Not Detected (ikke detektert), N/A (ikke aktuelt) (hvis et resistensgen detekteres uten at en tilknyttet organisme detekteres) eller Invalid (ugyldig) (vises som en rød X). Resultatene for den interne kontrollen rapporteres som PASS (bestått), FAIL (ikke bestått), INVALID (ugyldig) eller N/A (ikke aktuelt).

Rapport for ekstern kontroll

Rapporten for ekstern kontroll for **cobas eplex** BCID-GN-panelet genereres for en ekstern kontroll som er forhåndsdefinert i programvaren for **cobas eplex** BCID-GN-panelet. Les mer om å definere eksterne kontroller i **cobas eplex**-systemet i brukerhåndboken for **cobas eplex**-systemet.

Oppsummeringsdelen viser totalresultatet (PASS/FAIL – bestått / ikke bestått) og alle detekterte mål for den eksterne kontrollen. Resultatdelen viser en liste over alle mål i panelet med resultat, forventet resultat og statusen PASS/FAIL (bestått / ikke bestått) for hvert mål. Resultatene rapporteres som Detected (detektert), Not Detected (ikke detektert), N/A (ikke aktuelt) (hvis et resistensgen detekteres uten at en tilknyttet organisme detekteres) eller Invalid (ugyldig) (vises som en rød X). Målet rapporteres som PASS (bestått) hvis det faktiske resultatet stemmer med det forventede resultatet (som definert for denne kontrollen). Målet rapporteres som FAIL (ikke bestått) hvis det faktiske resultatet ikke stemmer med det forventede resultatet. Hvis det faktiske resultatet for hvert mål stemmer med det forventede resultatet (alle mål rapporteres som PASS (bestått)), rapporteres totalresultatet for den eksterne kontrollen som PASS (bestått) i oppsummeringsdelen. Hvis det faktiske resultatet for et mål ikke stemmer med det forventede resultatet, rapporteres totalresultatet for den eksterne kontrollen som FAIL (ikke bestått) i oppsummeringsdelen.

Oppsummeringsrapport

I oppsummeringsrapporten kan operatøren bruke søkbare kriterier til å lage tilpassede rapporter ved hjelp av spesifiserte mål, datoer, datoperiode, prøve, ekstern kontroll, teststasjon eller operatør. Les mer om å lage oppsummeringsrapporter i brukerhåndboken for **cobas eplex**-systemet.

PROSEDYRENS BEGRENSNINGER

- Reseptbelagt.
- Denne testen er kvalitativ og gir ikke en kvantitativ verdi.
- Dette produktet skal ikke brukes med blodkulturmedier som inneholder kull.
- Dette produktet skal bare brukes med **cobas eplex**-instrumentet.
- Testens ytelse er bare evaluert for bruk med humant prøvemateriale.
- Denne testen er ikke validert for andre prøvematerialer enn positive blodkulturer som inneholder en organisme som er bekreftet ved gramfarging.
- Redusert sensitivitet har vært observert for enkelte mål i flasketypen BD BACTEC™ Lytic Anaerobic (se studien **Ekvivalens med prøvematriks (flaskeevaluering)**, tabell 113).
- Nukleinsyrer fra bakterier og sopp kan finnes i blodkulturmedier, uavhengig av bakterienes eller soppens levedyktighet. Deteksjon av et analysemål er ingen garanti for at de aktuelle bakteriene eller soppene er smittefarlige eller årsaksagenser til kliniske symptomer.
- Det foreligger risiko for falske negative verdier, fordi testens bakterie- eller soppmål inneholder sekvensvarianter.
- Resultatene av denne testen skal ses på bakgrunn av sykehistorie, epidemiologiske data og annen informasjon som er tilgjengelig for klinikeren som evaluerer pasienten.
- Deteksjon av nukleinsyrer fra bakterier eller sopp avhenger av korrekt innsamling, håndtering, transport, oppbevaring og klargjøring av prøvematerialer. Unnlatelse av å følge de riktige prosedyrene på noen av disse trinnene, kan gi feil resultater. Det foreligger risiko for både falske positive og falske negative resultater hvis prøvematerialer innsamles, transportereres eller håndteres på feil måte.
- Resultatet «No Targets Detected» (ingen mål detektert) i **cobas eplex** BCID-GN-panelet utelukker ikke at det kan foreligge en bakterie- eller soppinfeksjon. Selv om ingen mål detekteres, kan prøvematerialet inneholde en organisme som ikke er definert som et mål i **cobas eplex** BCID-GN-panelet.
- Mangelfull deteksjon kan skje på grunn av inhibitorer, teknisk feil, prøveforveksling eller infeksjon forårsaket av en organisme som ikke detekteres av panelet.
- Testresultatene kan påvirkes av samtidig behandling med antimikrobielle midler eller bakterie- eller soppnivåer i prøvematerialet som ligger under deteksjonsgrensen for testen.
- I blandede kulturer er det ikke sikkert at **cobas eplex** BCID-GN-panelet identifiserer alle organismer i prøvematerialet, avhengig av konsentrasjonen av hvert av målene som finnes.
- Resultatene av **cobas eplex** BCID-GN-panelet skal ikke brukes som eneste grunnlag for diagnostikk, sykdomsbehandling eller andre beslutninger om pasientbehandling.
- BCID-GN-panelets analyser for pan-*Candida* og pan-grampositive organismer skal detektere *Candida* og grampositive mikroorganismer i blandede blodkulturer, der mikroorganismene kanskje ikke oppdages ved gramfarging. Det ble observert lavere enn forventet klinisk sensitivitet for disse analyttene, sannsynligvis fordi *Candida*-arter eller grampositive mikroorganismer fantes i blandede kulturer ved konsentraserjoner som var lavere enn de respektive deteksjonsgrensene for pan-*Candida*-mål og pan-grampositive mål.
- Effekten av påvirkningsstoffer er bare evaluert for stoffene som er oppført i dette pakningsvedlegget. Påvirkning fra andre stoffer enn de som er beskrevet under «Påvirkningsstoffer», kan gi feil resultater.
- For *Enterococcus saccharolyticus*, *Serratia odorifera* og *Streptococcus thoraltensis* ble det ikke observert 100 % deteksjon ved forventede konsentraserjoner for positiv flaske. Redusert sensitivitet kan observeres for disse artene. Se nærmere informasjon i studien **Analytisk reaktivitet (inklusivitet)**, tabell 65, og i delen **Predikert (in silico) reaktivitet**.
- Falske negative resultater kan oppstå for prøvematerialet som inneholder *Fusobacterium necrophorum*, fordi analysens deteksjonsgrense for *F. necrophorum* kan være nær konsentraserjonen som observeres på tidspunktet for positiv flaske. Se mer informasjon i studien **Deteksjonsgrense (LOD)**, tabell 64.
- *Staphylococcus simulans* var ikke reaktiv ved en konsentraserjon på 1×10^8 cfu/ml og detekteres kanskje ikke av **cobas eplex** BCID-GN-panelet.

cobas eplex BCID gram-negative panel (panel for identifikasjon av gramnegative organismer)

- *Shigella* viste kryssreaktivitet med *Escherichia coli*-analysen.
- *Fusobacterium periodonticum*, *canifelinum* og *simiae* viste kryssreaktivitet med *Fusobacterium nucleatum*-analysen.
- *Acinetobacter anitratus* viste kryssreaktivitet med *Acinetobacter baumannii*-analysen ved nivåer $>1 \times 10^4$ cfu/ml.
- *Enterobacter cowanii* viste kryssreaktivitet med analysen for *Enterobacter cloacae*-komplekset ved nivåer $>1 \times 10^8$ cfu/ml.
- *Escherichia hermanii* viste kryssreaktivitet med analysen for *Enterobacter* (ikke *cloacae*-komplekset) ved nivåer $>1 \times 10^6$ cfu/ml, og med *Serratia*-analysen ved nivåer $>1 \times 10^7$ cfu/ml.
- Sleks- og gruppeanalysene som medfølger som en del av BCID-GN-panelet, skal detektere arter på bredt grunnlag, men vil ikke nødvendigvis detektere alle arter innenfor en slekt eller gruppe. Se studien **Analytisk reaktivitet (inklusivitet), tabell 65**, og delen **Predikert (in silico) reaktivitet** i dette pakningsvedlegget for informasjon om arter som detekteres av disse analysene.
- Når det gjelder analyser på slektsnivå, kan det hende at et ikke-artsbestemt mål kan være maskert i tilfelle samtidig infeksjon. Hvis for eksempel en ikke-artsbestemt *Serratia*-art finnes i samme prøve som *Serratia marcescens*, er det ikke mulig å fastslå at den ikke-artsbestemte *Serratia*-arten finnes.
- BLAST-søk til støtte for *in silico*-analyser ble utført i mars 2018. Nye genvarianter som er lagret i GenBank etter mars 2018, er derfor ikke evaluert.

FORVENTEDE VERDIER

En prospektiv, klinisk flersenterstudie ble gjennomført for å evaluere den kliniske ytelsen til **cobas eplex** BCID-GN-panelet i positive blodkulturprøver. Totalt 349 prøver ble prospektivt innsamlet ved 7 kliniske steder i 2 faser fra pasienter av alle aldre og kjønn. I første fase fra juni 2014 til og med juli 2016 ble 182 prøver prospektivt innsamlet og nedfrosset. Fra juni til og med juli 2018 ble 167 prøver prospektivt innsamlet og testet ferske (aldri nedfrosset). De forventede verdiene av individuelle analytter basert på resultatene av **cobas eplex** BCID-GN-panelet i de prospektive prøvene er oppsummert etter aldersgruppe og sted i **tabell 10** og **11** nedenfor.

Tabell 10: Forventet verdi ut fra aldersgruppe (prospektive prøver)

| Mål | Alle andre (N = 349) n (%) | Alder <1 (N = 7) n (%) | Alder 1–17 (N = 10) n (%) | Alder 18–44 (N = 50) n (%) | Alder 45–64 (N = 124) n (%) | Alder 65–84 (N = 125) n (%) | Alder 85+ (N = 33) n (%) |
|---|----------------------------------|------------------------------|---------------------------------|----------------------------------|-----------------------------------|-----------------------------------|--------------------------------|
| <i>Acinetobacter baumannii</i> | 4 (1,1) | 0 (0,0) | 0 (0,0) | 1 (2,0) | 2 (1,6) | 1 (0,8) | 0 (0,0) |
| <i>Bacteroides fragilis</i> | 11 (3,2) | 0 (0,0) | 0 (0,0) | 2 (4,0) | 4 (3,2) | 2 (1,6) | 3 (9,1) |
| <i>Citrobacter</i> | 8 (2,3) | 0 (0,0) | 0 (0,0) | 2 (4,0) | 1 (0,8) | 2 (1,6) | 3 (9,1) |
| <i>Cronobacter sakazakii</i> | 0 (0,0) | 0 (0,0) | 0 (0,0) | 0 (0,0) | 0 (0,0) | 0 (0,0) | 0 (0,0) |
| <i>Enterobacter</i> (ikke cloacae-komplekset) | 9 (2,6) | 0 (0,0) | 1 (10,0) | 2 (4,0) | 5 (4,0) | 1 (0,8) | 0 (0,0) |
| <i>Enterobacter cloacae</i> -komplekset | 23 (6,6) | 3 (42,9) | 1 (10,0) | 6 (12,0) | 5 (4,0) | 8 (6,4) | 0 (0,0) |
| <i>Escherichia coli</i> | 132 (37,8) | 2 (28,6) | 2 (20,0) | 16 (32,0) | 41 (33,1) | 55 (44,0) | 16 (48,5) |
| <i>Fusobacterium necrophorum</i> | 0 (0,0) | 0 (0,0) | 0 (0,0) | 0 (0,0) | 0 (0,0) | 0 (0,0) | 0 (0,0) |
| <i>Fusobacterium nucleatum</i> | 0 (0,0) | 0 (0,0) | 0 (0,0) | 0 (0,0) | 0 (0,0) | 0 (0,0) | 0 (0,0) |
| <i>Haemophilus influenzae</i> | 7 (2,0) | 0 (0,0) | 0 (0,0) | 3 (6,0) | 1 (0,8) | 1 (0,8) | 2 (6,1) |
| <i>Klebsiella oxytoca</i> | 12 (3,4) | 0 (0,0) | 0 (0,0) | 3 (6,0) | 8 (6,5) | 1 (0,8) | 0 (0,0) |
| <i>Klebsiella pneumoniae</i> -gruppen | 59 (16,9) | 1 (14,3) | 1 (10,0) | 10 (20,0) | 26 (21,0) | 17 (13,6) | 4 (12,1) |
| <i>Morganella morganii</i> | 3 (0,9) | 0 (0,0) | 0 (0,0) | 0 (0,0) | 2 (1,6) | 1 (0,8) | 0 (0,0) |
| <i>Neisseria meningitidis</i> | 0 (0,0) | 0 (0,0) | 0 (0,0) | 0 (0,0) | 0 (0,0) | 0 (0,0) | 0 (0,0) |
| <i>Proteus</i> | 22 (6,3) | 0 (0,0) | 0 (0,0) | 0 (0,0) | 6 (4,8) | 13 (10,4) | 3 (9,1) |
| <i>Proteus mirabilis</i> | 22 (6,3) | 0 (0,0) | 0 (0,0) | 0 (0,0) | 6 (4,8) | 13 (10,4) | 3 (9,1) |
| <i>Pseudomonas aeruginosa</i> | 28 (8,0) | 0 (0,0) | 2 (20,0) | 3 (6,0) | 12 (9,7) | 10 (8,0) | 1 (3,0) |
| <i>Salmonella</i> | 2 (0,6) | 0 (0,0) | 0 (0,0) | 0 (0,0) | 1 (0,8) | 1 (0,8) | 0 (0,0) |
| <i>Serratia</i> | 10 (2,9) | 0 (0,0) | 1 (10,0) | 0 (0,0) | 5 (4,0) | 4 (3,2) | 0 (0,0) |
| <i>Serratia marcescens</i> | 9 (2,6) | 0 (0,0) | 1 (10,0) | 0 (0,0) | 4 (3,2) | 4 (3,2) | 0 (0,0) |
| <i>Stenotrophomonas maltophilia</i> | 3 (0,9) | 0 (0,0) | 0 (0,0) | 3 (6,0) | 0 (0,0) | 0 (0,0) | 0 (0,0) |
| <i>Pan-Candida</i> | 2 (0,6) | 1 (14,3) | 0 (0,0) | 0 (0,0) | 1 (0,8) | 0 (0,0) | 0 (0,0) |
| Pan-grampositive organismer | 24 (6,9) | 1 (14,3) | 2 (20,0) | 5 (10,0) | 7 (5,6) | 7 (5,6) | 2 (6,1) |
| CTX-M | 24 (6,9) | 0 (0,0) | 0 (0,0) | 2 (4,0) | 7 (5,6) | 12 (9,6) | 3 (9,1) |
| IMP | 0 (0,0) | 0 (0,0) | 0 (0,0) | 0 (0,0) | 0 (0,0) | 0 (0,0) | 0 (0,0) |
| KPC | 3 (0,9) | 0 (0,0) | 0 (0,0) | 1 (2,0) | 1 (0,8) | 1 (0,8) | 0 (0,0) |
| NDM | 0 (0,0) | 0 (0,0) | 0 (0,0) | 0 (0,0) | 0 (0,0) | 0 (0,0) | 0 (0,0) |
| OXA | 1 (0,3) | 0 (0,0) | 0 (0,0) | 0 (0,0) | 1 (0,8) | 0 (0,0) | 0 (0,0) |
| VIM | 0 (0,0) | 0 (0,0) | 0 (0,0) | 0 (0,0) | 0 (0,0) | 0 (0,0) | 0 (0,0) |

Tabell 11: Forventet verdi ut fra innsamlingssted (prospektive prøver)

| Mål | Alle steder (N = 349) n (%) | Sted 1 (N = 88) n (%) | Sted 2 (N = 23) n (%) | Sted 3 (N = 98) n (%) | Sted 4 (N = 58) n (%) | Sted 5 (N = 46) n (%) | Sted 6 (N = 28) n (%) | Sted 7 (N = 8) n (%) |
|---|-----------------------------------|-----------------------------|-----------------------------|-----------------------------|-----------------------------|-----------------------------|-----------------------------|----------------------------|
| <i>Acinetobacter baumannii</i> | 4 (1,1) | 3 (3,4) | 0 (0,0) | 1 (1,0) | 0 (0,0) | 0 (0,0) | 0 (0,0) | 0 (0,0) |
| <i>Bacteroides fragilis</i> | 11 (3,2) | 2 (2,3) | 3 (13,0) | 3 (3,1) | 2 (3,4) | 1 (2,2) | 0 (0,0) | 0 (0,0) |
| <i>Citrobacter</i> | 8 (2,3) | 2 (2,3) | 0 (0,0) | 3 (3,1) | 1 (1,7) | 1 (2,2) | 1 (3,6) | 0 (0,0) |
| <i>Cronobacter sakazakii</i> | 0 (0,0) | 0 (0,0) | 0 (0,0) | 0 (0,0) | 0 (0,0) | 0 (0,0) | 0 (0,0) | 0 (0,0) |
| <i>Enterobacter</i> (ikke cloacae-komplekset) | 9 (2,6) | 2 (2,3) | 0 (0,0) | 4 (4,1) | 0 (0,0) | 1 (2,2) | 2 (7,1) | 0 (0,0) |
| <i>Enterobacter cloacae</i> -komplekset | 23 (6,6) | 3 (3,4) | 1 (4,3) | 10 (10,2) | 1 (1,7) | 6 (13,0) | 2 (7,1) | 0 (0,0) |
| <i>Escherichia coli</i> | 132 (37,8) | 30 (34,1) | 8 (34,8) | 37 (37,8) | 25 (43,1) | 17 (37,0) | 12 (42,9) | 3 (37,5) |
| <i>Fusobacterium necrophorum</i> | 0 (0,0) | 0 (0,0) | 0 (0,0) | 0 (0,0) | 0 (0,0) | 0 (0,0) | 0 (0,0) | 0 (0,0) |
| <i>Fusobacterium nucleatum</i> | 0 (0,0) | 0 (0,0) | 0 (0,0) | 0 (0,0) | 0 (0,0) | 0 (0,0) | 0 (0,0) | 0 (0,0) |
| <i>Haemophilus influenzae</i> | 7 (2,0) | 1 (1,1) | 0 (0,0) | 2 (2,0) | 2 (3,4) | 1 (2,2) | 1 (3,6) | 0 (0,0) |
| <i>Klebsiella oxytoca</i> | 12 (3,4) | 5 (5,7) | 0 (0,0) | 3 (3,1) | 1 (1,7) | 2 (4,3) | 1 (3,6) | 0 (0,0) |
| <i>Klebsiella pneumoniae</i> -gruppen | 59 (16,9) | 17 (19,3) | 3 (13,0) | 20 (20,4) | 5 (8,6) | 7 (15,2) | 4 (14,3) | 3 (37,5) |
| <i>Morganella morganii</i> | 3 (0,9) | 0 (0,0) | 1 (4,3) | 2 (2,0) | 0 (0,0) | 0 (0,0) | 0 (0,0) | 0 (0,0) |
| <i>Neisseria meningitidis</i> | 0 (0,0) | 0 (0,0) | 0 (0,0) | 0 (0,0) | 0 (0,0) | 0 (0,0) | 0 (0,0) | 0 (0,0) |
| <i>Proteus</i> | 22 (6,3) | 9 (10,2) | 0 (0,0) | 5 (5,1) | 5 (8,6) | 2 (4,3) | 1 (3,6) | 0 (0,0) |
| <i>Proteus mirabilis</i> | 22 (6,3) | 9 (10,2) | 0 (0,0) | 5 (5,1) | 5 (8,6) | 2 (4,3) | 1 (3,6) | 0 (0,0) |
| <i>Pseudomonas aeruginosa</i> | 28 (8,0) | 5 (5,7) | 2 (8,7) | 10 (10,2) | 8 (13,8) | 2 (4,3) | 1 (3,6) | 0 (0,0) |
| <i>Salmonella</i> | 2 (0,6) | 1 (1,1) | 0 (0,0) | 0 (0,0) | 0 (0,0) | 1 (2,2) | 0 (0,0) | 0 (0,0) |
| <i>Serratia</i> | 10 (2,9) | 1 (1,1) | 2 (8,7) | 1 (1,0) | 3 (5,2) | 3 (6,5) | 0 (0,0) | 0 (0,0) |
| <i>Serratia marcescens</i> | 9 (2,6) | 1 (1,1) | 2 (8,7) | 1 (1,0) | 3 (5,2) | 2 (4,3) | 0 (0,0) | 0 (0,0) |
| <i>Stenotrophomonas maltophilia</i> | 3 (0,9) | 1 (1,1) | 0 (0,0) | 0 (0,0) | 1 (1,7) | 0 (0,0) | 1 (3,6) | 0 (0,0) |
| <i>Pan-Candida</i> | 2 (0,6) | 0 (0,0) | 0 (0,0) | 1 (1,0) | 0 (0,0) | 0 (0,0) | 1 (3,6) | 0 (0,0) |
| Pan-grampositive organismer | 24 (6,9) | 15 (17,0) | 1 (4,3) | 5 (5,1) | 1 (1,7) | 0 (0,0) | 2 (7,1) | 0 (0,0) |
| CTX-M | 24 (6,9) | 9 (10,2) | 1 (4,3) | 3 (3,1) | 4 (6,9) | 5 (10,9) | 2 (7,1) | 0 (0,0) |
| IMP | 0 (0,0) | 0 (0,0) | 0 (0,0) | 0 (0,0) | 0 (0,0) | 0 (0,0) | 0 (0,0) | 0 (0,0) |
| KPC | 3 (0,9) | 1 (1,1) | 0 (0,0) | 1 (1,0) | 1 (1,7) | 0 (0,0) | 0 (0,0) | 0 (0,0) |
| NDM | 0 (0,0) | 0 (0,0) | 0 (0,0) | 0 (0,0) | 0 (0,0) | 0 (0,0) | 0 (0,0) | 0 (0,0) |
| OXA | 1 (0,3) | 1 (1,1) | 0 (0,0) | 0 (0,0) | 0 (0,0) | 0 (0,0) | 0 (0,0) | 0 (0,0) |
| VIM | 0 (0,0) | 0 (0,0) | 0 (0,0) | 0 (0,0) | 0 (0,0) | 0 (0,0) | 0 (0,0) | 0 (0,0) |

YTELSESEGENSKAPER

KLINISK YTELSE

Prøver med gyldige sluttresultater av **cobas eplex** BCID-GN-testen og et gyldig komparatorresultat ble evaluert og tatt med i oppsummeringer og analyser av demografi, forventede verdier (positivitetsrate) og ytelses-egenskaper. Evaluerbare prøver omfattet 167 prospektive ferske og 182 prospektive frosne prøver samt 577 retrospektive prøver og 777 simulerte prøver.

Komparatormetode

cobas eplex BCID-GN-panelets ytelse ble sammenlignet med standard laboratorieprosedyrer for identifikasjon av isolater i blodkultur, herunder tradisjonelle og automatiserte identifikasjonsmetoder, MALDI-TOF IVD og mikrobiologiske og biokjemiske teknikker. Identifikasjon for prøver med *Acinetobacter baumannii* eller *Candida parapsilosis* identifisert med standard laboratorieprosedyrer, ble bekreftet ved hjelp av analytisk validerte PCR-analyser etterfulgt av toveis sekvensering. Når det gjelder gener for antibiotikaresistens, ble **cobas eplex** BCID-GN-panelet sammenlignet med analytisk validerte qPCR-amplifikasjonsanalyser, etterfulgt av toveis sekvensering i prøver med en tilknyttet organisme som var identifisert i kultur (se organismers tilknytning i **tabell 7**).

Resultatene av komparatormetoden(e) ble brukt til å fastslå statusen detektert / ikke detektert for hver målorganisme i **cobas eplex** BCID-GN-panelet. Komparatormetodene for hvert mål er oppsummert i **tabell 12**.

Tabell 12: Komparatormetode(r) etter mål i cobas eplex BCID-GN-panelet

| Mål | Komparatormetode |
|---|---|
| <i>Acinetobacter baumannii</i> | Standard laboratorieprosedyrer for organismeidentifikasjon. PCR/sekvensering for å bekrefte <i>Acinetobacter baumannii</i> eller andre <i>Acinetobacter</i> -arter som ikke omfattes av dette panelet. |
| <i>Bacteroides fragilis</i> | |
| <i>Citrobacter</i> | |
| <i>Cronobacter sakazakii</i> | |
| <i>Enterobacter cloacae</i> -komplekset | |
| <i>Enterobacter</i> (ikke <i>cloacae</i> -komplekset) | |
| <i>Escherichia coli</i> | |
| <i>Fusobacterium necrophorum</i> | |
| <i>Fusobacterium nucleatum</i> | |
| <i>Haemophilus influenzae</i> | |
| <i>Klebsiella oxytoca</i> | Standard laboratorieprosedyrer for organismeidentifikasjon. |
| <i>Klebsiella pneumoniae</i> -gruppen | |
| <i>Morganella morganii</i> | |
| <i>Neisseria meningitidis</i> | |
| <i>Proteus</i> | |
| <i>Proteus mirabilis</i> | |
| <i>Pseudomonas aeruginosa</i> | |
| <i>Salmonella</i> | |
| <i>Serratia</i> | |

| Mål | Komparatormetode |
|-------------------------------------|--|
| <i>Serratia marcescens</i> | |
| <i>Stenotrophomonas maltophilia</i> | |
| Pan-grampositive organismer | |
| Pan- <i>Candida</i> | Standard laboratorieprosedyrer for organismeidentifikasjon. PCR/sekvensering for å bekrefte <i>C. parapsilosis</i> eller identifisere <i>C. metapsilosis</i> , <i>C. orthopsilosis</i> . |
| CTX-M, IMP, KPC, NDM, OXA, VIM | qPCR/sekvensering i prøver med tilknyttet organisme som ble detektert ved komparatormetode. Se organismers tilknytning i tabell 7 . |

Demografi i kliniske prøver

Klinisk ytelse ble evaluert i positive blodkulturprøver som er innsamlet prospektivt og retrospektivt. Prospektive prøver ble innsamlet på 7 kliniske steder i 2 faser. Fra juni 2014 til og med juli 2016 ble 183 prøver prospektivt innsamlet og nedfrosset. Fra juni til og med juli 2018 ble 171 prøver prospektivt innsamlet og testet ferske (aldrig nedfrosset) – totalt 354 prøver i de 2 fasene. Én av disse prøvene ble trukket som følge av organismeidentifisering via uakseptable metoder. 349 av de 353 prospektivt innsamlede prøvene som var kvalifisert for testing, var evaluerbare. Prøver med endelige, gyldige resultater fra **cobas eplex** BCID-GN-panelet og et gyldig komparatorresultat var evaluerbare. Fire prøver ble ikke evaluert, fordi de manglet gyldige sluttresultater fra **cobas eplex** BCID-GN-panelet og ble ekskludert fra ytelsesevaluering. Demografisk informasjon for prøver som er innsamlet prospektivt, er beskrevet i **tabell 13**. Deltakerne i denne studien hadde ulik demografisk bakgrunn og representerer den tiltenkte pasientpopulasjonen.

578 prøver ble innsamlet retrospektivt for å supplere antallet positive resultater for mål med lav prevalens i den prospektive innsamlingen, og 577 var evaluerbare. Én prøve ble ikke evaluert, fordi den manglet et gyldig sluttresultat fra **cobas eplex** BCID-GN-panelet og ble ekskludert fra ytelsesevaluering. Demografisk informasjon for prøver som er innsamlet retrospektivt, er beskrevet i **tabell 14**.

Tabell 13: Demografiske data for kliniske prøver etter innsamlingssted (prospektiv innsamling)

| | Alle steder N = 349 n (%) | Sted 1 N = 88 n (%) | Sted 2 N = 23 n (%) | Sted 3 N = 98 n (%) | Sted 4 N = 58 n (%) | Sted 5 N = 46 n (%) | Sted 6 N = 28 n (%) | Sted 7 N = 8 n (%) |
|--------------|---------------------------------|---------------------------|---------------------------|---------------------------|---------------------------|---------------------------|---------------------------|--------------------------|
| Kjønn | | | | | | | | |
| Mann | 168 (48,1) | 37 (42,0) | 12 (52,2) | 52 (53,1) | 28 (48,3) | 21 (45,7) | 13 (46,4) | 5 (62,5) |
| Kvinne | 181 (51,9) | 51 (58,0) | 11 (47,8) | 46 (46,9) | 30 (51,7) | 25 (54,3) | 15 (53,6) | 3 (37,5) |
| Alder | | | | | | | | |
| <1 år | 7 (2,0) | 2 (2,3) | 0 (0,0) | 4 (4,1) | 0 (0,0) | 1 (2,2) | 0 (0,0) | 0 (0,0) |
| 1–17 år | 10 (2,9) | 4 (4,5) | 1 (4,3) | 3 (3,1) | 1 (1,7) | 1 (2,2) | 0 (0,0) | 0 (0,0) |
| 18–44 år | 50 (14,3) | 10 (11,4) | 3 (13,0) | 20 (20,4) | 3 (5,2) | 8 (17,4) | 6 (21,4) | 0 (0,0) |
| 45–64 år | 124 (35,5) | 35 (39,8) | 9 (39,1) | 28 (28,6) | 21 (36,2) | 14 (30,4) | 13 (46,4) | 4 (50,0) |
| 65–84 år | 125 (35,8) | 29 (33,0) | 8 (34,8) | 35 (35,7) | 25 (43,1) | 17 (37,0) | 7 (25,0) | 4 (50,0) |
| 85+ år | 33 (9,5) | 8 (9,1) | 2 (8,7) | 8 (8,2) | 8 (13,8) | 5 (10,9) | 2 (7,1) | 0 (0,0) |

Tabell 14: Demografiske data for kliniske prøver etter innsamlingssted (retrospektiv innsamling)

| | Alle steder N = 577 n (%) | Sted 1 N = 78 n (%) | Sted 2 N = 73 n (%) | Sted 3 N = 31 n (%) | Sted 4 N = 93 n (%) | Sted 5 N = 1 n (%) | Sted 6 N = 80 n (%) | Sted 7 N = 67 n (%) | Sted 8 N = 48 n (%) | Sted 9 N = 29 n (%) | Sted 10 N = 77 n (%) |
|--------------|---------------------------------|---------------------------|---------------------------|---------------------------|---------------------------|--------------------------|---------------------------|---------------------------|---------------------------|---------------------------|----------------------------|
| Kjønn | | | | | | | | | | | |
| Mann | 307 (53,2) | 36 (46,2) | 41 (56,2) | 15 (48,4) | 49 (52,7) | 0 (0,0) | 47 (58,8) | 38 (56,7) | 29 (60,4) | 19 (65,5) | 33 (42,9) |
| Kvinne | 270 (46,8) | 42 (53,8) | 32 (43,8) | 16 (51,6) | 44 (47,3) | 1 (100) | 33 (41,3) | 29 (43,3) | 19 (39,6) | 10 (34,5) | 44 (57,1) |
| Alder | | | | | | | | | | | |
| <1 år | 9 (1,6) | 1 (1,3) | 0 (0,0) | 0 (0,0) | 3 (3,2) | 0 (0,0) | 2 (2,5) | 0 (0,0) | 1 (2,1) | 0 (0,0) | 2 (2,6) |
| 1–17 år | 20 (3,5) | 1 (1,3) | 0 (0,0) | 1 (3,2) | 8 (8,6) | 0 (0,0) | 6 (7,5) | 0 (0,0) | 0 (0,0) | 1 (3,4) | 3 (3,9) |
| 18–44 år | 78 (13,5) | 13 (16,7) | 7 (9,6) | 2 (6,5) | 10 (10,8) | 1 (100) | 15 (18,8) | 8 (11,9) | 8 (16,7) | 6 (20,7) | 8 (10,4) |
| 45–64 år | 193 (33,4) | 27 (34,6) | 18 (24,7) | 13 (41,9) | 27 (29,0) | 0 (0,0) | 32 (40,0) | 27 (40,3) | 16 (33,3) | 9 (31,0) | 24 (31,2) |
| 65–84 år | 226 (39,2) | 29 (37,2) | 40 (54,8) | 11 (35,5) | 40 (43,0) | 0 (0,0) | 20 (25,0) | 24 (35,8) | 21 (43,8) | 11 (37,9) | 30 (39,0) |
| 85+ år | 49 (8,5) | 7 (9,0) | 8 (11,0) | 4 (12,9) | 5 (5,4) | 0 (0,0) | 5 (6,3) | 6 (9,0) | 2 (4,2) | 2 (6,9) | 10 (13,0) |
| Ukjent | 2 (0,3) | 0 (0,0) | 0 (0,0) | 0 (0,0) | 0 (0,0) | 0 (0,0) | 0 (0,0) | 2 (3,0) | 0 (0,0) | 0 (0,0) | 0 (0,0) |

Klinisk ytelse

Sensitivitet eller positiv prosentoverensstemmelse (PPA) ble utregnet ved å dividere antall sanne positive (SP) resultater med summen av SP og falske negative (FN) resultater. Spesifisitet eller negativ prosentoverensstemmelse (NPA) ble utregnet ved å dividere antall sanne negative (SN) resultater med summen av SN og falske positive (FP) resultater. Et SP-resultat ble definert som en prøve der det detekterte resultatet i **cobas eplex** BCID-GN-panelet stemte med det detekterte resultatet oppnådd med komparatormetoden. Et SN-resultat oppstod der et negativt resultat i **cobas eplex** BCID-GN-panelet stemte med et negativt resultat oppnådd med komparatormetoden. Det tosidige 95 % konfidensintervallet ble også utregnet.

Totalt 349 prospektivt innsamlede prøver (167 ble testet ferske og 182 ble testet etter å ha vært nedfrosne) og 577 retrospektivt innsamlede prøver fra blodkulturflasker som flagget ut positivt i et kontinuerlig overvåket blodkultursystem og ble fjernet fra systemet innen 8 timer etter at de ble konstatert positive, ble evaluert for målene i **cobas eplex** BCID-GN-panelet. De evaluerte prøvene ble fastslått å inneholde gramnegative eller gramvariable organismer på grunnlag av gramfarging. Totalt 777 simulerte prøver ble laget ved å tilsette et isolat i en blodkulturflaske med humant fullblod, og dyrke til den flagget ut som positiv i et kontinuerlig overvåket blodkultursystem. Simulerte prøver ble fjernet fra systemet innen 8 timer etter fastslått positivitet og ble oppbevart frosne til testtidspunktet. PPA- og NPA-resultatene er oppsummert etter mål i **tabell 15–42** nedenfor, og stammene som ble brukt til å simulere prøver, er oppsummert i **tabell 43**.

Tabell 15: Klinisk ytelse for *Acinetobacter baumannii*

| Mål | Prøvetype | Sensitivitet/PPA (positiv prosentoverensstemmelse) | | Spesifisitet/NPA (negativ prosentoverensstemmelse) | |
|--------------------------------|--------------------------------|--|-----------------------|--|------------------------|
| | | SP/SP+FN | % (95 % KI) | SN/SN+FP | % (95 % KI) |
| <i>Acinetobacter baumannii</i> | Prospektiv (fersk) | 0/0 | --- | 167/167 | 100 (97,8–100) |
| | Prospektiv (frossen) | 4/4 | 100 (51,0–100) | 178/178 | 100 (97,9–100) |
| | Prospektiv (alle) | 4/4 | 100 (51,0–100) | 345/345 | 100 (98,9–100) |
| | Retrospektiv | 15/15 | 100 (79,6–100) | 560/561 | 99,8 (99,0–100) |
| | Prospektiv/retrospektiv | 19/19 | 100 (83,2–100) | 905/906^A | 99,9 (99,4–100) |
| | Simulert | 55/55 | 100 (93,5–100) | 722/722 | 100 (99,5–100) |
| | Totalt | 74/74 | 100 (95,1–100) | 1627/1628 | 99,9 (99,7–100) |

KI = konfidensintervall

A. *A. baumannii* ble detektert i 1/1 falsk positiv prøve ved PCR/sekvensing.

Tabell 16: Klinisk ytelse for *Bacteroides fragilis*

| Mål | Prøvetype | Sensitivitet/PPA (positiv prosentoverensstemmelse) | | Spesifisitet/NPA (negativ prosentoverensstemmelse) | |
|-----------------------------|--------------------------------|--|-------------------------|--|-------------------------|
| | | SP/SP+FN | % (95 % KI) | SN/SN+FP | % (95 % KI) |
| <i>Bacteroides fragilis</i> | Prospektiv (fersk) | 6/6 | 100 (61,0–100) | 161/161 | 100 (97,7–100) |
| | Prospektiv (frossen) | 5/5 | 100 (56,6–100) | 177/177 | 100 (97,9–100) |
| | Prospektiv (alle) | 11/11 | 100 (74,1–100) | 338/338 | 100 (98,9–100) |
| | Retrospektiv | 14/17 | 82,4 (59,0–93,8) | 558/560 | 99,6 (98,7–99,9) |
| | Prospektiv/retrospektiv | 25/28^A | 89,3 (72,8–96,3) | 896/898^B | 99,8 (99,2–99,9) |
| | Simulert | 40/40 | 100 (91,2–100) | 737/737 | 100 (99,5–100) |
| | Totalt | 65/68 | 95,6 (87,8–98,5) | 1633/1635 | 99,9 (99,6–100) |

A. *B. fragilis* ble ikke detektert i 2 falske negative prøver, men ved PCR/sekvensing ble *B. caccae* og *B. thetaiotaomicron* detektert i stedet – disse ble ikke identifisert ved standard laboratorieprosedyrer.

B. *B. fragilis* ble detektert i 2/2 falske positive prøver ved PCR/sekvensing.

Tabell 17: Klinisk ytelse for *Citrobacter*

| Mål | Prøvetype | Sensitivitet/PPA (positiv prosentoverensstemmelse) | | Spesifisitet/NPA (negativ prosentoverensstemmelse) | |
|--------------------|--------------------------------|--|-------------------------|--|-------------------------|
| | | SP/SP+FN | % (95 % KI) | SN/SN+FP | % (95 % KI) |
| <i>Citrobacter</i> | Prospektiv (fersk) | 3/3 | 100 (43,9–100) | 163/164 | 99,4 (96,6–99,9) |
| | Prospektiv (frossen) | 2/2 | 100 (34,2–100) | 178/180 | 98,9 (96,0–99,7) |
| | Prospektiv (alle) | 5/5 | 100 (56,6–100) | 341/344 | 99,1 (97,5–99,7) |
| | Retrospektiv | 20/21 | 95,2 (77,3–99,2) | 555/556 | 99,8 (99,0–100) |
| | Prospektiv/retrospektiv | 25/26 | 96,2 (81,1–99,3) | 896/900^A | 99,6 (98,9–99,8) |
| | Simulert | 43/43 | 100 (91,8–100) | 734/734 | 100 (99,5–100) |
| | Totalt | 68/69 | 98,6 (92,2–99,7) | 1630/1634 | 99,8 (99,4–99,9) |

A. *C. braakii* (2) og *C. freundii* (2) ble detektert i 4/4 falske positive prøver ved PCR/sekvensing.

Tabell 18: Klinisk ytelse for *Cronobacter sakazakii*

| Mål | Prøvetype | Sensitivitet/PPA (positiv prosentoverensstemmelse) | | Spesifisitet/NPA (negativ prosentoverensstemmelse) | |
|------------------------------|--------------------------------|--|-----------------------|--|-----------------------|
| | | SP/SP+FN | % (95 % KI) | SN/SN+FP | % (95 % KI) |
| <i>Cronobacter sakazakii</i> | Prospektiv (fersk) | 0/0 | --- | 167/167 | 100 (97,8–100) |
| | Prospektiv (frossen) | 0/0 | --- | 182/182 | 100 (97,9–100) |
| | Prospektiv (alle) | 0/0 | --- | 349/349 | 100 (98,9–100) |
| | Retrospektiv | 1/1 | 100 (20,7–100) | 576/576 | 100 (99,3–100) |
| | Prospektiv/retrospektiv | 1/1 | 100 (20,7–100) | 925/925 | 100 (99,6–100) |
| | Simulert | 45/45 | 100 (92,1–100) | 732/732 | 100 (99,5–100) |
| | Totalt | 46/46 | 100 (92,3–100) | 1657/1657 | 100 (99,8–100) |

Tabell 19: Klinisk ytelse for *Enterobacter cloacae*-komplekset

| Mål | Prøvetype | Sensitivitet/PPA (positiv prosentoverensstemmelse) | | Spesifisitet/NPA (negativ prosentoverensstemmelse) | |
|---|--------------------------------|--|-------------------------|--|-------------------------|
| | | SP/SP+FN | % (95 % KI) | SN/SN+FP | % (95 % KI) |
| <i>Enterobacter cloacae</i> -komplekset | Prospektiv (fersk) | 12/12 | 100 (75,8–100) | 153/155 | 98,7 (95,4–99,6) |
| | Prospektiv (frossen) | 7/7 | 100 (64,6–100) | 173/175 | 98,9 (95,9–99,7) |
| | Prospektiv (alle) | 19/19 | 100 (83,2–100) | 326/330 | 98,8 (96,9–99,5) |
| | Retrospektiv | 47/50 | 94,0 (83,8–97,9) | 526/527 | 99,8 (98,9–100) |
| | Prospektiv/retrospektiv | 66/69^A | 95,7 (88,0–98,5) | 852/857^B | 99,4 (98,6–99,8) |
| | Simulert | 35/37 ^C | 94,6 (82,3–98,5) | 739/740 | 99,9 (99,2–100) |
| | Totalt | 101/106 | 95,3 (89,4–98,0) | 1591/1597 | 99,6 (99,2–99,8) |

- A. En art i *E. cloacae*-komplekset ble ikke detektert i 1 falsk negativ prøve, men ved PCR/sekvensering og MALDI-TOF ble *E. coli* detektert i stedet. Ved standard laboratorieprosedyrer ble bare *E. cloacae* identifisert.
- B. *E. cloacae* ble detektert i 2/5 falske positive prøver ved PCR/sekvensering.
- C. *E. cloacae*-komplekset ble ikke detektert i 2 prøver som inneholdt *Enterobacter asburiae*.

Tabell 20: Klinisk ytelse for *Enterobacter* (ikke *cloacae*-komplekset)

| Mål | Prøvetype | Sensitivitet/PPA (positiv prosentoverensstemmelse) | | Spesifisitet/NPA (negativ prosentoverensstemmelse) | |
|---|--------------------------------|--|-------------------------|--|-------------------------|
| | | SP/SP+FN | % (95 % KI) | SN/SN+FP | % (95 % KI) |
| <i>Enterobacter</i> – ikke <i>cloacae</i> -komplekset | Prospektiv (fersk) | 3/3 | 100 (43,9–100) | 163/164 | 99,4 (96,6–99,9) |
| | Prospektiv (frossen) | 5/7 | 71,4 (35,9–91,8) | 175/175 | 100 (97,9–100) |
| | Prospektiv (alle) | 8/10 | 80,0 (49,0–94,3) | 338/339 | 99,7 (98,3–99,9) |
| | Retrospektiv | 12/12 | 100 (75,8–100) | 565/565 | 100 (99,3–100) |
| | Prospektiv/retrospektiv | 20/22^A | 90,9 (72,2–97,5) | 903/904^B | 99,9 (99,4–100) |
| | Simulert | 36/36 | 100 (90,4–100) | 741/741 | 100 (99,5–100) |
| | Totalt | 56/58 | 96,6 (88,3–99,0) | 1644/1645 | 99,9 (99,7–100) |

- A. En art i *E. – ikke cloacae*-komplekset – ble ikke detektert i 2 falske negative prøver. Ved standard laboratorieprosedyrer ble *E. aerogenes* identifisert, og ved PCR/sekvensering ble *E. cloacae* detektert.
- B. En art i *E. – ikke cloacae*-komplekset – ble ikke detektert i den falske positive prøven ved PCR/sekvensering.

Tabell 21: Klinisk ytelse for *Escherichia coli*

| Mål | Prøvetype | Sensitivitet/PPA (positiv prosentoverensstemmelse) | | Spesifisitet/NPA (negativ prosentoverensstemmelse) | |
|-------------------------|--------------------------------|--|-------------------------|--|-------------------------|
| | | SP/SP+FN | % (95 % KI) | SN/SN+FP | % (95 % KI) |
| <i>Escherichia coli</i> | Prospektiv (fersk) | 59/60 | 98,3 (91,1–99,7) | 106/107 | 99,1 (94,9–99,8) |
| | Prospektiv (frossen) | 72/73 | 98,6 (92,6–99,8) | 109/109 | 100 (96,6–100) |
| | Prospektiv (alle) | 131/133 | 98,5 (94,7–99,6) | 215/216 | 99,5 (97,4–99,9) |
| | Retrospektiv | 132/140 | 94,3 (89,1–97,1) | 435/437 | 99,5 (98,3–99,9) |
| | Prospektiv/retrospektiv | 263/273 | 96,3 (93,4–98,0) | 650/653^A | 99,5 (98,7–99,8) |
| | Simulert | 52/52 | 100 (93,1–100) | 725/725 | 100 (99,5–100) |
| | Totalt | 315/325 | 96,9 (94,4–98,3) | 1375/1378 | 99,8 (99,4–99,9) |

A. *E. coli* ble detektert i 3/3 falske positive prøver ved PCR/sekvensering.

Tabell 22: Klinisk ytelse for *Fusobacterium necrophorum*

| Mål | Prøvetype | Sensitivitet/PPA (positiv prosentoverensstemmelse) | | Spesifisitet/NPA (negativ prosentoverensstemmelse) | |
|----------------------------------|--------------------------------|--|-------------------------|--|-----------------------|
| | | SP/SP+FN | % (95 % KI) | SN/SN+FP | % (95 % KI) |
| <i>Fusobacterium necrophorum</i> | Prospektiv (fersk) | 0/0 | --- | 167/167 | 100 (97,8–100) |
| | Prospektiv (frossen) | 0/0 | --- | 182/182 | 100 (97,9–100) |
| | Prospektiv (alle) | 0/0 | --- | 349/349 | 100 (98,9–100) |
| | Retrospektiv | 1/1 | 100 (20,7–100) | 576/576 | 100 (99,3–100) |
| | Prospektiv/retrospektiv | 1/1 | 100 (20,7–100) | 925/925 | 100 (99,6–100) |
| | Simulert | 47/48 | 97,9 (89,1–99,6) | 729/729 | 100 (99,5–100) |
| | Totalt | 48/49 | 98,0 (89,3–99,6) | 1654/1654 | 100 (99,8–100) |

Tabell 23: Klinisk ytelse for *Fusobacterium nucleatum*

| Mål | Prøvetype | Sensitivitet/PPA (positiv prosentoverensstemmelse) | | Spesifisitet/NPA (negativ prosentoverensstemmelse) | |
|--------------------------------|--------------------------------|--|-----------------------|--|------------------------|
| | | SP/SP+FN | % (95 % KI) | SN/SN+FP | % (95 % KI) |
| <i>Fusobacterium nucleatum</i> | Prospektiv (fersk) | 0/0 | --- | 167/167 | 100 (97,8–100) |
| | Prospektiv (frossen) | 0/0 | --- | 182/182 | 100 (97,9–100) |
| | Prospektiv (alle) | 0/0 | --- | 349/349 | 100 (98,9–100) |
| | Retrospektiv | 5/5 | 100 (56,6–100) | 571/572 | 99,8 (99,0–100) |
| | Prospektiv/retrospektiv | 5/5 | 100 (56,6–100) | 920/921^A | 99,9 (99,4–100) |
| | Simulert | 47/47 | 100 (92,4–100) | 730/730 | 100 (99,5–100) |
| | Totalt | 52/52 | 100 (93,1–100) | 1650/1651 | 99,9 (99,7–100) |

A. *F. nucleatum* ble detektert i 1/1 falsk positiv prøve ved PCR/sekvensering.

Tabell 24: Klinisk ytelse for *Haemophilus influenzae*

| Mål | Prøvetype | Sensitivitet/PPA (positiv prosentoverensstemmelse) | | Spesifisitet/NPA (negativ prosentoverensstemmelse) | |
|-------------------------------|--------------------------------|--|-----------------------|--|-----------------------|
| | | SP/SP+FN | % (95 % KI) | SN/SN+FP | % (95 % KI) |
| <i>Haemophilus influenzae</i> | Prospektiv (fersk) | 3/3 | 100 (43,9–100) | 164/164 | 100 (97,7–100) |
| | Prospektiv (frossen) | 4/4 | 100 (51,0–100) | 178/178 | 100 (97,9–100) |
| | Prospektiv (alle) | 7/7 | 100 (64,6–100) | 342/342 | 100 (98,9–100) |
| | Retrospektiv | 7/7 | 100 (64,6–100) | 570/570 | 100 (99,3–100) |
| | Prospektiv/retrospektiv | 14/14 | 100 (78,5–100) | 912/912 | 100 (99,6–100) |
| | Simulert | 41/41 | 100 (91,4–100) | 736/736 | 100 (99,5–100) |
| | Totalt | 55/55 | 100 (93,5–100) | 1648/1648 | 100 (99,8–100) |

Tabell 25: Klinisk ytelse for *Klebsiella oxytoca*

| Mål | Prøvetype | Sensitivitet/PPA (positiv prosentoverensstemmelse) | | Spesifisitet/NPA (negativ prosentoverensstemmelse) | |
|---------------------------|--------------------------------|--|-------------------------|--|-------------------------|
| | | SP/SP+FN | % (95 % KI) | SN/SN+FP | % (95 % KI) |
| <i>Klebsiella oxytoca</i> | Prospektiv (fersk) | 4/6 | 66,7 (30,0–90,3) | 160/161 | 99,4 (96,6–99,9) |
| | Prospektiv (frossen) | 7/7 | 100 (64,6–100) | 175/175 | 100 (97,9–100) |
| | Prospektiv (alle) | 11/13 | 84,6 (57,8–95,7) | 335/336 | 99,7 (98,3–99,9) |
| | Retrospektiv | 29/34 | 85,3 (69,9–93,6) | 541/543 | 99,6 (98,7–99,9) |
| | Prospektiv/retrospektiv | 40/47^A | 85,1 (72,3–92,6) | 876/879^B | 99,7 (99,0–99,9) |
| | Simulert | 20/20 | 100 (83,9–100) | 757/757 | 100 (99,5–100) |
| | Totalt | 60/67 | 89,6 (80,0–94,8) | 1633/1636 | 99,8 (99,5–99,9) |

- A. *K. oxytoca* ble ikke detektert i 2 falske negative prøver ved bruk av PCR/sekvensering, men ved 16S-sekvensering ble *Raoultella ornithinolytica* og *Raoultella planticola* detektert i stedet – disse ble ikke identifisert ved standard laboratorieprosedyrer.
- B. *K. oxytoca* ble detektert i 3/3 falske positive prøver ved PCR/sekvensering.

Tabell 26: Klinisk ytelse for *Klebsiella pneumoniae*-gruppen

| Mål | Prøvetype | Sensitivitet/PPA (positiv prosentoverensstemmelse) | | Spesifisitet/NPA (negativ prosentoverensstemmelse) | |
|---------------------------------------|--------------------------------|--|-------------------------|--|-------------------------|
| | | SP/SP+FN | % (95 % KI) | SN/SN+FP | % (95 % KI) |
| <i>Klebsiella pneumoniae</i> -gruppen | Prospektiv (fersk) | 29/30 | 96,7 (83,3–99,4) | 136/137 | 99,3 (96,0–99,9) |
| | Prospektiv (frossen) | 29/31 | 93,5 (79,3–98,2) | 151/151 | 100 (97,5–100) |
| | Prospektiv (alle) | 58/61 | 95,1 (86,5–98,3) | 287/288 | 99,7 (98,1–99,9) |
| | Retrospektiv | 106/108 | 98,1 (93,5–99,5) | 466/469 | 99,4 (98,1–99,8) |
| | Prospektiv/retrospektiv | 164/169^A | 97,0 (93,3–98,7) | 753/757^B | 99,5 (98,6–99,8) |
| | Simulert | 72/72 | 100 (94,9–100) | 705/705 | 100 (99,5–100) |
| | Totalt | 236/241 | 97,9 (95,2–99,1) | 1458/1462 | 99,7 (99,3–99,9) |

- A. *K. pneumoniae* ble ikke detektert i 1 falsk negativ prøve, men ved PCR/sekvensering og MALDI-TOF ble *K. oxytoca* detektert i stedet – denne ble ikke identifisert ved standard laboratorieprosedyrer.
- B. *K. pneumoniae* ble detektert i 4/4 falske positive prøver ved PCR/sekvensering.

Tabell 27: Klinisk ytelse for *Morganella morganii*

| Mål | Prøvetype | Sensitivitet/PPA (positiv prosentoverensstemmelse) | | Spesifisitet/NPA (negativ prosentoverensstemmelse) | |
|----------------------------|--------------------------------|--|-----------------------|--|------------------------|
| | | SP/SP+FN | % (95 % KI) | SN/SN+FP | % (95 % KI) |
| <i>Morganella morganii</i> | Prospektiv (fersk) | 3/3 | 100 (43,9–100) | 164/164 | 100 (97,7–100) |
| | Prospektiv (frossen) | 0/0 | --- | 182/182 | 100 (97,9–100) |
| | Prospektiv (alle) | 3/3 | 100 (43,9–100) | 346/346 | 100 (98,9–100) |
| | Retrospektiv | 10/10 | 100 (72,2–100) | 566/567 | 99,8 (99,0–100) |
| | Prospektiv/retrospektiv | 13/13 | 100 (77,2–100) | 912/913^A | 99,9 (99,4–100) |
| | Simulert | 49/49 | 100 (92,7–100) | 728/728 | 100 (99,5–100) |
| | Totalt | 62/62 | 100 (94,2–100) | 1640/1641 | 99,9 (99,7–100) |

A. *M. morganii* ble detektert i 1/1 falsk positiv klinisk prøve ved PCR/sekvensering.

Tabell 28: Klinisk ytelse for *Neisseria meningitidis*

| Mål | Prøvetype | Sensitivitet/PPA (positiv prosentoverensstemmelse) | | Spesifisitet/NPA (negativ prosentoverensstemmelse) | |
|-------------------------------|--------------------------------|--|-----------------------|--|------------------------|
| | | SP/SP+FN | % (95 % KI) | SN/SN+FP | % (95 % KI) |
| <i>Neisseria meningitidis</i> | Prospektiv (fersk) | 0/0 | --- | 167/167 | 100 (97,8–100) |
| | Prospektiv (frossen) | 0/0 | --- | 182/182 | 100 (97,9–100) |
| | Prospektiv (alle) | 0/0 | --- | 349/349 | 100 (98,9–100) |
| | Retrospektiv | 0/0 | --- | 576/577 | 99,8 (99,0–100) |
| | Prospektiv/retrospektiv | 0/0 | --- | 925/926^A | 99,9 (99,4–100) |
| | Simulert | 44/44 | 100 (92,0–100) | 733/733 | 100 (99,5–100) |
| | Totalt | 44/44 | 100 (92,0–100) | 1658/1659 | 99,9 (99,7–100) |

A. *N. meningitidis* ble ikke detektert i den falske positive prøven ved PCR/sekvensering.

Tabell 29: Klinisk ytelse for *Proteus*

| Mål | Prøvetype | Sensitivitet/PPA (positiv prosentoverensstemmelse) | | Spesifisitet/NPA (negativ prosentoverensstemmelse) | |
|----------------|--------------------------------|--|-------------------------|--|-----------------------|
| | | SP/SP+FN | % (95 % KI) | SN/SN+FP | % (95 % KI) |
| <i>Proteus</i> | Prospektiv (fersk) | 7/8 | 87,5 (52,9–97,8) | 159/159 | 100 (97,6–100) |
| | Prospektiv (frossen) | 15/15 | 100 (79,6–100) | 167/167 | 100 (97,8–100) |
| | Prospektiv (alle) | 22/23 | 95,7 (79,0–99,2) | 326/326 | 100 (98,8–100) |
| | Retrospektiv | 54/55 | 98,2 (90,4–99,7) | 522/522 | 100 (99,3–100) |
| | Prospektiv/retrospektiv | 76/78 | 97,4 (91,1–99,3) | 848/848 | 100 (99,5–100) |
| | Simulert | 9/9 | 100 (70,1–100) | 768/768 | 100 (99,5–100) |
| | Totalt | 85/87 | 97,7 (92,0–99,4) | 1616/1616 | 100 (99,8–100) |

Tabell 30: Klinisk ytelse for *Proteus mirabilis*

| Mål | Prøvetype | Sensitivitet/PPA (positiv prosentoverensstemmelse) | | Spesifisitet/NPA (negativ prosentoverensstemmelse) | |
|--------------------------|--------------------------------|--|-------------------------|--|-----------------------|
| | | SP/SP+FN | % (95 % KI) | SN/SN+FP | % (95 % KI) |
| <i>Proteus mirabilis</i> | Prospektiv (fersk) | 7/8 | 87,5 (52,9–97,8) | 159/159 | 100 (97,6–100) |
| | Prospektiv (frossen) | 15/15 | 100 (79,6–100) | 167/167 | 100 (97,8–100) |
| | Prospektiv (alle) | 22/23 | 95,7 (79,0–99,2) | 326/326 | 100 (98,8–100) |
| | Retrospektiv | 50/51 | 98,0 (89,7–99,7) | 526/526 | 100 (99,3–100) |
| | Prospektiv/retrospektiv | 72/74 | 97,3 (90,7–99,3) | 852/852 | 100 (99,6–100) |
| | Simulert | 9/9 | 100 (70,1–100) | 768/768 | 100 (99,5–100) |
| | Totalt | 81/83 | 97,6 (91,6–99,3) | 1620/1620 | 100 (99,8–100) |

Tabell 31: Klinisk ytelse for *Pseudomonas aeruginosa*

| Mål | Prøvetype | Sensitivitet/PPA (positiv prosentoverensstemmelse) | | Spesifisitet/NPA (negativ prosentoverensstemmelse) | |
|-------------------------------|--------------------------------|--|-------------------------|--|-------------------------|
| | | SP/SP+FN | % (95 % KI) | SN/SN+FP | % (95 % KI) |
| <i>Pseudomonas aeruginosa</i> | Prospektiv (fersk) | 10/10 | 100 (72,2–100) | 157/157 | 100 (97,6–100) |
| | Prospektiv (frossen) | 17/18 | 94,4 (74,2–99,0) | 163/164 | 99,4 (96,6–99,9) |
| | Prospektiv (alle) | 27/28 | 96,4 (82,3–99,4) | 320/321 | 99,7 (98,3–99,9) |
| | Retrospektiv | 56/60 | 93,3 (84,1–97,4) | 514/517 | 99,4 (98,3–99,8) |
| | Prospektiv/retrospektiv | 83/88 | 94,3 (87,4–97,5) | 834/838^A | 99,5 (98,8–99,8) |
| | Simulert | 32/32 | 100 (89,3–100) | 745/745 | 100 (99,5–100) |
| | Totalt | 115/120 | 95,8 (90,6–98,2) | 1579/1583 | 99,7 (99,4–99,9) |

A. *P. aeruginosa* ble detektert i 2/4 falske positive prøver ved PCR/sekvensering.

Tabell 32: Klinisk ytelse for *Salmonella*

| Mål | Prøvetype | Sensitivitet/PPA (positiv prosentoverensstemmelse) | | Spesifisitet/NPA (negativ prosentoverensstemmelse) | |
|-------------------|--------------------------------|--|-------------------------|--|-----------------------|
| | | SP/SP+FN | % (95 % KI) | SN/SN+FP | % (95 % KI) |
| <i>Salmonella</i> | Prospektiv (fersk) | 2/2 | 100 (34,2–100) | 165/165 | 100 (97,7–100) |
| | Prospektiv (frossen) | 0/0 | --- | 182/182 | 100 (97,9–100) |
| | Prospektiv (alle) | 2/2 | 100 (34,2–100) | 347/347 | 100 (98,9–100) |
| | Retrospektiv | 18/19 | 94,7 (75,4–99,1) | 558/558 | 100 (99,3–100) |
| | Prospektiv/retrospektiv | 20/21^A | 95,2 (77,3–99,2) | 905/905 | 100 (99,6–100) |
| | Simulert | 34/35 | 97,1 (85,5–99,5) | 742/742 | 100 (99,5–100) |
| | Totalt | 54/56 | 96,4 (87,9–99,0) | 1647/1647 | 100 (99,8–100) |

A. *Salmonella* ble ikke detektert i 1 falsk negativ prøve, men ved PCR/sekvensering ble *E. coli* detektert i stedet – denne ble ikke identifisert ved standard laboratorieprosedyrer.

Tabell 33: Klinisk ytelse for *Serratia*

| Mål | Prøvetype | Sensitivitet/PPA (positiv prosentoverensstemmelse) | | Spesifisitet/NPA (negativ prosentoverensstemmelse) | |
|-----------------|--------------------------------|--|-----------------------|--|------------------------|
| | | SP/SP+FN | % (95 % KI) | SN/SN+FP | % (95 % KI) |
| <i>Serratia</i> | Prospektiv (fersk) | 6/6 | 100 (61,0–100) | 161/161 | 100 (97,7–100) |
| | Prospektiv (frossen) | 4/4 | 100 (51,0–100) | 178/178 | 100 (97,9–100) |
| | Prospektiv (alle) | 10/10 | 100 (72,2–100) | 339/339 | 100 (98,9–100) |
| | Retrospektiv | 34/34 | 100 (89,8–100) | 542/543 | 99,8 (99,0–100) |
| | Prospektiv/retrospektiv | 44/44 | 100 (92,0–100) | 881/882^A | 99,9 (99,4–100) |
| | Simulert | 36/36 | 100 (90,4–100) | 741/741 | 100 (99,5–100) |
| | Totalt | 80/80 | 100 (95,4–100) | 1622/1623 | 99,9 (99,7–100) |

A. *S. marcescens* ble detektert i 1/1 falsk positiv prøve ved PCR/sekvensering.

Tabell 34: Klinisk ytelse for *Serratia marcescens*

| Mål | Prøvetype | Sensitivitet/PPA (positiv prosentoverensstemmelse) | | Spesifisitet/NPA (negativ prosentoverensstemmelse) | |
|----------------------------|--------------------------------|--|-----------------------|--|------------------------|
| | | SP/SP+FN | % (95 % KI) | SN/SN+FP | % (95 % KI) |
| <i>Serratia marcescens</i> | Prospektiv (fersk) | 5/5 | 100 (56,6–100) | 162/162 | 100 (97,7–100) |
| | Prospektiv (frossen) | 4/4 | 100 (51,0–100) | 178/178 | 100 (97,9–100) |
| | Prospektiv (alle) | 9/9 | 100 (70,1–100) | 340/340 | 100 (98,9–100) |
| | Retrospektiv | 34/34 | 100 (89,8–100) | 542/543 | 99,8 (99,0–100) |
| | Prospektiv/retrospektiv | 43/43 | 100 (91,8–100) | 882/883^A | 99,9 (99,4–100) |
| | Simulert | 19/19 | 100 (83,2–100) | 758/758 | 100 (99,5–100) |
| | Totalt | 62/62 | 100 (94,2–100) | 1640/1641 | 99,9 (99,7–100) |

A. *S. marcescens* ble detektert i 1/1 falsk positiv prøve ved PCR/sekvensering.

Tabell 35: Klinisk ytelse for *Stenotrophomonas maltophilia*

| Mål | Prøvetype | Sensitivitet/PPA (positiv prosentoverensstemmelse) | | Spesifisitet/NPA (negativ prosentoverensstemmelse) | |
|-------------------------------------|--------------------------------|--|-------------------------|--|------------------------|
| | | SP/SP+FN | % (95 % KI) | SN/SN+FP | % (95 % KI) |
| <i>Stenotrophomonas maltophilia</i> | Prospektiv (fersk) | 2/3 | 66,7 (20,8–93,9) | 164/164 | 100 (97,7–100) |
| | Prospektiv (frossen) | 1/1 | 100 (20,7–100) | 181/181 | 100 (97,9–100) |
| | Prospektiv (alle) | 3/4 | 75,0 (30,1–95,4) | 345/345 | 100 (98,9–100) |
| | Retrospektiv | 8/10 | 80,0 (49,0–94,3) | 566/567 | 99,8 (99,0–100) |
| | Prospektiv/retrospektiv | 11/14 | 78,6 (52,4–92,4) | 911/912^A | 99,9 (99,4–100) |
| | Simulert | 36/36 | 100 (90,4–100) | 741/741 | 100 (99,5–100) |
| | Totalt | 47/50 | 94,0 (83,8–97,9) | 1652/1653 | 99,9 (99,7–100) |

A. *S. maltophilia* ble detektert i 1/1 falsk positiv prøve ved PCR/sekvensering.

Tabell 36: Klinisk ytelse for CTX-M

| Mål | Prøvetype | Sensitivitet/PPA (positiv prosentoverensstemmelse) | | Spesifisitet/NPA (negativ prosentoverensstemmelse) | |
|-------|--------------------------------|--|-------------------------|--|-----------------------|
| | | SP/SP+FN | % (95 % KI) | SN/SN+FP | % (95 % KI) |
| CTX-M | Prospektiv (fersk) | 10/13 | 76,9 (49,7–91,8) | 127/127 | 100 (97,1–100) |
| | Prospektiv (frossen) | 12/16 | 75,0 (50,5–89,8) | 144/144 | 100 (97,4–100) |
| | Prospektiv (alle) | 22/29 | 75,9 (57,9–87,8) | 271/271 | 100 (98,6–100) |
| | Retrospektiv | 52/56 | 92,9 (83,0–97,2) | 483/483 | 100 (99,2–100) |
| | Prospektiv/retrospektiv | 74/85^A | 87,1 (78,3–92,6) | 754/754 | 100 (99,5–100) |
| | Simulert | 75/75 | 100 (95,1–100) | 437/437 | 100 (99,1–100) |
| | Totalt | 149/160 | 93,1 (88,1–96,1) | 1191/1191 | 100 (99,7–100) |

- A. I 3/11 falske negative prøver var CTX-M-signalen over grenseverdien for deteksjon, men BCID-GN-panelet detekterte ikke en tilknyttet organisme, og CTX-M-målet ble rapportert som «N/A» (ikke aktuelt). Videre testing av de øvrige 8/11 falske negative prøvene viste at 7 av de 8 prøvene kan ha blitt kontaminert i den opprinnelige ekstraksjonsprosessen for komparatormetoder og feilidentifisert med CTX-M. Resultatene for 7 av de 8 prøvene var spesifikt negative for CTX-M etter følgende tilleggstesting: 1) qPCR-testing av 2 gjentatte ekstraksjoner fra originalprøven, 2) qPCR-testing av ekstrahert isolat og 3) testing av originalprøven med en FDA-klarert flerspektret analyse. For disse 7 prøvene ble den ekstraherte originalprøven testet på nytt med qPCR, og CTX-M ble detektert på nytt, noe som kan tyde på kontaminasjon under den opprinnelige ekstraksjonsprosessen. Den gjenværende 8. prøven var positiv for CTX-M etter gjentatte ekstraksjoner, negativ for CTX-M fra isolat og negativ for CTX-M etter testing med en FDA-klarert flerspektret analyse. De inkonsekvente deteksjonsresultatene tyder på at den 8. prøven kan ha vært en sann positiv prøve med CTX-M med lavt kopiantall.

Tabell 37: Klinisk ytelse for IMP

| Mål | Prøvetype | Sensitivitet/PPA (positiv prosentoverensstemmelse) | | Spesifisitet/NPA (negativ prosentoverensstemmelse) | |
|-----|--------------------------------|--|-----------------------|--|-----------------------|
| | | SP/SP+FN | % (95 % KI) | SN/SN+FP | % (95 % KI) |
| IMP | Prospektiv (fersk) | 0/0 | --- | 138/138 | 100 (97,3–100) |
| | Prospektiv (frossen) | 0/0 | --- | 159/159 | 100 (97,6–100) |
| | Prospektiv (alle) | 0/0 | --- | 297/297 | 100 (98,7–100) |
| | Retrospektiv | 0/0 | --- | 532/532 | 100 (99,3–100) |
| | Prospektiv/retrospektiv | 0/0 | --- | 829/829 | 100 (99,5–100) |
| | Simulert | 40/40 | 100 (91,2–100) | 436/436 | 100 (99,1–100) |
| | Totalt | 40/40 | 100 (91,2–100) | 1265/1265 | 100 (99,7–100) |

Tabell 38: Klinisk ytelse for KPC

| Mål | Prøvetype | Sensitivitet/PPA (positiv prosentoverensstemmelse) | | Spesifisitet/NPA (negativ prosentoverensstemmelse) | |
|-----|--------------------------------|--|-------------------------|--|------------------------|
| | | SP/SP+FN | % (95 % KI) | SN/SN+FP | % (95 % KI) |
| KPC | Prospektiv (fersk) | 2/2 | 100 (34,2–100) | 136/136 | 100 (97,3–100) |
| | Prospektiv (frossen) | 1/1 | 100 (20,7–100) | 158/158 | 100 (97,6–100) |
| | Prospektiv (alle) | 3/3 | 100 (43,9–100) | 294/294 | 100 (98,7–100) |
| | Retrospektiv | 4/5 | 80,0 (37,6–96,4) | 527/528 | 99,8 (98,9–100) |
| | Prospektiv/retrospektiv | 7/8 | 87,5 (52,9–97,8) | 821/822 | 99,9 (99,3–100) |
| | Simulert | 44/44 | 100 (92,0–100) | 477/477 | 100 (99,2–100) |
| | Totalt | 51/52 | 98,1 (89,9–99,7) | 1298/1299 | 99,9 (99,6–100) |

Tabell 39: Klinisk ytelse for NDM

| Mål | Prøvetype | Sensitivitet/PPA (positiv prosentoverensstemmelse) | | Spesifisitet/NPA (negativ prosentoverensstemmelse) | |
|-----|--------------------------------|--|-----------------------|--|-----------------------|
| | | SP/SP+FN | % (95 % KI) | SN/SN+FP | % (95 % KI) |
| NDM | Prospektiv (fersk) | 0/0 | --- | 138/138 | 100 (97,3–100) |
| | Prospektiv (frossen) | 0/0 | --- | 159/159 | 100 (97,6–100) |
| | Prospektiv (alle) | 0/0 | --- | 297/297 | 100 (98,7–100) |
| | Retrospektiv | 0/0 | --- | 532/532 | 100 (99,3–100) |
| | Prospektiv/retrospektiv | 0/0 | --- | 829/829 | 100 (99,5–100) |
| | Simulert | 54/54 | 100 (93,4–100) | 422/422 | 100 (99,1–100) |
| | Totalt | 54/54 | 100 (93,4–100) | 1251/1251 | 100 (99,7–100) |

Tabell 40: Klinisk ytelse for OXA

| Mål | Prøvetype | Sensitivitet/PPA (positiv prosentoverensstemmelse) | | Spesifisitet/NPA (negativ prosentoverensstemmelse) | |
|-----|--------------------------------|--|-------------------------|--|-------------------------|
| | | SP/SP+FN | % (95 % KI) | SN/SN+FP | % (95 % KI) |
| OXA | Prospektiv (fersk) | 0/1 | 0,0 (0,0–79,3) | 137/137 | 100 (97,3–100) |
| | Prospektiv (frossen) | 1/1 | 100 (20,7–100) | 158/158 | 100 (97,6–100) |
| | Prospektiv (alle) | 1/2 | 50,0 (9,5–90,5) | 295/295 | 100 (98,7–100) |
| | Retrospektiv | 9/11 | 81,8 (52,3–94,9) | 519/521 | 99,6 (98,6–99,9) |
| | Prospektiv/retrospektiv | 10/13^A | 76,9 (49,7–91,8) | 814/816 | 99,8 (99,1–99,9) |
| | Simulert | 37/37 | 100 (90,6–100) | 439/439 | 100 (99,1–100) |
| | Totalt | 47/50 | 94,0 (83,8–97,9) | 1253/1255 | 99,8 (99,4–100) |

A. I 1/3 falske negative prøver var OXA-signalen over grenseverdien for deteksjon, men BCID-GN-panelet detekterte ikke en tilknyttet organisme, og OXA-målet ble rapportert som «N/A» (ikke aktuelt). Én ytterligere falsk negativ prøve ble testet med en FDA-klarert flerspektret analyse, og OXA ble ikke detektert. Isolatet fra den gjenværende falske negative prøven testet negativt for OXA-23 og OXA-48 ved qPCR.

Tabell 41: Klinisk ytelse for VIM

| Mål | Prøvetype | Sensitivitet/PPA (positiv prosentoverensstemmelse) | | Spesifisitet/NPA (negativ prosentoverensstemmelse) | |
|-----|--------------------------------|--|-----------------------|--|-----------------------|
| | | SP/SP+FN | % (95 % KI) | SN/SN+FP | % (95 % KI) |
| VIM | Prospektiv (fersk) | 0/0 | --- | 138/138 | 100 (97,3–100) |
| | Prospektiv (frossen) | 0/0 | --- | 159/159 | 100 (97,6–100) |
| | Prospektiv (alle) | 0/0 | --- | 297/297 | 100 (98,7–100) |
| | Retrospektiv | 0/0 | --- | 532/532 | 100 (99,3–100) |
| | Prospektiv/retrospektiv | 0/0 | --- | 829/829 | 100 (99,5–100) |
| | Simulert | 42/42 | 100 (91,6–100) | 434/434 | 100 (99,1–100) |
| | Totalt | 42/42 | 100 (91,6–100) | 1263/1263 | 100 (99,7–100) |

Pan-mål

I tillegg til de evaluerbare prospektive og retrospektive prøvene som inneholder gramnegative organismer, ble den kliniske ytelsen for pan-*Candida* og pan-grampositive mål evaluert ved å teste ytterligere 741 retrospektive prøver for ikke tiltenkt bruk, med grampositive organismer eller sopporganismer. Disse er merket som retrospektive prøver (ikke tiltenkt bruk). Resultater for pan-målene er oppsummert i **tabell 42**, og resultater stratifisert etter art er oppsummert i **tabell 44**. En oppsummering av stammene som er brukt til å lage simulerte prøver, og antallet stammer for hvert mål, er vist i **tabell 43**.

Tabell 42: Klinisk ytelse for pan-mål

| Mål | Prøvetype | Sensitivitet/PPA (positiv prosentoverensstemmelse) | | Spesifisitet/NPA (negativ prosentoverensstemmelse) | |
|----------------------------------|-----------------------------------|--|-------------------------|--|-------------------------|
| | | SP/SP+FN | % (95 % KI) | SN/SN+FP | % (95 % KI) |
| Pan- <i>Candida</i> | Prospektiv (fersk) | 1/1 | 100 (20,7–100) | 165/166 | 99,4 (96,7–99,9) |
| | Prospektiv (frossen) | 0/0 | --- | 182/182 | 100 (97,9–100) |
| | Prospektiv (alle) | 1/1 | 100 (20,7–100) | 347/348^A | 99,7 (98,4–99,9) |
| | Retrospektiv | 4/7 ^B | 57,1 (25,0–84,2) | 569/570 ^C | 99,8 (99,0–100) |
| | Retrospektiv (ikke tiltenkt bruk) | 99/102 ^D | 97,1 (91,7–99,0) | 638/639 ^E | 99,8 (99,1–100) |
| | Simulert | 0/0 | --- | 777/777 | 100 (99,5–100) |
| Pan-grampositive organismener | Prospektiv (fersk) | 7/8 | 87,5 (52,9–97,8) | 155/159 | 97,5 (93,7–99,0) |
| | Prospektiv (frossen) | 10/15 | 66,7 (41,7–84,8) | 164/167 | 98,2 (94,9–99,4) |
| | Prospektiv (alle) | 17/23^F | 73,9 (53,5–87,5) | 319/326^G | 97,9 (95,6–99,0) |
| | Retrospektiv | 44/55 ^H | 80,0 (67,6–88,4) | 512/522 ^I | 98,1 (96,5–99,0) |
| | Retrospektiv (ikke tiltenkt bruk) | 567/571 | 99,3 (98,2–99,7) | 165/170 ^J | 97,1 (93,3–98,7) |
| | Simulert | 0/0 | --- | 776/777 | 99,9 (99,3–100) |

- A. *C. glabrata* ble detektert i 1/1 falsk positiv prøve ved PCR/sekvensering.
- B. 3 av 3 (100 %) falske negative resultater inntraff i prøver med blandede infeksjoner med bakterielle organismer, der resultatene fra BCID-GN-panelet var korrekt for de andre infeksjonene i disse prøvene.
- C. *C. albicans* ble detektert i 1/1 falsk positiv prøve ved PCR/sekvensering.
- D. 2 av 3 (67 %) falske negative resultater inntraff i prøver med blandede infeksjoner med bakterielle organismer, der resultatene fra BCID-GN-panelet var korrekt for de andre infeksjonene i disse prøvene.
- E. *C. glabrata* ble detektert i 1/1 falsk positiv prøve ved PCR/sekvensering.
- F. *Bacillus* (den grampositive organismen som identifiseres ved standard laboratorieprosedyrer) ble ikke detektert i 2 falske negative prøver ved bruk av PCR/sekvensering, men ved 16S-sekvensering ble *Paenibacillus lautus* og *Paenibacillus urinalis* detektert i stedet – disse ble ikke identifisert ved standard laboratorieprosedyrer. 3 av de gjenværende 4 (75 %) falske negative resultatene inntraff i prøver med blandede infeksjoner med bakterielle organismer, der BCID-GN-panelet korrekt detekterte de gramnegative organismene som fantes.
- G. *Enterococcus* (1), *Staphylococcus* (3) eller *Streptococcus* (2) ble detektert i 6/7 falske positive prøver ved PCR/sekvensering (den gjenværende 1/7 falske positive prøver ble ikke testet).
- H. 11 av 11 (100 %) falske negative resultater inntraff i prøver med blandede infeksjoner med bakterielle organismer, der BCID-GN-panelet korrekt detekterte de gramnegative organismene som fantes.
- I. *Enterococcus* (2), *Staphylococcus* (1) eller *Streptococcus* (5) ble detektert i 8/10 falske positive prøver ved PCR/sekvensering (de gjenværende 2/10 falske positive prøvene ble ikke testet).
- J. *Bacillus* (1) eller *Streptococcus* (1) ble detektert i 2/5 falske positive prøver ved PCR/sekvensering (de gjenværende 3/5 falske positive prøvene ble ikke testet).

Tabell 43: Oppsummering for simulert prøve

| Mål | Organisme | Stamme | Testede uavhengige simulerte prøver |
|--|---|--------------|-------------------------------------|
| <i>Acinetobacter baumannii</i> | <i>Acinetobacter baumannii</i> | ATCC19606 | 2 |
| | | ATCCBAA-2093 | 4 |
| | | ATCCBAA-747 | 5 |
| | | NCIMB12457 | 2 |
| | | NCTC13302 | 3 |
| | | NCTC13303 | 4 |
| | | NCTC13423 | 17 |
| | <i>Acinetobacter baumannii</i> , NDM | CDC nr. 0033 | 5 |
| | <i>Acinetobacter baumannii</i> , OXA-23 | ATCCBAA-1605 | 5 |
| | | NCTC13304 | 5 |
| | | NCTC13305 | 3 |
| <i>Acinetobacter baumannii totalt</i> | | | 55 |
| <i>Bacteroides fragilis</i> | <i>Bacteroides fragilis</i> | ATCC23745 | 8 |
| | | ATCC25285 | 8 |
| | | ATCC43860 | 8 |
| | | ATCC700786 | 8 |
| | | NCTC9343 | 8 |
| <i>Bacteroides fragilis totalt</i> | | | 40 |
| <i>Citrobacter</i> | <i>Citrobacter braakii</i> | ATCC43162 | 4 |
| | | ATCC51113 | 4 |
| | <i>Citrobacter freundii</i> | ATCC43864 | 4 |
| | | ATCC8090 | 4 |
| | | NCTC8581 | 4 |
| | | NCTC9750 | 5 |
| | <i>Citrobacter freundii</i> , CTX-M | JMI2047 | 6 |
| | <i>Citrobacter freundii</i> , KPC | CDC nr. 0116 | 4 |
| | <i>Citrobacter koseri</i> | ATCC27156 | 4 |
| | <i>Citrobacter youngae</i> | ATCC29935 | 4 |
| <i>Citrobacter totalt</i> | | | 43 |
| <i>Cronobacter sakazakii</i> | <i>Cronobacter sakazakii</i> | ATCC12868 | 2 |
| | | ATCC29004 | 2 |
| | | ATCC29544 | 4 |
| | | ATCCBAA-894 | 3 |
| | | FSLF6-0023 | 4 |
| | | FSLF6-0028 | 4 |
| | | FSLF6-0029 | 4 |
| | | FSLF6-0034 | 3 |
| | | FSLF6-0035 | 3 |
| | | FSLF6-0043 | 4 |
| | | FSLF6-0049 | 3 |
| | | FSLF6-0050 | 4 |
| | | FSLF6-0051 | 5 |
| <i>Cronobacter sakazakii totalt</i> | | | 45 |

| Mål | Organisme | Stamme | Testede uavhengige simulerte prøver |
|---|---|--------------|-------------------------------------|
| Enterobacter cloacae-komplekset | <i>Enterobacter asburiae</i> | ATCC35953 | 2 |
| | | ATCC35955 | 1 |
| | | ATCC35956 | 4 |
| | | ATCC35957 | 1 |
| | <i>Enterobacter cloacae</i> , CTX-M | CDC nr. 0038 | 4 |
| | | NCTC13464 | 3 |
| | <i>Enterobacter cloacae</i> , CTX-M, KPC | CDC nr. 0163 | 2 |
| | <i>Enterobacter cloacae</i> , CTX-M, NDM | CDC nr. 0038 | 1 |
| | | JMI53571 | 12 |
| | <i>Enterobacter cloacae</i> , VIM | CDC nr. 0154 | 6 |
| <i>Enterobacter</i> (ikke cloacae-komplekset) | <i>Enterobacter hormaechei</i> , KPC | ATCCBAA-2082 | 1 |
| | Enterobacter cloacae-komplekset totalt | | 37 |
| Escherichia coli | <i>Enterobacter aerogenes</i> | ATCC13048 | 3 |
| | | ATCC29010 | 3 |
| | | ATCC51697 | 3 |
| | <i>Enterobacter aerogenes</i> , IMP | CDC nr. 0161 | 5 |
| | <i>Enterobacter aerogenes</i> , OXA-48 | CDC nr. 0074 | 12 |
| | <i>Enterobacter amnigenus</i> | ATCC33072 | 3 |
| | | ATCC33731 | 3 |
| | | ATCC51816 | 4 |
| | Enterobacter (ikke cloacae-komplekset) totalt | | 36 |
| | <i>Escherichia coli</i> , CTX-M | CDC nr. 0086 | 3 |
| | | NCTC13452 | 3 |
| | | NCTC13461 | 6 |
| | | NCTC13463 | 2 |
| Fusobacterium necrophorum | <i>Escherichia coli</i> , CTX-M, NDM | CDC nr. 0137 | 6 |
| | | CDC nr. 0151 | 2 |
| | <i>Escherichia coli</i> , IMP | NCTC13476 | 7 |
| | <i>Escherichia coli</i> , KPC | ATCCBAA-2340 | 2 |
| | | CDC nr. 0114 | 4 |
| | <i>Escherichia coli</i> , NDM | CDC nr. 0118 | 6 |
| | | CDC nr. 0150 | 5 |
| | | CDC nr. 0151 | 4 |
| | <i>Escherichia coli</i> , VIM | JMI32465 | 2 |
| | Escherichia coli totalt | | 52 |
| <i>Fusobacterium necrophorum</i> | <i>Fusobacterium necrophorum</i> underart <i>funduliforme</i> | ATCC51357 | 24 |
| | <i>Fusobacterium necrophorum</i> underart <i>necrophorum</i> | ATCC27852 | 24 |
| | Fusobacterium necrophorum totalt | | 48 |
| <i>Fusobacterium nucleatum</i> | <i>Fusobacterium nucleatum</i> | ATCC23726 | 8 |
| | | ATCC25586 | 20 |
| | | ATCC31647 | 19 |
| | Fusobacterium nucleatum totalt | | 47 |
| <i>Haemophilus influenzae</i> | <i>Haemophilus influenzae</i> | ATCC10211 | 9 |
| | | ATCC43065 | 6 |
| | | ATCC49144 | 9 |
| | | NCTC12699 | 9 |
| | | NCTC8468 | 8 |
| | Haemophilus influenzae totalt | | 41 |

| Mål | Organisme | Stamme | Testede uavhengige simulerete prøver |
|---------------------------------------|--|--------------|--------------------------------------|
| <i>Klebsiella oxytoca</i> | <i>Klebsiella oxytoca</i> | ATCC43086 | 4 |
| | | ATCC43165 | 4 |
| | | ATCC43863 | 2 |
| | | ATCC49131 | 4 |
| | | ATCC51817 | 3 |
| | | ATCC700324 | 3 |
| | <i>Klebsiella oxytoca totalt</i> | | 20 |
| <i>Klebsiella pneumoniae</i> -gruppen | <i>Klebsiella pneumoniae</i> , CTX-M | NCTC13465 | 5 |
| | | ATCCBAA-2146 | 3 |
| | | CDC nr. 0140 | 12 |
| | | CDC nr. 0034 | 8 |
| | | CDC nr. 0080 | 6 |
| | <i>Klebsiella pneumoniae</i> , KPC | CDC nr. 0112 | 1 |
| | | CDC nr. 0113 | 1 |
| | | CDC nr. 0115 | 4 |
| | | CDC nr. 0117 | 4 |
| | | CDC nr. 0120 | 4 |
| | | CDC nr. 0125 | 4 |
| | | CDC nr. 0129 | 4 |
| | <i>Klebsiella pneumoniae</i> , VIM | LMC_DR00015 | 6 |
| | | NCTC13439 | 5 |
| | | NCTC13440 | 5 |
| | <i>Klebsiella pneumoniae</i>-gruppen totalt | | 72 |
| <i>Morganella morganii</i> | <i>Morganella morganii</i> | 148-200 | 8 |
| | | 148-204 | 8 |
| | | 148-205 | 8 |
| | | 148-206 | 9 |
| | | 148-209 | 7 |
| | <i>Morganella morganii</i> , CTX-M1, NDM | CDC nr. 0057 | 5 |
| | <i>Morganella morganii</i> , KPC | CDC nr. 0133 | 4 |
| | <i>Morganella morganii</i> totalt | | 49 |
| <i>Neisseria meningitidis</i> | <i>Neisseria meningitidis</i> | ATCC13077 | 9 |
| | | ATCC13090 | 8 |
| | | ATCC13102 | 8 |
| | | ATCC13113 | 3 |
| | | ATCC35561 | 10 |
| | | NCTC10026 | 6 |
| | <i>Neisseria meningitidis</i> totalt | | 44 |
| <i>Proteus mirabilis</i> | <i>Proteus mirabilis</i> , KPC | CDC nr. 0155 | 4 |
| | <i>Proteus mirabilis</i> , NDM | CDC nr. 0159 | 5 |
| | <i>Proteus mirabilis</i> totalt | | 9 |
| | | | |
| <i>Pseudomonas aeruginosa</i> | <i>Pseudomonas aeruginosa</i> , IMP | CDC nr. 0092 | 5 |
| | | CDC nr. 0103 | 8 |
| | <i>Pseudomonas aeruginosa</i> , KPC | CDC nr. 0090 | 1 |
| | <i>Pseudomonas aeruginosa</i> , VIM | CDC nr. 0054 | 5 |
| | | CDC nr. 0100 | 4 |
| | | CDC nr. 0108 | 4 |
| | | NCTC13437 | 5 |
| | <i>Pseudomonas aeruginosa</i> totalt | | 32 |

| Mål | Organisme | Stamme | Testede uavhengige simulerte prøver |
|------------------------------|---|--------------|-------------------------------------|
| Salmonella | Salmonella 4,5,12:l:- | FSLS5-0580 | 2 |
| | Salmonella Heidelberg | ATCC8326 | 2 |
| | Salmonella Infantis | ATCCBAA-1675 | 2 |
| | Salmonella Javiana | ATCC10721 | 1 |
| | Salmonella Montevideo | ATCC8387 | 8 |
| | Salmonella Muenchen | ATCC8388 | 1 |
| | Salmonella Newport | ATCC6962 | 6 |
| | Salmonella Typhimurium | ATCC13311 | 7 |
| | Salmonella enterica underart enterica Enteritidis (gruppe D1) | ATCCBAA-708 | 6 |
| | Salmonella totalt | | 35 |
| Serratia | Serratia ficaria | ATCC33105 | 4 |
| | Serratia grimesii | ATCC14460 | 3 |
| | Serratia plymuthica | ATCC53858 | 3 |
| | Serratia rubidaea | ATCC27593 | 4 |
| | | ATCC29025 | 3 |
| | Serratia totalt | | 17 |
| Serratia marcescens | Serratia marcescens | ATCC13880 | 2 |
| | | ATCC14041 | 3 |
| | | ATCC14756 | 3 |
| | | ATCC43861 | 4 |
| | | ATCC43862 | 3 |
| | | ATCC8100 | 3 |
| | Serratia marcescens, IMP | LMC-DR23105 | 1 |
| | Serratia marcescens totalt | | 19 |
| Stenotrophomonas maltophilia | Stenotrophomonas maltophilia | 148-201 | 7 |
| | | 148-222 | 6 |
| | | 148-223 | 7 |
| | | 148-224 | 8 |
| | | 148-225 | 8 |
| | Stenotrophomonas maltophilia totalt | | 36 |

Stratifikasjon av arter etter slekts- og gruppeanalyse

cobas eplex BCID-GN-panelet rapporterer resultater på slekts- eller gruppenivå for *Citrobacter*, *Enterobacter cloacae*-komplekset, *Enterobacter* – ikke *cloacae*-komplekset, *Proteus*, *Salmonella*, *Serratia*, pan-*Candida* og pan-grampositive mål. Sensitivitet/PPA for disse målene på artenes slekts- og gruppenivå, som fastslått ved komparatormetoder for alle evaluerbare, testede prøver, er oppsummert i **tabell 44**, og i **tabell 45** for pan-målene for prøvene for ikke tiltenkt bruk.

Tabell 44: Arter detektert i slekts- og gruppeanalyser ved komparatormetoder

| Målarter detektert ved komparator-metode | Prospektive prøver | | Retrospektive prøver | | Simulerte prøver | | Kombinerte prøver | |
|---|---|------------------|--|------------------|---|------------------|---|------------------|
| | Sensitivitet/PPA (positiv prosent-overensstemmelse) | | Sensitivitet/PPA (positiv prosentoverensstemmelse) | | Sensitivitet/PPA (positiv prosent-overensstemmelse) | | Sensitivitet/PPA (positiv prosent-overensstemmelse) | |
| | SP/SP+FN | % (95 % KI) | SP/SP+FN | % (95 % KI) | SP/SP+FN | % (95 % KI) | SP/SP+FN | % (95 % KI) |
| <i>Citrobacter</i> | 5/5 | 100 (56,6–100) | 20/21 | 95,2 (77,3–99,2) | 43/43 | 100 (91,8–100) | 68/69 | 98,6 (92,2–99,7) |
| <i>Citrobacter braakii</i> | | | 2/3 | 66,7 (20,8–93,9) | 8/8 | 100 (67,6–100) | 10/11 | 90,9 (62,3–98,4) |
| <i>Citrobacter freundii</i> | 4/4 | 100 (51,0–100) | 13/13 | 100 (77,2–100) | 27/27 | 100 (87,5–100) | 44/44 | 100 (92,0–100) |
| <i>Citrobacter koseri</i> | 1/1 | 100 (20,7–100) | 4/4 | 100 (51,0–100) | 4/4 | 100 (51,0–100) | 9/9 | 100 (70,1–100) |
| <i>Citrobacter youngae</i> | | | 1/1 | 100 (20,7–100) | 4/4 | 100 (51,0–100) | 5/5 | 100 (56,6–100) |
| <i>Enterobacter</i> (ikke <i>cloacae</i> -komplekset) | 8/10 | 80,0 (49,0–94,3) | 12/12 | 100 (75,8–100) | 36/36 | 100 (90,4–100) | 56/58 | 96,6 (88,3–99,0) |
| <i>Enterobacter aerogenes</i> | 7/9 | 77,8 (45,3–93,7) | 12/12 | 100 (75,8–100) | 26/26 | 100 (87,1–100) | 45/47 | 95,7 (85,8–98,8) |
| <i>Enterobacter amnigenus</i> | | | | | 10/10 | 100 (72,2–100) | 10/10 | 100 (72,2–100) |
| <i>Enterobacter gergoviae</i> | 1/1 | 100 (20,7–100) | | | | | 1/1 | 100 (20,7–100) |
| <i>Enterobacter cloacae</i> -komplekset | 19/19 | 100 (83,2–100) | 47/50 | 94,0 (83,8–97,9) | 35/37 | 94,6 (82,3–98,5) | 101/106 | 95,3 (89,4–98,0) |
| <i>Enterobacter asburiae</i> | | | | | 6/8 | 75,0 (40,9–92,9) | 6/8 | 75,0 (40,9–92,9) |
| <i>Enterobacter cloacae</i> | 19/19 | 100 (83,2–100) | 46/49 | 93,9 (83,5–97,9) | 28/28 | 100 (87,9–100) | 93/96 | 96,9 (91,2–98,9) |
| <i>Enterobacter hormaechei</i> | | | 1/1 | 100 (20,7–100) | 1/1 | 100 (20,7–100) | 2/2 | 100 (34,2–100) |
| <i>Proteus</i> | 22/23 | 95,7 (79,0–99,2) | 54/55 | 98,2 (90,4–99,7) | 9/9 | 100 (70,1–100) | 85/87 | 97,7 (92,0–99,4) |
| <i>Proteus mirabilis</i> | 22/23 | 95,7 (79,0–99,2) | 50/51 | 98,0 (89,7–99,7) | 9/9 | 100 (70,1–100) | 81/83 | 97,6 (91,6–99,3) |
| <i>Proteus vulgaris</i> | | | 5/5 | 100 (56,6–100) | | | 5/5 | 100 (56,6–100) |
| <i>Salmonella</i> | 2/2 | 100 (34,2–100) | 18/19 | 94,7 (75,4–99,1) | 34/35 | 97,1 (85,5–99,5) | 54/56 | 96,4 (87,9–99,0) |
| <i>Salmonella</i> | 2/2 | 100 (34,2–100) | 15/15 | 100 (79,6–100) | | | 17/17 | 100 (81,6–100) |
| <i>Salmonella</i> 4,5,12:i:- | | | | | 2/2 | 100 (34,2–100) | 2/2 | 100 (34,2–100) |
| <i>Salmonella</i> Heidelberg | | | | | 2/2 | 100 (34,2–100) | 2/2 | 100 (34,2–100) |
| <i>Salmonella</i> Infantis | | | | | 2/2 | 100 (34,2–100) | 2/2 | 100 (34,2–100) |
| <i>Salmonella</i> Javiana | | | | | 1/1 | 100 (20,7–100) | 1/1 | 100 (20,7–100) |
| <i>Salmonella</i> Montevideo | | | | | 7/8 | 87,5 (52,9–97,8) | 7/8 | 87,5 (52,9–97,8) |
| <i>Salmonella</i> Muenchen | | | | | 1/1 | 100 (20,7–100) | 1/1 | 100 (20,7–100) |
| <i>Salmonella</i> Newport | | | | | 6/6 | 100 (61,0–100) | 6/6 | 100 (61,0–100) |
| <i>Salmonella</i> Typhimurium | | | | | 7/7 | 100 (64,6–100) | 7/7 | 100 (64,6–100) |
| <i>Salmonella choleraesuis</i> underart <i>arizonaee</i> | | | 0/1 | 0,0 (0,0–79,3) | | | 0/1 | 0,0 (0,0–79,3) |
| <i>Salmonella enterica</i> underart <i>enterica</i> | | | | | 6/6 | 100 (61,0–100) | 6/6 | 100 (61,0–100) |
| <i>Enteritidis</i> (gruppe D1) | | | 1/1 | 100 (20,7–100) | | | 1/1 | 100 (20,7–100) |
| <i>Salmonella enterica</i> underart <i>enterica</i> serovar. <i>Typhimurium</i> | | | 2/2 | 100 (34,2–100) | | | 2/2 | 100 (34,2–100) |
| <i>Salmonella</i> Typhi | | | | | | | | |

cobas eplex BCID gram-negative panel (panel for identifikasjon av gramnegative organismer)

| Målarter detektert ved komparator-metode | Prospektive prøver | | Retrospektive prøver | | Simulerte prøver | | Kombinerte prøver | |
|--|---|------------------|--|------------------|---|----------------|---|------------------|
| | Sensitivitet/PPA (positiv prosent-overensstemmelse) | | Sensitivitet/PPA (positiv prosentoverensstemmelse) | | Sensitivitet/PPA (positiv prosent-overensstemmelse) | | Sensitivitet/PPA (positiv prosent-overensstemmelse) | |
| | SP/SP+FN | % (95 % KI) | SP/SP+FN | % (95 % KI) | SP/SP+FN | % (95 % KI) | SP/SP+FN | % (95 % KI) |
| Serratia | 10/10 | 100 (72,2–100) | 34/34 | 100 (89,8–100) | 36/36 | 100 (90,4–100) | 80/80 | 100 (95,4–100) |
| <i>Serratia ficaria</i> | | | | | 4/4 | 100 (51,0–100) | 4/4 | 100 (51,0–100) |
| <i>Serratia grimesii</i> | | | | | 3/3 | 100 (43,9–100) | 3/3 | 100 (43,9–100) |
| <i>Serratia liquefaciens</i> | 1/1 | 100 (20,7–100) | | | | | 1/1 | 100 (20,7–100) |
| <i>Serratia marcescens</i> | 9/9 | 100 (70,1–100) | 34/34 | 100 (89,8–100) | 19/19 | 100 (83,2–100) | 62/62 | 100 (94,2–100) |
| <i>Serratia plymuthica</i> | | | | | 3/3 | 100 (43,9–100) | 3/3 | 100 (43,9–100) |
| <i>Serratia rubidaea</i> | | | | | 7/7 | 100 (64,6–100) | 7/7 | 100 (64,6–100) |
| Pan-Candida | 1/1 | 100 (20,7–100) | 4/7 | 57,1 (25,0–84,2) | Ikke aktuelt | Ikke aktuelt | 5/8 | 62,5 (30,6–86,3) |
| <i>Candida albicans</i> | 1/1 | 100 (20,7–100) | 2/4 | 50,0 (15,0–85,0) | | | 3/5 | 60,0 (23,1–88,2) |
| <i>Candida glabrata</i> | | | 1/2 | 50,0 (9,5–90,5) | | | 1/2 | 50,0 (9,5–90,5) |
| <i>Candida krusei</i> | | | 1/1 | 100 (20,7–100) | | | 1/1 | 100 (20,7–100) |
| <i>Candida parapsilosis</i> | | | | | | | | |
| Pan-grampositive organismer | 17/23 | 73,9 (53,5–87,5) | 44/55 | 80,0 (67,6–88,4) | Ikke aktuelt | Ikke aktuelt | 61/78 | 78,2 (67,8–85,9) |
| <i>Bacillus</i> (ikke-artsbestemt) | 1/4 | 25,0 (4,6–69,9) | | | | | 1/4 | 25,0 (4,6–69,9) |
| <i>Enterococcus</i> (ikke-artsbestemt) | | | 0/1 | 0,0 (0,0–79,3) | | | 0/1 | 0,0 (0,0–79,3) |
| <i>Enterococcus casseliflavus</i> | | | 0/1 | 0,0 (0,0–79,3) | | | 0/1 | 0,0 (0,0–79,3) |
| <i>Enterococcus faecalis</i> | 5/7 | 71,4 (35,9–91,8) | 18/20 | 90,0 (69,9–97,2) | | | 23/27 | 85,2 (67,5–94,1) |
| <i>Enterococcus faecium</i> | 1/1 | 100 (20,7–100) | 8/9 | 88,9 (56,5–98,0) | | | 9/10 | 90,0 (59,6–98,2) |
| <i>Staphylococcus</i> (ikke-artsbestemt) | 3/3 | 100 (43,9–100) | 4/6 | 66,7 (30,0–90,3) | | | 7/9 | 77,8 (45,3–93,7) |
| <i>Staphylococcus aureus</i> | 2/2 | 100 (34,2–100) | 5/6 | 83,3 (43,6–97,0) | | | 7/8 | 87,5 (52,9–97,8) |
| <i>Staphylococcus cohnii</i> | 1/1 | 100 (20,7–100) | | | | | 1/1 | 100 (20,7–100) |
| <i>Staphylococcus epidermidis</i> | 1/1 | 100 (20,7–100) | 2/3 | 66,7 (20,8–93,9) | | | 3/4 | 75,0 (30,1–95,4) |
| <i>Staphylococcus haemolyticus</i> | 2/2 | 100 (34,2–100) | | | | | 2/2 | 100 (34,2–100) |
| <i>Staphylococcus hominis</i> | 1/1 | 100 (20,7–100) | 3/3 | 100 (43,9–100) | | | 4/4 | 100 (51,0–100) |
| <i>Streptococcus</i> | 0/1 | 0,0 (0,0–79,3) | | | | | 0/1 | 0,0 (0,0–79,3) |
| <i>Streptococcus viridans</i> -gruppen | 1/1 | 100 (20,7–100) | 0/1 | 0,0 (0,0–79,3) | | | 1/2 | 50,0 (9,5–90,5) |
| <i>Streptococcus anginosus</i> -gruppen | 1/1 | 100 (20,7–100) | 4/5 | 80,0 (37,6–96,4) | | | 5/6 | 83,3 (43,6–97,0) |
| <i>Streptococcus infantarius</i> | | | 1/1 | 100 (20,7–100) | | | 1/1 | 100 (20,7–100) |
| <i>Streptococcus mitis</i> -gruppen | | | 1/1 | 100 (20,7–100) | | | 1/1 | 100 (20,7–100) |
| <i>Streptococcus oralis</i> | | | 1/1 | 100 (20,7–100) | | | 1/1 | 100 (20,7–100) |
| <i>Streptococcus pneumoniae</i> | | | 1/1 | 100 (20,7–100) | | | 1/1 | 100 (20,7–100) |
| <i>Streptococcus salivarius</i> | | | 1/1 | 100 (20,7–100) | | | 1/1 | 100 (20,7–100) |

**Tabell 45: Arter detektert i pan-analyser ved komparatormetoder for retrospektive prøver
(ikke tiltenkt bruk) med grampositive organismer eller sopporganismer**

| Målarter detektert ved komparatormetode | Retrospektive prøver (ikke tiltenkt bruk) | |
|--|--|------------------|
| | Sensitivitet/PPA (positiv prosentoverensstemmelse) | |
| | SP/SP+FN | % (95 % KI) |
| Pan-Candida | | |
| <i>Candida albicans</i> | 99/102 | 97,1 (91,7–99,0) |
| <i>Candida glabrata</i> | 47/48 | 97,9 (89,1–99,6) |
| <i>Candida krusei</i> | 37/38 | 97,4 (86,5–99,5) |
| <i>Candida parapsilosis</i> | 3/3 | 100 (43,9–100) |
| | 15/16 | 93,8 (71,7–98,9) |
| Pan-grampositive organismer | 567/571 | 99,3 (98,2–99,7) |
| <i>Bacillus</i> (ikke-artsbestemt) | 4/4 | 100 (51,0–100) |
| <i>Bacillus cereus</i> | 4/5 | 80,0 (37,6–96,4) |
| <i>Bacillus cereus</i> -gruppen – ikke anthracis | 1/1 | 100 (20,7–100) |
| <i>Enterococcus</i> | 1/1 | 100 (20,7–100) |
| <i>Enterococcus faecalis</i> | 34/34 | 100 (89,8–100) |
| <i>Enterococcus faecium</i> | 14/14 | 100 (78,5–100) |
| Koagulasenegative <i>Staphylococci</i> (CoNS) | 14/14 | 100 (78,5–100) |
| <i>Staphylococcus</i> (ikke-artsbestemt) | 86/86 | 100 (95,7–100) |
| <i>Staphylococcus aureus</i> | 173/174 | 99,4 (96,8–99,9) |
| <i>Staphylococcus auricularis</i> | 3/3 | 100 (43,9–100) |
| <i>Staphylococcus capitis</i> | 7/7 | 100 (64,6–100) |
| <i>Staphylococcus cohnii</i> | 1/1 | 100 (20,7–100) |
| <i>Staphylococcus epidermidis</i> | 86/87 | 98,9 (93,8–99,8) |
| <i>Staphylococcus haemolyticus</i> | 6/6 | 100 (61,0–100) |
| <i>Staphylococcus hominis</i> | 19/19 | 100 (83,2–100) |
| <i>Staphylococcus hominis</i> underart <i>hominis</i> | 21/21 | 100 (84,5–100) |
| <i>Staphylococcus intermedius</i> | 1/1 | 100 (20,7–100) |
| <i>Staphylococcus lugdunensis</i> | 1/1 | 100 (20,7–100) |
| <i>Staphylococcus saccharolyticus</i> | 1/1 | 100 (20,7–100) |
| <i>Staphylococcus saprophyticus</i> | 1/1 | 100 (20,7–100) |
| <i>Staphylococcus sciuri</i> | 1/1 | 100 (20,7–100) |
| <i>Staphylococcus simulans</i> | 2/2 | 100 (34,2–100) |
| <i>Staphylococcus warneri</i> | 4/4 | 100 (51,0–100) |
| Alfahemolytisk <i>Streptococcus</i> | 1/1 | 100 (20,7–100) |
| Betahemolytiske <i>Streptococci</i> , gruppe G | 1/1 | 100 (20,7–100) |
| Gammahemolytisk <i>Streptococcus</i> | 1/1 | 100 (20,7–100) |
| <i>Streptococcus</i> (ikke-artsbestemt) | 9/9 | 100 (70,1–100) |
| <i>Streptococcus viridans</i> -gruppen | 17/17 | 100 (81,6–100) |
| <i>Streptococcus agalactiae</i> | 21/21 | 100 (84,5–100) |
| <i>Streptococcus anginosus</i> | 2/2 | 100 (34,2–100) |
| <i>Streptococcus bovis</i> | 2/2 | 100 (34,2–100) |
| <i>Streptococcus constellatus</i> underart <i>constellatus</i> | 1/1 | 100 (20,7–100) |
| <i>Streptococcus dysgalactiae</i> (gruppe G) | 4/4 | 100 (51,0–100) |

| Målarter detektert ved komparatormetode | Retrospektive prøver (ikke tiltenkt bruk) | |
|---|--|------------------|
| | Sensitivitet/PPA (positiv prosentoverensstemmelse) | |
| | SP/SP+FN | % (95 % KI) |
| <i>Streptococcus gordonii</i> | 1/1 | 100 (20,7–100) |
| <i>Streptococcus intermedius</i> | 1/1 | 100 (20,7–100) |
| <i>Streptococcus mitis</i> | 11/12 | 91,7 (64,6–98,5) |
| <i>Streptococcus mitis</i> -gruppen | 2/2 | 100 (34,2–100) |
| <i>Streptococcus pneumoniae</i> | 22/22 | 100 (85,1–100) |
| <i>Streptococcus pyogenes</i> | 9/9 | 100 (70,1–100) |
| <i>Streptococcus salivarius</i> | 2/2 | 100 (34,2–100) |

Stratifikasjon av arter etter analyse for resistensgener

Testresultater for resistensgener rapporteres bare når en tilknyttet organismeanalyse er positiv i samme prøve. (**Tabell 7** viser organismer som er spesifikt tilknyttet de seks resistensmarkørene i **cobas eplex** BCID-GN-panelet.)

CTX-M

PPA og NPA for BCID-GN-panelets CTX-M-mål stratifisert etter organismen som ble identifisert ved komparatormetoder for prospektive, retrospektive og simulerte prøver, er vist i **tabell 46**.

Tabell 46: Klinisk ytelse for CTX-M-målet i prøver med tilknyttede organismer detektert ved komparatormetoder

| Arter detektert ved komparatormetode | Sensitivitet/PPA (positiv prosentoverensstemmelse) | | Spesifisitet/NPA (negativ prosentoverensstemmelse) | |
|---|--|--------------|--|----------------|
| | SP/SP+FN | % (95 % KI) | SN/SN+FP | % (95 % KI) |
| <i>Acinetobacter baumannii</i> | Prospektiv | 0/0 | --- | 4/4 |
| | Retrospektiv | 0/0 | --- | 15/15 |
| | Simulert | 0/0 | --- | 55/55 |
| | Kombinert | 0/0 | --- | 74/74 |
| <i>Citrobacter</i> | Prospektiv | 0/0 | --- | 5/5 |
| | Retrospektiv | 1/1 | 100 (20,7–100) | 20/20 |
| | Simulert | 6/6 | 100 (61,0–100) | 37/37 |
| | Kombinert | 7/7 | 100 (64,6–100) | 62/62 |
| <i>Enterobacter</i> (ikke cloacae-komplekset) | Prospektiv | 0/0 | --- | 10/10 |
| | Retrospektiv | 0/0 | --- | 12/12 |
| | Simulert | 0/0 | --- | 36/36 |
| | Kombinert | 0/0 | --- | 58/58 |
| <i>Enterobacter cloacae</i> -komplekset | Prospektiv | 0/0 | --- | 19/19 |
| | Retrospektiv | 0/0 | --- | 50/50 |
| | Simulert | 22/22 | 100 (85,1–100) | 15/15 |
| | Kombinert | 22/22 | 100 (85,1–100) | 84/84 |
| <i>Escherichia coli</i> | Prospektiv | 16/18 | 88,9 (67,2–96,9) | 115/115 |
| | Retrospektiv | 35/37 | 94,6 (82,3–98,5) | 103/103 |
| | Simulert | 22/22 | 100 (85,1–100) | 30/30 |
| | Kombinert | 73/77 | 94,8 (87,4–98,0) | 248/248 |

cobas eplex BCID gram-negative panel (panel for identifikasjon av gramnegative organismer)

| Arter detektert ved komparatormetode | Sensitivitet/PPA (positiv prosentoverensstemmelse) | | Spesifisitet/NPA (negativ prosentoverensstemmelse) | | |
|---------------------------------------|--|--------------|--|----------------|-----------------------|
| | SP/SP+FN | % (95 % KI) | SN/SN+FP | % (95 % KI) | |
| <i>Klebsiella oxytoca</i> | Prospektiv | 0/1 | 0,0 (0,0–79,3) | 12/12 | 100 (75,8–100) |
| | Retrospektiv | 0/0 | --- | 34/34 | 100 (89,8–100) |
| | Simulert | 0/0 | --- | 20/20 | 100 (83,9–100) |
| | Kombinert | 0/1 | 0,0 (0,0–79,3) | 66/66 | 100 (94,5–100) |
| <i>Klebsiella pneumoniae</i> -gruppen | Prospektiv | 5/5 | 100 (56,6–100) | 56/56 | 100 (93,6–100) |
| | Retrospektiv | 14/15 | 93,3 (70,2–98,8) | 93/93 | 100 (96,0–100) |
| | Simulert | 20/20 | 100 (83,9–100) | 52/52 | 100 (93,1–100) |
| | Kombinert | 39/40 | 97,5 (87,1–99,6) | 201/201 | 100 (98,1–100) |
| <i>Morganella morganii</i> | Prospektiv | 0/0 | --- | 3/3 | 100 (43,9–100) |
| | Retrospektiv | 0/0 | --- | 10/10 | 100 (72,2–100) |
| | Simulert | 5/5 | 100 (56,6–100) | 44/44 | 100 (92,0–100) |
| | Kombinert | 5/5 | 100 (56,6–100) | 57/57 | 100 (93,7–100) |
| <i>Proteus</i> | Prospektiv | 2/5 | 40,0 (11,8–76,9) | 18/18 | 100 (82,4–100) |
| | Retrospektiv | 2/3 | 66,7 (20,8–93,9) | 52/52 | 100 (93,1–100) |
| | Simulert | 0/0 | --- | 9/9 | 100 (70,1–100) |
| | Kombinert | 4/8 | 50,0 (21,5–78,5) | 79/79 | 100 (95,4–100) |
| <i>Proteus mirabilis</i> | Prospektiv | 2/5 | 40,0 (11,8–76,9) | 18/18 | 100 (82,4–100) |
| | Retrospektiv | 2/3 | 66,7 (20,8–93,9) | 48/48 | 100 (92,6–100) |
| | Simulert | 0/0 | --- | 9/9 | 100 (70,1–100) |
| | Kombinert | 4/8 | 50,0 (21,5–78,5) | 75/75 | 100 (95,1–100) |
| <i>Pseudomonas aeruginosa</i> | Prospektiv | 0/1 | 0,0 (0,0–79,3) | 27/27 | 100 (87,5–100) |
| | Retrospektiv | 0/0 | --- | 60/60 | 100 (94,0–100) |
| | Simulert | 0/0 | --- | 32/32 | 100 (89,3–100) |
| | Kombinert | 0/1 | 0,0 (0,0–79,3) | 119/119 | 100 (96,9–100) |
| <i>Salmonella</i> | Prospektiv | 0/0 | --- | 2/2 | 100 (34,2–100) |
| | Retrospektiv | 1/1 | 100 (20,7–100) | 18/18 | 100 (82,4–100) |
| | Simulert | 0/0 | --- | 35/35 | 100 (90,1–100) |
| | Kombinert | 1/1 | 100 (20,7–100) | 55/55 | 100 (93,5–100) |
| <i>Serratia</i> | Prospektiv | 0/0 | --- | 10/10 | 100 (72,2–100) |
| | Retrospektiv | 0/0 | --- | 34/34 | 100 (89,8–100) |
| | Simulert | 0/0 | --- | 36/36 | 100 (90,4–100) |
| | Kombinert | 0/0 | --- | 80/80 | 100 (95,4–100) |
| <i>Serratia marcescens</i> | Prospektiv | 0/0 | --- | 9/9 | 100 (70,1–100) |
| | Retrospektiv | 0/0 | --- | 34/34 | 100 (89,8–100) |
| | Simulert | 0/0 | --- | 19/19 | 100 (83,2–100) |
| | Kombinert | 0/0 | --- | 62/62 | 100 (94,2–100) |
| <i>Stenotrophomonas maltophilia</i> | Prospektiv | 0/0 | --- | 4/4 | 100 (51,0–100) |
| | Retrospektiv | 0/0 | --- | 10/10 | 100 (72,2–100) |
| | Simulert | 0/0 | --- | 36/36 | 100 (90,4–100) |
| | Kombinert | 0/0 | --- | 50/50 | 100 (92,9–100) |

En sammenligning av CTX-M identifisert ved komparatormetoder, kontra resultatene fra **cobas eplex BCID-GN**-panelet, er vist i **tabell 47** for prospektive og retrospektive prøver.

Tabell 47: Distribusjon av CTX-M i kliniske prøver

| BCID-GN | Komparatormetode | | | |
|---------------|------------------|------------|-----------|------------|
| | Org+/ARG+ | Org+/ARG- | Org- | Totalt |
| Org+/ARG+ | 74 | 0 | 2 | 76 |
| Org+/ARG- | 8 ^A | 741 | 2 | 751 |
| Org- | 3 ^B | 13 | 83 | 99 |
| Totalt | 85 | 754 | 87 | 926 |

% overensstemmelse (95 % KI) for Org+/ARG+: 74/85 = 87,1 % (78,3–92,6)

% overensstemmelse (95 % KI) for Org+/ARG-: 741/754 = 98,3 % (97,1–99,0)

% overensstemmelse (95 % KI) for Org-: 83/87 = 95,4 % (88,8–98,2)

A. Videre testing av disse 8 falske negative prøvene viste at 7 av de 8 prøvene kan ha blitt kontaminert i den opprinnelige ekstraksjonsprosessen og feilidentifisert med CTX-M. Resultatene for 7 av de 8 prøvene var spesifikt negative for CTX-M etter følgende tilleggstesting: 1) qPCR-testing av 2 gjentatte ekstraksjoner fra originalprøven, 2) qPCR-testing av ekstrahert isolat og 3) testing av originalprøven med en FDA-klarert flerspektret analyse. For disse 7 prøvene ble den ekstraherte originalprøven testet på nytt med qPCR, og CTX-M ble detektert på nytt, noe som kan tyde på kontaminasjon under den opprinnelige ekstraksjonsprosessen. Den gjenværende 8. prøven var positiv for CTX-M etter gjentatte ekstraksjoner, negativ for CTX-M fra isolat og negativ for CTX-M etter testing med en FDA-klarert flerspektret analyse. De inkonsekvente deteksjonsresultatene tyder på at den 8. prøven kan ha vært en sann positiv prøve med CTX-M med lavt kopiantall.

B. I disse 3 prøvene var CTX-M-signalen over grenseverdien for deteksjon, men **cobas eplex** BCID-GN-panelet detekterte ikke en tilknyttet organisme, og CTX-M-målet ble rapportert som «N/A» (ikke aktuelt).

IMP

PPA og NPA for BCID-GN-panelets IMP-mål stratifisert etter den simulerte organismen, er vist i **tabell 48** nedenfor. Det ble ikke funnet IMP i prospektive eller retrospektive prøver.

Tabell 48: Klinisk ytelse for IMP-målet i simulerte prøver

| Arter detektert ved komparatormetode | Sensitivitet/PPA (positiv prosentoverensstemmelse) | | Spesifisitet/NPA (negativ prosentoverensstemmelse) | |
|---|--|----------------|--|----------------|
| | SP/SP+FN | % (95 % KI) | SN/SN+FP | % (95 % KI) |
| <i>Acinetobacter baumannii</i> | 0/0 | --- | 74/74 | 100 (95,1–100) |
| <i>Citrobacter</i> | 0/0 | --- | 69/69 | 100 (94,7–100) |
| <i>Enterobacter</i> (ikke <i>cloacae</i> -komplekset) | 5/5 | 100 (56,6–100) | 53/53 | 100 (93,2–100) |
| <i>Enterobacter cloacae</i> -komplekset | 0/0 | --- | 106/106 | 100 (96,5–100) |
| <i>Escherichia coli</i> | 7/7 | 100 (64,6–100) | 318/318 | 100 (98,8–100) |
| <i>Klebsiella oxytoca</i> | 0/0 | --- | 67/67 | 100 (94,6–100) |
| <i>Klebsiella pneumoniae</i> -gruppen | 14/14 | 100 (78,5–100) | 227/227 | 100 (98,3–100) |
| <i>Morganella morganii</i> | 0/0 | --- | 62/62 | 100 (94,2–100) |
| <i>Proteus</i> | 0/0 | --- | 87/87 | 100 (95,8–100) |
| <i>Proteus mirabilis</i> | 0/0 | --- | 83/83 | 100 (95,6–100) |
| <i>Pseudomonas aeruginosa</i> | 13/13 | 100 (77,2–100) | 107/107 | 100 (96,5–100) |
| <i>Salmonella</i> | 0/0 | --- | 56/56 | 100 (93,6–100) |
| <i>Serratia</i> | 1/1 | 100 (20,7–100) | 79/79 | 100 (95,4–100) |
| <i>Serratia marcescens</i> | 1/1 | 100 (20,7–100) | 61/61 | 100 (94,1–100) |

En sammenligning av IMP identifisert ved komparatormetoder, kontra resultatene fra **cobas eplex** BCID-GN-panelet, er vist i **tabell 49** for prospektive og retrospektive prøver.

Tabell 49: Distribusjon av IMP i kliniske prøver

| Komparatormetode | | | | |
|------------------|-----------|------------|-----------|------------|
| BCID-GN | Org+/ARG+ | Org+/ARG- | Org- | Totalt |
| Org+/ARG+ | 0 | 0 | 0 | 0 |
| Org+/ARG- | 0 | 812 | 4 | 816 |
| Org- | 0 | 17 | 93 | 110 |
| Totalt | 0 | 829 | 97 | 926 |

% overensstemmelse (95 % KI) for Org+/ARG+: 0/0 = ikke aktuelt

% overensstemmelse (95 % KI) for Org+/ARG-: 812/829 = 97,9 % (96,7–98,7)

% overensstemmelse (95 % KI) for Org-: 93/97 = 95,9 % (89,9–98,4)

KPC

PPA og NPA for BCID-GN-panelets KPC-mål stratifisert etter organismen som ble identifisert ved komparatormetoder for prospektive, retrospektive og simulerte prøver, er vist i **tabell 50**.

Tabell 50: Klinisk ytelse for KPC-målet i prøver med tilknyttede organismer detektert ved komparatormetoder

| Arter detektert ved komparatormetode | Sensitivitet/PPA (positiv prosentoverensstemmelse) | | Spesifisitet/NPA (negativ prosentoverensstemmelse) | |
|---|--|-------------|--|----------------|
| | SP/SP+FN | % (95 % KI) | SN/SN+FP | % (95 % KI) |
| <i>Acinetobacter baumannii</i> | Prospektiv | 0/0 | --- | 4/4 |
| | Retrospektiv | 0/0 | --- | 15/15 |
| | Simulert | 0/0 | --- | 55/55 |
| | Kombinert | 0/0 | --- | 74/74 |
| <i>Citrobacter</i> | Prospektiv | 0/0 | --- | 5/5 |
| | Retrospektiv | 0/0 | --- | 21/21 |
| | Simulert | 4/4 | 100 (51,0–100) | 39/39 |
| | Kombinert | 4/4 | 100 (51,0–100) | 65/65 |
| <i>Cronobacter sakazakii</i> | Prospektiv | --- | --- | --- |
| | Retrospektiv | 0/0 | --- | 1/1 |
| | Simulert | 0/0 | --- | 45/45 |
| | Kombinert | 0/0 | --- | 46/46 |
| <i>Enterobacter</i> (ikke cloacae-komplekset) | Prospektiv | 0/0 | --- | 10/10 |
| | Retrospektiv | 0/0 | --- | 12/12 |
| | Simulert | 0/0 | --- | 36/36 |
| | Kombinert | 0/0 | --- | 58/58 |
| <i>Enterobacter cloacae</i> -komplekset | Prospektiv | 0/0 | --- | 19/19 |
| | Retrospektiv | 0/1 | 0,0 (0,0–79,3) | 49/49 |
| | Simulert | 3/3 | 100 (43,9–100) | 34/34 |
| | Kombinert | 3/4 | 75,0 (30,1–95,4) | 102/102 |
| <i>Escherichia coli</i> | Prospektiv | 1/1 | 100 (20,7–100) | 132/132 |
| | Retrospektiv | 0/0 | --- | 140/140 |
| | Simulert | 6/6 | 100 (61,0–100) | 46/46 |
| | Kombinert | 7/7 | 100 (64,6–100) | 318/318 |
| <i>Klebsiella oxytoca</i> | Prospektiv | 0/0 | --- | 13/13 |
| | Retrospektiv | 0/0 | --- | 34/34 |
| | Simulert | 0/0 | --- | 20/20 |
| | Kombinert | 0/0 | --- | 67/67 |

| Arter detektert ved komparatormetode | | Sensitivitet/PPA (positiv prosentoverensstemmelse) | | Spesifisitet/NPA (negativ prosentoverensstemmelse) | |
|---------------------------------------|------------------|--|-----------------------|--|-------------------------|
| | | SP/SP+FN | % (95 % KI) | SN/SN+FP | % (95 % KI) |
| <i>Klebsiella pneumoniae</i> -gruppen | Prospektiv | 2/2 | 100 (34,2–100) | 59/59 | 100 (93,9–100) |
| | Retrospektiv | 4/4 | 100 (51,0–100) | 103/104 | 99,0 (94,8–99,8) |
| | Simulert | 22/22 | 100 (85,1–100) | 50/50 | 100 (92,9–100) |
| | Kombinert | 28/28 | 100 (87,9–100) | 212/213 | 99,5 (97,4–99,9) |
| <i>Morganella morganii</i> | Prospektiv | 0/0 | --- | 3/3 | 100 (43,9–100) |
| | Retrospektiv | 0/0 | --- | 10/10 | 100 (72,2–100) |
| | Simulert | 4/4 | 100 (51,0–100) | 45/45 | 100 (92,1–100) |
| | Kombinert | 4/4 | 100 (51,0–100) | 58/58 | 100 (93,8–100) |
| <i>Proteus</i> | Prospektiv | 0/0 | --- | 23/23 | 100 (85,7–100) |
| | Retrospektiv | 0/0 | --- | 55/55 | 100 (93,5–100) |
| | Simulert | 4/4 | 100 (51,0–100) | 5/5 | 100 (56,6–100) |
| | Kombinert | 4/4 | 100 (51,0–100) | 83/83 | 100 (95,6–100) |
| <i>Proteus mirabilis</i> | Prospektiv | 0/0 | --- | 23/23 | 100 (85,7–100) |
| | Retrospektiv | 0/0 | --- | 51/51 | 100 (93,0–100) |
| | Simulert | 4/4 | 100 (51,0–100) | 5/5 | 100 (56,6–100) |
| | Kombinert | 4/4 | 100 (51,0–100) | 79/79 | 100 (95,4–100) |
| <i>Pseudomonas aeruginosa</i> | Prospektiv | 0/0 | --- | 28/28 | 100 (87,9–100) |
| | Retrospektiv | 0/0 | --- | 60/60 | 100 (94,0–100) |
| | Simulert | 1/1 | 100 (20,7–100) | 31/31 | 100 (89,0–100) |
| | Kombinert | 1/1 | 100 (20,7–100) | 119/119 | 100 (96,9–100) |
| <i>Salmonella</i> | Prospektiv | 0/0 | --- | 2/2 | 100 (34,2–100) |
| | Retrospektiv | 0/0 | --- | 19/19 | 100 (83,2–100) |
| | Simulert | 0/0 | --- | 35/35 | 100 (90,1–100) |
| | Kombinert | 0/0 | --- | 56/56 | 100 (93,6–100) |
| <i>Serratia</i> | Prospektiv | 0/0 | --- | 10/10 | 100 (72,2–100) |
| | Retrospektiv | 0/0 | --- | 34/34 | 100 (89,8–100) |
| | Simulert | 0/0 | --- | 36/36 | 100 (90,4–100) |
| | Kombinert | 0/0 | --- | 80/80 | 100 (95,4–100) |
| <i>Serratia marcescens</i> | Prospektiv | 0/0 | --- | 9/9 | 100 (70,1–100) |
| | Retrospektiv | 0/0 | --- | 34/34 | 100 (89,8–100) |
| | Simulert | 0/0 | --- | 19/19 | 100 (83,2–100) |
| | Kombinert | 0/0 | --- | 62/62 | 100 (94,2–100) |

En sammenligning av KPC identifisert ved komparatormetoder, kontra resultatene fra **cobas eplex BCID-GN**-panelet, er vist i **tabell 51** for prospektive og retrospektive prøver.

Tabell 51: Distribusjon av KPC i kliniske prøver

| BCID-GN | Komparatormetode | | | |
|---------------|------------------|------------|-----------|------------|
| | Org+/ARG+ | Org+/ARG- | Org- | Totalt |
| Org+/ARG+ | 7 | 1 | 0 | 8 |
| Org+/ARG- | 1 | 804 | 4 | 809 |
| Org- | 0 | 17 | 92 | 109 |
| Totalt | 8 | 822 | 96 | 926 |

% overensstemmelse (95 % KI) for Org+/ARG+: 7/8 = 87,5 % (52,9–97,8)

% overensstemmelse (95 % KI) for Org+/ARG-: 804/822 = 97,8 % (96,6–98,6)

% overensstemmelse (95 % KI) for Org-: 92/96 = 95,8 % (89,8–98,4)

NDM

PPA og NPA for BCID-GN-panelets NDM-mål stratifisert etter den simulerte organismen, er vist i **tabell 52** nedenfor. Det ble ikke funnet NDM i prospektive eller retrospektive prøver.

Tabell 52: Klinisk ytelse for NDM-målet i simulerte prøver etter organisme

| Arter detektert ved komparatormetode | Sensitivitet/PPA (positiv prosentoverensstemmelse) | | Spesifisitet/NPA (negativ prosentoverensstemmelse) | |
|---|--|----------------|--|----------------|
| | SP/SP+FN | % (95 % KI) | SN/SN+FP | % (95 % KI) |
| <i>Acinetobacter baumannii</i> | 5/5 | 100 (56,6–100) | 69/69 | 100 (94,7–100) |
| <i>Citrobacter</i> | 0/0 | --- | 69/69 | 100 (94,7–100) |
| <i>Enterobacter</i> (ikke <i>cloacae</i> -komplekset) | 0/0 | --- | 58/58 | 100 (93,8–100) |
| <i>Enterobacter cloacae</i> -komplekset | 13/13 | 100 (77,2–100) | 93/93 | 100 (96,0–100) |
| <i>Escherichia coli</i> | 23/23 | 100 (85,7–100) | 302/302 | 100 (98,7–100) |
| <i>Klebsiella oxytoca</i> | 0/0 | --- | 67/67 | 100 (94,6–100) |
| <i>Klebsiella pneumoniae</i> -gruppen | 3/3 | 100 (43,9–100) | 238/238 | 100 (98,4–100) |
| <i>Morganella morganii</i> | 5/5 | 100 (56,6–100) | 57/57 | 100 (93,7–100) |
| <i>Proteus</i> | 5/5 | 100 (56,6–100) | 82/82 | 100 (95,5–100) |
| <i>Proteus mirabilis</i> | 5/5 | 100 (56,6–100) | 78/78 | 100 (95,3–100) |
| <i>Pseudomonas aeruginosa</i> | 0/0 | --- | 120/120 | 100 (96,9–100) |
| <i>Salmonella</i> | 0/0 | --- | 56/56 | 100 (93,6–100) |
| <i>Serratia</i> | 0/0 | --- | 80/80 | 100 (95,4–100) |
| <i>Serratia marcescens</i> | 0/0 | --- | 62/62 | 100 (94,2–100) |

En sammenligning av NDM identifisert ved komparatormetoder, kontra resultatene fra **cobas eplex** BCID-GN-panelet, er vist i **tabell 53** for prospektive og retrospektive prøver.

Tabell 53: Distribusjon av NDM i kliniske prøver

| BCID-GN | Komparatormetode | | | |
|---------------|------------------|------------|-----------|------------|
| | Org+/ARG+ | Org+/ARG- | Org- | Totalt |
| Org+/ARG+ | 0 | 0 | 0 | 0 |
| Org+/ARG- | 0 | 812 | 4 | 816 |
| Org- | 0 | 17 | 93 | 110 |
| Totalt | 0 | 829 | 97 | 926 |

% overensstemmelse (95 % KI) for Org+/ARG+: 0/0 = ikke aktuelt

% overensstemmelse (95 % KI) for Org+/ARG-: 812/829 = 97,9 % (96,7–98,7)

% overensstemmelse (95 % KI) for Org-: 93/97 = 95,9 % (89,9–98,4)

OXA

PPA og NPA for BCID-GN-panelets OXA-mål stratifisert etter målet som ble identifisert ved komparatormetoder for prospektive, retrospektive og simulerte prøver, er vist i **tabell 54**.

**Tabell 54: Klinisk ytelse for OXA-målet i prøver med tilknyttede organismer
detektert ved komparatormetoder**

| Arter detektert ved komparatormetode | Sensitivitet/PPA (positiv prosentoverensstemmelse) | | Spesifisitet/NPA (negativ prosentoverensstemmelse) | | |
|---|--|--------------|--|----------------|-------------------------|
| | SP/SP+FN | % (95 % KI) | SN/SN+FP | % (95 % KI) | |
| <i>Acinetobacter baumannii</i> | Prospektiv | 1/1 | 100 (20,7–100) | 3/3 | 100 (43,9–100) |
| | Retrospektiv | 7/7 | 100 (64,6–100) | 8/8 | 100 (67,6–100) |
| | Simulert | 13/13 | 100 (77,2–100) | 42/42 | 100 (91,6–100) |
| | Kombinert | 21/21 | 100 (84,5–100) | 53/53 | 100 (93,2–100) |
| <i>Citrobacter</i> | Prospektiv | 0/0 | --- | 5/5 | 100 (56,6–100) |
| | Retrospektiv | 0/0 | --- | 21/21 | 100 (84,5–100) |
| | Simulert | 0/0 | --- | 43/43 | 100 (91,8–100) |
| | Kombinert | 0/0 | --- | 69/69 | 100 (94,7–100) |
| <i>Enterobacter</i> (ikke cloacae-komplekset) | Prospektiv | 0/0 | --- | 10/10 | 100 (72,2–100) |
| | Retrospektiv | 0/0 | --- | 12/12 | 100 (75,8–100) |
| | Simulert | 12/12 | 100 (75,8–100) | 24/24 | 100 (86,2–100) |
| | Kombinert | 12/12 | 100 (75,8–100) | 46/46 | 100 (92,3–100) |
| <i>Enterobacter cloacae</i> -komplekset | Prospektiv | 0/0 | --- | 19/19 | 100 (83,2–100) |
| | Retrospektiv | 0/0 | --- | 50/50 | 100 (92,9–100) |
| | Simulert | 0/0 | --- | 37/37 | 100 (90,6–100) |
| | Kombinert | 0/0 | --- | 106/106 | 100 (96,5–100) |
| <i>Escherichia coli</i> | Prospektiv | 0/1 | 0,0 (0,0–79,3) | 132/132 | 100 (97,2–100) |
| | Retrospektiv | 1/2 | 50,0 (9,5–90,5) | 138/138 | 100 (97,3–100) |
| | Simulert | 0/0 | --- | 52/52 | 100 (93,1–100) |
| | Kombinert | 1/3 | 33,3 (6,1–79,2) | 322/322 | 100 (98,8–100) |
| <i>Klebsiella oxytoca</i> | Prospektiv | 0/0 | --- | 13/13 | 100 (77,2–100) |
| | Retrospektiv | 0/0 | --- | 34/34 | 100 (89,8–100) |
| | Simulert | 0/0 | --- | 20/20 | 100 (83,9–100) |
| | Kombinert | 0/0 | --- | 67/67 | 100 (94,6–100) |
| <i>Klebsiella pneumoniae</i> -gruppen | Prospektiv | 0/0 | --- | 61/61 | 100 (94,1–100) |
| | Retrospektiv | 0/1 | 0,0 (0,0–79,3) | 107/107 | 100 (96,5–100) |
| | Simulert | 12/12 | 100 (75,8–100) | 60/60 | 100 (94,0–100) |
| | Kombinert | 12/13 | 92,3 (66,7–98,6) | 228/228 | 100 (98,3–100) |
| <i>Morganella morganii</i> | Prospektiv | 0/0 | --- | 3/3 | 100 (43,9–100) |
| | Retrospektiv | 0/0 | --- | 10/10 | 100 (72,2–100) |
| | Simulert | 0/0 | --- | 49/49 | 100 (92,7–100) |
| | Kombinert | 0/0 | --- | 62/62 | 100 (94,2–100) |
| <i>Proteus</i> | Prospektiv | 0/0 | --- | 23/23 | 100 (85,7–100) |
| | Retrospektiv | 1/1 | 100 (20,7–100) | 53/54 | 98,1 (90,2–99,7) |
| | Simulert | 0/0 | --- | 9/9 | 100 (70,1–100) |
| | Kombinert | 1/1 | 100 (20,7–100) | 85/86 | 98,8 (93,7–99,8) |
| <i>Proteus mirabilis</i> | Prospektiv | 0/0 | --- | 23/23 | 100 (85,7–100) |
| | Retrospektiv | 0/0 | --- | 50/51 | 98,0 (89,7–99,7) |
| | Simulert | 0/0 | --- | 9/9 | 100 (70,1–100) |
| | Kombinert | 0/0 | --- | 82/83 | 98,8 (93,5–99,8) |
| <i>Pseudomonas aeruginosa</i> | Prospektiv | 0/0 | --- | 28/28 | 100 (87,9–100) |
| | Retrospektiv | 0/0 | --- | 59/60 | 98,3 (91,1–99,7) |
| | Simulert | 0/0 | --- | 32/32 | 100 (89,3–100) |
| | Kombinert | 0/0 | --- | 119/120 | 99,2 (95,4–99,9) |

| Arter detektert ved komparatormetode | | Sensitivitet/PPA (positiv prosentoverensstemmelse) | | Spesifisitet/NPA (negativ prosentoverensstemmelse) | |
|--------------------------------------|--------------|--|-------------|--|-----------------------|
| | | SP/SP+FN | % (95 % KI) | SN/SN+FP | % (95 % KI) |
| <i>Salmonella</i> | Prospektiv | 0/0 | --- | 2/2 | 100 (34,2–100) |
| | Retrospektiv | 0/0 | --- | 19/19 | 100 (83,2–100) |
| | Simulert | 0/0 | --- | 35/35 | 100 (90,1–100) |
| | Kombinert | 0/0 | --- | 56/56 | 100 (93,6–100) |
| <i>Serratia</i> | Prospektiv | 0/0 | --- | 10/10 | 100 (72,2–100) |
| | Retrospektiv | 0/0 | --- | 34/34 | 100 (89,8–100) |
| | Simulert | 0/0 | --- | 36/36 | 100 (90,4–100) |
| | Kombinert | 0/0 | --- | 80/80 | 100 (95,4–100) |
| <i>Serratia marcescens</i> | Prospektiv | 0/0 | --- | 9/9 | 100 (70,1–100) |
| | Retrospektiv | 0/0 | --- | 34/34 | 100 (89,8–100) |
| | Simulert | 0/0 | --- | 19/19 | 100 (83,2–100) |
| | Kombinert | 0/0 | --- | 62/62 | 100 (94,2–100) |

En sammenligning av OXA identifisert ved komparatormetoder, kontra resultatene fra **cobas eplex BCID-GN**-panelet, er vist i **tabell 55** for prospektive og retrospektive prøver.

Tabell 55: Distribusjon av OXA i kliniske prøver

| BCID-GN | Komparatormetode | | | |
|---------------|------------------|------------|-----------|------------|
| | Org+/ARG+ | Org+/ARG- | Org- | Totalt |
| Org+/ARG+ | 10 | 2 | 0 | 12 |
| Org+/ARG- | 2 ^A | 798 | 4 | 804 |
| Org- | 1 ^B | 16 | 93 | 110 |
| Totalt | 13 | 816 | 97 | 926 |

% overensstemmelse (95 % KI) for Org+/ARG+: 10/13 = 76,9 % (49,7–91,8)

% overensstemmelse (95 % KI) for Org+/ARG-: 798/816 = 97,8 % (96,5–98,6)

% overensstemmelse (95 % KI) for Org-: 93/97 = 95,9 % (89,9–98,4)

A. Én ytterligere falsk negativ prøve ble testet med en FDA-klarert flerspektret analyse, og OXA ble ikke detektert.

Isolatet fra den gjenværende falske negative prøven testet negativt for OXA-23 og OXA-48 ved qPCR.

B. I denne prøven var OXA-signalen over grenseverdien for deteksjon, men **cobas eplex BCID-GN**-panelet detekterte ikke en tilknyttet organisme, og OXA-målet ble rapportert som «N/A» (ikke aktuelt).

VIM

PPA og NPA for BCID-GN-panelets VIM-mål stratifisert etter den simulerte organismen, er vist i **tabell 56** nedenfor. Det ble ikke funnet VIM i prospektive eller retrospektive prøver.

Tabell 56: Klinisk ytelse for VIM-målet i simulerte prøver etter organisme

| Arter detektert ved komparatormetode | Sensitivitet/PPA (positiv prosentoverensstemmelse) | | Spesifisitet/NPA (negativ prosentoverensstemmelse) | |
|---|--|----------------|--|----------------|
| | SP/SP+FN | % (95 % KI) | SN/SN+FP | % (95 % KI) |
| <i>Acinetobacter baumannii</i> | 0/0 | --- | 74/74 | 100 (95,1–100) |
| <i>Citrobacter</i> | 0/0 | --- | 69/69 | 100 (94,7–100) |
| <i>Enterobacter</i> (ikke cloacae-komplekset) | 0/0 | --- | 58/58 | 100 (93,8–100) |
| <i>Enterobacter cloacae</i> -komplekset | 6/6 | 100 (61,0–100) | 100/100 | 100 (96,3–100) |
| <i>Escherichia coli</i> | 2/2 | 100 (34,2–100) | 323/323 | 100 (98,8–100) |
| <i>Klebsiella oxytoca</i> | 0/0 | --- | 67/67 | 100 (94,6–100) |
| <i>Klebsiella pneumoniae</i> -gruppen | 16/16 | 100 (80,6–100) | 225/225 | 100 (98,3–100) |
| <i>Morganella morganii</i> | 0/0 | --- | 62/62 | 100 (94,2–100) |

| Arter detektert ved komparatormetode | Sensitivitet/PPA (positiv prosentoverensstemmelse) | | Spesifisitet/NPA (negativ prosentoverensstemmelse) | |
|--------------------------------------|--|----------------|--|----------------|
| | SP/SP+FN | % (95 % KI) | SN/SN+FP | % (95 % KI) |
| <i>Proteus</i> | 0/0 | --- | 87/87 | 100 (95,8–100) |
| <i>Proteus mirabilis</i> | 0/0 | --- | 83/83 | 100 (95,6–100) |
| <i>Pseudomonas aeruginosa</i> | 18/18 | 100 (82,4–100) | 102/102 | 100 (96,4–100) |
| <i>Salmonella</i> | 0/0 | --- | 56/56 | 100 (93,6–100) |
| <i>Serratia</i> | 0/0 | --- | 80/80 | 100 (95,4–100) |
| <i>Serratia marcescens</i> | 0/0 | --- | 62/62 | 100 (94,2–100) |

En sammenligning av VIM identifisert ved komparatormetoder, kontra resultatene fra cobas eplex BCID-GN-panelet, er vist i **tabell 57** for prospektive og retrospektive prøver.

Tabell 57: Distribusjon av VIM i kliniske prøver

| BCID-GN | Komparatormetode | | | |
|---------------|------------------|------------|-----------|------------|
| | Org+/ARG+ | Org+/ARG- | Org- | Totalt |
| Org+/ARG+ | 0 | 0 | 0 | 0 |
| Org+/ARG- | 0 | 812 | 4 | 816 |
| Org- | 0 | 17 | 93 | 110 |
| Totalt | 0 | 829 | 97 | 926 |

% overensstemmelse (95 % KI) for Org+/ARG+: 0/0 = ikke aktuelt

% overensstemmelse (95 % KI) for Org+/ARG-: 812/829 = 97,9 % (96,7–98,7)

% overensstemmelse (95 % KI) for Org-: 93/97 = 95,9 % (89,9–98,4)

Resistensmarkører og følsomhet for antimikrobielle midler

En tilleggssammenligning av BCID-GN-panelets CTX-M-mål kontra fenotypisk følsomhetstesting for antimikrobielle midler (AST) for aktivitet i form av betalaktamaser med utvidet spektrum (ESBL), ceftazidim, ceftriakson og aztreonam, og en kombinasjon av de 4 resultatene (ESBL/kombinasjon), er vist i **tabell 58** for kliniske isolater med tilgjengelige AST-resultater. Totalt 162 isolater hadde bekreftende ESBL-testing, og 770 isolater hadde bekreftende ESBL- testing og/eller AST-resultater for 1 eller flere av ceftazidim, ceftriakson eller aztreonam. Et sant positivt (SP) resultat ble definert som et tilfelle der CTX-M ble detektert av BCID-GN-panelet, og isolatet var positivt for den bekreftende ESBL-testen eller resistent (R) eller intermediært (I) for det spesifikke antimikrobielle middelet.

Et falsk negativt (FN) resultat ble tilsvarende definert som et tilfelle der CTX-M ikke ble detektert av BCID-GN-panelet. PPA ble utregnet som $100 \times (SP/(SP+SN))$. Et sant negativt (SN) resultat ble definert som et tilfelle der CTX-M ikke ble detektert av BCID-GN-panelet, og isolatet var negativt for den bekreftende ESBL-testen eller følsomt (S) for det spesifikke antimikrobielle middelet. Et falsk positivt (FP) resultat ble tilsvarende definert som et tilfelle der CTX-M ble detektert av BCID-GN-panelet.

NPA ble utregnet som $100 \times (SN/(SN+FP))$. For analysen ESBL/kombinasjon var det fenotypiske AST-resultatet positivt eller negativt, basert på den bekreftende ESBL-testen, hvis tilgjengelig.

Hvis den bekreftende ESBL-testen ikke var tilgjengelig, var det fenotypiske AST-resultatet positivt hvis resultatet for noen av de 3 antimikrobielle midlene var resistent eller intermediært – ellers var resultatet negativt. Merk: ESBL-resistens kan forårsakes av andre mekanismer enn ervervelse av resistensgenet CTX-M.

Tabell 58: Klinisk ytelse for BCID-GN-panelets CTX-M-mål kontra fenotypisk følsomhetstesting for antimikrobielle midler for ESBL, ceftazidim, ceftriakson og aztreonam

| Tilknyttet organisme | Bekreftende ESBL-testing | | Ceftazidim | | Ceftriakson | | Aztreonam | | ESBL/kombinasjon | |
|----------------------------------|-----------------------------|------------------------|------------------------|------------------------|------------------------|------------------------|------------------------|------------------------|------------------------|------------------------|
| | PPA SP/SP+FN (%) | NPA SN/SN+FP (%) | PPA SP/SP+FN (%) | NPA SN/SN+FP (%) | PPA SP/SP+FN (%) | NPA SN/SN+FP (%) | PPA SP/SP+FN (%) | NPA SN/SN+FP (%) | PPA SP/SP+FN (%) | NPA SN/SN+FP (%) |
| <i>A. baumannii</i> | --- | --- | 0/10 (0,0 %) | 3/3 (100 %) | 0/11 (0,0 %) | 1/1 (100 %) | 0/3 (0,0 %) | 0/0 (0,0 %) | 0/15 (0,0 %) | 2/2 (100 %) |
| <i>Citrobacter</i> | --- | --- | 0/2 (0,0 %) | 14/15 (93,3 %) | 0/3 (0,0 %) | 21/22 (95,5 %) | 0/1 (0,0 %) | 16/17 (94,1 %) | 0/3 (0,0 %) | 21/22 (95,5 %) |
| <i>Enterobacter</i> | --- | --- | 0/2 (0,0 %) | 12/12 (100 %) | 0/2 (0,0 %) | 18/18 (100 %) | 0/1 (0,0 %) | 9/9 (100 %) | 0/3 (0,0 %) | 17/17 (100 %) |
| <i>E. cloacae-</i> komplekset | --- | --- | 0/10 (0,0 %) | 30/30 (100 %) | 0/17 (0,0 %) | 39/39 (100 %) | 0/5 (0,0 %) | 25/25 (100 %) | 0/18 (0,0 %) | 39/39 (100 %) |
| <i>E. coli</i> | 28/30 (93,3 %) | 82/82 (100 %) | 29/38 (76,3 %) | 159/167 (95,2 %) | 47/59 (79,7 %) | 180/181 (99,4 %) | 23/27 (85,2 %) | 118/120 (98,3 %) | 47/53 (88,7 %) | 196/197 (99,5 %) |
| <i>K. oxytoca</i> | 0/0 (100 %) | 10/10 (100 %) | 0/1 (0,0 %) | 29/29 (100 %) | 0/2 (0,0 %) | 40/40 (100 %) | 0/2 (0,0 %) | 20/20 (100 %) | 0/2 (0,0 %) | 41/41 (100 %) |
| <i>K. pneumoniae-</i> gruppen | 7/11 (63,6 %) | 25/25 (100 %) | 13/23 (56,5 %) | 83/83 (100 %) | 17/27 (63,0 %) | 115/115 (100 %) | 10/12 (83,3 %) | 72/72 (100 %) | 17/26 (65,4 %) | 119/119 (100 %) |
| <i>M. morganii</i> | | | 0/1 (0,0 %) | 6/6 (100 %) | 0/2 (0,0 %) | 9/9 (100 %) | 0/0 (100 %) | 4/4 (100 %) | 0/2 (0,0 %) | 9/9 (100 %) |
| <i>Proteus</i> | 3/3 (100 %) | 0/0 | 1/2 (50,0 %) | 46/48 (95,8 %) | 4/7 (57,1 %) | 59/59 (100 %) | 2/3 (66,7 %) | 35/36 (97,2 %) | 4/8 (50,0 %) | 59/59 (100 %) |
| <i>P. mirabilis</i> | 3/3 (100 %) | 0/0 | 1/2 (50,0 %) | 43/45 (95,6 %) | 4/5 (80,0 %) | 56/56 (100 %) | 2/3 (66,7 %) | 32/33 (97,0 %) | 4/6 (66,7 %) | 56/56 (100 %) |
| <i>P. aeruginosa</i> | | | 0/7 (0,0 %) | 46/46 (100 %) | 0/20 (0,0 %) | 0/0 (0,0 %) | 0/9 (0,0 %) | 25/25 (100 %) | 0/32 (0,0 %) | 41/41 (100 %) |
| <i>Salmonella</i> | 1/1 (100 %) | 0/0 | 0/0 (100 %) | 6/6 (50,0 %) | 1/2 (50,0 %) | 12/12 (100 %) | 1/1 (100 %) | 8/8 (100 %) | 1/2 (50,0 %) | 15/15 (100 %) |
| <i>Serratia</i> | | | 0/1 (0,0 %) | 25/25 (100 %) | 0/4 (0,0 %) | 32/32 (100 %) | 0/1 (0,0 %) | 20/20 (100 %) | 0/4 (0,0 %) | 34/34 (100 %) |
| <i>S. marcescens</i> | | | 0/1 (0,0 %) | 24/24 (100 %) | 0/4 (0,0 %) | 31/31 (100 %) | 0/1 (0,0 %) | 19/19 (100 %) | 0/4 (0,0 %) | 33/33 (100 %) |
| <i>S. maltophilia</i> | | | 0/2 (0,0 %) | 2/2 (100 %) | 0/3 (0,0 %) | 0/0 (0,0 %) | 0/5 (0,0 %) | 0/0 (0,0 %) | 0/5 (0,0 %) | 2/2 (100 %) |
| Alle organismer | 42/48 (87,5 %) | 117/117 (100 %) | 44/102 (43,1 %) | 528/541 (97,6 %) | 73/168 (43,5 %) | 613/615 (99,7 %) | 38/74 (51,4 %) | 403/408 (98,8 %) | 73/183 (39,9 %) | 684/686 (99,7 %) |
| KI | (75,3–94,1) | (96,8–100) | (33,9–52,8) | (95,9–98,6) | (36,2–51,0) | (98,8–99,9) | (40,2–62,4) | (97,2–99,5) | (33,1–47,1) | (98,9–99,9) |

KI = konfidensintervall

En tilleggssammenligning av BCID-GN-panelets 5 genmål for karbapenemaseresistens (OXA, KPC, IMP, NDM, VIM) kontra fenotypisk følsomhetstesting for antimikrobielle midler (AST) for ertapenem, imipenem og meropenem er vist i **tabell 59** for kliniske isolater med tilgjengelige AST-resultater. Totalt 731 isolater hadde AST-resultater for 1 eller flere av ertapenem, imipenem eller meropenem. Et sant positivt (SP) resultat ble definert som et tilfelle der BCID-GN-panelet detekerte OXA, KPC, IMP, NDM og/eller VIM, og isolatet var resistent (R) eller intermediært (I) mot ertapenem, imipenem eller meropenem. Et falsk negativt (FN) resultat ble tilsvarende definert som et tilfelle der OXA, KPC, IMP, NDM og/eller VIM ikke ble detektert av BCID-GN-panelet. PPA ble utregnet som $100 \times (SP/(SP+SN))$. Et sant negativt (SN) resultat ble definert som et tilfelle der BCID-GN-panelet ikke detekerte OXA, KPC, IMP, NDM og/eller VIM, og isolatet var følsomt (S) for ertapenem, imipenem og meropenem. Et falsk positivt (FP) resultat ble tilsvarende definert som et tilfelle der OXA, KPC, IMP, NDM og/eller VIM ble detektert av BCID-GN-panelet. NPA ble utregnet som $100 \times (SN/(SN+FP))$. Merk: Karbapenemaseresistens kan forårsakes av andre mekanismer enn ervervelse av resistensgenene OXA, KPC, IMP, NDM og/eller VIM.

Tabell 59: Klinisk ytelse for BCID-GN-panelets genmål for resistens sammenlignet med fenotypisk følsomhetstesting for antimikrobielle midler for ertapenem, imipenem og meropenem

| Tilknyttet organisme | OXA | | KPC | | IMP | | NDM | | VIM | | Alle resistensmarkører | |
|------------------------------|------------------------|------------------------|------------------------|------------------------|------------------------|------------------------|------------------------|------------------------|------------------------|------------------------|---------------------------|------------------------|
| | PPA SP/SP+FN (%) | NPA SN/SN+FP (%) | PPA SP/SP+FN (%) | NPA SN/SN+FP (%) |
| <i>A. baumannii</i> | 8/9 (88,9 %) | 9/9 (100 %) | 0/9 (0,0 %) | 9/9 (100 %) | 0/9 (0,0 %) | 9/9 (100 %) | 0/9 (0,0 %) | 9/9 (100 %) | 0/9 (0,0 %) | 9/9 (100 %) | 8/9 (88,9 %) | 9/9 (100 %) |
| <i>Citrobacter</i> | 0/1 (0,0 %) | 22/22 (100 %) | 0/1 (0,0 %) | 22/22 (100 %) | 0/1 (0,0 %) | 22/22 (100 %) | 0/1 (0,0 %) | 22/22 (100 %) | 0/1 (0,0 %) | 22/22 (100 %) | 0/1 (0,0 %) | 22/22 (100 %) |
| <i>C. sakazakii</i> | --- | --- | 0/0 | 1/1 (100 %) | --- | --- | --- | --- | --- | --- | --- | --- |
| <i>Enterobacter</i> | 0/0 | 15/15 (100 %) | 0/0 | 15/15 (100 %) | 0/0 | 15/15 (100 %) | 0/0 | 15/15 (100 %) | 0/0 | 15/15 (100 %) | 0/0 | 15/15 (100 %) |
| <i>E. cloacae-komplekset</i> | 0/1 (0,0 %) | 51/51 (100 %) | 0/1 (0,0 %) | 51/51 (100 %) | 0/1 (0,0 %) | 51/51 (100 %) | 0/1 (0,0 %) | 51/51 (100 %) | 0/1 (0,0 %) | 51/51 (100 %) | 0/1 (0,0 %) | 51/51 (100 %) |
| <i>E. coli</i> | 0/2 (0,0 %) | 247/248 (99,6 %) | 1/2 (50,0 %) | 248/248 (100 %) | 0/2 (0,0 %) | 248/248 (100 %) | 0/2 (0,0 %) | 248/248 (100 %) | 0/2 (0,0 %) | 248/248 (100 %) | 1/2 (50,0 %) | 247/248 (99,6 %) |
| <i>K. oxytoca</i> | 0/0 | 40/40 (100 %) | 0/0 | 40/40 (100 %) | 0/0 | 40/40 (100 %) | 0/0 | 40/40 (100 %) | 0/0 | 40/40 (100 %) | 0/0 | 40/40 (100 %) |
| <i>K. pneumoniae-gruppen</i> | 0/8 (0,0 %) | 136/136 (100 %) | 5/8 (62,5 %) | 135/136 (99,3 %) | 0/8 (0,0 %) | 136/136 (100 %) | 0/8 (0,0 %) | 136/136 (100 %) | 0/8 (0,0 %) | 136/136 (100 %) | 5/8 (62,5 %) | 135/136 (99,3 %) |
| <i>M. morganii</i> | 0/0 | 10/10 (100 %) | 0/0 | 10/10 (100 %) | 0/0 | 10/10 (100 %) | 0/0 | 10/10 (100 %) | 0/0 | 10/10 (100 %) | 0/0 | 10/10 (100 %) |
| <i>Proteus</i> | 0/0 | 61/62 (98,4 %) | 0/0 | 62/62 (100 %) | 0/0 | 62/62 (100 %) | 0/0 | 62/62 (100 %) | 0/0 | 62/62 (100 %) | 0/0 | 61/62 (98,4 %) |
| <i>P. mirabilis</i> | 0/0 | 57/57 (100 %) | 0/0 | 57/57 (100 %) | 0/0 | 57/57 (100 %) | 0/0 | 57/57 (100 %) | 0/0 | 57/57 (100 %) | 0/0 | 57/57 (100 %) |
| <i>P. aeruginosa</i> | 0/5 (0,0 %) | 65/66 (98,5 %) | 0/5 (0,0 %) | 66/66 (100 %) | 0/5 (0,0 %) | 66/66 (100 %) | 0/5 (0,0 %) | 66/66 (100 %) | 0/5 (0,0 %) | 66/66 (100 %) | 0/5 (0,0 %) | 65/66 (98,5 %) |
| <i>Salmonella</i> | 0/0 | 8/8 (100 %) | 0/0 | 8/8 (100 %) | 0/0 | 8/8 (100 %) | 0/0 | 8/8 (100 %) | 0/0 | 8/8 (100 %) | 0/0 | 8/8 (100 %) |
| <i>Serratia</i> | 0/0 | 38/38 (100 %) | 0/0 | 38/38 (100 %) | 0/0 | 38/38 (100 %) | 0/0 | 38/38 (100 %) | 0/0 | 38/38 (100 %) | 0/0 | 38/38 (100 %) |
| <i>S. marcescens</i> | 0/0 | 37/37 (100 %) | 0/0 | 37/37 (100 %) | 0/0 | 37/37 (100 %) | 0/0 | 37/37 (100 %) | 0/0 | 37/37 (100 %) | 0/0 | 37/37 (100 %) |
| Alle organismer | 8/26 (30,8 %) | 796/799 (99,6 %) | 6/26 (23,1 %) | 799/800 (99,9 %) | 0/26 (0,0 %) | 799/799 (100 %) | 0/26 (0,0 %) | 799/799 (100 %) | 0/26 (0,0 %) | 799/799 (100 %) | 14/26 (53,8 %) | 796/800 (99,5 %) |
| KI | (16,5–50,0) | (98,9–99,9) | (11,0–42,1) | (99,3–100) | (0,0–12,9) | (99,5–100) | (0,0–12,9) | (99,5–100) | (0,0–12,9) | (99,5–100) | (35,5–71,2) | (98,7–99,8) |

KI = konfidensintervall

Samtidig deteksjon i kliniske prøver

cobas eplex BCID-GN-panelet identifiserte totalt 103 samtidige bakterielle deteksjoner i prospektive og retro-spektive prøver. Av de 349 prospektive prøvene hadde 320 (91,7 %) én deteksjon, 22 (6,2 %) hadde to deteksjoner og 7 (2,0 %) hadde tre deteksjoner. Av de 577 retrospektive prøvene hadde 503 (87,2 %) én deteksjon, 62 (10,7 %) hadde to deteksjoner og 12 (2,1 %) hadde tre deteksjoner. **Tabell 60–61** nedenfor viser oppsummeringer av samtidig deteksjon identifisert av **cobas eplex BCID-GN-panelet** i prospektive og retrospektive prøver.

Tabell 60: Samtidig deteksjon identifisert av cobas eplex BCID-GN-panelet (prospektive prøver)

| Særskilte kombinasjoner av samtidig deteksjon identifisert av cobas eplex BCID-GN-panelet i prospektive kliniske prøver | | | | Antall prøver (antall avvik) | Avvikende organisme(r) / resistensmarkør(er) ^{A,B} |
|---|-------------------------------|-------------------------------|------------------|---------------------------------|---|
| Mål 1 | Mål 2 | Mål 3 | Resistens-markør | | |
| <i>A. baumannii</i> | Pan-grampositive organismer | | | 2 (0) | |
| <i>Citrobacter</i> | <i>E. cloacae</i> -komplekset | <i>K. oxytoca</i> | | 2 (2) | <i>Citrobacter</i> (2), <i>E. cloacae</i> -komplekset (2) |
| <i>Citrobacter</i> | <i>K. oxytoca</i> | <i>K. pneumoniae</i> -gruppen | | 1 (1) | <i>Citrobacter</i> (1) |
| <i>Citrobacter</i> | <i>P. mirabilis</i> | Pan-grampositive organismer | | 1 (1) | Pan-grampositive organismer (1) |
| <i>E. cloacae</i> -komplekset | <i>E. coli</i> | <i>K. pneumoniae</i> -gruppen | | 1 (0) | |
| <i>E. cloacae</i> -komplekset | Pan- <i>Candida</i> | Pan-grampositive organismer | | 1 (0) | |
| <i>E. cloacae</i> -komplekset | Pan-grampositive organismer | | | 2 (0) | |
| <i>E. coli</i> | <i>K. oxytoca</i> | | | 2 (1) | <i>K. oxytoca</i> (1) |
| <i>E. coli</i> | <i>K. pneumoniae</i> -gruppen | | CTX-M | 1 (1) | <i>E. coli</i> (1) |
| <i>E. coli</i> | Pan-grampositive organismer | | | 2 (1) | Pan-grampositive organismer (1) |
| <i>Enterobacter</i> | <i>K. pneumoniae</i> -gruppen | | | 1 (1) | <i>Enterobacter</i> (1) |
| <i>K. oxytoca</i> | Pan-grampositive organismer | | | 1 (0) | |
| <i>K. oxytoca</i> | <i>S. marcescens</i> | | | 1 (0) | |
| <i>K. pneumoniae</i> -gruppen | <i>P. mirabilis</i> | | | 1 (0) | |
| <i>K. pneumoniae</i> -gruppen | Pan-grampositive organismer | | | 2 (0) | |
| <i>K. pneumoniae</i> -gruppen | Pan-grampositive organismer | | CTX-M, KPC | 1 (1) | Pan-grampositive organismer (1) |
| <i>M. morganii</i> | <i>P. mirabilis</i> | | | 1 (0) | |
| <i>P. aeruginosa</i> | <i>P. mirabilis</i> | Pan-grampositive organismer | | 1 (0) | |
| <i>P. aeruginosa</i> | Pan-grampositive organismer | | | 1 (0) | |
| <i>P. mirabilis</i> | Pan-grampositive organismer | | | 3 (2) | Pan-grampositive organismer (2) |
| <i>P. mirabilis</i> | Pan-grampositive organismer | | CTX-M | 1 (0) | |

- A. En avvikende organisme eller resistensmarkør er definert som en som ble detektert av BCID-GN-panelet, men ikke ved komparatormetoden(e).
- B. 12/13 falske positive organismer ble undersøkt med PCR/sekvensering, og den avvikende organismen ble detektert i 11/13 tilfeller og ble ikke detektert i 1 tilfelle. Én falsk positiv prøve med pan-grampositive organismer ble ikke testet.
- i. *Citrobacter* ble detektert i 3/3 falske positive prøver med *Citrobacter*.
 - ii. *E. cloacae*-komplekset ble detektert i 2/2 falske positive prøver med *E. cloacae*-komplekset.
 - iii. Én *Enterobacter*-art ble ikke detektert i 1 falsk positiv prøve med *Enterobacter* (ikke *cloacae*-komplekset).
 - iv. *E. coli* ble detektert i 1/1 falsk positiv prøve med *E. coli*.
 - v. *K. oxytoca* ble detektert i 1/1 falsk positiv prøve med *K. oxytoca*.
 - vi. En pan-grampositiv organisme ble detektert i 4/4 falske positive prøver med pan-grampositive organismer.

Tabell 61: Samtidig deteksjon identifisert av cobas eplex BCID-GN-panelet (retrospektive prøver)

| Særskilte kombinasjoner av samtidig deteksjon identifisert av cobas eplex BCID-GN-panelet i retrospektive kliniske prøver | | | | Antall prøver (antall avvik) | Avvikende organisme(r) / resistensmarkør(er) ^{A,B} |
|---|-------------------------------|-------------------------------|------------------|---------------------------------|---|
| Mål 1 | Mål 2 | Mål 3 | Resistens-markør | | |
| <i>A. baumannii</i> | <i>K. pneumoniae</i> -gruppen | Pan-grampositive organismer | CTX-M, OXA | 1 (1) | <i>A. baumannii</i> (1), <i>K. pneumoniae</i> -gruppen (1), pan-grampositive organismer (1) |
| <i>A. baumannii</i> | Pan-grampositive organismer | | | 2 (0) | |
| <i>A. baumannii</i> | Pan-grampositive organismer | | OXA | 4 (1) | Pan-grampositive organismer (1) |
| <i>B. fragilis</i> | <i>E. cloacae</i> -komplekset | Pan-grampositive organismer | | 1 (1) | <i>B. fragilis</i> (1) |
| <i>B. fragilis</i> | <i>E. coli</i> | | | 2 (1) | <i>B. fragilis</i> (1) |
| <i>B. fragilis</i> | Pan-grampositive organismer | | | 1 (0) | |
| <i>Citrobacter</i> | <i>E. cloacae</i> -komplekset | | | 1 (1) | <i>E. cloacae</i> -komplekset (1) |
| <i>Citrobacter</i> | <i>E. coli</i> | | | 1 (0) | |
| <i>Citrobacter</i> | <i>K. oxytoca</i> | | | 1 (1) | <i>Citrobacter</i> (1) |
| <i>Citrobacter</i> | <i>K. oxytoca</i> | <i>K. pneumoniae</i> -gruppen | | 1 (1) | <i>K. oxytoca</i> (1) |
| <i>Citrobacter</i> | <i>K. pneumoniae</i> -gruppen | | | 1 (0) | |
| <i>Citrobacter</i> | <i>K. pneumoniae</i> -gruppen | Pan-grampositive organismer | CTX-M | 1 (0) | |
| <i>Citrobacter</i> | <i>M. morganii</i> | Pan-grampositive organismer | | 1 (1) | <i>M. morganii</i> (1) |
| <i>Citrobacter</i> | Pan-grampositive organismer | | | 3 (2) | Pan-grampositive organismer (2) |
| <i>E. cloacae</i> -komplekset | <i>K. pneumoniae</i> -gruppen | | | 1 (0) | |
| <i>E. cloacae</i> -komplekset | <i>P. aeruginosa</i> | Pan-grampositive organismer | | 1 (1) | <i>P. aeruginosa</i> (1) |
| <i>E. cloacae</i> -komplekset | Pan- <i>Candida</i> | | | 1 (1) | Pan <i>Candida</i> (1) |
| <i>E. cloacae</i> -komplekset | Pan-grampositive organismer | | | 2 (1) | Pan-grampositive organismer (1) |
| <i>E. coli</i> | <i>K. oxytoca</i> | | | 1 (0) | |
| <i>E. coli</i> | <i>K. oxytoca</i> | Pan-grampositive organismer | | 1 (0) | |
| <i>E. coli</i> | <i>K. pneumoniae</i> -gruppen | | | 2 (0) | |
| <i>E. coli</i> | <i>M. morganii</i> | | | 1 (0) | |
| <i>E. coli</i> | <i>P. mirabilis</i> | | | 3 (0) | |
| <i>E. coli</i> | <i>P. mirabilis</i> | Pan-grampositive organismer | | 1 (0) | |
| <i>E. coli</i> | Pan-grampositive organismer | | | 8 (2) | Pan-grampositive organismer (2) |
| <i>E. coli</i> | Pan-grampositive organismer | | CTX-M | 1 (0) | |
| <i>Enterobacter</i> | Pan- <i>Candida</i> | | | 1 (0) | |

cobas eplex BCID gram-negative panel (panel for identifikasjon av gramnegative organismer)

| Særskilte kombinasjoner av samtidig deteksjon identifisert av cobas eplex BCID-GN-panelet i retrospektive kliniske prøver | | | | Antall prøver (antall avvik) | Avvikende organisme(r) / resistensmarkør(er) ^{A,B} |
|---|------------------------------------|--------------------------------|----------------------|---------------------------------|---|
| Mål 1 | Mål 2 | Mål 3 | Resistens- markør | | |
| <i>Enterobacter</i> | Pan-grampositive organismér | | | 1 (0) | |
| <i>H. influenzae</i> | <i>N. meningitidis</i> | <i>P. aeruginosa</i> | | 1 (1) | <i>N. meningitidis</i> (1), <i>P. aeruginosa</i> (1) |
| <i>K. oxytoca</i> | <i>K. pneumoniae-</i> - gruppen | | | 2 (1) | <i>K. pneumoniae-</i> - gruppen (1) |
| <i>K. oxytoca</i> | Pan-grampositive organismér | | | 3 (2) | Pan-grampositive organismér (2) |
| <i>K. oxytoca</i> | <i>S. marcescens</i> | | | 1 (1) | <i>S. marcescens</i> (1) |
| <i>K. pneumoniae-</i> - gruppen | Pan-grampositive organismér | | | 4 (1) | Pan-grampositive organismér (1) |
| <i>K. pneumoniae-</i> - gruppen | Pan-grampositive organismér | <i>S. marcescens</i> | | 1 (1) | <i>K. pneumoniae-</i> - gruppen (1) |
| <i>K. pneumoniae-</i> - gruppen | <i>S. maltophilia</i> | | | 1 (0) | |
| <i>M. morganii</i> | <i>P. aeruginosa</i> | Pan-grampositive organismér | | 1 (1) | <i>P. aeruginosa</i> (1) |
| <i>M. morganii</i> | <i>P. mirabilis</i> | | | 1 (0) | |
| <i>M. morganii</i> | Pan-grampositive organismér | <i>Proteus</i> | | 1 (0) | |
| <i>P. aeruginosa</i> | Pan-grampositive organismér | | | 1 (0) | |
| <i>P. mirabilis</i> | Pan-grampositive organismér | | | 5 (0) | |
| Pan- <i>Candida</i> | Pan-grampositive organismér | | | 2 (0) | |
| Pan-grampositive organismér | <i>S. maltophilia</i> | | | 1 (0) | |
| Pan-grampositive organismér | <i>S. marcescens</i> | | | 3 (0) | |

- A. En avvikende organisme eller resistensmarkør er definert som en som ble detektert av BCID-GN-panelet, men ikke ved komparatormetoden(e).
- B. 24/26 falske positive organismer ble undersøkt ved PCR/sekvensering. Den avvikende organismen ble detektert i 21/24, ble ikke detektert i 2, og var ubestemt for én organisme.
 - i. *A. baumannii* ble detektert i 1/1 falsk positiv prøve med *A. baumannii*.
 - ii. *B. fragilis* ble detektert i 2/2 falske positive prøver med *B. fragilis*.
 - iii. *Citrobacter* ble detektert i 1/1 falsk positiv prøve med *Citrobacter*.
 - iv. PCR/sekvensering ga ubestemt resultat i 1 falsk positiv prøve med *E. cloacae*-komplekset.
 - v. *K. oxytoca* ble detektert i 1/1 falsk positiv prøve med *K. oxytoca*.
 - vi. *K. pneumoniae*-gruppen ble detektert i 3/3 falske positive prøver med *K. pneumoniae*-gruppen.
 - vii. *M. morganii* ble detektert i 1/1 falsk positiv prøve.
 - viii. *N. meningitidis* ble ikke detektert i 1 falsk positiv prøve med *N. meningitidis*.
 - ix. *P. aeruginosa* ble detektert i 2/3 falske positive prøver med *P. aeruginosa*. *P. aeruginosa* ble ikke detektert i den gjenværende prøven.
 - x. Pan-*Candida* ble detektert i 1/1 falsk positiv prøve med Pan-*Candida*.
 - xi. En pan-grampositiv organisme ble detektert i 8/8 falske positive prøver med pan-grampositive organismer.
 - xii. *S. marcescens* ble detektert i 1/1 falsk positiv prøve med *S. marcescens*.

cobas eplex BCID gram-negative panel (panel for identifikasjon av gramnegative organismer)

Tabel 62–63 nedenfor viser en oppsummering av samtidig deteksjon som ble identifisert ved komparatormetoder i prospektive og retrospektive prøver, som avviker fra samtidig deteksjon som presentert i de tidligere tabellene, som ble identifisert av **cobas eplex BCID-GN-panelet**. Følgende tilfeller av samtidig deteksjon omfatter organismer som ikke var mål i **cobas eplex BCID-GN-panelet** (dvs. organismer utenfor panelet, som merket med stjerne), organismer som avvek fra **cobas eplex BCID-GN-panelet**, og/eller organismer med mer detaljert identifikasjon enn **cobas eplex BCID-GN-panelet** kunne gi (**cobas eplex BCID-GN-panelet** detekterte f.eks. en pan-grampositiv organisme, og komparatormetodene identifiserte *Staphylococcus epidermidis*).

Tabell 62: Samtidig deteksjon identifisert ved komparatormetode(r) (prospektive prøver)

| Særskilte kombinasjoner av samtidig deteksjon identifisert ved komparatormetode(r) i prospektive kliniske prøver | | | | | Antall prøver (antall avvik) | Avvikende organisme(r) / resistens- markør(er) ^A |
|--|-------------------------------|----------------------------------|---------------------------------|----------------------|---------------------------------|--|
| Organisme 1 | Organisme 2 | Organisme 3 | Organisme 4 | Resistens- markør | | |
| <i>A. baumannii</i> | <i>E. faecium</i> | <i>Staphylococcus</i> | | | 1 (0) | |
| <i>A. baumannii</i> | <i>Staphylococcus</i> | | | | 1 (0) | |
| <i>Achromobacter xylosoxidans*</i> | <i>E. cloacae</i> | | | | 1 (0) | |
| <i>Acinetobacter lwoffii*</i> | <i>Staphylococcus hominis</i> | | | | 1 (0) | |
| <i>Acinetobacter pittii*</i> | <i>S. aureus</i> | | | | 1 (0) | |
| <i>Aerococcus viridans*</i> | <i>K. oxytoca</i> | <i>S. epidermidis</i> | <i>Staphylococcus cohnii</i> | | 1 (0) | |
| <i>Aerococcus viridans*</i> | <i>Staphylococcus hominis</i> | | | | 1 (0) | |
| <i>B. fragilis</i> | <i>Clostridium-art*</i> | | | | 1 (0) | |
| <i>Bacillus</i> | <i>E. cloacae</i> | | | | 1 (0) | |
| <i>C. acnes*</i> | <i>E. coli</i> | | | | 1 (0) | |
| <i>C. albicans</i> | <i>E. cloacae</i> | <i>E. faecalis</i> | | | 1 (0) | |
| <i>C. freundii</i> | <i>P. mirabilis</i> | <i>Providencia stuartii*</i> | | | 1 (0) | |
| <i>Candida lusitaniae*</i> | <i>S. liquefaciens</i> | | | | 1 (0) | |
| <i>Citrobacter amalonaticus*</i> | <i>E. coli</i> | | | | 1 (0) | |
| <i>E. aerogenes</i> | <i>K. oxytoca</i> | <i>Leclercia adecarboxylata*</i> | | | 2 (2) | <i>E. aerogenes</i> (2) |
| <i>E. aerogenes</i> | <i>P. aeruginosa</i> | | | | 1 (1) | <i>P. aeruginosa</i> (1) |
| <i>E. cloacae</i> | <i>E. coli</i> | <i>K. pneumoniae</i> | | | 1 (0) | |
| <i>E. cloacae</i> | <i>S. aureus</i> | | | | 1 (0) | |
| <i>E. coli</i> | <i>E. faecalis</i> | | | | 1 (0) | |
| <i>E. coli</i> | <i>K. pneumoniae</i> | | | | 1 (1) | <i>E. coli</i> (1) |
| <i>E. coli</i> | <i>P. mirabilis</i> | <i>Providencia stuartii*</i> | <i>S. anginosus-</i> gruppen | CTX-M | 1 (1) | <i>E. coli</i> (1) |
| <i>E. faecalis</i> | <i>K. pneumoniae</i> | | | | 3 (1) | <i>E. faecalis</i> (1) |
| <i>E. faecalis</i> | <i>M. morganii</i> | <i>P. mirabilis</i> | | | 1 (1) | <i>E. faecalis</i> (1) |
| <i>E. faecalis</i> | <i>Providencia stuartii*</i> | | | | 1 (0) | |
| <i>Enterobacteriaceae*</i> | <i>K. pneumoniae</i> | | | | 1 (0) | |

| Særskilte kombinasjoner av samtidig deteksjon identifisert ved komparatormetode(r) i prospektive kliniske prøver | | | | | Antall prøver (antall avvik) | Avvikende organisme(r) / resistens- markør(er) ^A |
|--|------------------------------------|--|-------------|----------------------|---------------------------------|--|
| Organisme 1 | Organisme 2 | Organisme 3 | Organisme 4 | Resistens- markør | | |
| <i>K. pneumoniae</i> | <i>Staphylococcus haemolyticus</i> | Nonfermentative gramnegative basiller* | | | 1 (1) | <i>K. pneumoniae</i> (1) |
| <i>Lactococcus lactis</i> * | <i>P. mirabilis</i> | | | | 1 (0) | |
| <i>Micrococcus luteus</i> * | <i>Sphingomonas paucimobilis</i> * | | | | 1 (0) | |
| <i>P. aeruginosa</i> | <i>P. mirabilis</i> | <i>Streptococcus viridans</i> -gruppen | | | 1 (0) | |
| <i>P. aeruginosa</i> | <i>S. maltophilia</i> | | | | 1 (1) | <i>S. maltophilia</i> (1) |
| <i>P. aeruginosa</i> | <i>Staphylococcus haemolyticus</i> | | | | 1 (0) | |
| <i>P. mirabilis</i> | <i>Staphylococcus</i> | | | | 1 (0) | |
| <i>S. maltophilia</i> | <i>Streptococcus</i> | | | | 1 (1) | <i>Streptococcus</i> (1) |

* Viser organisme utenfor panelet som ikke er mål i BCID-GN-panelet.

A. En avvikende organisme eller resistensmarkør er definert som en som ble detektert ved komparatormetoden(e), men ikke av BCID-GN-panelet (omfatter ikke organismer som ikke er mål i BCID-GN-panelet).

Tabell 63: Samtidig deteksjon identifisert ved komparatormetode(r) (retrospektive prøver)

| Særskilte organismekombinasjoner detektert ved komparatormetode(r) i retrospektive kliniske prøver | | | | | Antall prøver (antall avvik) | Avvikende organisme(r) / resistens- markør(er) ^A |
|--|------------------------------|-----------------------------------|-------------------|----------------------|---------------------------------|--|
| Organisme 1 | Organisme 2 | Organisme 3 | Organisme 4 | Resistens- markør | | |
| <i>A. baumannii</i> | <i>E. faecalis</i> | | | OXA | 2 (0) | |
| <i>A. baumannii</i> | <i>E. faecalis</i> | <i>S. aureus</i> | | | 1 (0) | |
| <i>A. baumannii</i> | <i>E. faecium</i> | | | OXA | 1 (0) | |
| <i>A. baumannii</i> | <i>Staphylococcus</i> | | | | 1 (0) | |
| <i>Acinetobacter radioresistens</i> * | <i>P. vulgaris</i> | | | OXA | 1 (0) | |
| <i>Aeromonas caviae</i> * | <i>E. coli</i> | <i>Enterococcus casseliflavus</i> | <i>K. oxytoca</i> | | 1 (1) | <i>E. casseliflavus</i> (1) |
| <i>Aeromonas veronii</i> * | <i>E. cloacae</i> | | | | 1 (1) | <i>E. cloacae</i> (1) |
| <i>B. fragilis</i> | <i>S. anginosus</i> -gruppen | | | | 1 (0) | |
| <i>C. albicans</i> | <i>E. faecalis</i> | | | | 1 (0) | |
| <i>C. albicans</i> | <i>E. faecium</i> | <i>Staphylococcus hominis</i> | | | 1 (1) | <i>C. albicans</i> (1) |
| <i>C. albicans</i> | <i>P. aeruginosa</i> | | | | 1 (1) | <i>C. albicans</i> (1) |
| <i>C. albicans</i> | <i>S. epidermidis</i> | | | | 1 (0) | |
| <i>C. braakii</i> | <i>E. cloacae</i> | <i>K. oxytoca</i> | | | 1 (1) | <i>C. braakii</i> (1), <i>K. oxytoca</i> (1) |
| <i>C. braakii</i> | <i>E. coli</i> | | | | 1 (0) | |
| <i>C. braakii</i> | <i>Streptococcus oralis</i> | | | | 1 (0) | |
| <i>C. freundii</i> | <i>Enterococcus</i> | | | | 1 (1) | <i>Enterococcus</i> (1) |
| <i>C. freundii</i> | <i>K. pneumoniae</i> | | | | 2 (0) | |
| <i>C. freundii</i> | <i>K. pneumoniae</i> | <i>Staphylococcus hominis</i> | | CTX-M | 1 (0) | |

| Særskilte organismekombinasjoner detektert ved komparatormetode(r) i retrospektive kliniske prøver | | | | | Antall prøver (antall avvik) | Avvikende organisme(r) / resistens- markør(er) ^A |
|--|---------------------------------|----------------------------------|---|----------------------|---------------------------------|--|
| Organisme 1 | Organisme 2 | Organisme 3 | Organisme 4 | Resistens- markør | | |
| <i>C. glabrata</i> | <i>E. aerogenes</i> | <i>Staphylococcus</i> | | | 1 (1) | <i>Staphylococcus</i> (1) |
| <i>C. glabrata</i> | <i>P. mirabilis</i> | | | | 1 (1) | <i>C. glabrata</i> (1) |
| <i>C. koseri</i> | <i>E. faecalis</i> | | | | 1 (0) | |
| <i>C. krusei</i> | <i>S. epidermidis</i> | | | | 1 (1) | <i>S. epidermidis</i> (1) |
| <i>C. youngae</i> | <i>K. oxytoca</i> | | | | 1 (1) | <i>K. oxytoca</i> (1) |
| <i>Clostridium perfringens*</i> | <i>E. coli</i> | | | | 1 (0) | |
| <i>E. aerogenes</i> | <i>S. anginosus-</i> gruppen | | | | 1 (0) | |
| <i>E. cloacae</i> | <i>E. coli</i> | | | | 1 (1) | <i>E. coli</i> (1) |
| <i>E. cloacae</i> | <i>E. faecalis</i> | | | | 1 (1) | <i>E. faecalis</i> (1) |
| <i>E. cloacae</i> | <i>E. faecium</i> | | | | 1 (0) | |
| <i>E. cloacae</i> | <i>E. faecium</i> | <i>Staphylococcus hominis</i> | | | 1 (0) | |
| <i>E. cloacae</i> | <i>K. pneumoniae</i> | | | | 1 (0) | |
| <i>E. cloacae</i> | <i>M. morganii</i> | | | | 1 (1) | <i>E. cloacae</i> (1) |
| <i>E. cloacae</i> | <i>S. anginosus-</i> gruppen | | | | 1 (0) | |
| <i>E. cloacae</i> | <i>S. maltophilia</i> | | | | 1 (1) | <i>S. maltophilia</i> (1) |
| <i>E. coli</i> | <i>E. faecalis</i> | | | | 2 (0) | |
| <i>E. coli</i> | <i>E. faecalis</i> | | CTX-M | | 1 (0) | |
| <i>E. coli</i> | <i>E. faecalis</i> | <i>K. pneumoniae</i> | | | 1 (1) | <i>E. coli</i> (1) |
| <i>E. coli</i> | <i>E. faecalis</i> | <i>P. mirabilis</i> | | | 1 (0) | |
| <i>E. coli</i> | <i>E. faecium</i> | | | | 1 (0) | |
| <i>E. coli</i> | <i>E. faecium</i> | | CTX-M | | 1 (1) | <i>E. faecium</i> (1) |
| <i>E. coli</i> | <i>K. oxytoca</i> | <i>Streptococcus infantarius</i> | | | 1 (0) | |
| <i>E. coli</i> | <i>P. aeruginosa</i> | | | | 1 (1) | <i>P. aeruginosa</i> (1) |
| <i>E. coli</i> | <i>P. mirabilis</i> | | | | 1 (1) | <i>E. coli</i> (1) |
| <i>E. coli</i> | <i>P. mirabilis</i> | <i>P. vulgaris</i> | <i>Streptococcus viridans-</i> gruppen | | 1 (1) | <i>S. viridans-</i> gruppen (1) |
| <i>E. coli</i> | <i>Propionibacteria*</i> | | | | 1 (0) | |
| <i>E. coli</i> | <i>S. anginosus-</i> gruppen | | | | 1 (1) | <i>S. anginosus-</i> gruppen (1) |
| <i>E. coli</i> | <i>S. aureus</i> | | | | 1 (0) | |
| <i>E. coli</i> | <i>S. pneumoniae</i> | | | | 1 (0) | |
| <i>E. coli</i> | <i>Staphylococcus</i> | | | | 1 (0) | |
| <i>E. faecalis</i> | <i>K. pneumoniae</i> | | | | 1 (1) | <i>K. pneumoniae</i> (1) |
| <i>E. faecalis</i> | <i>M. morganii</i> | | | | 1 (0) | |
| <i>E. faecalis</i> | <i>M. morganii</i> | <i>P. vulgaris</i> | | | 1 (0) | |
| <i>E. faecalis</i> | <i>P. aeruginosa</i> | <i>S. aureus</i> | | | 1 (1) | <i>P. aeruginosa</i> (1) |
| <i>E. faecalis</i> | <i>P. mirabilis</i> | | | | 3 (0) | |
| <i>E. faecalis</i> | <i>S. maltophilia</i> | | | | 1 (1) | <i>E. faecalis</i> (1) |
| <i>E. faecalis</i> | <i>S. marcescens</i> | | | | 1 (0) | |

| Særskilte organismekombinasjoner detektert ved komparatormetode(r) i retrospektive kliniske prøver | | | | | Antall prøver (antall avvik) | Avvikende organisme(r) / resistens- markør(er) ^A |
|--|--|---|-------------|----------------------|---------------------------------|--|
| Organisme 1 | Organisme 2 | Organisme 3 | Organisme 4 | Resistens- markør | | |
| <i>E. faecium</i> | <i>K. pneumoniae</i> | | | | 1 (0) | |
| <i>E. faecium</i> | <i>P. aeruginosa</i> | | | | 1 (0) | |
| <i>E. faecium</i> | <i>P. mirabilis</i> | | | | 1 (0) | |
| <i>K. oxytoca</i> | <i>S. anginosus-</i> gruppen | | | | 1 (0) | |
| <i>K. pneumoniae</i> | <i>P. aeruginosa</i> | | | | 1 (1) | <i>P. aeruginosa</i> (1) |
| <i>K. pneumoniae</i> | <i>S. aureus</i> | | | | 2 (1) | <i>S. aureus</i> (1) |
| <i>K. pneumoniae</i> | <i>Staphylococcus</i> | | | | 1 (1) | <i>Staphylococcus</i> (1) |
| <i>P. aeruginosa</i> | <i>S. maltophilia</i> | | | | 1 (1) | <i>S. maltophilia</i> (1) |
| <i>P. mirabilis</i> | <i>Peptostreptococcus</i> <i>anaerobius</i> * | | | | 1 (0) | |
| <i>P. mirabilis</i> | <i>Providencia</i> <i>stuartii</i> * | | | | 2 (1) | <i>P. mirabilis</i> (1) |
| <i>P. mirabilis</i> | <i>Staphylococcus</i> | | | | 1 (0) | |
| <i>Pseudomonas putida</i> * | <i>S. epidermidis</i> | <i>S. maltophilia</i> | | | 1 (0) | |
| <i>S. aureus</i> | <i>S. marcescens</i> | | | | 1 (0) | |
| <i>S. marcescens</i> | <i>Staphylococcus</i> | | | | 1 (0) | |
| <i>S. marcescens</i> | <i>Streptococcus</i> <i>mitis</i> -gruppen | <i>Streptococcus</i> <i>salivarius</i> | | | 1 (0) | |

* Viser organisme utenfor panelet som ikke er mål i BCID-GN-panelet.

A. En avvikende organisme eller resistensmarkør er definert som en som ble detektert ved komparatormetoden(e), men ikke av BCID-GN-panelet (omfatter ikke organismer som ikke er mål i BCID-GN-panelet).

cobas eplex-instrumentets ytelse i kliniske studier

Totalt 2460 prøver (herunder prospektive, retrospektive og simulerte prøver) ble først testet i de kliniske evalueringene. Av disse var det 23/2460 (0,9 %) tilfeller der kjøringen ikke ble fullført, og prøven ble testet på nytt. Etter gjentatt testing ble alle 2460 prøver fullført, og 2334/2460 (94,9 %, 95 % KI: 93,9–95,7 %) ga gyldige resultater og 126/2460 (5,1 %, 95 % KI: 4,3–6,1 %) ga ugyldige resultater på første fullførte forsøk.

Ved gjentatt testing av de 126 prøvene som først ga ugyldige resultater, ble kjøringen ikke fullført for 1/126 (0,8 %) prøver, og prøven ble testet på nytt. Ved gjentatt testing ble alle 126 prøver fullført, og 114/126 (90,5 %) ga gyldige resultater. Totalt, etter slutttesting, var det 12/2460 (0,5 %, 95 % KI: 0,3–0,9 %) som ga ugyldige sluttresultater, slik at den endelige validitetsraten ble 2448/2460 (99,5 %, 95 % KI: 99,1–99,7 %).

ANALYTISKE YTELSESEGENSKAPER

Deteksjonsgrense (LOD)

Deteksjonsgrensen (LOD), eller analytisk sensitivitet, ble identifisert og verifisert for hvert mål i BCID-GN-panelet ved bruk av kvantifiserte referansestammer i simulert prøvematriks for blodkultur, definert som fullblod som er tilsatt EDTA i en blodkulturfleske i produsentens anbefalte mengdeforhold, og inkubert i 8 timer. Minst 20 replikater per mål ble testet for hver tilstand. Deteksjonsgrensen ble definert som den laveste koncentrasjonen av hvert mål som ble detektert i $\geq 95\%$ av testede replikater. Bekreftet LOD for hver organisme i cobas eplex BCID-GN-panelet er vist i **tabell 64**.

Tabell 64: Oppsummering av LOD-resultater (deteksjonsgrense)

| Mål | Organisme | Stamme | LOD-konsentrasjon (cfu/ml) |
|---|----------------------------------|-----------------|----------------------------|
| <i>Acinetobacter baumannii</i> | <i>Acinetobacter baumannii</i> | NCTC 13421 | 1×10^6 |
| | <i>Acinetobacter baumannii</i> | NCTC 13304 | 1×10^6 |
| <i>Bacteroides fragilis</i> | <i>Bacteroides fragilis</i> | ATCC 25285 | 1×10^5 |
| | <i>Bacteroides fragilis</i> | ATCC 43860 | 1×10^4 |
| <i>Citrobacter</i> | <i>Citrobacter freundii</i> | NCTC 9750 | 1×10^6 |
| | <i>Citrobacter koseri</i> | ATCC 27156 | 1×10^6 |
| <i>Cronobacter sakazakii</i> | <i>Cronobacter sakazakii</i> | ATCC 29544 | 1×10^5 |
| | <i>Cronobacter sakazakii</i> | ATCC 29004 | 1×10^6 |
| <i>Enterobacter</i> (ikke cloacae-komplekset) | <i>Enterobacter aerogenes</i> | CDC nr. 0074 | 1×10^6 |
| | <i>Enterobacter aerogenes</i> | CDC nr. 0161 | 1×10^5 |
| | <i>Enterobacter amnigenus</i> | ATCC 33072 | 1×10^6 |
| <i>Enterobacter</i> cloacae-komplekset | <i>Enterobacter cloacae</i> | CDC nr. 0154 | 1×10^6 |
| | <i>Enterobacter asburiae</i> | ATCC 35957 | 1×10^6 |
| | <i>Enterobacter hormaechei</i> | ATCC BAA-2082 | 1×10^6 |
| <i>Escherichia coli</i> | <i>Escherichia coli</i> | CDC nr. 0118 | 1×10^7 |
| | <i>Escherichia coli</i> | NCTC 13441 | 1×10^6 |
| | <i>Escherichia coli</i> | JHU01-D80401147 | 1×10^7 |
| <i>Fusobacterium necrophorum</i> | <i>Fusobacterium necrophorum</i> | ATCC 51357 | 1×10^8 |
| | <i>Fusobacterium necrophorum</i> | ATCC 27852 | 1×10^7 |
| <i>Fusobacterium nucleatum</i> | <i>Fusobacterium nucleatum</i> | ATCC 25586 | 1×10^7 |
| | <i>Fusobacterium nucleatum</i> | ATCC 23726 | 1×10^5 |
| <i>Haemophilus influenzae</i> | <i>Haemophilus influenzae</i> | ATCC 19418 | 1×10^5 |
| | <i>Haemophilus influenzae</i> | ATCC 9006 | 1×10^7 |
| <i>Klebsiella oxytoca</i> | <i>Klebsiella oxytoca</i> | ATCC 43165 | 1×10^7 |
| | <i>Klebsiella oxytoca</i> | ATCC 8724 | 1×10^7 |
| <i>Klebsiella pneumoniae</i> -gruppen | <i>Klebsiella pneumoniae</i> | CDC nr. 0160 | 1×10^6 |
| | <i>Klebsiella pneumoniae</i> | CDC nr. 0107 | 1×10^6 |
| <i>Morganella morganii</i> | <i>Morganella morganii</i> | ATCC 25829 | 1×10^7 |
| | <i>Morganella morganii</i> | CDC nr. 0133 | 1×10^7 |
| <i>Neisseria meningitidis</i> | <i>Neisseria meningitidis</i> | ATCC 13090 | 1×10^5 |
| | <i>Neisseria meningitidis</i> | ATCC 13102 | 1×10^4 |
| | <i>Neisseria meningitidis</i> | NCTC10026 | 1×10^4 |
| <i>Proteus</i> | <i>Proteus vulgaris</i> | ATCC 6896 | 1×10^7 |
| | <i>Proteus vulgaris</i> | ATCC 6380 | 1×10^7 |
| <i>Proteus mirabilis</i> | <i>Proteus mirabilis</i> | CDC nr. 0159 | 1×10^6 |
| | <i>Proteus mirabilis</i> | ATCC 43071 | 1×10^6 |
| <i>Pseudomonas aeruginosa</i> | <i>Pseudomonas aeruginosa</i> | CDC nr. 0103 | 1×10^6 |
| | <i>Pseudomonas aeruginosa</i> | NCTC 13437 | 1×10^6 |
| | <i>Pseudomonas aeruginosa</i> | SDx071 | 1×10^5 |

| Mål | Organisme | Stamme | LOD-konsentrasjon (cfu/ml) |
|-------------------------------------|---|---------------|----------------------------|
| <i>Salmonella</i> | <i>Salmonella bongori</i> | ATCC 43975 | 1×10^5 |
| | <i>Salmonella enterica</i> | ATCC 6962 | 1×10^5 |
| <i>Serratia</i> | <i>Serratia liquefaciens</i> | ATCC 27592 | 1×10^6 |
| | <i>Serratia plymuthica</i> | ATCC 53858 | 1×10^7 |
| <i>Serratia marcescens</i> | <i>Serratia marcescens</i> | ATCC 14041 | 1×10^7 |
| | <i>Serratia marcescens</i> | ATCC 14756 | 1×10^5 |
| <i>Stenotrophomonas maltophilia</i> | <i>Stenotrophomonas maltophilia</i> | ATCC 13637 | 1×10^6 |
| | <i>Stenotrophomonas maltophilia</i> | ATCC 17666 | 1×10^7 |
| Pan-Candida | <i>Candida albicans</i> | ATCC 10231 | 1×10^6 |
| | <i>Candida glabrata</i> | ATCC 15126 | 1×10^5 |
| Pan-grampositive organismer | <i>Enterococcus faecalis</i> | ATCC 51575 | 1×10^5 |
| | <i>Enterococcus faecium</i> | ATCC 31282 | 1×10^7 |
| | <i>Bacillus subtilis</i> | ATCC 21008 | 1×10^6 |
| | <i>Staphylococcus aureus</i> | ATCC BAA-2313 | 1×10^5 |
| | <i>Streptococcus agalactiae</i> | ATCC 13813 | 1×10^6 |
| | <i>Streptococcus anginosus</i> | ATCC 33397 | 1×10^6 |
| CTX-M | <i>Escherichia coli</i> (CTX-M-15) | NCTC 13441 | 1×10^4 |
| | <i>Klebsiella pneumoniae</i> (CTX-M-2) | CDC nr. 0107 | 1×10^5 |
| IMP | <i>Enterobacter aerogenes</i> (IMP-4) | CDC nr. 0161 | 1×10^6 |
| | <i>Pseudomonas aeruginosa</i> (IMP-1) | CDC nr. 0103 | 1×10^5 |
| KPC | <i>Enterobacter hormaechei</i> (ukjent KPC-variant) | ATCC BAA-2082 | 1×10^6 |
| | <i>Morganella morganii</i> (KPC-2) | CDC nr. 0133 | 1×10^6 |
| NDM | <i>Escherichia coli</i> (NDM-1) | CDC nr. 0118 | 1×10^5 |
| | <i>Proteus mirabilis</i> (NDM-1) | CDC nr. 0159 | 1×10^5 |
| OXA | <i>Acinetobacter baumannii</i> (OXA-23) | NCTC 13421 | 1×10^5 |
| | <i>Acinetobacter baumannii</i> (OXA-27) | NCTC 13304 | 1×10^5 |
| | <i>Enterobacter aerogenes</i> (OXA-48) | CDC nr. 0074 | 1×10^6 |
| | <i>Klebsiella pneumoniae</i> (OXA-48) | CDC nr. 0160 | 1×10^6 |
| VIM | <i>Enterobacter cloacae</i> (VIM-1) | CDC nr. 0154 | 1×10^6 |
| | <i>Pseudomonas aeruginosa</i> (VIM-10) | NCTC 13437 | 1×10^5 |

Analytisk reaktivitet (inklusivitet)

Et panel bestående av 336 stammer/isolater, som representerer det genetiske, tidsmessige og geografiske mangfoldet til hvert mål i **cobas eplex** BCID-GN-panelet, ble evaluert for å påvise analytisk reaktivitet. Bakterier ble testet ved 1×10^9 cfu/ml eller mindre, og soppstammer ble testet ved 1×10^6 cfu/ml. I tilfeller der den første testkonsentrasjonen ikke ga resultatet «Detected» (detektert), ble konsentrasjonen økt til punktet der deteksjon ble observert (se konsentrasjon for disse stammene i fotnotene). Organismer og aktuelle resistensmarkører som ble detektert av **cobas eplex** BCID-GN-panelet, er vist i **tabell 65**. Tilleggsstammer ble detektert som en del av studien **Deteksjonsgrense (analytisk sensitivitet)** og finnes i **tabell 64**. Følgende *Citrobacter*-stammer ble testet, men ikke detektert: *C. amalonaticus*, *C. farmeri*, *C. gillenii*, *C. murliniae* og *C. sedlakii*. *Serratia odorifera* og

Staphylococcus simulans ble ikke detektert i konsentrasjoner på 1×10^8 cfu/ml, og bare ett av tre replikater ble detektert ved konsentrasjoner på 1×10^9 cfu/ml.

Tabell 65: Analytisk reaktivitet (inklusivitet)

| Organisme | Stamme | Organisme | Stamme |
|--|-------------------------|---|---------------------------|
| <i>Acinetobacter baumannii</i> | | | |
| | CDC nr. 0052 | <i>Enterobacter hormaechei</i> | ATCC 700323 |
| | NCTC 13302 | <i>Enterobacter hormaechei</i> underart <i>hormaechei</i> | ATCC 49162 |
| | NCTC 13303 | <i>Enterobacter hormaechei</i> underart <i>oharae</i> | ATCC 49163 |
| | NCTC 13305 | <i>Enterobacter hormaechei</i> underart <i>steigerwaltii</i> | CIP108489T |
| | NCTC 13420 | <i>Enterobacter ludwigii</i> | DSM-16688 |
| | NCTC 13422 | <i>Escherichia coli</i> | |
| | NCTC 13423 | | |
| <i>Acinetobacter baumannii</i> (NDM-1) | CDC nr. 0033 | | ATCC 14948 |
| | ATCC BAA-1605 | | ATCC 25922 |
| | CDC nr. 0045 | | ATCC 33605 |
| <i>Acinetobacter baumannii</i> (OXA-23) | CDC nr. 0056 | | ATCC 33876 |
| | NCTC 13301 | | ATCC 35150 |
| | NCTC 13424 | | ATCC 4157 |
| <i>Acinetobacter</i> -underart (bare IMP) | JMI4084 ^A | | ATCC 43888 |
| <i>Bacteroides fragilis</i> | | | |
| | ATCC 23745 | | ATCC 51446 |
| <i>Bacteroides fragilis</i> | ATCC 700786 | | ATCC 51755 |
| | NCTC 9343 | | ATCC 53498 |
| <i>Citrobacter</i> | | | |
| <i>Citrobacter braakii</i> | ATCC 43162 | | ATCC 700728 |
| | ATCC 51113 | | NCIMB 8545 |
| <i>Citrobacter freundii</i> | ATCC 6879 | | NCTC 8620 |
| | ATCC 8090 | | ATCC 9637 |
| <i>Citrobacter freundii</i> (CTX) | JMI2047 | | ATCC BAA-196 |
| <i>Citrobacter freundii</i> (KPC-2) | CDC nr. 0116 | | ATCC BAA-197 |
| | ATCC 25409 | | ATCC BAA-198 |
| | ATCC 27028 | | ATCC BAA-199 |
| <i>Citrobacter koseri</i> | ATCC 29225 | | ATCC BAA-200 |
| | ATCC 29936 | | ATCC BAA-201 |
| <i>Citrobacter</i> -art (CTX-15, NDM-1) | CDC nr. 0157 | | ATCC BAA-202 |
| <i>Citrobacter werkmanii</i> | ATCC 51114 | | ATCC BAA-203 |
| <i>Citrobacter youngae</i> | ATCC 29935 | | ATCC BAA-204 |
| <i>Cronobacter sakazakii</i> | | | |
| | ATCC 12868 | | LMC_243094647 |
| <i>Cronobacter sakazakii</i> | ATCC BAA-894 | | LMC_243098776 |
| | FSL F6-0023 | | LMC_243098947 |
| <i>Enterobacter</i> (ikke cloacae-komplekset) | | | |
| | ATCC 13048 | | LMC_243108047 |
| <i>Enterobacter aerogenes</i> | ATCC 29010 | | LMC_243109799 |
| | ATCC 51697 | | LMC_243112411 |
| | ATCC 33731 | | LMC_244006281 |
| <i>Enterobacter amnigenus</i> | ATCC 51816 ^B | | LMC_244006433 |
| | ATCC 33028 | | LMC_244008038 |
| <i>Enterobacter gergoviae</i> | ATCC 33426 | | LMC_244012579 |
| <i>Enterobacter</i> cloacae-komplekset | | | |
| | ATCC 35954 | | NCTC 13351 |
| <i>Enterobacter asburiae</i> | ATCC 35955 | | NCTC 10279 |
| | ATCC 35956 | | ATCC 10536 |
| <i>Enterobacter cloacae</i> (CTX-15) | CDC nr. 0038 | | ATCC 10538 |
| <i>Enterobacter cloacae</i> (CTX-9) | NCTC 13464 | | ATCC 10799 |
| <i>Enterobacter cloacae</i> (CTX-15, KPC-2) | CDC nr. 0163 | | ATCC 11229 |
| <i>Enterobacter cloacae</i> (CTX, NDM) | JMI53571 | | ATCC 13762 |
| | ATCC 23355 | | ATCC 14169 |
| <i>Enterobacter cloacae</i> underart <i>cloacae</i> | ATCC 35030 | | Escherichia coli (CTX-14) |
| | ATCC 23373 | | CDC nr. 0086 |
| <i>Enterobacter cloacae</i> underart <i>dissolvens</i> | | | ATCC BAA-2326 |
| | | | NCTC 13353 |
| | | | NCTC 13400 |
| | | | NCTC 13450 |
| | | | NCTC 13451 |

| Organisme | Stamme | Organisme | Stamme |
|--|---------------|---|---------------------------|
| <i>Escherichia coli</i> (CTX-3) | NCTC 13452 | | IMH-C2260742 |
| <i>Escherichia coli</i> (CTX-1) | NCTC 13461 | | IMH-C3151729 |
| <i>Escherichia coli</i> (CTX-2) | NCTC 13462 | | IMH-C4151728 |
| <i>Escherichia coli</i> (CTX-8) | NCTC 13463 | | IMH-C4171868 |
| <i>Escherichia coli</i> (CTX-15, NDM-6) | CDC nr. 0137 | <i>Klebsiella pneumoniae</i> (OXA-48) | NCTC 13442 |
| <i>Escherichia coli</i> (CTX-15, NDM-7) | CDC nr. 0162 | <i>Klebsiella pneumoniae</i> (CTX-15, VIM-27) | CDC nr. 0040 |
| <i>Escherichia coli</i> (IMP) | NCTC 13476 | | CDC nr. 0135 |
| <i>Escherichia coli</i> (KPC) | ATCC BAA-2340 | <i>Klebsiella pneumoniae</i> (VIM-1) | NCTC 13439 |
| <i>Escherichia coli</i> (NDM-5) | CDC nr. 0150 | | NCTC 13440 |
| <i>Escherichia coli</i> (OXA) | LMC_DR00012 | <i>Klebsiella pneumoniae</i> underart <i>ozaenae</i> | ATCC 11296 |
| <i>Escherichia coli</i> (VIM) | JMI32465 | | ATCC 13883 |
| <i>Fusobacterium necrophorum</i> | | <i>Klebsiella pneumoniae</i> underart <i>pneumoniae</i> | ATCC 27736 |
| <i>Fusobacterium necrophorum</i> underart <i>necrophorum</i> | ATCC 25286 | | ATCC 51503 |
| | NCTC 10575 | | ATCC 51504 |
| | NCTC 10577 | <i>Klebsiella quasipneumoniae</i> | ATCC 700603 |
| <i>Fusobacterium nucleatum</i> | | <i>Klebsiella pneumoniae</i> underart <i>rhinoscleromatis</i> | ATCC 9436 |
| <i>Fusobacterium nucleatum</i> underart <i>nucleatum</i> | ATCC 31647 | <i>Klebsiella varicola</i> | ATCC BAA-830 |
| <i>Fusobacterium nucleatum</i> underart <i>fusiforme</i> | ATCC 51190 | <i>Morganella morganii</i> | |
| <i>Fusobacterium nucleatum</i> underart <i>vincentii</i> | ATCC 49256 | <i>Morganella morganii</i> | ATCC 25830 |
| <i>Haemophilus influenzae</i> | | <i>Morganella morganii</i> (CTX-15, NDM-1) | GM148-209 |
| <i>Haemophilus influenzae</i> | ATCC 33930 | | CDC nr. 0057 ^c |
| | ATCC 43065 | <i>Neisseria meningitidis</i>^D | |
| | ATCC 43163 | <i>Neisseria meningitidis</i> serotype A | ATCC 13077 |
| | NCTC 11931 | <i>Neisseria meningitidis</i> serotype B | NCTC 10026 |
| | NCTC 12699 | <i>Neisseria meningitidis</i> serotype W135 | NCTC 11203 |
| | NCTC 8143 | <i>Neisseria meningitidis</i> serotype Y | ATCC 35561 |
| <i>Haemophilus influenzae</i> type b | ATCC 10211 | <i>Proteus</i> | |
| <i>Haemophilus influenzae</i> type c | ATCC 9007 | <i>Proteus hauseri</i> | ATCC 13315 |
| <i>Haemophilus influenzae</i> type d | ATCC 9332 | <i>Proteus mirabilis</i> | ATCC 33583 |
| <i>Haemophilus influenzae</i> type e | NCTC 8472 | <i>Proteus mirabilis</i> (IMP) | JMI955389 |
| <i>Haemophilus influenzae</i> type f | ATCC 9833 | <i>Proteus mirabilis</i> (KPC-6) | CDC nr. 0155 |
| <i>Klebsiella oxytoca</i> | | <i>Proteus penneri</i> | ATCC 35197 |
| <i>Klebsiella oxytoca</i> | ATCC 43086 | | ATCC 33420 |
| | ATCC 43863 | | ATCC 49132 |
| | ATCC 49131 | | ATCC 8427 |
| | ATCC 700324 | | NCTC 4636 |
| | ATCC 51817 | <i>Pseudomonas aeruginosa</i> | |
| <i>Klebsiella oxytoca</i> (KPC-3) | CDC nr. 0147 | <i>Pseudomonas aeruginosa</i> (IMP-14) | CDC nr. 0092 |
| <i>Klebsiella pneumoniae</i>-gruppen | | <i>Pseudomonas aeruginosa</i> (IMP-1) | CDC nr. 0241 |
| <i>Klebsiella pneumoniae</i> (CTX-15) | CDC nr. 0109 | <i>Pseudomonas aeruginosa</i> (IMP) | CDC nr. 0439 |
| <i>Klebsiella pneumoniae</i> (CTX-25) | NCTC 13465 | <i>Pseudomonas aeruginosa</i> (KPC-5) | CDC nr. 0090 |
| <i>Klebsiella pneumoniae</i> (CTX, KPC) | IMH-C2261309 | <i>Pseudomonas aeruginosa</i> (VIM-2) | CDC nr. 0100 |
| <i>Klebsiella pneumoniae</i> (CTX, NDM-1) | NCTC 13443 | <i>Pseudomonas aeruginosa</i> (VIM-4) | CDC nr. 0054 |
| <i>Klebsiella pneumoniae</i> (CTX-15, NDM-1, OXA-232) | CDC nr. 0153 | <i>Salmonella</i> | |
| <i>Klebsiella pneumoniae</i> (CTX-15, OXA-232) | CDC nr. 0075 | <i>Salmonella enterica</i> serovar. 4,[5],12:i | FSL S5-0580 |
| | CDC nr. 0066 | <i>Salmonella enterica</i> serovar. Agona | ATCC 51957 |
| <i>Klebsiella pneumoniae</i> (CTX-15, OXA-181) | CDC nr. 0039 | <i>Salmonella enterica</i> serovar. Bareilly | ATCC 9115 |
| | CDC nr. 0140 | <i>Salmonella enterica</i> serovar. Braenderup | ATCC 700136 |
| | CDC nr. 0141 | <i>Salmonella enterica</i> serovar. Enteritidis | ATCC BAA-708 |
| | CDC nr. 0142 | <i>Salmonella enterica</i> serovar. Hadar | ATCC 51956 |
| <i>Klebsiella pneumoniae</i> (IMP-4) | CDC nr. 0034 | <i>Salmonella enterica</i> serovar. Heidelberg | ATCC 8326 |
| | CDC nr. 0080 | <i>Salmonella enterica</i> serovar. Infantis | ATCC BAA-1675 |
| <i>Klebsiella pneumoniae</i> (KPC-3) | CDC nr. 0125 | <i>Salmonella enterica</i> serovar. Javiana | ATCC 10721 |
| | CDC nr. 0112 | <i>Salmonella enterica</i> serovar. Montevideo | ATCC 8387 |
| | CDC nr. 0113 | <i>Salmonella enterica</i> serovar. Muenchen | ATCC 8388 |
| <i>Klebsiella pneumoniae</i> (KPC) | ATCC BAA-1705 | <i>Salmonella enterica</i> serovar. Oranienburg | ATCC 9239 |
| | | <i>Salmonella enterica</i> serovar. Paratyphi B | FSL S5-0447 |
| | | <i>Salmonella enterica</i> serovar. Saintpaul | ATCC 9712 |

| Organisme | Stamme | Organisme | Stamme |
|--|---------------|-------------------------------------|--------------------------|
| <i>Salmonella enterica</i> serovar. Thompson | ATCC 8391 | <i>Enterococcus saccharolyticus</i> | ATCC 43076 ^E |
| <i>Salmonella enterica</i> serovar. Typhi | ATCC 19430 | <i>Staphylococcus capitis</i> | NRS866 |
| <i>Salmonella enterica</i> underart <i>arizonaee</i> | ATCC 13314 | <i>Staphylococcus chromogenes</i> | ATCC 43764 |
| <i>Salmonella enterica</i> underart <i>dairizonae</i> | ATCC 12325 | <i>Staphylococcus cohnii</i> | ATCC 29974 |
| <i>Salmonella enterica</i> underart <i>enterica</i> serovar. <i>Typhimurium</i> | ATCC 14028 | <i>Staphylococcus epidermidis</i> | ATCC 35984 |
| <i>Salmonella enterica</i> underart <i>houtenae</i> | ATCC 29834 | <i>Staphylococcus gallinarum</i> | ATCC 700401 |
| <i>Salmonella enterica</i> underart <i>indica</i> | ATCC BAA-1578 | <i>Staphylococcus haemolyticus</i> | ATCC 29970 |
| <i>Salmonella enterica</i> underart <i>salamae</i> | ATCC 6959 | <i>Staphylococcus hominis</i> | ATCC 27844 |
| <i>Salmonella enterica</i> underart <i>enterica</i> serovar. <i>Mississippi</i> | FSL A4-0633 | <i>Staphylococcus hyicus</i> | ATCC 11249 |
| <i>Salmonella enterica</i> underart <i>enterica</i> serovar. <i>Schwarzengrund</i> | FSL S5-0458 | <i>Staphylococcus latus</i> | ATCC 700403 |
| <i>Serratia</i> | | <i>Staphylococcus lugdunensis</i> | ATCC 49576 |
| <i>Serratia ficaria</i> | ATCC 33105 | <i>Staphylococcus pasteurii</i> | ATCC 51128 |
| <i>Serratia fonticola</i> | ATCC 29844 | <i>Staphylococcus vitulinus</i> | ATCC 51699 |
| <i>Serratia grimesii</i> | ATCC 14460 | <i>Streptococcus constellatus</i> | ATCC 27513 |
| <i>Serratia marcescens</i> | ATCC 13880 | <i>Streptococcus dysgalactiae</i> | ATCC 35666 |
| | ATCC 43861 | <i>Streptococcus equi</i> | ATCC 9528 |
| | ATCC 43862 | <i>Streptococcus gallolyticus</i> | ATCC 9809 |
| <i>Serratia marcescens</i> (CTX) | JMI10244 | <i>Streptococcus gordonii</i> | ATCC 35557 |
| <i>Serratia rubidaea</i> | ATCC 27593 | <i>Streptococcus infantis</i> | ATCC 700779 |
| | ATCC 29025 | <i>Streptococcus intermedius</i> | ATCC 27335 |
| <i>Stenotrophomonas maltophilia</i> | | <i>Streptococcus mitis</i> | ATCC 49456 |
| <i>Stenotrophomonas maltophilia</i> | ATCC 13636 | <i>Streptococcus oralis</i> | ATCC 35037 |
| | GM148-207 | <i>Streptococcus parasanguinis</i> | ATCC 15909 |
| | GM148-208 | <i>Streptococcus pneumoniae</i> | ATCC 8335 |
| Pan-grampositive organismer | | <i>Streptococcus pyogenes</i> | ATCC 12344 |
| <i>Bacillus amyloliquefaciens</i> | ATCC 23845 | <i>Streptococcus salivarius</i> | ATCC 7073 |
| <i>Bacillus atrophaeus</i> | ATCC 49337 | <i>Streptococcus thoraltensis</i> | ATCC 700865 ^F |
| <i>Bacillus cereus</i> | ATCC 10876 | Pan-Candida | |
| <i>Bacillus licheniformis</i> | ATCC 21039 | <i>Candida albicans</i> | ATCC 24433 |
| <i>Bacillus thuringiensis</i> | ATCC 35646 | | ATCC 90028 |
| <i>Enterococcus avium</i> | ATCC 14025 | <i>Candida glabrata</i> | ATCC 2001 |
| <i>Enterococcus casseliflavus</i> | ATCC 700327 | | ATCC 66032 |
| <i>Enterococcus faecalis</i> | JMI876745 | <i>Candida krusei</i> | ATCC 14243 |
| <i>Enterococcus gallinarum</i> | ATCC 49573 | | ATCC 32196 |
| <i>Enterococcus hirae</i> | ATCC 49479 | | ATCC 34135 ^G |
| <i>Enterococcus raffinosus</i> | ATCC 49464 | <i>Candida parapsilosis</i> | ATCC 22019 |
| | | | ATCC 58895 |
| | | | ATCC 90018 ^H |

A. Ikke målart, som brukes til å evaluere resistensmarkør.

B. 5/6 replikater detektert ved $2,0 \times 10^8$ cfu/ml.

C. 5/6 replikater detektert ved $4,5 \times 10^8$ cfu/ml.

D. *N. meningitidis* -stammer uten kapsel detekteres ikke.

E. Stammen kan ha redusert sensitivitet og ble ikke 100 % detektert ved konsentrasjoner $<1 \times 10^8$ cfu/ml.

F. Stammen kan ha redusert sensitivitet og ble ikke 100 % detektert ved konsentrasjoner $<4 \times 10^8$ cfu/ml.

G. Ved første testing ble 1/6 replikater detektert ved 1×10^6 cfu/ml. Ved ytterligere testing ble 3/3 replikater detektert ved positiv flaske.

H. Ved første testing ble 2/6 replikater detektert ved 1×10^6 cfu/ml. Ved ytterligere testing ble 6/6 replikater detektert ved positiv flaske.

Predikert (*in silico*) reaktivitet for slekts- og gruppeanalyser

cobas eplex BCID-GN-panelet inneholder, i tillegg til artsspesifikke analyser, flere bredere analyser på slekts- eller gruppenivå, herunder: *Citrobacter*, *Enterobacter cloacae*-komplekset, *Enterobacter* (ikke *cloacae*-komplekset), *Proteus* og *Serratia* samt analyser for pan-*Candida* og pan-grampositive organismer.

Tabell 66–73 viser predikert (*in silico*) reaktivitet (inklusivitet) for disse analysemålene.

cobas eplex BCID gram-negative panel (panel for identifikasjon av gramnegative organismer)

Merk: cobas eplex BCID-GN-panelets ytelse er ikke fastslått for alle organismer som er oppført i tabellene nedenfor. Delen om analytisk reaktivitet inneholder data om organismer som det er fastslått ytelses-egenskaper for (vist med stjerne i **tabell 66–73**). Enkelte arter ble ikke vurdert *in silico* på grunn av manglende sekvensdata, men kan likevel være oppført i studier av analytisk sensitivitet eller spesifisitet.

Tabell 66: Resultater for predikert (*in silico*) reaktivitet (inklusivitet) for *Citrobacter*

| Deteksjon predikert for ≥95 % av målsekvenser | | |
|---|---------------------------------------|--|
| <i>Citrobacter koseri</i> * | <i>Citrobacter intermedium</i> | |
| Deteksjon predikert for 85–94 % av målsekvenser | | |
| <i>Citrobacter freundii</i> * | <i>Citrobacter braakii</i> * | |
| Deteksjon predikert for <85,0 % av målsekvenser | | |
| <i>Citrobacter werkmanii</i> * (66,7 %) | <i>Citrobacter youngae</i> * (50,0 %) | |
| Deteksjon ikke predikert | | |
| <i>Citrobacter europaeus</i> | <i>Citrobacter gillenii</i> | <i>Citrobacter amalonaticus</i> ^A |
| <i>Citrobacter farmeri</i> | <i>Citrobacter sedlakii</i> | <i>Citrobacter murliniae</i> |

A. Deteksjon predikert *in silico*, men ATCCBAA-2563 ble ikke detektert ved våttesting.

Tabell 67: Resultater for predikert (*in silico*) reaktivitet (inklusivitet) for *Enterobacter cloacae*-komplekset

| Deteksjon predikert for ≥95 % av målsekvenser | | |
|---|--|----------------------------------|
| <i>Enterobacter cloacae</i> * | <i>Enterobacter asburiae</i> * | <i>Enterobacter hormaechei</i> * |
| <i>Enterobacter xiangfangensis</i> | | |
| Deteksjon predikert for 85–94 % av målsekvenser | | |
| Ingen identifisert | | |
| Deteksjon predikert for <85,0 % av målsekvenser | | |
| <i>Enterobacter ludwigii</i> * (68,4 %) | <i>Enterobacter nimipressuralis</i> (25,0 %) | |
| Deteksjon ikke predikert | | |
| <i>Enterobacter kobei</i> | <i>Enterobacter cancerogenus</i> | |

Tabell 68: Resultater for predikert (*in silico*) reaktivitet (inklusivitet) for *Enterobacter* (ikke *cloacae*-komplekset)

| Deteksjon predikert for ≥95 % av målsekvenser | | |
|---|---------------------------------|--|
| <i>Enterobacter aerogenes</i> * | <i>Enterobacter gergoviae</i> * | |
| Deteksjon predikert for 85–94 % av målsekvenser | | |
| Ingen identifisert | | |
| Deteksjon predikert for <85,0 % av målsekvenser | | |
| <i>Enterobacter amnigenus</i> * (62,5 %) | | |
| Deteksjon ikke predikert | | |
| Ingen identifisert | | |

Tabell 69: Resultater for predikert (*in silico*) reaktivitet (inklusivitet) for *Klebsiella pneumoniae*-gruppen

| Deteksjon predikert for ≥95 % av målsekvenser | | |
|---|-------------------------------------|-------------------------------|
| <i>Klebsiella pneumoniae</i> * | <i>Klebsiella quasipneumoniae</i> * | <i>Klebsiella variicola</i> * |
| Deteksjon predikert for 85–94 % av målsekvenser | | |
| Ingen identifisert | | |
| Deteksjon predikert for <85,0 % av målsekvenser | | |
| Ingen identifisert | | |
| Deteksjon ikke predikert | | |
| Ingen identifisert | | |

Tabell 70: Resultater for predikert (*in silico*) reaktivitet (inklusivitet) for *Proteus*

| Deteksjon predikert for ≥95 % av målsekvenser | | |
|---|--------------------------|---------------------------|
| <i>Proteus mirabilis</i> * | <i>Proteus penneri</i> * | <i>Proteus vulgaris</i> * |
| <i>Proteus hauseri</i> * | <i>Proteus cibarius</i> | |
| Deteksjon predikert for 85–94 % av målsekvenser | | |
| Ingen identifisert | | |
| Deteksjon predikert for <85,0 % av målsekvenser | | |
| Ingen identifisert | | |
| Deteksjon ikke predikert | | |
| <i>Proteus myxofaciens</i> | | |

Tabell 71: Resultater for predikert (*in silico*) reaktivitet (inklusivitet) for *Serratia*

| Deteksjon predikert for ≥95 % av målsekvenser | | |
|---|--------------------------------|--------------------------------|
| <i>Serratia marcescens</i> * | <i>Serratia grimesii</i> * | <i>Serratia rubidaea</i> * |
| <i>Serratia ficaria</i> * | <i>Serratia liquefaciens</i> * | <i>Serratia proteamaculans</i> |
| <i>Serratia fonticola</i> * | <i>Serratia plymuthica</i> * | |
| Deteksjon predikert for 85–94 % av målsekvenser | | |
| Ingen identifisert | | |
| Deteksjon predikert for <85,0 % av målsekvenser | | |
| <i>Serratia quinivorans</i> (33,3 %) | | |
| Deteksjon ikke predikert | | |
| <i>Serratia nematodiphila</i> | <i>Serratia odorifera</i> ^* | <i>Serratia ureilytica</i> |

A. Ikke predikert *in silico*, men ATCC 33077 ble tidvist detektert ved våttesting. Se studien Analytisk reaktivitet (inklusivitet).

Tabell 72: Resultater for predikert (*in silico*) reaktivitet (inklusivitet) for pan-*Candida*

| Deteksjon predikert for ≥95 % av målsekvenser | | |
|--|---------------------------|-------------------------|
| <i>Candida albicans</i> * | <i>Candida glabrata</i> * | <i>Candida krusei</i> * |
| <i>Candida parapsilosis</i> * | | |
| Deteksjon predikert for 85–94 % av målsekvenser | | |
| Ingen identifisert | | |
| Deteksjon predikert for <85 % av målsekvenser | | |
| Ingen identifisert | | |
| Deteksjon ikke predikert | | |
| Deteksjon ble ikke predikert ved bioinformatisk analyse for andre <i>Candida</i> -arter med tilgjengelige sekvensdata. | | |

Tabell 73: Resultater for predikert (*in silico*) reaktivitet (inklusivitet) for pan-grampositive organismer

| Deteksjon predikert for ≥95 % av målsekvenser | | |
|---|---|---|
| <i>Bacillus</i> | | |
| <i>Bacillus amyloliquefaciens</i> * | <i>Bacillus paralicheniformis</i> | <i>Bacillus toyonensis</i> |
| <i>Bacillus atrophaeus</i> * | <i>Bacillus siamensis</i> | <i>Bacillus vallismortis</i> |
| <i>Bacillus bombysepticus</i> | <i>Bacillus subtilis</i> * | <i>Bacillus velezensis</i> |
| <i>Bacillus licheniformis</i> * | <i>Bacillus tequilensis</i> | <i>Bacillus weihenstephanensis</i> |
| <i>Bacillus methylotrophicus</i> | <i>Bacillus thuringiensis</i> * | |
| <i>Enterococcus</i> | | |
| <i>Enterococcus avium</i> * | <i>Enterococcus faecium</i> * | <i>Enterococcus raffinosus</i> * |
| <i>Enterococcus dispar</i> | <i>Enterococcus flavescentis</i> | <i>Enterococcus saccharolyticus</i> * |
| <i>Enterococcus durans</i> | <i>Enterococcus malodoratus</i> | <i>Enterococcus thailandicus</i> |
| <i>Enterococcus faecalis</i> * | <i>Enterococcus pseudoavium</i> | |
| <i>Staphylococcus</i> | | |
| <i>Staphylococcus aureus</i> * | <i>Staphylococcus haemolyticus</i> * | <i>Staphylococcus pseudintermedius</i> |
| <i>Staphylococcus agnetis</i> | <i>Staphylococcus hominis</i> * | <i>Staphylococcus pseudolugdunensis</i> |
| <i>Staphylococcus argensis</i> | <i>Staphylococcus hominis</i> underart <i>novobiosepticus</i> | <i>Staphylococcus pulvereri</i> |
| <i>Staphylococcus argenteus</i> | <i>Staphylococcus hyicus</i> * | <i>Staphylococcus rostri</i> |
| <i>Staphylococcus auricularis</i> | <i>Staphylococcus jettensis</i> | <i>Staphylococcus saprophyticus</i> |
| <i>Staphylococcus capitis</i> * | <i>Staphylococcus kloosii</i> | <i>Staphylococcus schleiferi</i> |
| <i>Staphylococcus caprae</i> | <i>Staphylococcus lentus</i> * | <i>Staphylococcus schweitzeri</i> |
| <i>Staphylococcus carnosus</i> | <i>Staphylococcus lugdunensis</i> * | <i>Staphylococcus sciuri</i> |
| <i>Staphylococcus chromogenes</i> * | <i>Staphylococcus lutrae</i> | <i>Staphylococcus simiae</i> |
| <i>Staphylococcus cohnii</i> * | <i>Staphylococcus massiliensis</i> | <i>Staphylococcus simulans</i> |
| <i>Staphylococcus delphini</i> | <i>Staphylococcus microti</i> | <i>Staphylococcus stepanovicii</i> |

| | | |
|---|---------------------------------------|---------------------------------------|
| <i>Staphylococcus devriesei</i> | <i>Staphylococcus muscae</i> | <i>Staphylococcus succinus</i> |
| <i>Staphylococcus epidermidis*</i> | <i>Staphylococcus nepalensis</i> | <i>Staphylococcus vitulinus*</i> |
| <i>Staphylococcus equorum</i> | <i>Staphylococcus pasteurii*</i> | <i>Staphylococcus warneri</i> |
| <i>Staphylococcus felis</i> | <i>Staphylococcus petrasii</i> | <i>Staphylococcus xylosus</i> |
| <i>Staphylococcus fleurettii</i> | <i>Staphylococcus pettenkoferi</i> | |
| <i>Staphylococcus gallinarum*</i> | <i>Staphylococcus piscifermentans</i> | |
| Streptococcus | | |
| <i>Streptococcus agalactiae</i> | <i>Streptococcus infantarius</i> | <i>Streptococcus phocae</i> |
| <i>Streptococcus alactolyticus</i> | <i>Streptococcus infantis*</i> | <i>Streptococcus pneumoniae*</i> |
| <i>Streptococcus anginosus</i> | <i>Streptococcus intermedius*</i> | <i>Streptococcus porcinus</i> |
| <i>Streptococcus australis</i> | <i>Streptococcus intestinalis</i> | <i>Streptococcus porcorum</i> |
| <i>Streptococcus caballi</i> | <i>Streptococcus lactarius</i> | <i>Streptococcus pseudopneumoniae</i> |
| <i>Streptococcus constellatus</i> | <i>Streptococcus loxodontalis</i> | <i>Streptococcus pseudoporcinus</i> |
| <i>Streptococcus criceti</i> | <i>Streptococcus luteciae</i> | <i>Streptococcus pyogenes</i> |
| <i>Streptococcus cristatus</i> | <i>Streptococcus lutetiensis</i> | <i>Streptococcus rifensis</i> |
| <i>Streptococcus danieliae</i> | <i>Streptococcus macedonicus</i> | <i>Streptococcus rubneri</i> |
| <i>Streptococcus dentasini</i> | <i>Streptococcus marimammalium</i> | <i>Streptococcus salivarius*</i> |
| <i>Streptococcus dentisani</i> | <i>Streptococcus massiliensis</i> | <i>Streptococcus saliviloxodontae</i> |
| <i>Streptococcus didelphis</i> | <i>Streptococcus mitis*</i> | <i>Streptococcus sanguinis</i> |
| <i>Streptococcus difficile</i> | <i>Streptococcus moroccensis</i> | <i>Streptococcus seminale</i> |
| <i>Streptococcus dysgalactiae</i> underart <i>dysgalactiae</i> | <i>Streptococcus oligofermentans</i> | <i>Streptococcus sinensis</i> |
| <i>Streptococcus dysgalactiae</i> underart <i>equisimilis</i> | <i>Streptococcus oralis*</i> | <i>Streptococcus suis</i> |
| <i>Streptococcus dysgalactiae*</i> | <i>Streptococcus oricebi</i> | <i>Streptococcus thermophilus</i> |
| <i>Streptococcus equi*</i> | <i>Streptococcus orisratti</i> | <i>Streptococcus thoraltensis*</i> |
| <i>Streptococcus equinus</i> | <i>Streptococcus panodentis</i> | <i>Streptococcus tigurinus</i> |
| <i>Streptococcus fryi</i> | <i>Streptococcus parasanguinis*</i> | <i>Streptococcus troglodytae</i> |
| <i>Streptococcus gallolyticus*</i> | <i>Streptococcus parasuis</i> | <i>Streptococcus troglodytidis</i> |
| <i>Streptococcus gordoni*</i> | <i>Streptococcus parauberis</i> | <i>Streptococcus urinalis</i> |
| <i>Streptococcus himalayensis</i> | <i>Streptococcus pasteurii</i> | <i>Streptococcus ursoris</i> |
| <i>Streptococcus hongkongensis</i> | <i>Streptococcus pasteurianus</i> | <i>Streptococcus vestibularis</i> |
| <i>Streptococcus hyointestinalis</i> | <i>Streptococcus peroris</i> | <i>Streptococcus waiu</i> |
| Deteksjon predikert for 85–94 % av målsekvenser | | |
| <i>Bacillus cereus*</i> | <i>Enterococcus hirae*</i> | <i>Staphylococcus saccharolyticus</i> |
| <i>Enterococcus casseliflavus*</i> | <i>Staphylococcus arlettae</i> | <i>Streptococcus bovis</i> |
| <i>Enterococcus cecorum</i> | <i>Staphylococcus condimenti</i> | <i>Streptococcus uberis</i> |
| <i>Enterococcus gallinarum</i> | <i>Staphylococcus intermedius</i> | |

| Deteksjon predikert for <85,0 % av målsekvenser | | |
|---|--------------------------------------|--|
| <i>Bacillus mojavensis</i> (77,8 %) | <i>Bacillus sonorensis</i> (83,3 %) | <i>Streptococcus halichoeri</i> (66,7 %) |
| <i>Streptococcus ratti</i> (75,0 %) | | |
| Deteksjon ikke predikert | | |
| <i>Bacillus pseudomycooides</i> | <i>Enterococcus sulfureus</i> | <i>Streptococcus hyovaginalis</i> |
| <i>Enterococcus aquimarinus</i> | <i>Enterococcus termitis</i> | <i>Streptococcus ictaluri</i> |
| <i>Enterococcus asini</i> | <i>Enterococcus ureasiticus</i> | <i>Streptococcus iniae</i> |
| <i>Enterococcus caccae</i> | <i>Enterococcus ureilyticus</i> | <i>Streptococcus lactis</i> |
| <i>Enterococcus camelliae</i> | <i>Enterococcus villorum</i> | <i>Streptococcus macacae</i> |
| <i>Enterococcus canintestini</i> | <i>Staphylococcus caseolyticus</i> | <i>Streptococcus marmotae</i> |
| <i>Enterococcus canis</i> | <i>Streptococcus acidominimus</i> | <i>Streptococcus merionis</i> |
| <i>Enterococcus columbae</i> | <i>Streptococcus azizii</i> | <i>Streptococcus milleri</i> |
| <i>Enterococcus devriesei</i> | <i>Streptococcus camelii</i> | <i>Streptococcus minor</i> |
| <i>Enterococcus haemoperoxidus</i> | <i>Streptococcus canis</i> | <i>Streptococcus oriloxodontae</i> |
| <i>Enterococcus hawaiiensis</i> | <i>Streptococcus castoreus</i> | <i>Streptococcus orisasini</i> |
| <i>Enterococcus hermanniensis</i> | <i>Streptococcus cremoris</i> | <i>Streptococcus orisuis</i> |
| <i>Enterococcus italicus</i> | <i>Streptococcus criae</i> | <i>Streptococcus ovis</i> |
| <i>Enterococcus mundtii</i> | <i>Streptococcus cuniculi</i> | <i>Streptococcus pharyngis</i> |
| <i>Enterococcus pallens</i> | <i>Streptococcus dentapri</i> | <i>Streptococcus pluranimalium</i> |
| <i>Enterococcus pernyi</i> | <i>Streptococcus dentiloxodontae</i> | <i>Streptococcus plurextorum</i> |
| <i>Enterococcus phoeniculicola</i> | <i>Streptococcus dentirosetti</i> | <i>Streptococcus plutanimalium</i> |
| <i>Enterococcus plantarum</i> | <i>Streptococcus devriesei</i> | <i>Streptococcus porci</i> |
| <i>Enterococcus quebecensis</i> | <i>Streptococcus downei</i> | <i>Streptococcus rupicaprae</i> |
| <i>Enterococcus ratti</i> | <i>Streptococcus entericus</i> | <i>Streptococcus sobrinus</i> |
| <i>Enterococcus rivorum</i> | <i>Streptococcus ferus</i> | <i>Streptococcus tangierensis</i> |
| <i>Enterococcus rotai</i> | <i>Streptococcus gallinaceus</i> | |
| <i>Enterococcus silesiacus</i> | <i>Streptococcus henryi</i> | |

Predikert (*in silico*) reaktivitet for resistensmarkører

cobas eplex BCID-GN-panelet inneholder seks resistensmarkører, som ble individuelt vurdert for predikert (*in silico*) reaktivitet. **Tabell 74–84** viser predikert (*in silico*) reaktivitet for CTX-M, IMP, KPC, NDM, OXA og VIM. Stammer som ble testet som en del av studien **Analytisk reaktivitet (inklusivitet)**, er merket med stjerne i tabell 74–84. cobas eplex BCID-GN-panelets ytelse er ikke fastslått for alle **organismer som er oppført i tabell 74–84**. Tabell 85 omfatter alle varianter som ikke predikeres detektert av BCID-GN-panelet ved *in silico*-analyse.

cobas eplex BCID-GN-panelets CTX-M-analyse skal detektere følgende CTX-M-grupper: CTX-M-1, CTX-M-2, CTX-M-8, CTX-M-9 og CTX-M-25.

Tabell 74: Resultater for predikert (*in silico*) reaktivitet (inklusivitet) for CTX-M-1

| Mål | Tilknyttet organisme | Detektert variant | Mål | Tilknyttet organisme | Detektert variant |
|--|--------------------------------|---|-----|----------------------|--|
| <i>Acinetobacter baumannii</i> | <i>Acinetobacter baumannii</i> | CTX-M-15 | | | CTX-M-179 CTX-M-180 CTX-M-181 CTX-M-182 CTX-M-184 CTX-M-186 |
| <i>Citrobacter</i> | <i>Citrobacter freundii</i> | CTX-M-3 CTX-M-15* | | | CTX-M-3 CTX-M-15 CTX-M-28 CTX-M-162 |
| | <i>Citrobacter koseri</i> | CTX-M-3 CTX-M-15 | | | CTX-M-1 CTX-M-3 CTX-M-10 CTX-M-11 CTX-M-12 CTX-M-15* CTX-M-22 CTX-M-28 CTX-M-32 CTX-M-52 |
| <i>Enterobacter</i> (ikke cloacae-komplekset) | <i>Enterobacter aerogenes</i> | CTX-M-3 CTX-M-15 | | | CTX-M-54 CTX-M-55 CTX-M-57 CTX-M-60 CTX-M-62 CTX-M-71 CTX-M-72 CTX-M-96 CTX-M-155 CTX-M-156 CTX-M-157 CTX-M-173 CTX-M-176 CTX-M-183 CTX-M-197 CTX-M-204 |
| | <i>Enterobacter gergoviae</i> | CTX-M-15 | | | CTX-M-3 CTX-M-15* CTX-M-5 CTX-M-10 CTX-M-11 CTX-M-12 CTX-M-22 CTX-M-28 CTX-M-32 CTX-M-52 |
| | <i>Enterobacter asburiae</i> | CTX-M-15 | | | CTX-M-1 CTX-M-3 CTX-M-10 CTX-M-11 CTX-M-12 CTX-M-15* CTX-M-22 CTX-M-28 CTX-M-32 CTX-M-52 |
| <i>Enterobacter</i> cloacae-komplekset | <i>Enterobacter cloacae</i> | CTX-M-3 CTX-M-15* CTX-M-22 CTX-M-37 CTX-M-89 CTX-M-177 | | | CTX-M-54 CTX-M-55 CTX-M-57 CTX-M-60 CTX-M-62 CTX-M-71 CTX-M-72 CTX-M-96 CTX-M-155 CTX-M-156 CTX-M-157 CTX-M-173 CTX-M-176 CTX-M-183 CTX-M-197 CTX-M-204 |
| | <i>Enterobacter hormaechei</i> | CTX-M-15 | | | CTX-M-1 CTX-M-3 CTX-M-10 CTX-M-11 CTX-M-12 CTX-M-14* CTX-M-15* CTX-M-22 CTX-M-23 CTX-M-28 CTX-M-29 CTX-M-32 CTX-M-33 CTX-M-34 CTX-M-36 CTX-M-38 CTX-M-42 CTX-M-55 CTX-M-58 CTX-M-61 CTX-M-65 CTX-M-69 CTX-M-79 CTX-M-82 CTX-M-101 CTX-M-103 CTX-M-117 CTX-M-123 CTX-M-127 CTX-M-132 CTX-M-138 CTX-M-139 CTX-M-142 CTX-M-144 CTX-M-150 CTX-M-158 CTX-M-163 CTX-M-166 CTX-M-169 CTX-M-170 CTX-M-171 CTX-M-172 CTX-M-174 CTX-M-175 |
| <i>Escherichia coli</i> | <i>Escherichia coli</i> | Klebsiella pneumoniae-gruppen | | | CTX-M-1 CTX-M-3 CTX-M-15 CTX-M-32 CTX-M-66 CTX-M-116 CTX-M-136 CTX-M-164 CTX-M-167 |
| | | Morganella morganii | | | CTX-M-15* CTX-M-55 |
| | | Proteus mirabilis | | | CTX-M-1 CTX-M-3 CTX-M-15 CTX-M-32 CTX-M-66 CTX-M-116 CTX-M-136 CTX-M-164 CTX-M-167 |
| | | Pseudomonas aeruginosa | | | CTX-M-15 CTX-M-28 CTX-M-32 |
| | | Salmonella enterica | | | CTX-M-15 CTX-M-53 CTX-M-55 CTX-M-57 CTX-M-61 CTX-M-88 |
| | | Salmonella-art | | | CTX-M-3 |
| | | Salmonella Typhimurium | | | CTX-M-37 CTX-M-61 |
| | | Serratia liquefaciens | | | CTX-M-22 |
| | | Serratia marcescens | | | CTX-M-3 CTX-M-15 |

| Mål | Tilknyttet organisme | Detektert variant |
|--|-------------------------|----------------------|
| <i>Serratia marcescens</i> / <i>Serratia</i> | | CTX-M-55 |

| Mål | Tilknyttet organisme | Detektert variant |
|-------------------------------------|-------------------------------------|----------------------|
| <i>Stenotrophomonas maltophilia</i> | <i>Stenotrophomonas maltophilia</i> | CTX-M-15 |

Tabell 75: Resultater for predikert (*in silico*) reaktivitet (inklusivitet) for CTX-M-2

| Mål | Tilknyttet organisme | Detektert variant |
|---|--------------------------------|----------------------|
| <i>Acinetobacter baumannii</i> | <i>Acinetobacter baumannii</i> | CTX-M-2 |
| | | CTX-M-5 |
| | | CTX-M-43 |
| | | CTX-M-115 |
| <i>Enterobacter cloacae</i> -komplekset | <i>Enterobacter cloacae</i> | CTX-M-5 |
| <i>Escherichia coli</i> | <i>Escherichia coli</i> | CTX-M-2* |
| | | CTX-M-44 |
| | | CTX-M-56 |
| | | CTX-M-92 |
| | | CTX-M-97 |
| | | CTX-M-124 |
| <i>Klebsiella pneumoniae</i> -gruppen | <i>Klebsiella pneumoniae</i> | CTX-M-2 |
| | | CTX-M-35 |
| | | CTX-M-59 |
| | | CTX-M-141 |
| | | CTX-M-165 |

| Mål | Tilknyttet organisme | Detektert variant |
|---|-------------------------------|----------------------|
| | | CTX-M-200 |
| <i>Morganella morganii</i> | <i>Morganella morganii</i> | CTX-M-2 |
| <i>Proteus mirabilis</i> / <i>Proteus</i> | <i>Proteus mirabilis</i> | CTX-M-2 |
| | | CTX-M-20 |
| | | CTX-M-171 |
| <i>Pseudomonas aeruginosa</i> | <i>Pseudomonas aeruginosa</i> | CTX-1-2 |
| | | CTX-M-2 |
| | | CTX-M-4 |
| | | CTX-M-5 |
| | | CTX-M-6 |
| | | CTX-M-7 |
| <i>Salmonella</i> | <i>Salmonella enterica</i> | CTX-M-2 |
| | | CTX-M-4 |
| | | CTX-M-5 |
| | | CTX-M-6 |
| | | CTX-M-7 |
| <i>Salmonella</i> | <i>Salmonella Typhimurium</i> | CTX-M-2 |
| | | CTX-M-4 |
| | | CTX-M-5 |
| | | CTX-M-7 |

Tabell 76: Resultater for predikert (*in silico*) reaktivitet (inklusivitet) for CTX-M-8

| Mål | Tilknyttet organisme | Detektert variant |
|---|---------------------------------|----------------------|
| <i>Citrobacter</i> | <i>Citrobacter amalonaticus</i> | CTX-M-8 |
| <i>Enterobacter cloacae</i> -komplekset | <i>Enterobacter cloacae</i> | CTX-M-8 |
| <i>Escherichia coli</i> | <i>Escherichia coli</i> | CTX-M-8* |
| | | CTX-M-8 |

| Mål | Tilknyttet organisme | Detektert variant |
|---------------------------------------|------------------------------|----------------------|
| <i>Klebsiella pneumoniae</i> -gruppen | <i>Klebsiella pneumoniae</i> | CTX-M-63 |
| <i>Morganella morganii</i> | <i>Morganella morganii</i> | CTX-M-63 |
| <i>Salmonella</i> | <i>Salmonella enterica</i> | CTX-M-8 |

Tabell 77: Resultater for predikert (*in silico*) reaktivitet (inklusivitet) for CTX-M-9

| Mål | Tilknyttet organisme | Detektert variant |
|---|-------------------------------|----------------------|
| <i>Citrobacter</i> | <i>Citrobacter freundii</i> | CTX-M-14 |
| | | CTX-M-65 |
| <i>Enterobacter</i> – ikke <i>cloacae</i> -komplekset | <i>Enterobacter aerogenes</i> | CTX-M-9 |
| | | CTX-M-9* |
| <i>Enterobacter cloacae</i> -komplekset | <i>Enterobacter cloacae</i> | CTX-M-13 |
| | | CTX-M-14 |
| | | CTX-M-64 |
| | | CTX-M-125 |
| | | CTX-M-1/CTX-M-65 |
| | | CTX-M-9 |
| <i>Escherichia coli</i> | <i>Escherichia coli</i> | CTX-M-13 |
| | | CTX-M-14 |
| | | CTX-M-14/CTX-M-15 |
| | | CTX-M-15 |
| | | CTX-M-16 |
| | | CTX-M-19 |
| | | CTX-M-21 |
| | | CTX-M-24 |
| | | CTX-M-27 |
| | | CTX-M-38 |
| | | CTX-M-47 |
| | | CTX-M-51 |
| | | CTX-M-64 |
| | | CTX-M-65 |
| | | CTX-M-67 |
| | | CTX-M-73 |
| | | CTX-M-82 |
| | | CTX-M-87 |
| | | CTX-M-93 |
| | | CTX-M-97 |
| | | CTX-M-98 |
| | | CTX-M-102 |
| | | CTX-M-104 |
| | | CTX-M-105 |
| | | CTX-M-106 |
| | | CTX-M-121 |
| | | CTX-M-122 |
| | | CTX-M-126 |
| | | CTX-M-129 |
| | | CTX-M-130 |

| Mål | Tilknyttet organisme | Detektert variant |
|-----|-------------------------|----------------------|
| | | CTX-M-27 |
| | | CTX-M-38 |
| | | CTX-M-47 |
| | | CTX-M-51 |
| | | CTX-M-64 |
| | | CTX-M-65 |
| | | CTX-M-67 |
| | | CTX-M-73 |
| | | CTX-M-82 |
| | | CTX-M-87 |
| | | CTX-M-93 |
| | | CTX-M-97 |
| | | CTX-M-98 |
| | | CTX-M-102 |
| | | CTX-M-104 |
| | | CTX-M-105 |
| | | CTX-M-106 |
| | | CTX-M-121 |
| | | CTX-M-122 |
| | | CTX-M-126 |
| | | CTX-M-129 |
| | | CTX-M-130 |

cobas eplex BCID gram-negative panel (panel for identifikasjon av gramnegative organismer)

| Mål | Tilknyttet organisme | Detektert variant |
|-------------------------------|-----------------------------|---|
| | | CTX-M-132 CTX-M-134 CTX-M-137 CTX-M-148 CTX-M-161 CTX-M-168 CTX-M-173 CTX-M-174 CTX-M-176 CTX-M-177 CTX-M-191 CTX-M-195 CTX-M-196 CTX-M-198 CTX-M-199 |
| Klebsiella pneumoniae-gruppen | Klebsiella pneumoniae | CTX-M-9 CTX-M-13 CTX-M-14 CTX-M-17 CTX-M-18 CTX-M-19 CTX-M-24 CTX-M-38 CTX-M-46 CTX-M-48 CTX-M-49 |
| | | CTX-M-50 CTX-M-65 CTX-M-81 CTX-M-99 CTX-M-104 CTX-M-147 CTX-M-159 CTX-M-201 |
| | Proteus mirabilis / Proteus | CTX-M-13 CTX-M-14 CTX-M-24 CTX-M-65 CTX-M-90 |
| | Salmonella enterica | CTX-M-9 CTX-M-14 CTX-M-25 CTX-M-27 CTX-M-65 CTX-M-83 CTX-M-84 CTX-M-85 CTX-M-86 CTX-M-143 |
| | Serratia liquefaciens | CTX-M-14 |

Tabell 78: Resultater for predikert (*in silico*) reaktivitet (inklusivitet) for CTX-M-25

| Mål | Tilknyttet organisme | Detektert variant |
|-------------------------------|-------------------------------------|----------------------|
| Escherichia coli | Escherichia coli | CTX-M-25 |
| | | CTX-M-39 |
| | | CTX-M-94 |
| | | CTX-M-100 |
| Klebsiella pneumoniae-gruppen | Klebsiella pneumoniae ^{A*} | CTX-M-26 |

| Mål | Tilknyttet organisme | Detektert variant |
|-----------------------------|-------------------------|----------------------|
| Proteus mirabilis / Proteus | Proteus mirabilis | CTX-M-41 |
| | | CTX-M-89 |
| | | CTX-M-91 |
| | | CTX-M-160 |
| Salmonella | Salmonella enterica | CTX-M-25 |

A. CTX-M-25 detektert i studien Analytisk reaktivitet (inklusivitet).

Tabell 79: Resultater for predikert (*in silico*) reaktivitet (inklusivitet) for IMP

| Mål | Tilknyttet organisme | Detektert variant |
|--|-------------------------|---|
| Acinetobacter baumannii | Acinetobacter baumannii | IMP-1 IMP-2 IMP-4 IMP-5 IMP-8 IMP-10 IMP-11 IMP-14 IMP-19 IMP-55 IMP-61 |
| | | IMP-1 IMP-4 IMP-8 IMP-23 IMP-38 |
| Enterobacter – ikke cloacae-komplekset | Enterobacter aerogenes | IMP-4 |
| Enterobacter cloacae-komplekset | Enterobacter cloacae | IMP-1 IMP-4 |

| Mål | Tilknyttet organisme | Detektert variant |
|---------------------------------|-------------------------|--|
| Enterobacter cloacae-komplekset | Enterobacter hormaechei | IMP-8 IMP-11 IMP-26 IMP-34 IMP-60 |
| | | IMP-13 IMP-14 |
| | | IMP-1 IMP-4 IMP-6 IMP-8 |
| | | IMP-14 IMP-30 IMP-52 IMP-59 IMP-66 |
| Escherichia coli | Escherichia coli | |

| Mål | Tilknyttet organisme | Detektert variant | Mål | Tilknyttet organisme | Detektert variant |
|---|-------------------------------|--|-----|--|--|
| <i>Klebsiella oxytoca</i> | <i>Klebsiella oxytoca</i> | IMP-1 IMP-4 IMP-8 IMP-28 IMP-34 | | | IMP-19 IMP-20 IMP-21 IMP-22 IMP-25 |
| <i>Klebsiella pneumoniae</i> -gruppen | <i>Klebsiella pneumoniae</i> | IMP-1 IMP-4* IMP-6 IMP-8 IMP-10 IMP-13 IMP-19 IMP-26 IMP-32 IMP-38 | | | IMP-26 IMP-29 IMP-30 IMP-33 IMP-34 IMP-37 IMP-40 IMP-41 IMP-43 IMP-44 |
| <i>Proteus mirabilis</i> / <i>Proteus</i> | <i>Proteus mirabilis</i> | IMP-1 IMP-27 IMP-64 | | | IMP-45 IMP-48 IMP-49 |
| <i>Pseudomonas aeruginosa</i> | <i>Pseudomonas aeruginosa</i> | IMP-1* IMP-2 IMP-4 IMP-6 IMP-7 IMP-9 IMP-10 IMP-11 IMP-13 IMP-14* IMP-15 IMP-16 IMP-17 IMP-18 | | <i>Salmonella</i> | <i>Salmonella enterica</i> IMP-4 |
| | | | | <i>Serratia marcescens</i> / <i>Serratia</i> | IMP-1 IMP-2 IMP-6 IMP-8 IMP-24 |
| | | | | <i>Stenotrophomonas maltophilia</i> | <i>Stenotrophomonas maltophilia</i> IMP-25 |

Tabell 80: Resultater for predikert (*in silico*) reaktivitet (inklusivitet) for KPC

| Mål | Tilknyttet organisme | Detektert variant | Mål | Tilknyttet organisme | Detektert variant |
|---|--------------------------------|---|-----|--|--|
| <i>Acinetobacter baumannii</i> | <i>Acinetobacter baumannii</i> | KPC-2 KPC-3 KPC-10 | | | KPC-4 KPC-5 KPC-6 |
| <i>Citrobacter</i> | <i>Citrobacter freundii</i> | KPC-2* KPC-3 KPC-18 | | | KPC-7 KPC-8 KPC-11 |
| <i>Enterobacter</i> – ikke <i>cloacae</i> -komplekset | <i>Enterobacter aerogenes</i> | KPC-2 KPC-3 | | | KPC-12 KPC-14 |
| <i>Enterobacter cloacae</i> -komplekset | <i>Enterobacter cloacae</i> | KPC-2* KPC-3 KPC-4 KPC-13 KPC-18 | | | KPC-15 KPC-16 KPC-17 KPC-19 KPC-22 |
| <i>Escherichia coli</i> | <i>Escherichia coli</i> | KPC-2 KPC-3 KPC-4 KPC-5 KPC-9 KPC-18 KPC-21 KPC-28 | | | KPC-24 KPC-25 KPC-26 KPC-27 KPC-30 |
| <i>Klebsiella oxytoca</i> | <i>Klebsiella oxytoca</i> | KPC-2 KPC-3* | | <i>Proteus mirabilis</i> / <i>Proteus</i> | KPC-2 KPC-6* |
| <i>Klebsiella pneumoniae</i> -gruppen | <i>Klebsiella pneumoniae</i> | KPC-1 KPC-2 KPC-3* | | <i>Pseudomonas aeruginosa</i> | KPC-2 KPC-5* |
| | | | | <i>Salmonella</i> | KPC-2 |
| | | | | <i>Serratia marcescens</i> / <i>Serratia</i> | KPC-2 KPC-3 |

Tabell 81: Resultater for predikert (*in silico*) reaktivitet (inklusivitet) for VIM

| Mål | Tilknyttet organisme | Detektert variant | Mål | Tilknyttet organisme | Detektert variant |
|---|--------------------------------------|----------------------|--|-------------------------------------|-----------------------------|
| <i>Acinetobacter baumannii</i> | <i>Acinetobacter baumannii</i> | VIM-1 | | | VIM-39 |
| | | VIM-2 | | | VIM-42 |
| | | VIM-6 | | | VIM-51 |
| | | VIM-11 | | | VIM-52 |
| <i>Citrobacter</i> | <i>Citrobacter freundii</i> | VIM-1 | <i>Morganella morganii</i> | <i>Morganella morganii</i> | VIM-4 |
| | | VIM-2 | | | Proteus mirabilis / Proteus |
| | | VIM-4 | | | Proteus mirabilis |
| | | VIM-23 | | | |
| <i>Enterobacter – ikke cloacae-komplekset</i> | <i>Enterobacter aerogenes</i> | VIM-1 | <i>Pseudomonas aeruginosa</i> | <i>Pseudomonas aeruginosa</i> | VIM-1 |
| <i>Enterobacter cloacae-komplekset</i> | <i>Enterobacter cloacae</i> | VIM-1 | | | VIM-2* |
| | | VIM-2 | | | VIM-3 |
| | | VIM-4 | | | VIM-4* |
| | | VIM-23 | | | VIM-5 |
| | | VIM-31 | | | VIM-6 |
| | | VIM-40 | | | VIM-8 |
| | | VIM-1 | | | VIM-9 |
| | | VIM-4 | | | VIM-10 |
| | | VIM-23 | | | VIM-11 |
| | | VIM-1 | | | VIM-14 |
| | | VIM-40 | | | VIM-15 |
| | | VIM-1 | | | VIM-16 |
| | | VIM-1 | | | VIM-17 |
| | | VIM-1 | | | VIM-18 |
| <i>Escherichia coli</i> | <i>Escherichia coli</i> ^A | VIM-2 | | | VIM-20 |
| | | VIM-19 | | | VIM-28 |
| | | VIM-29 | | | VIM-30 |
| | | VIM-1 | | | VIM-36 |
| <i>Klebsiella oxytoca</i> | <i>Klebsiella oxytoca</i> | VIM-2 | | | VIM-37 |
| | | VIM-4 | | | VIM-41 |
| | | VIM-32 | | | VIM-43 |
| | | VIM-35 | | | VIM-44 |
| | | VIM-1* | | | VIM-45 |
| <i>Klebsiella pneumoniae</i> -gruppen | <i>Klebsiella pneumoniae</i> | VIM-2 | | | VIM-46 |
| | | VIM-4 | | | VIM-48 |
| | | VIM-12 | | | VIM-50 |
| | | VIM-19 | <i>Salmonella</i> | <i>Salmonella enterica</i> | VIM-1 |
| | | VIM-24 | VIM-2 | | |
| | | VIM-26 | VIM-4 | | |
| | | VIM-27* | VIM-54 | | |
| | | VIM-33 | <i>Serratia marcescens</i> / <i>Serratia</i> | <i>Serratia marcescens</i> | |
| | | VIM-34 | | | |
| | | | <i>Stenotrophomonas maltophilia</i> | <i>Stenotrophomonas maltophilia</i> | VIM-2 |

A. Uspesifisert VIM-variant detektert i studien **Analytisk reaktivitet (inklusivitet)**.

Tabell 82: Resultater for predikert (*in silico*) reaktivitet (inklusivitet) for OXA-23

| Mål | Tilknyttet organisme | Detektert variant | |
|-----------------------------------|--|------------------------------|--------|
| Acinetobacter <i>baumannii</i> | Acinetobacter <i>baumannii</i> | OXA-23* | |
| | | OXA-49 | |
| | | OXA-23/OXA-104 | |
| | | OXA-23/OXA-64 | |
| | | OXA-23/OXA-66 | |
| | | OXA-23/OXA-69 | |
| | | OXA-27 | |
| | | OXA-65/OXA-239 | |
| | | OXA-68 | |
| | | OXA-146 | |
| | | OXA-165 | |
| | | OXA-166 | |
| | | OXA-167 | |
| | | OXA-168 | |
| | | OXA-169 | |
| | | OXA-170 | |
| | | OXA-171 | |
| | | OXA-183 | |
| | | OXA-225 | |
| | | OXA-366 | |
| | | OXA-398 | |
| | | OXA-422 | |
| | | OXA-423 | |
| | | OXA-435 | |
| | | OXA-440 | |
| | | OXA-469 | |
| | | OXA-481 | |
| | | OXA-482 | |
| | | OXA-483 | |
| | | OXA-565 | |
| | <i>Escherichia coli</i> | <i>Escherichia coli</i> | OXA-23 |
| | <i>Klebsiella pneumoniae-</i> gruppen | <i>Klebsiella pneumoniae</i> | OXA-73 |
| | <i>Proteus mirabilis</i> | <i>Proteus mirabilis</i> | OXA-23 |

Tabell 83: Resultater for predikert (*in silico*) reaktivitet (inklusivitet) for OXA-48

| Mål | Tilknyttet organisme | Detektert variant | Mål | Tilknyttet organisme | Detektert variant |
|---|--|----------------------|--|------------------------------|----------------------|
| Acinetobacter <i>baumannii</i> | Acinetobacter <i>baumannii</i> | OXA-48 | <i>Klebsiella pneumoniae-</i> gruppen | OXA-1/OXA-48 | |
| Citrobacter | <i>Citrobacter freundii</i> | OXA-48 | | OXA-48* | |
| | | OXA-181 | | OXA-10 | |
| Enterobacter – ikke <i>cloacae</i> -komplekset | <i>Enterobacter aerogenes</i> | OXA-244 | | OXA-162 | |
| | <i>Enterobacter cloacae-</i> komplekset | OXA-48 | | OXA-181* | |
| | | OXA-163 | | OXA-204 | |
| | | OXA-181 | | OXA-232* | |
| | <i>Enterobacter</i> <i>hormaechei</i> | OXA-370 | | OXA-244 | |
| | | OXA-48 | | OXA-245 | |
| | | | | OXA-247 | |
| | | | | OXA-484 | |
| | | | | OXA-505 | |
| | | | | OXA-517 | |
| | | | | OXA-519 | |
| | | | | <i>Klebsiella variicola</i> | |
| | <i>Escherichia coli</i> ^A | OXA-48 | | OXA-181 | |
| | | OXA-163 | | <i>Morganella morganii</i> | |
| | | OXA-181 | | OXA-181 | |
| | | OXA-204 | | <i>Proteus mirabilis</i> / | |
| | | OXA-232 | | <i>Proteus mirabilis</i> | |
| | | OXA-244 | | OXA-48 | |
| | | OXA-438 | | OXA-244 | |
| | | OXA-439 | | <i>Serratia marcescens</i> / | |
| | | OXA-566 | | <i>Serratia marcescens</i> | |
| | | | | OXA-48 | |
| | | | | OXA-405 | |

A. Uspesifisert OXA-variant detektert i studien **Analytisk reaktivitet (inklusivitet)**.

Tabell 84: Resultater for predikert (*in silico*) reaktivitet (inklusivitet) for NDM

| Mål | Tilknyttet organisme | Detektert variant |
|---|--|--------------------|
| <i>Acinetobacter baumannii</i> | <i>Acinetobacter baumannii</i> | NDM-1* |
| | | NDM-2 |
| <i>Citrobacter</i> | <i>Citrobacter braakii</i> | NDM-4 |
| <i>Citrobacter</i> | <i>Citrobacter freundii</i> | NDM-1 ^A |
| | | NDM-4 |
| | | NDM-6 |
| | | NDM-7 |
| | | NDM-1 |
| <i>Enterobacter</i> – ikke cloacae-komplekset | <i>Enterobacter aerogenes</i> | NDM-4 |
| | | NDM-5 |
| | | NDM-7 |
| | | NDM-1 |
| <i>Enterobacter</i> cloacae-komplekset | <i>Enterobacter cloacae</i> ^B | NDM-1 |
| | | NDM-4 |
| | | NDM-7 |
| | <i>Enterobacter hormaechei</i> | NDM-1 |
| | <i>Enterobacter ludwigii</i> | NDM-1 |
| <i>Escherichia coli</i> | <i>Escherichia coli</i> | NDM-1 |
| | | NDM-3 |
| | | NDM-4 |
| | | NDM-5* |
| | | NDM-6* |
| | | NDM-7* |
| | | NDM-8 |
| | | NDM-11 |
| | | NDM-12 |
| | | NDM-13 |

| Mål | Tilknyttet organisme | Detektert variant |
|--|---------------------------------------|--------------------|
| <i>Klebsiella oxytoca</i> | <i>Klebsiella oxytoca</i> | NDM-15 |
| | | NDM-16 |
| | | NDM-17 |
| | | NDM-18 |
| | | NDM-19 |
| <i>Klebsiella pneumoniae</i> -gruppen | <i>Klebsiella pneumoniae</i> -gruppen | NDM-1 |
| | | NDM-4 |
| | | NDM-5 |
| | | NDM-6 |
| | | NDM-7 |
| | | NDM-10 |
| | | NDM-16 |
| <i>Morganella morganii</i> | <i>Morganella morganii</i> | NDM-1 ^C |
| <i>Proteus mirabilis</i> / <i>Proteus</i> | <i>Proteus mirabilis</i> | NDM-1 |
| <i>Pseudomonas aeruginosa</i> | <i>Pseudomonas aeruginosa</i> | NDM-1 |
| <i>Salmonella enterica</i> | <i>Salmonella enterica</i> | NDM-5 |
| <i>Serratia marcescens</i> / <i>Serratia</i> | <i>Serratia marcescens</i> | NDM-1 |
| <i>Stenotrophomonas maltophilia</i> | <i>Stenotrophomonas maltophilia</i> | NDM-1 |

A. Detektert i en *Citrobacter*-art i studien **Analytisk reaktivitet (inklusivitet)**.

B. Uspesifisert NDM-variant detektert i studien **Analytisk reaktivitet (inklusivitet)**.

C. NDM-1 ble detektert i *Morganella morganii* i studien **Analytisk reaktivitet (inklusivitet)**, men ingen sekvenser var tilgjengelige for *in silico*-analyse.

Tabell 85: Resultater for predikert (*in silico*) reaktivitet (inklusivitet) for varianter som ikke ble detektert

| Resistens-markør | Variant som ikke ble detektert | Tilknyttet organisme | Antall sekvenser |
|------------------|--------------------------------|--------------------------------|------------------|
| CTX-M-1 | CTX-M-80 | <i>Klebsiella pneumoniae</i> | 3 |
| | CTX-M-15 | | |
| | Ikke spesifisert | | |
| IMP | IMP-31 | <i>Pseudomonas aeruginosa</i> | 2 |
| | IMP-35 | | 2 |
| | IMP-7 | | 1 |
| NDM | NDM-1 | <i>Escherichia coli</i> | 6 |
| | | <i>Klebsiella variicola</i> | 3 |
| | | <i>Salmonella enterica</i> | 1 |
| | NDM-3 | <i>Acinetobacter baumannii</i> | 1 |
| | NDM-4 | <i>Escherichia coli</i> | 1 |
| | NDM-9 | <i>Cronobacter sakazakii</i> | 1 |
| | | <i>Escherichia coli</i> | 1 |
| | | <i>Klebsiella pneumoniae</i> | 2 |

| Resistens-markør | Variant som ikke ble detektert | Tilknyttet organisme | Antall sekvenser |
|------------------|--------------------------------|--------------------------------|------------------|
| Ikke spesifisert | <i>Escherichia coli</i> | | 2 |
| | | <i>Klebsiella pneumoniae</i> | 1 |
| | <i>Klebsiella</i> -art | | 1 |
| | <i>Pseudomonas aeruginosa</i> | | 1 |
| VIM | VIM-1 | <i>Pseudomonas aeruginosa</i> | 3 |
| | | <i>Providencia vermicola</i> | 1 |
| | VIM-2 | <i>Klebsiella pneumoniae</i> | 1 |
| | VIM-5 | <i>Enterobacter cloacae</i> | 2 |
| | | <i>Klebsiella pneumoniae</i> | 3 |
| | VIM-7 | <i>Pseudomonas aeruginosa</i> | 4 |
| | VIM-13 | <i>Pseudomonas aeruginosa</i> | 3 |
| | VIM-25 | <i>Acinetobacter baumannii</i> | 1 |
| | | <i>Proteus mirabilis</i> | 2 |
| | | | 2 |
| | VIM-38 | | |

| Resistens-markør | Variant som ikke ble detektert | Tilknyttet organisme | Antall sekvenser | Resistens-markør | Variant som ikke ble detektert | Tilknyttet organisme | Antall sekvenser |
|------------------|--------------------------------|-------------------------------|------------------|------------------|--------------------------------|-------------------------|------------------|
| | VIM-47 | <i>Pseudomonas aeruginosa</i> | 2 | | | | |
| | VIM-49 | | 2 | | | | |
| | Ikke spesifisert | | 1 | | | | |
| | | | | OXA-48 | OXA-232 | <i>Escherichia coli</i> | 1 |

Analytisk spesifisitet (kryssreakтивitet og eksklusivitet)

Kryssreakтивiteten til panelanalytter og analytter utenfor panelet ble evaluert med BCID-GN-panelet.

Bakterielle mål ble testet tredobbelt ved en konsentrasjon på $\sim 1 \times 10^9$ cfu/ml, mens sopp ble testet tredobbelt ved en konsentrasjon på $\sim 1 \times 10^7$ cfu/ml. Hvis målkonsentrasjonen ikke kunne nås, ble organismen fortynnet dobbelt fra utgangsvæskeren for bruk (vist med stjerne i **tabell 86–89**).

Det ble ikke observert kryssreakтивitet for noen av panelorganismene. Følgende organismer utenfor panelet viste kryssreakтивitet: *Acinetobacter anitratus* (ved en konsentrasjon på $> 1 \times 10^4$ cfu/ml) kryssreagerer med *Acinetobacter baumannii*-analysen, *Enterobacter cloacae*-komplekset, *Escherichia hermanii* kryssreagerer med analysen for *Enterobacter* (ikke *cloacae*-komplekset) (ved en konsentrasjon på $> 1 \times 10^6$ cfu/ml) og med *Serratia*-analysen (ved en konsentrasjon på $> 1 \times 10^7$ cfu/ml), *Fusobacterium periodonticum* (ved en konsentrasjon på 5×10^8 cfu/ml) og *Fusobacterium simiae* (ved en konsentrasjon på $2,9 \times 10^8$ cfu/ml) kryssreagerer med *Fusobacterium nucleatum*-analysen, og *Shigella* (ved en konsentrasjon på 1×10^9 cfu/ml) kryssreagerer med *Escherichia coli*-analysen (organismer utenfor panelet som viser kryssreakтивitet, er **uthevet** i tabellene nedenfor). **Tabell 65** viser en oppsummering av de testede panelstammene, og **tabell 86–89** viser en oppsummering av de testede stammene utenfor panelet.

En *in silico*-tilleggsanalyse ble utført for å identifisere eventuelle gramnegative og grampositive organismer utenfor panelet som kan kryssreagere med BCID-GN-panelet (**tabell 90–91**).

Merk: cobas eplex BCID-GN-panelets ytelse er ikke fastslått for organismer som bare er evaluert ved *in silico*-analyse.

Eksklusivitet for organismer utenfor panelet

Tabell 86: Gramnegative organismer utenfor panelet som ble vurdert for kryssreakтивitet med cobas eplex BCID-GN-panelet (eksklusivitet)

| Gramnegativ organisme | Stamme-ID | Gramnegativ organisme | Stamme-ID |
|--|---------------|--|---------------|
| <i>Acinetobacter haemolyticus</i> | ATCC 19002 | <i>Bordetella pertussis</i> | ATCC 9797 |
| <i>Acinetobacter lwoffii</i> | ATCC 15309 | <i>Burkholderia cepacia</i> | ATCC 25416 |
| <i>Acinetobacter junii</i> | ATCC 17908 | <i>Citrobacter amalonaticus</i> | ATCC BAA-2563 |
| <i>Acinetobacter anitratus</i> ^A | ATCC 49139 | <i>Citrobacter gillenii</i> | ATCC 51640 |
| <i>Aeromonas hydrophila</i> | JMI 938982 | <i>Citrobacter sedlakii</i> | ATCC 51493 |
| <i>Aeromonas salmonicida</i> | ATCC 33658 | <i>Citrobacter farmeri</i> | ATCC 51112 |
| <i>Aeromonas sobria</i> | ATCC 35993 | <i>Citrobacter murliniae</i> | ATCC 51642 |
| <i>Bacteroides distasonis</i> (<i>Parabacteroides</i>) | ATCC 8503 | <i>Edwardsiella tarda</i> | ATCC 15947 |
| <i>Bacteroides merdae</i> | ATCC 43184 | <i>Enterobacter kobei</i> | ATCC BAA-260 |
| <i>Bacteroides thetaiotaomicron</i> | ATCC 29741 | <i>Enterobacter cancerogenus</i> | ATCC 35315 |
| <i>Bacteroides vulgatus</i> [*] | ATCC 8482 | <i>Enterobacter cloacae</i> ^B | DSM-18146 |
| <i>Bacteroides caccae</i> | ATCC 700189 | <i>Escherichia albertii</i> | DSM-17582 |
| <i>Bacteroides eggertii</i> | ATCC 27754 | <i>Escherichia fergusonii</i> | ATCC 35469 |
| <i>Bacteroides ovatus</i> [*] | ATCC BAA-1296 | <i>Escherichia hermanii</i> ^C | ATCC 33650 |
| <i>Bacteroides ureolyticus</i> [*] | ATCC 33387 | <i>Ewingella americana</i> [*] | ATCC 33853 |

cobas eplex BCID gram-negative panel (panel for identifikasjon av gramnegative organismer)

| Gramnegativ organisme | Stamme-ID |
|---|---------------|
| <i>Eikenella corrodens</i> | ATCC BAA-1152 |
| <i>Fusobacterium naviforme*</i> | ATCC 25832 |
| <i>Fusobacterium gonidiaformans</i> | ATCC 25563 |
| <i>Fusobacterium necrogenes*</i> | ATCC 25556 |
| <i>Fusobacterium periodonticum</i> ^D | ATCC 33693 |
| <i>Fusobacterium simiae</i> ^D | ATCC 33568 |
| <i>Fusobacterium varium</i> | ATCC 27725 |
| <i>Fusobacterium russii*</i> | ATCC 25533 |
| <i>Fusobacterium ulcerans</i> | ATCC 49186 |
| <i>Haemophilus haemolyticus</i> | ATCC 33390 |
| <i>Haemophilus parahaemolyticus</i> | ATCC 10014 |
| <i>Hafnia alvei</i> | ATCC 51815 |
| <i>Kingella kingae*</i> | ATCC 23331 |
| <i>Kluyvera cochleae</i> | ATCC 51609 |
| <i>Legionella pneumoniae</i> | ATCC 33823 |
| <i>Leclercia adecarboxylata</i> | ATCC 700325 |
| <i>Methyllobacterium mesophilicum*</i> | ATCC 29983 |
| <i>Neisseria gonorrhoeae</i> | ATCC 19424 |
| <i>Neisseria mucosa</i> | ATCC 19695 |
| <i>Neisseria sicca</i> | ATCC 29193 |
| <i>Neisseria flavescens</i> | ATCC 13115 |
| <i>Neisseria lactamica</i> | ATCC 23970 |
| <i>Neisseria perflava</i> | ATCC 14799 |
| <i>Ochrobactrum anthropi</i> | ATCC BAA-749 |
| <i>Pantoea agglomerans</i> | ATCC 14537 |
| <i>Pantoea ananatis</i> | NRRL B-41502 |
| <i>Pasteurella aerogenes</i> | ATCC 27883 |
| Gramnegativ organisme | Stamme-ID |
| <i>Pasteurella multiceps underart multiceps</i> | ATCC 12945 |
| <i>Prevotella intermedia</i> | ATCC 15032 |
| <i>Prevotella corporis*</i> | ATCC 33547 |
| <i>Prevotella oralis*</i> | ATCC 33269 |
| <i>Prevotella nigrescens*</i> | ATCC 33563 |
| <i>Providencia rettgeri</i> | ATCC 9250 |
| <i>Providencia stuartii</i> | ATCC 33672 |
| <i>Providencia alcalifaciens</i> | ATCC 9886 |
| <i>Pseudomonas fluorescens</i> | ATCC 13525 |
| <i>Pseudomonas putida</i> | ATCC 49128 |
| <i>Pseudomonas alcaligenes</i> | ATCC 14909 |
| <i>Ralstonia insidiosa</i> | ATCC 49129 |
| <i>Ralstonia pickettii</i> | ATCC 27511 |
| <i>Raoultella planticola (Klebsiella planticola)</i> | ATCC 31900 |
| <i>Raoultella ornithinolytica</i> | CDC# 0134 |
| <i>Raoultella terrigena (Klebsiella terrigena)</i> | ATCC 55553 |
| <i>Shigella boydii</i> ^E | ATCC 9207 |
| <i>Shigella sonnei</i> ^E | ATCC 25931 |
| <i>Shigella flexneri</i> ^E | ATCC 9199 |
| <i>Vibrio furnissii</i> | NCTC 11218 |
| <i>Vibrio alginolyticus</i> | ATCC 17749 |
| <i>Vibrio parahaemolyticus</i> | ATCC 17802 |
| <i>Yersinia enterocolitica</i> underart <i>enterocolitica</i> | ATCC 9610 |
| <i>Yersinia ruckeri</i> | ATCC 29473 |
| <i>Yersinia kristensenii</i> | ATCC 33639 |

A. Kryssreakтивitet observert med *Acinetobacter baumannii* ved en konsentrasjon på $>1 \times 10^4$ cfu/ml.

B. Kryssreakтивitet observert med *Enterobacter cloacae*-komplekset ved en konsentrasjon på $>1 \times 10^8$ cfu/ml.

C. Kryssreakтивitet observert med *Enterobacter* (ikke *cloacae*-komplekset) ved en konsentrasjon på $>1 \times 10^6$ cfu/ml og med *Serratia* ved en konsentrasjon på $>1 \times 10^7$ cfu/ml.

D. Kryssreakтивitet observert med *Fusobacterium nucleatum*-analysen.

E. Kryssreakтивitet observert med *Escherichia coli*-analysen.

Tabell 87: Grampositive organismer utenfor panelet som ble vurdert for kryssreakтивitet med cobas eplex BCID-GN-panelet (eksklusivitet)

| Grampositive organismer | Stamme-ID |
|---|--------------|
| <i>Actinomyces odontolyticus</i> | ATCC 17929 |
| <i>Clostridium perfringens</i> | ATCC 13124 |
| <i>Corynebacterium jeikeium</i> | ATCC BAA-949 |
| <i>Corynebacterium renale</i> | ATCC 19412 |
| <i>Corynebacterium ulcerans</i> | ATCC 51799 |
| <i>Corynebacterium xerosis*</i> | ATCC 373 |
| <i>Corynebacterium durum</i> | ATCC 33449 |
| <i>Corynebacterium diphtheriae*</i> | ATCC 13812 |
| <i>Corynebacterium pseudodiphtheriticum</i> | ATCC 10700 |
| <i>Corynebacterium striatum*</i> | ATCC 43735 |
| <i>Corynebacterium urealyticum</i> | ATCC 43044 |
| <i>Lactobacillus casei</i> | ATCC 39392 |
| Grampositive organismer | Stamme-ID |
| <i>Lactobacillus paracasei</i> [*] | ATCC 25598 |
| <i>Lactobacillus acidophilus</i> [*] | ATCC 314 |
| <i>Lactobacillus crispatus</i> | ATCC 33197 |
| <i>Lactobacillus rhamnosus</i> | ATCC 39595 |
| <i>Lactococcus lactis</i> | ATCC 49032 |
| <i>Listeria innocua</i> | ATCC 33090 |
| <i>Listeria monocytogenes</i> | ATCC 7644 |
| <i>Micrococcus luteus</i> | ATCC 10240 |
| <i>Peptostreptococcus anaerobius</i> | ATCC 27337 |
| <i>Propionibacterium acnes</i> | ATCC 11827 |
| <i>Rothia mucilaginosa</i> | ATCC 25296 |

Tabell 88: Sopporganismer utenfor panelet som ble vurdert for kryssreakтивitet med cobas eplex BCID-GN-panelet (eksklusivitet)

| Sopp-patogener | Stamme-ID | Testkonsentrasjon |
|----------------------------------|---------------|-------------------------------|
| <i>Aspergillus fumigatus</i> * | ATCC 204305 | 2,50 x 10 ⁶ cfu/ml |
| <i>Candida orthopsilosis</i> | ATCC 96139 | 1 x 10 ⁷ cfu/ml |
| <i>Candida metapsilosis</i> | ATCC 96144 | 1 x 10 ⁷ cfu/ml |
| <i>Candida tropicalis</i> | ATCC 1369 | 1 x 10 ⁷ cfu/ml |
| <i>Cryptococcus grubii</i> | ATCC 208821 | 1 x 10 ⁷ cfu/ml |
| <i>Cryptococcus gattii</i> | ATCC 76108 | 1 x 10 ⁷ cfu/ml |
| <i>Cryptococcus neoformans</i> | ATCC 14116 | 1 x 10 ⁷ cfu/ml |
| <i>Geotrichum capitatum</i> | ATCC 10663 | 1 x 10 ⁷ cfu/ml |
| <i>Histoplasma capsulatum</i> | In silico | Ikke aktuelt |
| <i>Penicillium marneffei</i> | ATCC 200050 | 1 x 10 ⁷ cfu/ml |
| <i>Rhodotorula glutinis</i> | ATCC 32765 | 1 x 10 ⁷ cfu/ml |
| <i>Rhodotorula mucilaginosa</i> | ATCC 9449 | 1 x 10 ⁷ cfu/ml |
| <i>Rhodotorula minuta</i> | ATCC 36236 | 1 x 10 ⁷ cfu/ml |
| <i>Saccharomyces cervisiae</i> * | ATCC 18824 | 5,55 x 10 ⁶ cfu/ml |
| <i>Trichosporon dermatitis</i> | ATCC MYA-4294 | 1 x 10 ⁷ cfu/ml |
| <i>Trichosporon mucoides</i> | ATCC 90046 | 1 x 10 ⁷ cfu/ml |

Tabell 89: Resistensgener utenfor panelet som ble vurdert for kryssreakтивitet med cobas eplex BCID-GN-panelet (eksklusivitet)

| Gener for antimikrobiell resistens | Stamme-ID | Testkonsentrasjon |
|---|--------------|----------------------------|
| FOX (bæres av <i>Klebsiella oxytoca</i>) ^A | JMI 954306 | 8 x 10 ⁸ cfu/ml |
| MOX (bæres av <i>Aeromonas hydrophila</i>) | JMI 938982 | 1 x 10 ⁹ cfu/ml |
| SME (bæres av <i>Serratia marcescens</i>) ^A | CDC nr. 0091 | 1 x 10 ⁹ cfu/ml |
| SHV (bæres av <i>Klebsiella pneumoniae</i>) ^A | CDC nr. 0087 | 1 x 10 ⁹ cfu/ml |
| TEM (bæres av <i>Escherichia coli</i>) ^A | NCTC 13351 | 1 x 10 ⁹ cfu/ml |

A. Panelorganismen som er knyttet til resistensgenet, ble detektert av BCID-GN-panelet som forventet

Tabell 90: Gramnegative organismer utenfor panelet som ble vurdert for kryssreakтивitet med cobas eplex BCID-GN-panelet basert på *in silico*-analyse

| Kryssreaktiv organisme | cobas eplex BCID-GN-mål | Antall sekvenser | Predikerte kryssreaktive sekvenser* n (%) |
|----------------------------------|-------------------------------|------------------|---|
| <i>Fusobacterium hwasookii</i> | <i>F. nucleatum</i> | 10 | 5 (50 %) |
| <i>Haemophilus aegyptius</i> | <i>H. influenzae</i> | 3 | 3 (100 %) |
| <i>Klebsiella michiganensis</i> | <i>Klebsiella oxytoca</i> | 40 | 40 (100 %) |
| <i>Pseudomonas denitrificans</i> | <i>Pseudomonas aeruginosa</i> | 17 | 16 (94,1 %) |

Tabell 91: Grampositive organismer utenfor panelet som ble vurdert for kryssreakтивitet med analysen for grampositive organismer basert på *in silico*-analyse

| Organisme | Antall sekvenser | Predikerte kryssreaktive sekvenser n (%) |
|-------------------------------------|------------------|--|
| <i>Brevibacterium halotolerans</i> | 3 | 3 (100 %) |
| <i>Domibacillus indicus</i> | 1 | 1 (100 %) |
| <i>Domibacillus roiginosus</i> | 1 | 1 (100 %) |
| <i>Salinibacillus aidingensis</i> | 2 | 1 (50 %) |
| <i>Terribacillus aidingensis</i> | 1 | 1 (100 %) |
| <i>Terribacillus halophilus</i> | 2 | 1 (50 %) |
| <i>Terribacillus saccharophilus</i> | 1 | 1 (100 %) |
| <i>Planomicrobium okeanokoites</i> | 1 | 1 (100 %) |
| <i>Lactococcus chungangensis</i> | 4 | 4 (100 %) |
| <i>Lactococcus laudensis</i> | 1 | 1 (100 %) |
| <i>Lactococcus piscium</i> | 18 | 18 (100 %) |
| <i>Lactococcus plantarum</i> | 6 | 5 (83,8 %) |
| <i>Lactococcus raffinolactis</i> | 49 | 46 (93,9 %) |
| <i>Okadaella gastrococcus</i> | 4 | 4 (100 %) |

Positiv flaske

Flere representative bakterie- og sopporganismer ble tilsatt blodkulturflasker sammen med produsentens anbefalte mengde humant fullblod, og dyrket til positivitet i et kommersielt tilgjengelig, kontinuerlig overvåket blodkultursystem. Flaskene ble fjernet fra inkubatoren innen to timer etter at de ble identifisert som positive, og åtte timer etter at flasken ble positiv. Minst to uavhengige positive blodkulturreplikater og tre blodreplikater ble kvantifisert for hver organisme på kulturplater. **Tabell 92** viser en oppsummering av de testede organismene og omrentlige koncen-trasjoner for positiv flaske. Konsentrasjonene som er vist nedenfor, representerer omrentlige nivåer som kan observeres i en klinisk situasjon. Alle estimerte konsentrasjoner for positiv flaske tilsvarer eller er større enn den fastslåtte deteksjonsgrensen (LOD) for hver av analysene i **cobas eplex** BCID-GN-panelet. Følgende flasketyper ble brukt til studien for positiv flaske: BD BACTEC Plus Aerobic/F blodkulturflaske (*E. faecium*, *S. aureus*, *S. anginosus*, *A. baumannii*, *E. cloacae*, *E. coli*, *H. influenzae*, *K. oxytoca*, *N. meningitidis*, *P. aeruginosa* og *S. marcescens*) og BD BACTEC Lytic/10 Anaerobic/F (*B. fragilis* og *F. nucleatum*).

Tabell 92: Konsentrasjoner ved positiv flaske

| Organisme | Stamme-ID | Middelkonsentrasjon ved positiv flaske | Middelkonsentrasjon ved positiv flaske +8 timer |
|--------------------------------|---------------|--|---|
| Grampositive organismer | | | |
| <i>Enterococcus faecium</i> | ATCC BAA-2317 | $4,9 \times 10^7$ cfu/ml | $3,6 \times 10^7$ cfu/ml |
| <i>Staphylococcus aureus</i> | NRS 483 | $2,8 \times 10^7$ cfu/ml | $2,1 \times 10^7$ cfu/ml |
| <i>Streptococcus anginosus</i> | ATCC 33397 | $4,1 \times 10^7$ cfu/ml | $4,0 \times 10^8$ cfu/ml |
| Gramnegative organismer | | | |
| <i>Acinetobacter baumannii</i> | NCTC 13301 | $4,4 \times 10^8$ cfu/ml | $3,8 \times 10^8$ cfu/ml |
| <i>Bacteroides fragilis</i> | ATCC 700786 | $4,7 \times 10^8$ cfu/ml | $6,7 \times 10^9$ cfu/ml |
| <i>Enterobacter cloacae</i> | NCTC 13464 | $2,8 \times 10^8$ cfu/ml | $7,7 \times 10^8$ cfu/ml |
| <i>Escherichia coli</i> | NCTC 13476 | $2,3 \times 10^8$ cfu/ml | $1,5 \times 10^9$ cfu/ml |
| <i>Fusobacterium nucleatum</i> | ATCC 31647 | $6,5 \times 10^7$ cfu/ml | $4,9 \times 10^8$ cfu/ml |
| <i>Haemophilus influenzae</i> | ATCC 19418 | $6,9 \times 10^8$ cfu/ml | $1,2 \times 10^9$ cfu/ml |
| <i>Klebsiella oxytoca</i> | CDC nr. 0147 | $9,3 \times 10^8$ cfu/ml | $1,5 \times 10^9$ cfu/ml |
| <i>Neisseria meningitidis</i> | ATCC 13102 | $3,2 \times 10^7$ cfu/ml | $2,1 \times 10^8$ cfu/ml |
| <i>Pseudomonas aeruginosa</i> | NCTC 13476 | $1,6 \times 10^8$ cfu/ml | $8,4 \times 10^8$ cfu/ml |
| <i>Serratia marcescens</i> | ATCC 14041 | $1,2 \times 10^9$ cfu/ml | $2,2 \times 10^9$ cfu/ml |
| Sopporganismer | | | |
| <i>Candida albicans</i> | ATCC 90082 | $1,6 \times 10^6$ cfu/ml | $1,4 \times 10^6$ cfu/ml |

Reproduserbarhet

Tre positive blandinger, herunder 11 panelorganismer og 5 gener for antibiotikaresistens som representerer 17 mål ved to konsentrasjoner, og én negativ blanding, herunder en organisme utenfor panelet, ble testet. De positive blandingene ble laget ved å tilsette blodkulturisolater i negativ prøvematriks i blodkulturflasker av typen BD BACTEC Standard/10 Aerobic/F ved konsentrasjoner som gjenspeiler dem som ble observert på tidspunktet for positiv flaske, og én log høyere for å etterligne konsentrasjoner som ble observert på tidspunktet for positiv flaske pluss 8 timer.

Den negative blandingen inneholdt *Cutibacterium granulosum* dyrket i blodkulturflasker av typen BD BACTEC Lytic/10 Anaerobic/F til positiv flaske og positiv flaske pluss 8 timer, som forventes å gi negativt resultat. Flaskekonsentrasjonene som ble brukt i denne studien, er oppsummert i **tabell 93**. Hver av de tre positive blandingene ved to konsentrasjoner, og den negative blandingen, ble testet minst 108 ganger. Testing skjedde på tre steder, der to operatører testet blandingene over seks dager ved bruk av tre kassettpartier. For den negative blandingen var overensstemmelsen med forventet negativt resultat 100 % for alle målene i **cobas eplex BCID-GN-panelet**.

Tabell 93: Konsentrasjoner ved positiv flaske

| Organisme | Konsentrasjon ved positiv flaske | Konsentrasjon ved positiv flaske +8 timer |
|--|----------------------------------|---|
| <i>Acinetobacter baumannii</i> (OXA) | 1×10^8 cfu/ml | 1×10^9 cfu/ml |
| <i>Enterobacter cloacae</i> (CTX-M, KPC) | 1×10^8 cfu/ml | 1×10^9 cfu/ml |
| <i>Escherichia coli</i> (IMP) | 1×10^8 cfu/ml | 1×10^9 cfu/ml |
| <i>Fusobacterium nucleatum</i> | 1×10^7 cfu/ml | 1×10^8 cfu/ml |
| <i>Haemophilus influenzae</i> | 1×10^8 cfu/ml | 1×10^9 cfu/ml |

| Organisme | Konsentrasjon ved positiv flaske | Konsentrasjon ved positiv flaske +8 timer |
|---|----------------------------------|---|
| <i>Klebsiella oxytoca</i> | 1 x 10 ⁸ cfu/ml | 1 x 10 ⁹ cfu/ml |
| <i>Neisseria meningitidis</i> | 3 x 10 ⁷ cfu/ml | 3 x 10 ⁸ cfu/ml |
| <i>Pseudomonas aeruginosa</i> (VIM) | 1 x 10 ⁸ cfu/ml | 1 x 10 ⁹ cfu/ml |
| <i>Serratia marcescens</i> | 1 x 10 ⁸ cfu/ml | 1 x 10 ⁹ cfu/ml |
| <i>Candida albicans</i> (pan- <i>Candida</i> -mål) | 1 x 10 ⁶ cfu/ml | 1 x 10 ⁷ cfu/ml |
| <i>Staphylococcus aureus</i> (pan-grampositivt mål) | 1 x 10 ⁷ cfu/ml | 1 x 10 ⁸ cfu/ml |

Prosentoverensstemmelse med forventet resultat for hvert mål er oppsummert i **tabell 94–110**.

cobas eplex BCID-GN-panelet viser høy overensstemmelse ($\geq 98\%$) med forventede resultater.

Tabell 94: Prosentoverensstemmelse for *Acinetobacter baumannii*

| Konsentrasjon av <i>Acinetobacter baumannii</i> | Sted | Overensstemmelse med forventede resultater | | |
|--|------|--|-------------|-------------------|
| | | Stemte overens / antall | % | 95 % KI |
| Positiv flaske +8 timer (1 x 10 ⁹ cfu/ml) | 1 | 36/36 | 100 | (90,4–100) |
| | 2 | 36/36 | 100 | (90,4–100) |
| | 3 | 36/36 | 100 | (90,4–100) |
| | Alle | 108/108 | 100 | (96,6–100) |
| Positiv flaske (1 x 10 ⁸ cfu/ml) | 1 | 36/36 | 100 | (90,4–100) |
| | 2 | 36/36 | 100 | (90,4–100) |
| | 3 | 36/36 | 100 | (90,4–100) |
| | Alle | 108/108 | 100 | (96,6–100) |
| Negativ | 1 | 179/179 | 100 | (97,9–100) |
| | 2 | 178/179 | 99,4 | (96,9–99,9) |
| | 3 | 180/180 | 100 | (97,9–100) |
| | Alle | 537/538 | 99,8 | (99,0–100) |

KI = konfidensintervall

Tabell 95: Prosentoverensstemmelse for *Enterobacter cloacae*-komplekset

| Konsentrasjon av <i>Enterobacter cloacae</i> | Sted | Overensstemmelse med forventede resultater | | |
|--|------|--|------------|-------------------|
| | | Stemte overens / antall | % | 95 % KI |
| Positiv flaske +8 timer (1 x 10 ⁹ cfu/ml) | 1 | 36/36 | 100 | (90,4–100) |
| | 2 | 36/36 | 100 | (90,4–100) |
| | 3 | 36/36 | 100 | (90,4–100) |
| | Alle | 108/108 | 100 | (96,6–100) |
| Positiv flaske (1 x 10 ⁸ cfu/ml) | 1 | 35/35 | 100 | (90,1–100) |
| | 2 | 36/36 | 100 | (90,4–100) |
| | 3 | 36/36 | 100 | (90,4–100) |
| | Alle | 107/107 | 100 | (96,5–100) |
| Negativ | 1 | 180/180 | 100 | (97,9–100) |
| | 2 | 179/179 | 100 | (97,9–100) |
| | 3 | 180/180 | 100 | (97,9–100) |
| | Alle | 539/539 | 100 | (99,3–100) |

Tabell 96: Prosentoverensstemmelse for *Escherichia coli*

| Konsentrasjon av <i>Escherichia coli</i> | Sted | Overensstemmelse med forventede resultater | | |
|--|-------------|--|------------|-------------------|
| | | Stemte overens / antall | % | 95 % KI |
| Positiv flaske +8 timer (1 x 10 ⁹ cfu/ml) | 1 | 36/36 | 100 | (90,4–100) |
| | 2 | 36/36 | 100 | (90,4–100) |
| | 3 | 36/36 | 100 | (90,4–100) |
| | Alle | 108/108 | 100 | (96,6–100) |
| Positiv flaske (1 x 10 ⁸ cfu/ml) | 1 | 36/36 | 100 | (90,4–100) |
| | 2 | 35/35 | 100 | (90,1–100) |
| | 3 | 36/36 | 100 | (90,4–100) |
| | Alle | 107/107* | 100 | (96,5–100) |
| Negativ | 1 | 179/179 | 100 | (97,9–100) |
| | 2 | 180/180 | 100 | (97,9–100) |
| | 3 | 180/180 | 100 | (97,9–100) |
| | Alle | 539/539 | 100 | (99,3–100) |

* To prøver hadde falsk positivt resultat for *Bacteroides fragilis*.

Tabell 97: Prosentoverensstemmelse for *Fusobacterium nucleatum*

| Konsentrasjon av <i>Fusobacterium nucleatum</i> | Sted | Overensstemmelse med forventede resultater | | |
|--|-------------|--|------------|-------------------|
| | | Stemte overens / antall | % | 95 % KI |
| Positiv flaske +8 timer (1 x 10 ⁸ cfu/ml) | 1 | 36/36 | 100 | (90,4–100) |
| | 2 | 35/35 | 100 | (90,1–100) |
| | 3 | 36/36 | 100 | (90,4–100) |
| | Alle | 107/107 | 100 | (96,5–100) |
| Positiv flaske (1 x 10 ⁷ cfu/ml) | 1 | 36/36 | 100 | (90,4–100) |
| | 2 | 36/36 | 100 | (90,4–100) |
| | 3 | 36/36 | 100 | (90,4–100) |
| | Alle | 108/108* | 100 | (96,6–100) |
| Negativ | 1 | 179/179 | 100 | (97,9–100) |
| | 2 | 180/180 | 100 | (97,9–100) |
| | 3 | 180/180 | 100 | (97,9–100) |
| | Alle | 539/539 | 100 | (99,3–100) |

* Én prøve hadde falsk positivt resultat for *Fusobacterium necrophorum*.

Tabell 98: Prosentoverensstemmelse for *Haemophilus influenzae*

| Konsentrasjon av <i>Haemophilus influenzae</i> | Sted | Overensstemmelse med forventede resultater | | |
|--|-------------|--|------------|-------------------|
| | | Stemte overens / antall | % | 95 % KI |
| Positiv flaske +8 timer (1 x 10 ⁹ cfu/ml) | 1 | 36/36 | 100 | (90,4–100) |
| | 2 | 36/36 | 100 | (90,4–100) |
| | 3 | 36/36 | 100 | (90,4–100) |
| | Alle | 108/108 | 100 | (96,6–100) |
| Positiv flaske (1 x 10 ⁸ cfu/ml) | 1 | 36/36 | 100 | (90,4–100) |
| | 2 | 36/36 | 100 | (90,4–100) |
| | 3 | 36/36 | 100 | (90,4–100) |
| | Alle | 108/108 | 100 | (96,6–100) |

| Konsentrasjon av <i>Haemophilus influenzae</i> | Sted | Overensstemmelse med forventede resultater | | |
|---|------|--|------------|-------------------|
| | | Stemte overens / antall | % | 95 % KI |
| Negativ | 1 | 179/179 | 100 | (97,9–100) |
| | 2 | 179/179 | 100 | (97,9–100) |
| | 3 | 180/180 | 100 | (97,9–100) |
| | Alle | 538/538 | 100 | (99,3–100) |

Tabell 99: Prosentoverensstemmelse for *Klebsiella oxytoca*

| Konsentrasjon av <i>Klebsiella oxytoca</i> | Sted | Overensstemmelse med forventede resultater | | |
|--|------|--|------------|-------------------|
| | | Stemte overens / antall | % | 95 % KI |
| Positiv flaske +8 timer (1 x 10 ⁹ cfu/ml) | 1 | 36/36 | 100 | (90,4–100) |
| | 2 | 36/36 | 100 | (90,4–100) |
| | 3 | 36/36 | 100 | (90,4–100) |
| | Alle | 108/108 | 100 | (96,6–100) |
| Positiv flaske (1 x 10 ⁸ cfu/ml) | 1 | 36/36 | 100 | (90,4–100) |
| | 2 | 36/36 | 100 | (90,4–100) |
| | 3 | 36/36 | 100 | (90,4–100) |
| | Alle | 108/108 | 100 | (96,6–100) |
| Negativ | 1 | 179/179 | 100 | (97,9–100) |
| | 2 | 179/179 | 100 | (97,9–100) |
| | 3 | 180/180 | 100 | (97,9–100) |
| | Alle | 538/538 | 100 | (99,3–100) |

Tabell 100: Prosentoverensstemmelse for *Neisseria meningitidis*

| Konsentrasjon av <i>Neisseria meningitidis</i> | Sted | Overensstemmelse med forventede resultater | | |
|--|------|--|------------|-------------------|
| | | Stemte overens / antall | % | 95 % KI |
| Positiv flaske +8 timer (3 x 10 ⁸ cfu/ml) | 1 | 35/35 | 100 | (90,1–100) |
| | 2 | 36/36 | 100 | (90,4–100) |
| | 3 | 36/36 | 100 | (90,4–100) |
| | Alle | 107/107 | 100 | (96,5–100) |
| Positiv flaske (3 x 10 ⁷ cfu/ml) | 1 | 36/36 | 100 | (90,4–100) |
| | 2 | 36/36 | 100 | (90,4–100) |
| | 3 | 36/36 | 100 | (90,4–100) |
| | Alle | 108/108 | 100 | (96,6–100) |
| Negativ | 1 | 180/180 | 100 | (97,9–100) |
| | 2 | 179/179 | 100 | (97,9–100) |
| | 3 | 180/180 | 100 | (97,9–100) |
| | Alle | 539/539 | 100 | (99,3–100) |

Tabell 101: Prosentoverensstemmelse for *Pseudomonas aeruginosa*

| Konsentrasjon av <i>Pseudomonas aeruginosa</i> | Sted | Overensstemmelse med forventede resultater | | |
|---|-------------|--|------------|-------------------|
| | | Stemte overens / antall | % | 95 % KI |
| Positiv flaske +8 timer (1×10^9 cfu/ml) | 1 | 36/36 | 100 | (90,4–100) |
| | 2 | 35/35 | 100 | (90,1–100) |
| | 3 | 36/36 | 100 | (90,4–100) |
| | Alle | 107/107 | 100 | (96,5–100) |
| Positiv flaske (1×10^8 cfu/ml) | 1 | 36/36 | 100 | (90,4–100) |
| | 2 | 36/36 | 100 | (90,4–100) |
| | 3 | 36/36 | 100 | (90,4–100) |
| | Alle | 108/108 | 100 | (96,6–100) |
| Negativ | 1 | 179/179 | 100 | (97,9–100) |
| | 2 | 180/180 | 100 | (97,9–100) |
| | 3 | 180/180 | 100 | (97,9–100) |
| | Alle | 539/539 | 100 | (99,3–100) |

Tabell 102: Prosentoverensstemmelse for *Serratia*

| Konsentrasjon av <i>Serratia marcescens</i> | Sted | Overensstemmelse med forventede resultater | | |
|---|-------------|--|------------|-------------------|
| | | Stemte overens / antall | % | 95 % KI |
| Positiv flaske +8 timer (1×10^9 cfu/ml) | 1 | 35/35 | 100 | (90,1–100) |
| | 2 | 36/36 | 100 | (90,4–100) |
| | 3 | 36/36 | 100 | (90,4–100) |
| | Alle | 107/107 | 100 | (96,5–100) |
| Positiv flaske (1×10^8 cfu/ml) | 1 | 36/36 | 100 | (90,4–100) |
| | 2 | 36/36 | 100 | (90,4–100) |
| | 3 | 36/36 | 100 | (90,4–100) |
| | Alle | 108/108 | 100 | (96,6–100) |
| Negativ | 1 | 180/180 | 100 | (97,9–100) |
| | 2 | 179/179 | 100 | (97,9–100) |
| | 3 | 180/180 | 100 | (97,9–100) |
| | Alle | 539/539 | 100 | (99,3–100) |

Tabell 103: Prosentoverensstemmelse for *Serratia marcescens*

| Konsentrasjon av <i>Serratia marcescens</i> | Sted | Overensstemmelse med forventede resultater | | |
|--|------|--|------------|-------------------|
| | | Stemte overens / antall | % | 95 % KI |
| Positiv flaske +8 timer (1 x 10 ⁹ cfu/ml) | 1 | 35/35 | 100 | (90,1–100) |
| | 2 | 36/36 | 100 | (90,4–100) |
| | 3 | 36/36 | 100 | (90,4–100) |
| | Alle | 107/107 | 100 | (96,5–100) |
| Positiv flaske (1 x 10 ⁸ cfu/ml) | 1 | 36/36 | 100 | (90,4–100) |
| | 2 | 36/36 | 100 | (90,4–100) |
| | 3 | 36/36 | 100 | (90,4–100) |
| | Alle | 108/108 | 100 | (96,6–100) |
| Negativ | 1 | 180/180 | 100 | (97,9–100) |
| | 2 | 179/179 | 100 | (97,9–100) |
| | 3 | 180/180 | 100 | (97,9–100) |
| | Alle | 539/539 | 100 | (99,3–100) |

Tabell 104: Prosentoverensstemmelse for pan-*Candida*

| Konsentrasjon av <i>Candida albicans</i> | Sted | Overensstemmelse med forventede resultater | | |
|--|------|--|-------------|--------------------|
| | | Stemte overens / antall | % | 95 % KI |
| Positiv flaske +8 timer (1 x 10 ⁷ cfu/ml) | 1 | 35/35 | 100 | (90,1–100) |
| | 2 | 36/36 | 100 | (90,4–100) |
| | 3 | 36/36 | 100 | (90,4–100) |
| | Alle | 107/107 | 100 | (96,5–100) |
| Positiv flaske (1 x 10 ⁶ cfu/ml) | 1 | 35/36 | 97,2 | (85,8–99,5) |
| | 2 | 36/36 | 100 | (90,4–100) |
| | 3 | 36/36 | 100 | (90,4–100) |
| | Alle | 107/108 | 99,1 | (94,9–99,8) |
| Negativ | 1 | 180/180 | 100 | (97,9–100) |
| | 2 | 179/179 | 100 | (97,9–100) |
| | 3 | 180/180 | 100 | (97,9–100) |
| | Alle | 539/539 | 100 | (99,3–100) |

Tabell 105: Prosentoverensstemmelse for pan-grampositive organismer

| Konsentrasjon av <i>Staphylococcus aureus</i> | Sted | Overensstemmelse med forventede resultater | | |
|--|------|--|-------------|--------------------|
| | | Stemte overens / antall | % | 95 % KI |
| Positiv flaske +8 timer (1 x 10 ⁸ cfu/ml) | 1 | 36/36 | 100 | (90,4–100) |
| | 2 | 36/36 | 100 | (90,4–100) |
| | 3 | 36/36 | 100 | (90,4–100) |
| | Alle | 108/108 | 100 | (96,6–100) |
| Positiv flaske (1 x 10 ⁷ cfu/ml) | 1 | 34/36 | 94,4 | (81,9–98,5) |
| | 2 | 35/35 | 100 | (90,1–100) |
| | 3 | 36/36 | 100 | (90,4–100) |
| | Alle | 105/107 | 98,1 | (93,4–99,5) |

| Konsentrasjon av <i>Staphylococcus aureus</i> | Sted | Overensstemmelse med forventede resultater | | |
|--|------|--|-------------|-------------------|
| | | Stemte overens / antall | % | 95 % KI |
| Negativ | 1 | 179/179 | 100 | (97,9–100) |
| | 2 | 179/180 | 99,4 | (96,9–99,9) |
| | 3 | 180/180 | 100 | (97,9–100) |
| | Alle | 538/539 | 99,8 | (99,0–100) |

Tabell 106: Prosentoverensstemmelse for CTX-M

| Konsentrasjon av <i>Enterobacter cloacae</i> (CTX-M+, KPC+) | Sted | Overensstemmelse med forventede resultater | | |
|---|------|--|------------|-------------------|
| | | Stemte overens / antall | % | 95 % KI |
| Positiv flaske +8 timer (1 x 10 ⁹ cfu/ml) | 1 | 36/36 | 100 | (90,4–100) |
| | 2 | 36/36 | 100 | (90,4–100) |
| | 3 | 36/36 | 100 | (90,4–100) |
| | Alle | 108/108 | 100 | (96,6–100) |
| Positiv flaske (1 x 10 ⁸ cfu/ml) | 1 | 35/35 | 100 | (90,1–100) |
| | 2 | 36/36 | 100 | (90,4–100) |
| | 3 | 36/36 | 100 | (90,4–100) |
| | Alle | 107/107 | 100 | (96,5–100) |
| Negativ | 1 | 144/144 | 100 | (97,4–100) |
| | 2 | 143/143 | 100 | (97,4–100) |
| | 3 | 144/144 | 100 | (97,4–100) |
| | Alle | 431/431 | 100 | (99,1–100) |

Tabell 107: Prosentoverensstemmelse for IMP

| Konsentrasjon av <i>Escherichia coli</i> (IMP+) | Sted | Overensstemmelse med forventede resultater | | |
|--|------|--|-------------|--------------------|
| | | Stemte overens / antall | % | 95 % KI |
| Positiv flaske +8 timer (1 x 10 ⁹ cfu/ml) | 1 | 36/36 | 100 | (90,4–100) |
| | 2 | 35/36 | 97,2 | (85,8–99,5) |
| | 3 | 36/36 | 100 | (90,4–100) |
| | Alle | 107/108 | 99,1 | (94,9–99,8) |
| Positiv flaske (1 x 10 ⁸ cfu/ml) | 1 | 36/36 | 100 | (90,4–100) |
| | 2 | 35/35 | 100 | (90,1–100) |
| | 3 | 35/36 | 97,2 | (85,8–99,5) |
| | Alle | 106/107 | 99,1 | (94,9–99,8) |
| Negativ | 1 | 143/143 | 100 | (97,4–100) |
| | 2 | 144/144 | 100 | (97,4–100) |
| | 3 | 144/144 | 100 | (97,4–100) |
| | Alle | 431/431 | 100 | (99,1–100) |

Tabell 108: Prosentoverensstemmelse for KPC

| Konsentrasjon av <i>Enterobacter cloacae</i> (CTX-M+, KPC+) | Sted | Overensstemmelse med forventede resultater | | |
|---|-------------|--|------------|-------------------|
| | | Stemte overens / antall | % | 95 % KI |
| Positiv flaske +8 timer (1 x 10 ⁹ cfu/ml) | 1 | 36/36 | 100 | (90,4–100) |
| | 2 | 36/36 | 100 | (90,4–100) |
| | 3 | 36/36 | 100 | (90,4–100) |
| | Alle | 108/108 | 100 | (96,6–100) |
| Positiv flaske (1 x 10 ⁸ cfu/ml) | 1 | 35/35 | 100 | (90,16–100) |
| | 2 | 36/36 | 100 | (90,4–100) |
| | 3 | 36/36 | 100 | (90,4–100) |
| | Alle | 107/107 | 100 | (96,5–100) |
| Negativ | 1 | 144/144 | 100 | (97,4–100) |
| | 2 | 143/143 | 100 | (97,4–100) |
| | 3 | 144/144 | 100 | (97,4–100) |
| | Alle | 431/431 | 100 | (99,1–100) |

Tabell 109: Prosentoverensstemmelse for OXA

| Konsentrasjon av <i>Acinetobacter baumannii</i> (OXA-23+) | Sted | Overensstemmelse med forventede resultater | | |
|---|-------------|--|------------|-------------------|
| | | Stemte overens / antall | % | 95 % KI |
| Positiv flaske +8 timer (1 x 10 ⁹ cfu/ml) | 1 | 36/36 | 100 | (90,4–100) |
| | 2 | 36/36 | 100 | (90,4–100) |
| | 3 | 36/36 | 100 | (90,4–100) |
| | Alle | 108/108 | 100 | (96,6–100) |
| Positiv flaske (1 x 10 ⁸ cfu/ml) | 1 | 36/36 | 100 | (90,4–100) |
| | 2 | 36/36 | 100 | (90,4–100) |
| | 3 | 36/36 | 100 | (90,4–100) |
| | Alle | 108/108 | 100 | (96,6–100) |
| Negativ | 1 | 143/143 | 100 | (97,4–100) |
| | 2 | 143/143 | 100 | (97,4–100) |
| | 3 | 144/144 | 100 | (97,4–100) |
| | Alle | 430/430 | 100 | (99,1–100) |

Tabell 110: Prosentoverensstemmelse for VIM

| Konsentrasjon av <i>Pseudomonas aeruginosa</i> (VIM+) | Sted | Overensstemmelse med forventede resultater | | |
|---|-------------|--|------------|-------------------|
| | | Stemte overens / antall | % | 95 % KI |
| Positiv flaske +8 timer (1 x 10 ⁹ cfu/ml) | 1 | 36/36 | 100 | (90,4–100) |
| | 2 | 35/35 | 100 | (90,1–100) |
| | 3 | 36/36 | 100 | (90,4–100) |
| | Alle | 107/107 | 100 | (96,5–100) |
| Positiv flaske (1 x 10 ⁸ cfu/ml) | 1 | 36/36 | 100 | (90,4–100) |
| | 2 | 36/36 | 100 | (90,4–100) |
| | 3 | 36/36 | 100 | (90,4–100) |
| | Alle | 108/108 | 100 | (96,6–100) |
| Negativ | 1 | 143/143 | 100 | (97,4–100) |
| | 2 | 144/144 | 100 | (97,4–100) |
| | 3 | 144/144 | 100 | (97,4–100) |
| | Alle | 431/431 | 100 | (99,1–100) |

Påvirkningsstoffer og ekvivalens med prøvematriks (flaskeevaluering)

Tre organismeblandinger, bestående av 12 panelorganismer som representerer 16 mål, og negativ blodmatriks ble brukt til å vurdere potensielle påvirkningsstoffer og flasketyper for påvirkning. Konsentrasjonen av hver testede organisme er oppsummert i **tabell 111**.

Tabell 111: Organismekonsentrasjoner for evaluering av påvirkningsstoffer og flaskeequivale

| Organisme | Konsentrasjon |
|---|----------------------------|
| <i>Acinetobacter baumanii</i> | 4 x 10 ⁸ cfu/ml |
| <i>Bacteroides fragilis</i> | 4 x 10 ⁸ cfu/ml |
| <i>Enterobacter aerogenes</i> | 2 x 10 ⁸ cfu/ml |
| <i>Enterobacter cloacae</i> (CTX-M) | 2 x 10 ⁸ cfu/ml |
| <i>Escherichia coli</i> (OXA) | 2 x 10 ⁸ cfu/ml |
| <i>Haemophilus influenzae</i> | 6 x 10 ⁸ cfu/ml |
| <i>Klebsiella oxytoca</i> | 9 x 10 ⁸ cfu/ml |
| <i>Neisseria meningitidis</i> | 3 x 10 ⁷ cfu/ml |
| <i>Pseudomonas aeruginosa</i> (IMP) | 1 x 10 ⁸ cfu/ml |
| <i>Serratia marcescens</i> | 1 x 10 ⁹ cfu/ml |
| <i>Staphylococcus aureus</i> (pan-grampositivt mål) | 2 x 10 ⁷ cfu/ml |
| <i>Candida albicans</i> (pan- <i>Candida</i> -mål) | 1 x 10 ⁶ cfu/ml |

Påvirkningsstoffer

Atten stoffer ble brukt til å vurdere **cobas eplex** BCID-GN-panelet for potensiell påvirkning. Organismene i **tabell 111** ble tilsatt i negativ blodmatriks og testet tredobbelt med og uten hvert av de potensielle påvirkningsstoffene. Negativ blodmatriks ble testet for å kontrollere for potensiell positiv påvirkning. Potensielle påvirkningsstoffer er oppsummert i **tabell 112**. Ingen av de 18 stoffene som ofte finnes i blodkulturprøver eller som vanlige medikamenter til behandling av hud- eller blodstrøminfeksjoner, hemmet **cobas eplex** BCID-GN-panelet i de klinisk relevante konsentrasjonene. Effekten av påvirkningsstoffer er bare evaluert for stoffene som er oppført i **tabell 112**. Påvirkning fra andre stoffer enn de som er beskrevet i denne delen, kan gi feil resultater.

Tabell 112: Potensielle påvirkningsstoffer: Stoffliste

| Endogene stoffer | Testkonsentrasjon |
|---------------------------|-------------------------------|
| Bilirubin | 60 µg/ml |
| Hemoglobin | 0,6 g/l |
| DNA fra humant genom | 6 x 10 ⁵ kopier/ml |
| Triglyserider | 1000 mg/dl |
| γ-globulin | 0,85 g/dl |
| Eksogene stoffer | Testkonsentrasjon |
| Amoksicillin/klavulanat | 3,5 µg/ml |
| Amfotericin B | 2 µg/ml |
| Caspofungin | 4,5 µg/ml |
| Ceftriakson | 0,23 mg/ml |
| Ciprofloksacin | 3 mg/l |
| Flukonazol | 25 mg/l |
| Flucytosin | 90 µg/ml |
| Gentamicinsulfat | 3 µg/ml |
| Heparin | 0,9 U/ml |
| Imipenem | 83 µg/ml |
| Natriumpolyanetolsulfonat | 0,25 % vekt/volum |
| Tetrasyklin | 5 mg/l |
| Vankomycin | 30 mg/l |

Ekvivalens med prøvematriks (flaskeevaluering)

Tretten flasketyper ble testet for påvirkning med hver av organismene som er oppført i **tabell 111**. Fem replikater av hver organisme ble testet i hvert av to flaskepartier. Negativ blodmatriks ble kjørt som en negativ kontroll. Tolv av de testede flasketypene viste ingen påvirkning for noen av de testede målene. Ett av tre partier med testede flasker av typen BACTEC™ Lytic Anaerobic viste redusert sensitivitet for enkelte mål. **Tabell 113** viser en oppsummering av de vurderte flasketypene og studieresultatene.

Tabell 113: Flasketyper for ekvivalens med prøvematriks (flaskeevaluering)

| Produsent | Flaskemerke | Flasketype | Studieresultat |
|--------------------|-------------|------------------------------|---|
| BD | BACTEC™ | Plus Aerobic | Ingen påvirkning observert |
| BD | BACTEC | Plus Anaerobic | Ingen påvirkning observert |
| BD | BACTEC | Standard Aerobic | Ingen påvirkning observert |
| BD | BACTEC | Standard Anaerobic | Ingen påvirkning observert |
| BD | BACTEC | Peds Plus™ | Ingen påvirkning observert |
| BD | BACTEC | Lytic Anaerobic | Falske negative resultater ble observert for pan- <i>Candida</i> , <i>Enterobacter cloacae</i> , <i>Escherichia coli</i> , CTX-M og OXA i ett av tre partier* |
| bioMérieux | BACT/ALERT® | SA Standard Aerobic | Ingen påvirkning observert |
| bioMérieux | BACT/ALERT | SN Standard Anaerobic | Ingen påvirkning observert |
| bioMérieux | BACT/ALERT | FA Plus | Ingen påvirkning observert |
| bioMérieux | BACT/ALERT | FN Plus | Ingen påvirkning observert |
| bioMérieux | BACT/ALERT | PF Plus | Ingen påvirkning observert |
| Thermo Scientific™ | VersaTREK™ | REDOX™ 1 EZ Draw Aerobic | Ingen påvirkning observert |
| Thermo Scientific | VersaTREK | REDOX 2 EZ Draw Anaerobic | Ingen påvirkning observert |

* 2/15 replikater var falske negative for pan-*Candida*, 1/15 replikater var falske negative for *Enterobacter cloacae*, 1/15 replikater var falske negative for *Escherichia coli* (OXA-48), 2/15 replikater var falske negative for CTX-M

Overdrag og krysskontaminasjon

Overdrag og krysskontaminasjon ble evaluert for **cobas eplex** BCID-GN-panelet innenfor og mellom kjøringer ved å veksle mellom høyt positive og negative prøver over flere kjøringer i løpet av 5 testrunder. En blanding med høyt titer av OXA-positive *Escherichia coli*, CTX-M og KPC-positive *Enterobacter cloacae*, *Salmonella enterica* og *Enterococcus faecalis* (pan-gramnegativ målorganisme) ble laget ved 1×10^9 cfu/ml hver, samt *Candida krusei* (pan-*Candida*-målorganisme) ved 1×10^7 cfu/ml, for å simulere klinisk relevante høyt positive prøver for positiv testing. Negativ blodkulturmatriks ble brukt til å representere negative prøver. Av 120 kjøringer medførte alle gyldige positive kjøringer deteksjon av *Escherichia coli*, *Enterobacter cloacae*-komplekset, *Salmonella*, OXA, CTX-M, KPC, pan-grampositive organismer og pan-*Candida*, og ingen falske positive resultater ble detektert i de negative kjøringene.

Studie av kompetitiv hemming

Kompetitiv hemming ble evaluert for **cobas eplex** BCID-GN-panelet ved å slå sammen åtte klinisk relevante organismer (herunder et pan-grampositivt analysemål og en grampositiv organisme utenfor panelet) i fire simulerte prøveblandinger med dobbelinfeksjon. Hver blanding med dobbelinfeksjon ble testet i kombinasjon med hver av de andre tre blandingene, slik at alle organismene ble testet ved lavt titer (forventet konsentrasjon ved positiv flaske) i nærvær av andre organismer ved høyere titer (forventede konsentrasjoner ved 8 timer etter positiv flaske, eller ~ én log høyere enn forventet ved positiv flaske). Det ble ikke observert kompetitiv hemming i replikater av de tolv testsituasjonene. **Tabell 114** viser en oppsummering av de vurderte organismene og testkonsentrasjonene.

Tabell 114: Kompetiv hemming – testede organismer og konsentrasjoner

| Organisme | Høy konsentrasjon | Lav konsentrasjon |
|--|------------------------|------------------------|
| <i>Klebsiella pneumoniae</i> | 1×10^9 cfu/ml | 9×10^8 cfu/ml |
| <i>Escherichia coli</i> (CTX-M+) | 1×10^9 cfu/ml | 2×10^8 cfu/ml |
| <i>Enterobacter cloacae</i> (VIM+) | 7×10^8 cfu/ml | 2×10^8 cfu/ml |
| <i>Klebsiella oxytoca</i> (KPC+) | 1×10^9 cfu/ml | 9×10^8 cfu/ml |
| <i>Pseudomonas aeruginosa</i> (IMP+) | 8×10^8 cfu/ml | 1×10^8 cfu/ml |
| <i>Serratia marcescens</i> | 2×10^9 cfu/ml | 1×10^9 cfu/ml |
| <i>Staphylococcus aureus</i> | 1×10^8 cfu/ml | 2×10^7 cfu/ml |
| <i>Corynebacterium striatum</i> ^A | 2×10^9 cfu/ml | 4×10^6 cfu/ml |

A. Organisme utenfor panelet

FEILSØKING

Tabell 115: Feilsøkingstabell

Brukerveitshåndboken for **cobas eplex** inneholder en fullstendig liste over alle feilmeldinger i **cobas eplex** og en beskrivelse av meldingene.

| Feil | Feilmeldinger | Beskrivelse | Anbefalinger om å kjøre testen på nytt |
|--------------------------|--|---|--|
| Testen startet ikke | <p>«Cartridge failure» (kassettfeil) «The cartridge initialization test failed» (initialiseringstesten for kassetten mislyktes) «Cartridge not present» (kassett mangler) «Bay heater failure» (feil på varmeelement i stasjon) «Unknown error» (ukjent feil) «Bay main / fluid motor failure» (feil på hoved-/væskemotor i stasjon) «Bay over pressured» (overtrykk i stasjon) «Bay temperature out of range» (stasjonstemperatur utenfor verdiområdet) «The system was unable to read the cartridge» (systemet kan ikke avlese kassetten) «Cartridge inserted doesn't match the serial number of the cartridge scanned» (kassetten som er satt inn, stemmer ikke med serienummeret til den skannede kassetten) «The system is not ready to accept the cartridge» (systemet er ikke klart til å ta imot kassetten) «The system was unable to enable cartridge insertion for the bay» (systemet kan ikke aktivere kassettinnsetting for stasjonen) «The system failed to prepare the cartridge for processing» (systemets klargjøring av kassetten for behandling mislyktes) «The cartridge initialization test failed» (initialiseringstesten for kassetten mislyktes) «The system rejected an attempt to process a previously used cartridge» (systemet avviste et forsøk på å behandle en kassett som har vært brukt før)</p> | <p>Feil som oppstår under initialisering av kassetten når den settes inn i stasjonen. Initialisering skjer første gang kassetten settes inn i stasjonen og tar cirka 90 sekunder.</p> <p>Når initialiseringen av kassetten er fullført, kan den ikke gjenbrukes, men frem til dette tidspunktet kan den testes på nytt.</p> <p>Se på merkingen på kassetten når du tar den ut for å verifisere at initialiseringen er fullført. Hvis det er hull i merkingen på cobas eplex BCID-GN-kassetten, er initialiseringen påbegynt og kassetten kan ikke testes på nytt. Hvis det ikke er hull i merkingen, følger du anbefalinger som er gitt.</p> | <ol style="list-style-type: none"> 1. Ta kassetten ut av stasjonen. <ol style="list-style-type: none"> a. Tilbakestill stasjonen for å slette feilen. b. Sett kassetten inn på nytt i en ledig stasjon. 2. Hvis kassetten ikke initialiseres på andre forsøk og det på nytt oppstår feil under initialisering, har det oppstått et problem med kassetten. Denne kassetten skal kastes i samsvar med laboratoriets prosedyrer, og prøven skal kjøres på nytt med en ny kassett. Tilbakestill stasjonen(e) for å slette feilene. Ta kontakt med teknisk støtte hos Roche for å varsle om problemet. <p>Hvis feilen vedvarer (blinker rødt) i stasjonen etter at kassetten er fjernet, må stasjonen tilbakestilles via menyen Bay Configuration (stasjonskonfigurasjon) før den kan brukes til å kjøre kassetter.</p> |
| Testen ble ikke fullført | «Bay heater failure» (feil på varmeelement i stasjon) | Denne typen feil oppstår under kjøring etter at initialisering er fullført, og medfører at behandlingen av kassetten ikke blir fullført. | Reagensene er brukt opp, og kassetten kan ikke gjenbrukes. Ta kontakt med teknisk støtte hos Roche, og test prøven på nytt med en ny kassett. |

cobas eplex BCID gram-negative panel (panel for identifikasjon av gramnegative organismer)

| Feil | Feilmeldinger | Beskrivelse | Anbefalinger om å kjøre testen på nytt |
|-------------|---|--|---|
| | <p>«Bay main / fluid motor failure» (feil på hoved-/væskemotor i stasjon)</p> <p>«Bay voltage failure» (spenningsfeil i stasjon)</p> <p>«Bay sub-system communication timeout» (tidsavbrudd i kommunikasjonen i stasjonens undersystem)</p> <p>«Bay over pressured» (overtrykk i stasjon)</p> <p>«Bay auto-calibration failure» (feil ved automatisk kalibrering av stasjon)</p> <p>«Bay temperature out of range» (stasjonstemperatur utenfor verdiområdet)</p> <p>«The system was unable to eject the cartridge from the bay» (systemet kan ikke løse ut kassetten fra stasjonen)</p> | | Hvis feilen vedvarer (blinker rødt) i stasjonen etter at kassetten er fjernet, må stasjonen tilbakestilles via menyen Bay Configuration (stasjonskonfigurasjon) før den kan brukes til å kjøre kassetter. |
| Ugyldig | | Denne feilen medfører at ingen gyldige resultater genereres. En testrapport blir generert, men alle mål og interne kontroller vil være ugyldige. | Reagensene er brukt opp, og kassetten kan ikke gjenbrukes. Ta kontakt med teknisk støtte hos Roche, og test prøven på nytt med en ny kassett. |

Teknisk støtte (USA)

Teknisk støtte hos Roche er tilgjengelig hele døgnet, 7 dager i uken, for å tilby best mulig kundestøtte og -tilfredshet.

GenMark Diagnostics, Inc. Medlem av Roche-gruppen
5964 La Place Court
Carlsbad, CA 92008 USA

I USA kontaktes:

Teknisk støtte: 833.943.6627 (833.9GENMAR) eller cad.technical_support_us@roche.com.

Kundeservice: 1-800-428-5076

Teknisk støtte (internasjonalt)

For teknisk brukerstøtte (hjelp), kontakt din lokale Roche-representant:

https://www.roche.com/about/business/roche_worldwide.htm.

SYMBOLLISTE

| Symbol | Beskrivelse | Symbol | Beskrivelse |
|-----------------|---|--------------|---|
| LOT | Partikode | | Utløpsdato ÅÅÅÅ-MM-DD |
| | Forsiktig | SN | Serienummer |
| | Inneholder tilstrekkelig til <n> tester | REF | Katalognummer |
| | Samsvar i EU | | Biologisk risiko |
| IVD | <i>In vitro</i> -diagnostisk medisinsk utstyr | | Øvre temperaturgrense |
| | Vennligst se bruksanvisningen | | Nedre temperaturgrense |
| EC REP | Autorisert representant i EU | | Temperaturområde |
| | Produsent | | Irriterende stoff, hudsensibilisering, akutt toksitet (skadelig), narkotiske virkninger, luftveisirritasjon |
| C. LOT | Kassettlot | | Oksideringsmidler |
| Rx Only | Kun for reseptbelagt bruk | UK CA | Samsvarsvurdert i Storbritannia |
| UDI | Unik utstyrts-ID | GTIN | Globalt handelsnummer |
| | Engangsbruk | | Importør |
| Roche PN | Roche-delenummer | | |

REFERANSEINFORMASJON

1. Angus, Derek C., et al. (2013) Severe Sepsis and Septic Shock. *New England Journal of Medicine*, 369(9) 840-851. DOI: 10.1056/NEJMra1208623
2. Centers for Disease Control and Prevention. Gram-negative Bacteria Infections in Healthcare Settings. Retrieved from <https://www.cdc.gov/hai/organisms/gram-negative-bacteria.html>
3. Korytny, Alexander, et al. (2016) Bloodstream infections caused by multi-drug resistant *Proteus mirabilis*: Epidemiology, risk factors and impact of multi-drug resistance. *Infectious Diseases (London)*, 48(6) 428-431. DOI: 10.3109/23744235.2015.1129551
4. Abbo, Ahron, et al. (2005) Multidrug-resistant *Acinetobacter baumannii*. *Emerging Infectious Diseases*, 11(1) 22-29. DOI: 10.3201/eid1101.04000
5. Centers for Disease Control and Prevention. *Acinetobacter* in Healthcare Settings. Retrieved from <http://www.cdc.gov/hai/organisms/acinetobacter.html>
6. Cunha, Burke A., et al. (2016) *Acinetobacter*. Retrieved from <http://emedicine.medscape.com/article/236891-overview> March 15
7. CLSI. (2013) *Performance Standards for Antimicrobial Susceptibility Testing; Twenty-Third Informational Supplement*. CLSI document M100-S23. Wayne, PA. Clinical and Laboratory Standards Institute.
8. Bonomo, Robert A., et al. (2006) Mechanisms of Multidrug Resistance in *Acinetobacter* Species and *Pseudomonas aeruginosa*. *Clinical Infectious Diseases*, 43(S2) S49–S56. DOI: 10.1086/504477
9. Boulanger, Anne, et al. (2012) NDM-1-Producing *Acinetobacter baumannii* from Algeria. *Antimicrobial Agents and Chemotherapy*, 56(4) 2214–2215. DOI: 10.1128/AAC.05653-11
10. Martinez, T., et al. (2016) Genetic environment of the KPC gene in *Acinetobacter baumannii* ST2 clone from Puerto Rico and genomic insights into its drug resistance. *Journal of Medical Microbiology*, 65(8) 784-792. DOI: 10.1099/jmm.0.000289
11. Aldridge, Kenneth E., et al. (2003) Bacteremia Due to *Bacteroides fragilis* Group: Distribution of Species, B-Lactamase Production, and Antimicrobial Susceptibility Patterns. *Antimicrobial Agents and Chemotherapy*, 47(1) 148-153. DOI: 10.1128/AAC.47.1.148–153.2003
12. Jouseimies-Simer, Hannele, et al. (2002) *Wadsworth-Ktl Anaerobic Bacteriology Manual 6th Edition*. Start Now Pr.
13. Hetch, David, W. *Bacteroides* species. Retrieved from <http://www.antimicrobe.org/b85.asp#r116>
14. Gill, MA. (1999) Citrobacter urinary tract infections in children. *The Pediatric Infectious Disease Journal*, 18(10) 889-92.
15. Antonelli, Alberto, et al. (2015) OXA-372, a novel carbapenem-hydrolysing class D b-lactamase from a *Citrobacter freundii* isolated from a hospital wastewater plant. *Journal of Antimicrobial Chemotherapy*, 70(10) 2749–2756. DOI: 10.1093/jac/dkv181
16. Du, Xiao-Xing, et al. (2013) Genetic characteristics of blaNDM-1-positive plasmid in *Citrobacter freundii* isolate separated from a clinical infectious patient. *Journal of Medical Microbiology* 62, 1332–1337. DOI: 10.1099/jmm.0.057091-0
17. Gaibani, Paolo, et al. (2013) Outbreak of *Citrobacter freundii* carrying VIM-1 in an Italian Hospital, identified during the carbapenemases screening actions. *International Journal of Infectious Diseases*, 17(9) e714–e717.
18. Millán, Beatriz, et al. (2011) CTX-M-14 b-lactamase-producing *Citrobacter freundii* isolated in Venezuela. Millán et al. *Annals of Clinical Microbiology and Antimicrobials*, 10:22. DOI: 10.1186/1476-0711-10-22
19. Peter, S., et al. (2014) Emergence of *Citrobacter freundii* carrying IMP-8 metallo-b-lactamase in Germany. *New Microbes and New Infections*, 2(2) 42-45. DOI: 10.1002/nmi2.36
20. Zhang, Rong, et al. (2008) High-level carbapenem resistance in a *Citrobacter freundii* clinical isolate is due to a combination of KPC-2 production and decreased porin expression. *Journal of Medical Microbiology*, 57(3) 332–337. DOI: 10.1099/jmm.0.47576-0
21. Food Safety News. CDC warns of *Cronobacter* in powdered milk, infant formula. Retrieved from <http://www.foodsafetynews.com/2016/04/125714/#.WG1xjX3-EhR>
22. Mezzatesta, Maria Lina, et al. (2012) Enterobacter cloacae complex: clinical impact and emerging antibiotic resistance. *Future Microbiology*. 7(7), 887–902. DOI: 10.2217/fmb.12.61
23. Trecarichi, E.M., et al. (2015) Current epidemiology and antimicrobial resistance data for bacterial bloodstream infections in patients with hematologic malignancies: an Italian multicentre prospective survey. *Clinical Microbiology and Infection*, 21(4) 337-343. DOI: 10.1016/j.cmi.2014.11.022
24. Jha, Piyush, et al. (2016) Transmission of *Enterobacter aerogenes* septicemia in healthcare workers. *SpringerPlus*, 5(1) 1397. DOI: 10.1186/s40064-016-3011-x
25. Davin-Regli, Anne, et al. (2015) *Enterobacter aerogenes* and *Enterobacter cloacae*; versatile bacterial pathogens confronting antibiotic treatment. *Frontiers in Microbiology*, 6:392. DOI: 10.3389/fmicb.2015.00392
26. Mayo Clinic. Diseases and Conditions E.coli. Retrieved from <http://www.mayoclinic.org/diseases-conditions/e-coli/basics/definition/con-20032105>
27. Université de Montreal. *Escherichia coli* Laboratory. Pathogenic *E. coli*. Retrieved from <http://www.ecl-lab.com/en/ecoli/index.asp>

28. Ruppé, Etienne, et al. (2009) CTX-M β -Lactamases in *Escherichia coli* from Community-acquired Urinary Tract Infections, Cambodia. *Emerging Infectious Diseases*, 15(5) 741-748. DOI: 10.3201/eid1505.071299
29. Oteo, Jesus, et al. (2008) Emergence of imipenem resistance in clinical *Escherichia coli* during therapy. *International Journal of Antimicrobial Agents*, 32(6) 534-537. DOI: 10.1016/j.ijantimicag.2008.06.012
30. McGuinn, Marcella, et al. (2009) *Escherichia coli* and *Klebsiella pneumoniae* Carbapenemase in Long-term Care Facility, Illinois, USA. *Emerging Infectious Diseases*, 15(6) 988-989. DOI: 10.3201/eid1506.081735
31. Rasheed, J. Kamile, et al. (2013) New Delhi Metallo- β -Lactamase-producing Enterobacteriaceae, United States. *Emerging Infectious Diseases*, 19(6) 870-878. DOI: PMCID: PMC3713825
32. Zurfluh, Katrin, et al. (2015) Emergence of *Escherichia coli* producing OXA-48 β -Lactamase in the community in Switzerland. *Antimicrobial Resistance and Infection Control*, 4:9. DOI: 10.1186/s13756-015-0051-x
33. Scoulica, Efstatia V., et al. (2004) Spread of blaVIM-1-producing *E.coli* in a university hospital in Greece. Genetic analysis of the integron carrying that blaVIM-1 metallo- β -lactamase gene. *Diagnostic Microbiology & Infectious Disease*, 48(3) 167-172. DOI: 10.1016/j.diagmicrobio.2003.09.012
34. Public Health Agency of Canada. *Fusobacterium* spp. Pathogen Safety Data Sheet. Retrieved from <http://www.phac-aspc.gc.ca/lab-bio/res/psds-ftss/fusobacterium-eng.php>
35. Afra, Kevin, et al. (2013) Incidence, risk factors, and outcomes of *Fusobacterium* species bacteremia. *BMC Infectious Diseases*, 13:264. DOI: 10.1186/1471-2334-13-264
36. Centers for Disease Control and Prevention. *Haemophilus influenzae* Disease (Including Hib). Retrieved from <https://www.cdc.gov/hi-disease/clinicians.html>
37. Rubach, Matthew P., et al. (2011) Increasing Incidence of Invasive *Haemophilus influenzae* Disease in Adults, Utah, USA. *Emerging Infectious Diseases*, 17(9) 1645-1650. DOI: 10.3201/eid1709.101991
38. Paterson, David L., et al. *Klebsiella* species (*K.pneumoniae*, *K.oxytoca*, *K.ozaenae* and *K. rhinoscleromatis*). *Infectious Disease Antimicrobial Agents*. Retrieved from <http://www.antimicrobe.org/new/b107.asp>
39. NCBI Taxonomy Browser. Retrieved from <https://www.ncbi.nlm.nih.gov/Taxonomy/Browser/wwwtax.cgi?id=570>
40. Singh, Col Lavan, et al. (2016) *Klebsiella oxytoca*: An emerging pathogen? *Medical Journal Armed Forces India*. 72(S1) S59-S61. DOI: <http://dx.doi.org/10.1016/j.mjafi.2016.05.002>
41. Qureshi, Shahab, et al. *Klebsiella* Infections. *Medscape*. Retrieved from <http://emedicine.medscape.com/article/219907-overview>
42. Arnold, Ryan S., et al. (2011) Emergence of *Klebsiella pneumoniae* Carbapenemase (KPC)-Producing Bacteria. *Southern Medical Journal*, 104(1) 40-45. DOI: 10.1097/SMJ.0b013e3181fd7d5a
43. Clímaco, Eduardo C., et al. (2010) CTX-M-producing *Klebsiella* spp. in a Brazilian hospital: what has changed in 6 years? *Diagnostic Microbiology & Infectious Disease*, 68(2) 186-189.
44. Conceicao, T., et al. (2005) First Isolation of blaVIM-2 in *Klebsiella oxytoca* Clinical Isolates from Portugal. *Antimicrobial Agents and Chemotherapy*, 49(1) 476. DOI: 10.1128/AAC.49.1.476.2005
45. Cuzon, Gaelle, et al. (2011) Outbreak of OXA-48-Positive Carbapenem-Resistant *Klebsiella pneumoniae* Isolates in France. *Antimicrobial Agents and Chemotherapy*, 55(5) 2420-2423. DOI: 10.1128/AAC.01452-10
46. Giakkoupi, P., et al. (2003) VIM-1 Metallo- β -Lactamase-Producing *Klebsiella pneumoniae* Strains in Greek Hospitals. *Journal of Clinical Microbiology*, 41(8) 3893-3896. DOI: 10.1128/JCM.41.8.3893-3896
47. Hagiya, Hideharu, et al. (2015) *Klebsiella oxytoca*-producing IMP-1 Detected as the First Strain of Carbapenem-resistant Enterobacteriaceae in Our Hospital. *Internal Medicine*, 54 2939-2941. DOI: 10.2169/internalmedicine.54.4965
48. Hoenigl, Martin, et al. (2012) KPC-producing *Klebsiella oxytoca* Outbreak, Austria. *Antimicrobial Agents and Chemotherapy*, 56(4) 2158-2161. DOI: 10.1128/AAC.05440-11
49. Huang, Tzu-Wen, et al. (2013) Complete Sequences of Two Plasmids in a blaNDM-1-Positive *Klebsiella oxytoca* Isolate from Taiwan. *Antimicrobial Agents and Chemotherapy*, 57(8) 4072-4076. DOI: 10.1128/AAC.02266-12
50. Wang, Guiqing, et al. (2013) CTX-M β -Lactamase-producing *Klebsiella pneumoniae* in Suburban New York, New York, USA. *Emerging Infectious Diseases*, 19(11) 1803-1810. DOI: 10.3201/eid1911.121470
51. Li, Jun-Jie, et al. (2016) Lactamase-1-Producing *Klebsiella pneumoniae*, Florida, USA. *Emerging Infectious Diseases*, 22(4) 1803-1810. DOI: <http://dx.doi.org/10.3201/eid2204.151176>
52. Limbago, Brandi M., et al. (2011) IMP-Producing Carbapenem-Resistant *Klebsiella pneumoniae* in the United States. *Journal of Clinical Microbiology*, 49(12) 4239-4245. DOI: 10.1128/JCM.05297-11
53. Nazik, H., et al. (2014) Detection and Spread of Oxa-48-Producing *Klebsiella oxytoca* Isolates in Istanbul, Turkey. *Southeast Asian Journal of Tropical Medicine and Public Health*, 45(1) 123-129.
54. Miller, James R. *Morganella* Infections. Retrieved from <http://emedicine.medscape.com/article/222443-overview>
55. Demiray, Tayfur, et al. (2016) A severe *Morganella morganii* endophthalmitis; followed by bacteremia. *Iranian Journal of Microbiology*, 8(1) 70-72.
56. Diene, S.M., et al. (2014) CTX-M-15-producing *Morganella morganii* from Hôpital Principal de Dakar, Senegal. *New Microbes and New Infections*, 2(2) 46-49. DOI: 10.1002/nmi.241
57. Shibata, Naohiro, et al. (2003) PCR Typing of Genetic Determinants for Metallo- β -Lactamases and Integrase Carried by Gram-Negative Bacteria Isolated in Japan, with Focus on the Class 3 Integron. *Journal of Clinical Microbiology*, 41(12) 5407-5413. DOI: 10.1128/JCM.41.12.5407-5413.2003

58. Shi, D.-S., et al. (2012) Identification of blaKPC-2 on different plasmids of three *Morganella morganii* isolates. European Journal of Clinical Microbiology & Infectious Diseases, 31(5) 797-803.
59. Olaitan, Abiola Olumuyiwa, et al. (2014) Genome analysis of NDM-1 producing *Morganella morganii* clinical isolates. Expert Review of Anti-infective Therapy, 12(10) 1297-1305. DOI: 10.1586/14787210.2014.944504
60. Hammoudi, D., et al. (2014) Countrywide spread of OXA-48 carbapenemase in Lebanon: surveillance and genetic characterization of carbapenem-non-susceptible Enterobacteriaceae in 10 hospitals over a one-year period. International Journal of Infectious Diseases, 29 139–144. DOI: 10.1016/j.ijid.2014.07.017
61. Tsakris, Athanassios, et al. (2007) Characterization of In3Mor, a new integron carrying VIM-1 metallo-β-lactamase and sat1 gene, from *Morganella morganii*. Journal of Antimicrobial Chemotherapy, 59(4) 739–741. DOI: 10.1093/jac/dkm020
62. Centers for Disease Control and Prevention. Meningococcal Disease (*Neisseria meningitidis*). Retrieved from <https://wwwnc.cdc.gov/travel/diseases/meningococcal-disease>
63. Centers for Disease Control and Prevention. Meningococcal Disease Causes & Transmission. Retrieved from <https://www.cdc.gov/meningococcal/about/causes-transmission.html>
64. <https://www.cdc.gov/meningitis/lab-manual/chpt10-pcr.html>
65. Drzwięcka, Dominika. (2016) Significance and Roles of *Proteus* spp. Bacteria in Natural Environments. Microbial Ecology, 72(4) 741–758. DOI: 10.1007/s00248-015-0720-6
66. Gonzalez, Gus, et al. *Proteus* Infections. Retrieved from <http://emedicine.medscape.com/article/226434-overview>
67. Armbruster, Chelsie E., et al. *Proteus* species. Retrieved from <http://www.antimicrobe.org/b226.asp>
68. Karapavidou, P., et al. (2005) CTX-M-1 extended-spectrum beta-lactamase-producing *Proteus mirabilis* in Greece. Microbial Drug Resistance, 11(4) 351-4.
69. Dixon, Nyssa, et al. (2016) IMP-27: A Unique Metallo-β-Lactamase Identified in Geographically Distinct Isolates of *Proteus mirabilis*. Antimicrobial Agents Chemotherapy, 60(10) 6418-6421. DOI: 10.1128/AAC.02945-15
70. Tibbetts, R., et al. (2008) Detection of KPC-2 in a Clinical Isolate of *Proteus mirabilis* and First Reported Description of Carbapenemase Resistance Caused by a KPC β-Lactamase in *P. mirabilis*. Journal of Clinical Microbiology, 46(9) 3080–3083.
71. Qin, Shangshang, et al. (2015) Emergence of extensively drug-resistant *Proteus mirabilis* harboring a conjugative NDM-1 plasmid and a novel *Salmonella* genomic island variant (SGI1-Z). Antimicrobial Agents Chemotherapy, 59(10) 6601-6604. DOI: 10.1128/AAC.00292-15
72. Chen, Liang, et al. (2015) First Report of an OXA-48-Producing Multidrug-Resistant *Proteus mirabilis* Strain from Gaza, Palestine. Antimicrobial Agents and Chemotherapy, 59(7) 4305-4307. DOI: 10.1128/AAC.00565-15.
73. Miriagou, V., et al. (2010) Detecting VIM-1 Production in *Proteus mirabilis* by an Imipenem-Dipicolinic Acid Double Disk Synergy Test. Journal of Clinical Microbiology, 48(2) 667–668.
74. Friedrich, Marcus, et al. *Pseudomonas aeruginosa* Infections. Retrieved from <http://emedicine.medscape.com/article/226748-overview>
75. McCarthy, Kate. (2015) *Pseudomonas aeruginosa*: Evolution of Antimicrobial Resistance and Implications for Therapy. Seminars in Respiratory and Critical Care Medicine, 36(01) 44–55. DOI: 10.1055/s-0034-1396907
76. Al Naiemi, Nashwan, et al. (2006) A CTX-M extended-spectrum β-Lactamase in *Pseudomonas aeruginosa* and *Stenotrophomonas maltophilia*. Journal of Medical Microbiology, 55(11) 1607-1608. DOI:10.1099/jmm.0.46704-0
77. Kazmierczak, Krystyna M., et al. (2016) Multiyear, Multinational Survey of the Incidence and Global Distribution of Metallo-β-Lactamase-Producing *Enterobacteriaceae* and *Pseudomonas aeruginosa*. Antimicrobial Agents and Chemotherapy, 60(2) 1067-1078. DOI: 10.1128/AAC.02379-15
78. Evans, Benjamin A., et al. (2014) OXA β-Lactamases. Clinical Microbiology Reviews, 27(2) 241-263.
79. Ao, Trong T., et al. (2015) Global Burden of Invasive Nontyphoidal *Salmonella* Disease, 2010. Emerging Infectious Diseases, 21(6) 941-949. DOI: 10.3201/eid2106.140999
80. Gal-Mor, Ohad, et al. (2014) Same species, different diseases: how and why typhoidal and non-typhoidal *Salmonella enterica* serovars differ. Frontiers in Microbiology, 5:391. DOI: 10.3389/fmicb.2014.00391
81. Lan, Nguyen Phu Huong, et al. (2016) Invasive Non-typhoidal *Salmonella* Infections in Asia: Clinical Observations, Disease Outcome and Dominant Serovars from an Infectious Disease Hospital in Vietnam. PLoS Neglected Tropical Diseases, 10(8) e0004857. DOI: 10.1371/journal.pntd.0004857
82. Buckle, Geoffrey C., et al. (2012) Typhoid fever and paratyphoid fever: Systematic review to estimate morbidity and mortality for 2010. Journal of Global Health, 2(1) 010401. DOI:10.7189/jogh.02.010401
83. Sjölund-Karlsson, Maria, et al. (2011) CTX-M-producing Non-Typhi *Salmonella* spp. Isolated from Humans, United States. Emerging Infectious Diseases, 17(1) 97-99. DOI: 10.3201/eid1701.100511
84. Hosoda, Takuya, et al. (2015) Emergence of *Salmonella* Strain That Produces IMP-1-Type Metallo-β-Lactamase in a Japanese Patient.
85. Jure, M.A., et al. (2014) Emergence of KPC-2-Producing *Salmonella enterica* Serotype Schwarzengrund in Argentina. Antimicrobial Agents and Chemotherapy, 58(10) 6335-6336. DOI: 10.1128/AAC.03322-14
86. Day, Martin R., et al. (2015) Carbapenemase-producing *Salmonella enterica* isolates in the UK. Journal of Antimicrobial Chemotherapy, 70(7) 2165-2167. DOI: 10.1093/jac/dkv075
87. Sotillo, Alma, et al. (2015) Emergence of VIM-1-producing *Salmonella enterica* serovar Typhimurium in a paediatric patient. Journal of Medical Microbiology, 64(12) 1541-1543. DOI: 10.1099/jmm.0.000170

88. Herra, Celine, et al. *Serratia marcescens*. Retrieved from <http://www.antimicrobe.org/b26.asp>
89. Anía, Basilio J, et al. *Serratia*, Overview. Retrieved from <http://emedicine.medscape.com/article/228495-overview#a5>
90. Gastmeier, Petra. (2014) *Serratia marcescens*: an outbreak experience. *Frontiers in Microbiology*, 5:81. DOI: 10.3389/fmicb.2014.00081
91. Heltberg, O. et al. (1993) Nosocomial epidemic of *Serratia marcescens* septicemia ascribed to contaminated blood transfusion bags. *Transfusion*, 33(3) 221-227. DOI: 10.1046/j.1537-2995.1993.33393174448.x
92. Madani, TA, et al. (2011) *Serratia marcescens*-contaminated baby shampoo causing an outbreak among newborns at King Abdulaziz University Hospital, Jeddah, Saudi Arabia. *Journal of Hospital Infection*, 78(1) 16-19. DOI: 10.1016/j.jhin.2010.12.017
93. Mahlen, Steven D. (2011) *Serratia* Infections: from Military Experiments to Current Practice. *Clinical Microbiology Reviews*, 24(4) 755-791. DOI: 10.1128/CMR.00017-11
94. Batah, R., et al. (2015) Outbreak of *Serratia marcescens* Coproducing ArmA and CTX-M-15 Mediated High Levels of Resistance to Aminoglycoside and Extended-Spectrum Beta-Lactamases, Algeria. *Microbial Drug Resist.*, 21(4) 470-476. DOI: 10.1089/mdr.2014.0240
95. Nakamura, T., et al. (2002) IMP-1 type metallo-beta-lactamase producing *Serratia marcescens* strains isolated from blood culture between 1991 to 200. *Kansenshogaku Zasshi*, 76(4) 246-53.
96. Silva, Kesia Esther, et al. (2015) Coproduction of KPC-2 and IMP-10 in Carbapenem-Resistant *Serratia marcescens* Isolates from an Outbreak in a Brazilian Teaching Hospital. *Journal of Clinical Microbiology*, 53(7) 2324-2328. DOI: 10.1128/JCM.00727-15
97. Gruber, Teresa M., et al. (2015) Pathogenicity of pan-drug-resistant *Serratia marcescens* harbouring blaNDM-1. *Antimicrobial Chemotherapy*, 70(4) 1026-1030. DOI: 10.1093/jac/dku482
98. Piorel, Laurent, et al. (2012) OXA-48-like carbapenemases: the phantom menace. *Journal of Antimicrobial Chemotherapy*, 67(7) 1597-1606. DOI: 10.1093/jac/dks121
99. Nastro, M., et al. (2013) First nosocomial outbreak of VIM-16-producing *Serratia marcescens* in Argentina. *Clinical Microbiology and Infectious Diseases*, 19(7) 617-619. DOI: 10.1111/j.1469-0691.2012.03978.x
100. Anía, Basilio J, et al. *Serratia*, clinical. Retrieved from <http://emedicine.medscape.com/article/228495-clinical>
101. Falagas, Matthew E., et al. (2008) Therapeutic options for *Stenotrophomonas maltophilia* infections beyond co-trimoxazole: a systematic review. *Journal of Antimicrobial Chemotherapy*, 62(5) 889-894. DOI: 10.1093/jac/dkn301
102. Ruppé, Étienne, et al. (2015) Mechanisms of antimicrobial resistance in Gram-negative bacilli. *Annals of Intensive Care*, (2015) 5(1) 61. DOI: 10.1186/s13613-015-0061-0
103. Pathmanathan, A., et al. (2005) Significance of positive *Stenotrophomonas maltophilia* culture in acute respiratory tract infection. *The European Respiratory Journal*, 25(5) 911-914. DOI: 10.1183/09031936.05.00096704
104. Livermore, D.M. (2006) CTX-M: Changing the Face of ESBLs in Europe. *Journal of Antimicrobial Chemotherapy*, 59(2) 165-174.
105. Queenan, Anne Marie, et al. (2007) Carbapenemases: The Versatile β-Lactamases. *Clinical Microbiology Reviews*, 20(3) 440-458. DOI: 10.1128/CMR.00001-07
106. Zmarlicka, Monika, T., et al. (2015) Impact of New Delhi metallo-beta-lactamase on beta-lactam antibiotics. *Infection and Drug Resistance*, 2015(8) 297-309. DOI: 10.2147/IDR.S39186
107. Nordmann, Patrice, et al. (2011) Global Spread of Carbapenemase-producing *Enterobacteriaceae*. *Emerging Infectious Diseases*, 17(10) 1791-1798. DOI: 10.3201/eid1710.110655
108. Papp-Wallace, Krisztina M., et al. (2016) New B-Lactamase Inhibitors in the Clinic. *Infectious Disease Clinics of North America*, 30(2): 441-464. doi:10.1016/j.idc.2016.02.007.
109. Makenna, Anne, et al. (2015) Comparison of Verona Integron-Borne Metallo-β-Lactamase (VIM) Variants Reveals Differences in Stability and Inhibition Profiles. *Antimicrobial Agents and Chemotherapy*, 60(3) 1377-1384. DOI: 10.1128/AAC.01768-15
110. Samuel, Linoj P., et al. (2016) Multicenter Assessment of Gram Stain Error Rates. *Journal of Clinical Microbiology*, 54 (6) 1442-1447. DOI: 10.1128/JCM.03066-15

DOKUMENTREVISJON

| Informasjon om dokumentrevisjon | |
|---------------------------------|--|
| Rev. A 05/2019 | Originaldokument |
| Rev. B 10/2020 | Språk for ekstern kontroll oppdatert. Neisseria meningitidis oppdatert i avsnittet Sammendrag av påviste organismer. |
| Rev. C 04/2021 | Data om prøvens stabilitet er oppdatert. |
| Rev. D 02/2022 | Forbedringer av GN2-inklusivitet og rettelser av skrivefeil. |
| Rev E | Advarsler og forsiktigheitsregler, Generelt, lagt til språk for å oppfylle myndighetskrav. Tabell 112: viser at de endelige konsentrasjonene for y-globulin og kaspofungin er rapportert som henholdsvis 0,85 g/dl og 4,5 µg/ml. Lagt til referanse til sammendrag av sikkerhet og ytelse. Oppdatert EMERGO-adresse. Lagt til UKCA-krev. Oppdatert informasjon om teknisk support, nettsted, varemerke og opphavsrett. Oppdatert symbolliste. |
| Doc Rev. 1.0 12/2023 | Første publisering for Branchburg basert på bruksanvisning PI1082-E. Oppdatert merkevarebygging fra GenMarks ePlex® til cobas® eplex . Oppdatert informasjon på SDS-nettstedet i delen Sikkerhet . Kontakt din lokale Roche-representant hvis du har noen spørsmål. |

Sammendraget av sikkerhets- og ytelsesrapporten finner du på følgende lenke:

<https://ec.europa.eu/tools/eudamed>

VAREMERKER

GenMark®, GenMark Dx®, eSensor®, **cobas® eplex**, Designed For the Patient, Optimized For the Lab® og The True Sample-to-Answer Solution® er registrerte varemerker som tilhører Roche.

Kimwipes™ er et varemerke som tilhører Kimberly-Clark Worldwide.

BacT/Alert® er et registrert varemerke som tilhører bioMérieux.

BACTEC™ er et varemerke som tilhører BD.

VersaTREK™ og REDOX™ er varemerker som tilhører Thermo Fisher Scientific.

PATENTINFORMASJON

cobas eplex-panelet for identifikasjon av gramnegative organismer i blodkultur og/eller bruken av det involverer teknologi som inngår i ett eller flere av følgende patenter i USA og Europa som eies eller lisensieres av GenMark Diagnostics, Inc. eller dets datterselskaper, med flere patentsøknader under behandling innenriks og internasjonalt: USA – patentnr. 7,820,391, 8,486,247, 9,222,623, 9,410,663, 9,453,613, 9,498,778, 9,500,663, 9,598,722, 9,957,553, 10,001,476, 10,106,847, 10,273,535, 10,352,983, 10,357,774, 10,391,489, 10,495,656, 10,564,211, D881409 og D900330 og andre internasjonale patenter og patentsøknader.

Mottakeren erklærer, ved å ta i bruk en kassett – med mindre annet er skriftlig avtalt – at han/hun har lest, godtar, samtykker til å bindes av og skal etter leve de generelle bestemmelsene og vilkårene for salg som er tilgjengelige på Roches nettsted, som Roche fra tid til annen kan endre uten samtykke. Hvis mottakeren ikke godtar og samtykker til å bindes av de generelle bestemmelsene og vilkårene for salg, skal mottakeren straks slutte å bruke kassetten.

Dette produktet er underlagt en begrenset lisens til å bruke produktet på feltet human *in vitro*-diagnostikk og til undersøkelser som i rimelig grad er tilknyttet dette. Brukere har ikke tillatelse til å bruke dette produktet til andre anvendelser, herunder rettsmedisin (herunder identifikasjonstesting av mennesker).

Ikrafttredelsesdato: Desember 2023
©2023 Roche Molecular Systems, Inc. Med enerett.

GenMark Diagnostics, Inc. Medlem av Roche-gruppen
5964 La Place Court, Carlsbad, CA 92008
760.448.4300
<https://diagnostics.roche.com/>